

**EXPERTIZĂ TEHNICĂ LA IMOBILUL DIN
CALEA CĂLĂRAȘILOR NR. 29,**

BRĂILA, JUD. BRĂILA

Piese scrise și piese desenate



BENEFICIAR: CONSILIUL JUDETEAN BRĂILA

PROIECT nr.: 182 / decembrie 2012

Director,
dr. ing. CRISTINA CAPATU

DECEMBRIE 2012

EX. Th.

COLECTIV DE ELABORARE:

EXPERT:

Ing. IOAN ROTĂRESCU

COLABORATORI

Dr. ing. CRISTINA CAPATU

Arh. ALIN HOBLEA

SC PSEUDO-CLASIC SRL

Ing. ANDREI SZAKÁCS

BORDEROU PIESE SCRIS:

FOAIE DE CAPĂT


COLECTIV DE ELABORARE

1. SINTEZA EXPERTIZEI TEHNICE
2. RAPORT DE EVALUARE LA SEISM
3. BREVIAR DE CALCUL
4. RELEVÉE FOTO
5. STUDIU GEOTEHNIC
6. REZULTATE TESTĂRI NEDISTRUCTIVE ȘI
DISTRUCTIVE

SCHIȚE ȘI FIGURI
PIESE DESENATE**BORDEROU PIESE DESENATE:**

0	PLAN DE ÎNCADRARE ÎN ZONĂ	1/2000
1	PLAN DE SITUAȚIE	1/500
2	PLAN SUBSOL	1/100
3	PLAN PARTER	1/100
4	PLAN ETAJ	1/100
5	PLAN MANSARDA	1/100
6	SECȚIUNE CARACTERISTICĂ A-A	1/100
7	SECȚIUNE CARACTERISTICĂ B-B	1/100
8	FAȚADĂ PRINCIPALĂ	1/100
9	FAȚADĂ POSTERIOARĂ	1/100
10	FAȚADĂ LATERALĂ DREAPTA	1/100
11	FAȚADĂ LATERALĂ STANGA	1/100

SINTEZA RAPORTULUI DE EXPERTIZĂ TEHNICĂ

Executant	SC NEO-CONS SRL Iasi, str. Zorilor nr.5 Tel : 0740-202588, fax: 0332-816931	Obiectiv: EXPERTIZĂ TEHNICĂ LA IMOBILUL DIN CALEA CĂLĂRAȘILOR NR. 29 BRĂILA (fostul Palat Administrativ)
EXPERT TEHNIC AUTORIZAT MLPAT NR.328 si EXPERT AUTORIZAT MCC NR.087 ing. IOAN ROTĂRESCU Obiectiv: EXPERTIZĂ TEHNICĂ LA IMOBILUL DIN CALEA CĂLĂRAȘILOR NR. 29 BRĂILA (fostul Palat Administrativ) Conform: P100-1/2006+P100-3/2008 Nr. Proiect / Data: 182/ decembrie 2012	BRĂILA — Strada Călărași, Palatul Administrativ 	
DATE GENERALE	DATE TEHNICE REZULTATE DIN EXPERTIZA	
Regim de înălțime: S_{parțial}+P+1E+M_{parțial} Anul construirii: 1891-1894 Forma in plan: neregulată Nr. de încăperi: <u>Parter</u> : 12 încăperi, <u>Etaj</u> : 7 încăperi Cota max. a clădirii: + 20,40m față de cota ± 0,00, Aria construită (Ac): 2130,0m² Aria desfășurată (Ad): 5474,40m² Structura de rezistență: Pereți structurali din zidărie simplă de cărămidă presată plină, cu compartimentare rară si /sau sală . Planșee din lemn sau cu grinzi metalice si lemn, beton armat de 10cm grosime, scări din beton armat, bolti de intersectie, din zidărie, boltisoare din zidărie pe profile metalice. Fundații de tip talpă continuă din zidărie de cărămizi sau piatră Finisaje: - <u>exterioare</u> : sunt tip tencuială simplu drișcuită cu multiple decoratuni specifice stilului arhitectural: acadramente, frontoane, muluri, simplu, drișcuite și zugrăvite cu var, - <u>interioare</u> : tencuieli simplu drișcuite și zugrăveli cu var in culori pastel, iposerii la pereți și tavane, pardoseli din mozaic de marmură freat, marmură, pardoseli calde din parchet de lemn placaje faianță și gresie. - <u>tâmplărie</u> din lemn, dublă pe toc, finisată opac prin vopsire culori de ulei. - <u>acoperiș</u> : tip șarpantă de lemn în patru ape, învelitoare din tablă de cupru si partial tablă zincată Instalații: electrice, agent termic de la punctul termic, apă-canal, telefonie, voce-date	Caracteristici seimice ale amplasamentului: Cf. P100-1/2006 Zona seismică: 0,24g Perioada de colț (Tc): 1,0s Clasa de importanță: II Coef. de expunere a construcției (γ_I)= 1.20 . Avarii tipice constatate la <u>elementele de rezistenta</u> : -fisuri/fracturi inclinate si verticale la peretii structurali, -fisuri ale boltilor din zidărie la cheie si la nastere, -fisuri verticale ale buiandrugilor si parapetilor din zidărie ai ferestrelor, -desprinderea grinzilor metalice ale planșeelor de pe reazeme, peste pilaștri sau peretii din zidărie, - elemente de lemn ale șarpantei deformat, cu cedări locale. <u>elementele nestructurale</u> : - tencuieli interioare și exterioare degradate de igrasie, decolate de pe suport, -pardoseli fisurate, cu strat de uzură degradat, -Tamplărie neetansă, deformată, învelitoarea si accesoriile degradate, neetanșe care permit infiltrații până la nivelul elementelor structurale, - Trotuare fracturate, deplasate, neetanșe, Metode de investigare: Metodologia de nivel 2: evaluare calitativă si cantitativă. <u>Teren de fundare</u> : nisip prafos cafeniu cu intercalații de pietriș mic, plasticitate medie, umed, stare consistenta plastic moale, compresibile	Înscrierea în clasa de risc seismic, în prezent : - R1 – grad de îndeplinire a condițiilor de alăctuire seismică, R1=48 corespunzător clasei II , - R2 – grad de afectare structurală, R2=60 corespunzător clasei II , - R3 – grad de asigurare la seism, pe ambele directii de acționare R3 _{transv} = 0,19 < 0,65 , R3 _{longitudinal} = 0,07 < 0,65 corespunzător clasei I de risc , Expertul Tehnic decide: clădirea se înscrie în clasa a I-a de risc seismic ce cuprinde construcțiile cu risc ridicat de prăbușire. După aplicarea măsurilor de consolidare gradul de asigurare la seism, R3, va fi: R3 _{transv} = 1,36 > 0,65 R3 _{longitudinal} = 1,36 > 0,65, corespunzători clasei IV pentru care răspunsul seismic asteptat este similar cu cel al unei clădiri proiectate după normele în vigoare.

Se impun următoarele solutii de interventie:

1 Infrastructura

A - se vor cămăși pe ambele fețe atât fundațiile interioare cât și cele exterioare, cu lărgirea tălpii de fundare conform sarcinilor existente și celor suplimentare transmise de elementele de consolidare. Cămășuia va avea min. 12cm pe fiecare față (se va calcula în proiectare) și se va arma cu plase sudate min. $7,1(8) \times 100 / 7,1(8) \times 100$ mm cu respectarea acoperirii de beton aferentă fetelor în contact cu pământul.

Adâncimea de fundare se va majora prin subfundări cu grinzi duble din beton armat turnate monolit odată cu cămășuia. Aceste grinzi vor susține talpa de fundare pe min. 15cm pe fiecare față.

Lățimea grinzilor de fundare este diferită în funcție de poziția șpaletului, cf. tab 5 din *Breviar de calcul* – varianta consolidată.

- se va turna pe toată suprafața planșeului subsolului o suprabetonare de 10cm peste planșeele din boltisoare existente, armată pe ambele direcții cu bare independente. Această suprabetonare se va încadra în peretii perimetrali prin săparea unor șanturi în zidărie și montarea unor călăreți în găuri monolitizate cu lapte de ciment și aracet 40%. Acești călăreți se vor ancora la exterior în centura de beton armat ce se va prevedea în dreptul planșeului din boltisoare. Pentru o aderență sporită față de suprafața bolțișoarelor se vor fixa în acestea elemente laminate care vor fi înglobate în beton suprabetonării.
- Cămășuielile din beton armat se vor ancora pe fețele fundațiilor prin conectori PC52 Ø14 – 4 buc/mp, fixați în găuri monolitizate cu lapte de ciment și aracet 40% sau cu mortare de injecție. Suprafețele zidăriei se vor curăța temeinic prin suflare cu aer (interzis apa).

2 Suprastructura

2.1 Consolidare pereti din zidărie

Se vor cămăși cu microbeton armat C16/20 de diferite grosimi toți peretii structurali interiori și exteriori astfel:

- 8cm pe o față la peretii exteriori și
- 8cm pe ambele fețe la peretii interiori.

Armarea va consta din plase sudate $6 \times 100 / 6 \times 100$ mm.

Deasupra gurilor ușilor și ferestrelor, pentru rol de buiandrug se prevede armare orizontală suplimentară PC52 min. Ø10 înglobată în cămășuia, ancorată de plase.

Pe verticală, gurile de ușă și ferestre se vor borda cu armătură suplimentară înglobată în cămășuia.

Pentru o bună aderență la suprafața de zidărie se prevăd bride de traversare din beton armat pentru fixarea unor fascicole de armătură, la intervale de 1,0-1,5m.

În peretii camășuiți pe o singură parte, se prevăd ploturi neștrăpunse, armate cu bare și etrieri, 1buc /mp.

La casa scării principale, peretele exterior ax 9, se va cămăși pe ambele fețe cu microbeton armat cu prevederea de centuri intermediare.

F. IMPORTANT! Continuitatea armării cămășuielilor se va asigura pe toată înălțimea șpaletilor din zidărie.

2.2 Consolidare planșee

Peste parter

- după desfacerea finisajelor se vor vizualiza planșeele și se va stabili structura acestora. Apare posibilitatea ca să existe suprabetonare din beton armat dispusă peste holurile de acces, peste boltile de zidărie existente și care în prezent suferă degradări destul de importante. În această situație, nu se intervine decât la intrados prin consolidări locale (injecții în masă de mortare epoxidice),
- dacă nu există suprabetonare și pardoselile existente la etaj se pot îndepărta cu ușurință, se vor turna suprabetonări de max. 10cm, armate cu plase și bare independente și încadrate în peretii de zidărie. Se vor prevedea și în aceste situații cupoane metalice încadrate în bolti și care se vor îngloba în suprabetonare.
- În cazul planșeelor peste incaperile tip sală, casetate, acestea se vor demola și reconstrui cu utilizarea soluției de grinzi metalice principale și secundare încadrate într-o placă de beton armat de min. 13cm. Se vor reface și planșeele aripii secundare presupuse din lemn. Se va reface și scara de acces cu trepte balansate pentru a siguranța evacuării în situații de urgență,
- La planșeul peste holul principal, nu se intervine.
- Planșeul peste aulă, de asemenea se reface în aceeași soluție: grinzi metalice tip HEA și placă de beton armat.

Peste etaj

Se vor demola planșeele existente cu excepția zonei holului principal și scării deschise. Se vor reface din beton armat rezemate pe pereti prin centuri perimetrale și pe grinzi metalice tip HEA, temeinic ancorate pe reazeme.

Se va vizualiza planșeul din zona holului principal și se va urmări posibilitatea suplimentării contravântuirilor cu elemente metalice suplimentare. În prezent elementele de metal apar corodate. Dacă se constată că nu mai pot asigura stabilitatea și rezistența pentru următorii 50-80 de ani se va demola și reface în soluția optimă, fără aport de sarcini (grinzi metalice ortogonale cu contravântuiri).

Planseul peste scara principală se va demola și înlocui cu un planseu cu structură metalică contravantuit. Se va asigura prinderea temeinică față de structură.

Peste tot conturul peretilor din zidărie se vor turna centuri din beton armat de rezemare a plăcilor. Pentru aceasta, se va demola aticul existent și se va reface din zidărie confinată cu elemente de b.a. și respectarea arhitecturii inițiale.

Peste subsol

Peste toată suprafața subsolului, peste plansele existente din boltisoare din zidărie pe profile metalice se va turna o suprabetonare de min. 10cm grosime, ancorată în peretii perimetrali și în conclucrare cu boltisoarele.

2.3 Consolidare pilaștri și coloane

Coloanele și pilaștrii cu secțiune rotundă existenți în holul principal și holurile de circulație se vor consolida în vederea asigurării rezistenței la compresiune.

Se va utiliza soluția fretării cu profile laminate verticale și orizontale (puse în operă la cald) sau a utilizării barelor din oțel beton verticale (lonjeroane) fixate cu bare de cercuire idem prelucrate la cald.

Pilaștrii cu secțiuni poligonale se vor ranforșa cu profile laminate de colț prelucrate pe șantier prin sudură ancorate de la o față la alta prin conectori PC52 Ø14 care strapung zidăria prin găuri monolitizate cu mortar de injectie și sunt sudate la exterior.

3 Refacere șarpantă

Se va reface șarpanta pe toată suprafața, cu elemente ecarisate de lemn, ignifugate și dezinsectizate. Se va respecta întocmai aspectul inițial.

Se va asigura ancorarea față de structură ca și a elementelor între ele cu urmărirea liniilor de rezistență ale planseului inferior (pereti, grinzi etc).

Invelitoarea va fi de tip ușor ca și în prezent.

4 Termo și hidroizolare clădire

În vederea termoizolării clădirii se va utiliza placarea pardoselilor subsolului cu polistiren expandat de 10cm dispus sub stratul suport din beton ca și termoizolarea planșeului peste etaj cu saltele de vată minerală bazaltică de 20cm protejată de șapă slab armată.

Hidroizolarea clădirii este un element foarte important pentru eliminarea hazardului reprezentat de terenul slab de fundare. Se va realiza astfel:

- trotuare perimetrare din beton simplu de 10cm peste un strat filtrant de pietris+nisip 10cm. Se va asigura ca umplutura realizată în urma lucrărilor de consolidare să fie temeinic făcută cu pământ de bună calitate. Pantele transversale vor fi de 2%, iar pantele longitudinale de min. 0,5%.
- Cordon de bitum topit la interfața cu soclul clădirii,
- Beton armat impermeabilizat utilizat în cămășuilele fundațiilor și subsolului.
- Jgheaburi și burlane corect dimensionate. Gurile de scurgere ale burlanelor să fie la min. 20cm deasupra trotuarului.

Întocmit,
Expert tehnic atestat MLPLT și MCC
ing. IOAN ROTĂRESCU

RAPORT DE EVALUARE SEISMICĂ (EXPERTIZĂ TEHNICĂ)

MOTIVUL ȘI SCOPUL EXPERTIZEI

Imobilul din Calea Călărășilor nr. 29 din Brăila este clasificat ca monument istoric cu nr. de identificare **BR-II-m-B-02078** in lista monumentelor istorice si inițial a avut funcțiunea de Palat Administrativ si Judecătoresc.

Anul construirii este identificat ca fiind 1891 si pe durata de existenței sale a deservit si ca sediu al Primăriei Brăila (1969-1977), iar in prezent este sediu al Universității „Dunărea de Jos” – Facultatea de inginerie.

La cutremurul din 1977 clădirea a suferit avarii grave care au fost remediate în anii 80 prin reabilitare executată după un proiect elaborat de fostul Institut de cercetare proiectare ISLGC Galati in anul 1985-86.

Având în vedere modificarea normelor actuale de proiectare si punere in siguranță față de seism a clădirilor existente (P100-3/2008, P100-1/2006 etc), precum si incidenta a numeroase alte cutremure vrâncene începând cu anul 1990, proprietarul a solicitat elaborarea expertizei tehnice pentru a cunoaște starea tehnică actuală a clădirii precum și soluțiile optime de protecție a acesteia față de acțiunile viitoare seismice și neseismice.

1. INFORMAȚII GENERALE ȘI SCURT ISTORIC

Spicuim din scurțul istoric al clădirii așa cum s-a descoperit in documentatia existentă.

Centrul istoric al municipiului Brăila este rezervație de arhitectură și urbanism, inclusă în lista națională a monumentelor istorice.

Valoarea urbanistică a Brăilei este exprimată prin trei caracteristici:

- prezintă continuitate de locuire;
- include în structura sa cele trei aspecte ale evoluției localității: dezvoltare spontană, organică (de până la 1829), intervenția modernizatoare prin planul de sistematizare al orașului de la 1834 și extinderea în etape, pe baza unui plan prestabilit, ce ține cont de structura deja existentă;
- conservă, cu puține modificări și de dată recentă, întreaga zestre a fondului clădit în a doua jumătate a secolului al XIX-lea și la începutul secolului XX.

Anul 1829 a însemnat debutul emancipării orașului și portului, la temelia căreia a stat dărâmarea cetății. Brăila a fost reconstruită după un plan urbanistic modern, care conferă unicitate orașului. Acesta a sistematizat așezarea medievală și a pus în valoare terenul în pantă, orientat sub forma de amfiteatru spre Dunăre.

Orașul a luat înfățișarea unui evantai pe care Dunărea îl deschide spre câmpie. Cosmopolitismul populației brăilene (o treime din locuitorii orașului erau în 1891 cetățeni străini), situația prosperă a acesteia, atracția exercitată de civilizația occidentală, în special de cea franceză, au determinat concepția urbanistică și arhitectura orașului.

O legislație clară, un regulament pentru construcții detaliat și o structură administrativă care urmărea respectarea lor au făcut posibilă înălțarea la gurile Dunării, a unui oraș european. Proiectul de sistematizare prevedea ca în piața centrală construcțiile să aibă trei nivele, iar fațadele să fie executate după un plan impus, pentru ca acestea să constituie o podoabă pentru oraș.

Axa urbanistică a orașului, strada comercială, oferă o imagine sintetică a evoluției istorice și economice a orașului. Ea deține și astăzi toate elementele care au caracterizat străzile comerciale ale orașelor românești, în secolul al XIX-lea: formează miezul dens al orașului, păstrează distribuția triplelor artere, este mărginită de casele negustorilor și ale meșteșugarilor.

Ca tipologie, casele urmează un model tradițional în arhitectura urbană românească: casa cu etaj, prevăzută cu pridvor închis pe toată lungimea fațadei dinspre curte. Doar decorația fațadelor principale, aflate în bordura străzii, mărturisește despre dorința de modernitate a proprietarilor, al

căror gust decidea asupra repertoriului ornamental, mai ales pentru că acesta putea exprima direct starea materială și poziția socială. Erau preferate motive din stilurile istorice care aveau deja un prestigiu creat și acceptat.

Construcții monumentale, care exprimă starea economică a proprietarilor, se aliniază pe străzile Brăilei. Treptat, chipul orașului se adaptează la realitățile unei noi epoci, cu o nouă sensibilitate.

Primul edificiu destinat a funcționa ca sediu al unei institutii publice a fost Palatul filialei din Brăila a Băncii Naționale, construit în anul 1886. I-a urmat **Palatul Administrativ și Judecătoresc al Județului Brăila** (Calea Calarasilor nr. 29), una dintre cladirile publice reprezentative, construite la sfârșitul secolului al XIX-lea, în România.

Pentru realizarea proiectului clădirii a fost organizat un concurs, publicat, printre altele, și de **Analele Arhitecturii**, București, nr. 1/1890. Proiectul a fost pus în operă în anul 1894. Construirea Palatului Administrativ al Județului a devenit o necesitate după anul 1881. În prezentarea situației județului, din deschiderea sesiunii ordinare de la 15 octombrie 1882, Comitetul permanent a pus în discuția consilierilor județeni problema localurilor publice pentru autorități: *Un județ ca Brăila, cu o pozițiune și un rol atât de important în țară, nu mai poate rămâne fără localuri pentru cele mai însemnate autorități publice ale sale. Prefectura și Tribunalul funcționează până azi în localuri închiriate.*

Din lipsa mijloacelor financiare, pregătirea pentru ridicarea construcției a început de-abia în anul 1887, când autoritățile au făcut primele demersuri pentru găsirea unui amplasament potrivit unei arhitecturi monumentale. Locul aflat în proprietatea județului se află pe o arteră principală a orașului, dar într-un context urban necorespunzător pentru o construcție administrativă de reprezentare: era strâmt, vecinătățile modeste (construcții vechi, doar cu un singur nivel, dughene, șoproane din lemn), majoritatea în stare de ruină.

Consiliul General al Județului Brăila a solicitat Comunei un schimb cu terenul deținut de aceasta, la intersecția străzilor Sf. Nicolae (Ana Aslan) și Școlii Publice, pe care s-au aflat în trecut Casele Slătineanu, cu intenția de a cumpăra și loturile alăturate, pentru obținerea unei suprafețe corespunzătoare. După ce au fost obținute toate aprobările necesare legalizării schimbului, în anul 1889, Comitetul permanent al județului a fost nevoit să renunțe, deoarece unul dintre proprietarii loturilor aflate lângă cel al Comunei, a refuzat să-și mai vândă locul pentru construirea palatului. S-a hotărât ca palatul să fie construit pe terenul considerat inițial nepotrivit, pe Calea Călărașilor.

Funcțiile au fost distribuite astfel: *la parter* - Tribunalul cu două secțiuni, corpul portăreilor, parchetul, două cabinete de instrucție și baroul avocaților; *la etaj* – Prefectura județului cu serviciul sanitar al județului, revizoratul școlar, serviciul veterinar al județului.

* * *

Stil arhitectonic academic cu elemente neoclasice și eclecticice cărui îi aparține clădirea Palatului de Justiție a fost foarte răspândit în Europa secolului XIX.

Neoclasicismul în secolul al XIX-lea este în special de inspirație romană. Este un stil nobil, echilibrat, ritmic, caracterizat prin ordine, rațiune, disciplină, subordonare, austeritate, fiind totodată un stil elevat, cult spre distant, formă pură, forțat, academic. Se caracterizează de asemenea prin ritmuri plăcute (repetări de elemente de construcție).

Compoziția planimetrică se înscrie în tradiția palatelor și caselor boierești, dezvoltându-se aproape simetric față de axele longitudinal și transversal, element caracter existent în zona intrării principale.

Planul clădirii preia forma unghiulară a celor 3 străzi adiacente (Justitiei, Calea Călărașilor și str. Orientului).

Trăsăturile specifice stilului sunt reprezentate și în cazul nostru, pe fatade, de ancadramentele ferestrelor, de solbancuri, de bosaje și, de cornișele cu multiple șiruri de profile liniare, simple.

Fațada este împărțită în două registre orizontale, prin intermediul unui brâu plasat la nivelul planșeului peste parter. Aticul se termină la partea superioară printr-o cornișă și o friză cu console.

Pe verticală, laturile principale ale clădirii, aliniată la strazile de la NE și NV se evidențiază rezalite în dreptul acceselor în clădire, decorate cu coloane angajate, cu capiteli corintice decorate cu volute și frunze de acant.

Ancadramentele ferestrelor de la etaj se termină cu frontoane triunghiulare și parapetii sunt decorati cu balustri. Ferestrele și usile parterului au la partea superioară, forma de arc plin cintru.

Usa intrării principale, imită o biforă prin desen.

Rezalita intrării principale are la etaj un balcon decorat cu coloane și balustri.

Intrând în clădire, accesăm un hol central, dominat pe latura dreaptă de o scară monumentală cu întoarcere bifurcată la 180°. Parapeții scării sunt reprezentativi, din marmoră cu panouri stelate, element eclectic.

Holul principal ca și culoarele de distribuție au aspect de peristil, cu colonade care susțin planseul decorat cu motive geometrice și florale.

Holurile parterului, în zona aripii principale sunt mărginite de tavane în boltă, acestea având aspect de boltă mânăstirească (boltă de intersecție cu margini ieșite), element al stilului romanic.

Disponerea încăperilor se realizează simplu, de o singură parte a unui culoar longitudinal.

Acoperisul, la aripile principală și secundară are forma unei mansarde franțuzești, cu 2 pante, panta inferioară fiind luminată de lucrane rotunde. Structura este din lemn, cu volume marcate deasupra rezalitelor. Invelitoarea la fatadele aliniată la stradă este din tablă de cupru, iar pe fetele din incintă este din tablă zincată plană.

* * *

Clădirea a suportat până în prezent cca. 6 seisme semnificative cum ar fi: ian. 1894, oct 1908, nov. 1940, aug. 1986, mai 1990.

În urma cutremurului din anul 1977, structura a suferit avarii grave. În anii 85-86 s-au desfășurat lucrări de reabilitare după un proiect elaborat de ISLGC – proiect 1923-85.

Din sondajele efectuate de echipa noastră și care au urmărit soluțiile de consolidare propuse s-a constatat că acestea s-au realizat în mică măsură. De exemplu, s-au refăcut scările de acces cu structură din beton armat. De asemenea, peste holuri s-au turnat suprabetonări din beton armat.

Există în posesia beneficiarului planșe și date scrise disparate din proiectul de consolidare.

În perioada proiectării consolidării (1985) normele de protecție la seism erau impuse de fostul P100-77, normativ modern, aliniat tendințelor vremii și care a avut la bază o bancă de date importantă în ceea ce privește caracteristicile seismelor vrâncene.

Investigațiile pe teren au constatat în relevee ale structurii, observarea sistemului structural și a materialelor puse în operă ca și din testări distructive și nedistructive asupra blocurilor de cărămidă și mortarului utilizat în elementele structurale.

2. INFORMAȚII INIȚIALE

2.1 DATE GENERALE PRIVIND CONSTRUCȚIA

Concept. Sistemul structural

Clădirea, dezvoltată după aliniamentele străzilor adiacente, are o pronunțată asimetrie. Se pot distinge 3 aripi: *aripa principală* aliniată la Calea Călărașilor, *aripa secundară* aliniată la str. Justiției și Orientului și *aripa anexă*, mansardată. Acest corp are un regim de înălțime diferit: S+P+E+M, adăposteste grupurile sanitare, unele birouri de mici dimensiuni și casa scârilor către pod. La intrarea în pod s-a format un etaj tip mansardă prin amenajarea unor încăperi.

Aripa principală este formată din săli de clasă, aula cu acces din holul principal, holul de acces și scara deschisă către etaj, culoarele de distribuție către încăperi, curte interioară pentru iluminatul acestora.

Aripa secundară are funcțiuni similare: încăperi perimetrice unui hol central, casa scârilor cu forma balansată.

Mai există anexă centralei termice cu coș de fum atașat adăugate în epoca modernă.

Sistemul structural identificat este alcătuit din pereți structurali din zidărie nearmată. Compartimentarea este *rară si/sau tip sală* cu distante maxime între pereți care ajung si pana la 14,00m. Aria celulei cuprinsă între pereți este <75,0mp.

Pereții au grosimi variind de la 30 la 60cm (1 cărămidă are dimensiunile 280×140×55mm deci peretii au grosimi de la 1 până la 2 cărămizi).

Fundațiile sunt din zidărie de piatră în amestec cu blocuri de cărămidă.

Regimul de înălțime este $S_{\text{partial}}+P+1E+M_{\text{partial}}$ cu înălțimea liberă de:

- **5,05m** (în încăperi) si **4,85m** (pe holuri) la parter. În zona aulei inaltimea libera esrte de cca 10,0m,
- respectiv **4,75m** si **5,15m** la etaj,
- 2,50m la mansardă.
- 2,40 la subsol

Buiandrugii golurilor sunt tip boltă de zidărie teșită sau în plin cintru.

Planșeele au o mare varietate de alcătuire, astfel:

Peste subsol: peste toată suprafața subsolului, planșeele sunt din bolțișoare de cărămidă pe profile metalice.

Peste parter:

- În sălile de învățământ: Grinzi metalice principale si secundare cu profile compuse, nituite (puternic corodate) se presupune a avea si grinzi secundare din lemn, lestate cu alicărie/argilă, între grinzi.
- Bolti manastiresti peste holurile de circulatie, perimetrare,
- Planseu sustinut de colonade la intrarea principală cu o structură nedefinită, probabil tot cu grinzi metalice,
- Scara principală cu rampe din beton armat refăcută,
- Plansee de lemn peste incaperile aripii secundare,
- Scară balansată din lespezi de piatră si scară din beton armat in aripa secundară,

Peste etaj:

Din pod s-a putut investiga structura planșeelor mai facil. Există inasa fasii de BCA de cca. 8-10cm grosime, dispuse peste podină ca si termoizolatie, pe toată suprafața podului care nu au permis evidentierea completă a structurii.

- Peste holul principal există un planseu casetat pe grinzi metalice, a cărui rigiditate este asigurată de bolti camasuite cu beton si plase sudate (vizibile in pod). Planșeul este sustinut de asemenea, de coloane rezemate pe colonadele parterului,
- Planseul peste scara principală, cu aspect lis, cu grinzi metalice intoarse si care prezintă semne de dislocare in zonele de reazem,
- Planșee pe grinzi din lemn, cu alicărie pe tavaneală si tencuială pe stuf.

Fundațiile sunt din zidărie de cărămidă in amestec cu piatră, cu liant de tip argilă (pufai). Adâncimea de fundare este de cca. 90cm de la cota terenului amenajat (in zona fără subsol) si de 220cm in zona cu subsol, cu un soclu de cca. 100cm înălțime.

Acoperișul este tip șarpantă de lemn cu ferme transversale rezemate pe planseu si pe atic. Invelitoarea este dintablă de cupru sau din otel zincat.

* * *

Suprafețe:

$S_c=2130,0\text{mp}$, $S_{ct}=5474,40\text{mp}$ din care:

$S_{\text{subsol}}=1030,50\text{mp}$, $S_{\text{parter}}=S_{\text{etaj}}=2130,0$, $S_{\text{mansarda}}=183,90\text{mp}$.

Înălțime maximă acoperiș = **20,40m**, înălțime la cornișă = **13,45m**.

Finisaje:

- *exterioare:*

- o fațadele sunt finisate cu tencuială simplu drișcuită zgrăvită cu lapte de var in bej intens, cu muluri si nuturi zugrăvite in alb, brîie și cornișe cu profile liniare, văruite în alb.

- De asemenea, ancadramentele, frontoanele ca și sobancurile ferestrelor sunt zugrăvite în alb.
- Soclul este tencuit în praf de piatră culoarea natur (unt).
- Tâmplăria exterioară este din lemn de stejar finisat prin vopsire în culori de ulei (maron închis), dublă pe toc și geam clar.
- Balconul intrării secundare are parapeti din fier forjat, iar blaconul intrării principale are parapeti cu balustri zugrăviți în alb,
- Registrul parterului este decorat cu nuturi care deasupra ferestrelor au un desen radial.
- **interioare:**
 - tencuieli simplu drișcuite zugrăvite cu var alb sau crem în încăperi, cu numeroase decorațiuni gen scafe cu model liniar și vegetal elaborat,
 - coloane cu capiteluri tip corintic, zugrăvite multicolor,
 - tavanele cu casete decorate cu scafe cu modele liniare și console, zugrăvite multicolor,
 - pardoseli din mozaic de ciment pe holuri, gresie și faianță în grupurile sanitare,
 - pardoseli din parchet lamelar de lemn în toate încăperile etajelor supraterane, dale de marmoră în holul central.
 - Tâmplăria ușilor interioare (în 1 sau 2 canate) este din lemn de stejar, finisată prin vopsire în ulei maron, pe tocuri și căptușeli.
 - Parapetii scârilor secundare sunt din fier forjat,
 - Parapetul scării principale este din marmoră.

Trebuie evidențiată zona aulei care este bogat decorată cu coloane angajate, frize, brâie, scafe, medalioane, efigii, toate zugrăvite multicolor, discutabil.

Dotarea clădirii

Există racorduri la toate utilitățile urbane: energie electrică, agent termic de la rețeaua publică, apă și canalizare, telefonie și curenți slabi, agent termic de la punctul termic.

Instalațiile interioare sunt depășite moral și fizic. Instalațiile purtătoare de apă sunt degradate, au pierderi și generează igrasie la subsol.

Radiatoarele sunt de tip vechi, din fontă, vopsite maron închis.

Grupurile sanitare necesită redimensionare în funcție de numărul de utilizatori și reabilitare a instalațiilor.

Clădirea este încadrată în clasa a **II-a** de importanță și expunere la cutremur conform P100-1/2006, iar categoria de importanță este **C**, importanță normală.

2.2 DATE PRIVIND STAREA FIZICĂ A CONSTRUCȚIEI.

Conform anexei **D**, pct. **D.2.2** din Normativul P100-3/2008, s-au investigat:

Degradări din cauze seismice/ intervenții structurale executate anterior

Conform releveelor degradărilor sunt evidente 3 zone afectate sever, în rest degradările fiind de mică amploare, distribuite uniform în elementele de rezistență.

1. Una din zonele afectate constă din pereții de la intersecția axelor 3 cu H. Sunt prezente cărpături verticale, pe toată înălțimea clădirii atât în pereții interiori cât și în cei exteriori, demarcând cumva o rosire naturală a clădirii. În acea zonă, la interior, s-a construit și o casa liftului „mont-charge”, cu diafragme din beton armat, care la evenimentele seismice de după 1990, prin perioada de vibrație diferită a degradat peretele din zidărie limitrof.
2. se remarcă zona de rezemare a planșului de peste scara principală, pe axa longitudinală J, cu aspect de dislocare. În acea zonă există multe decorațiuni, ipsoserii care s-au fracturat.
3. există fisuri cu deschidere până la 2mm (posibil să fie numai ale finisajului) la toate boltile manastirești ale parterului (pe holurile de circulație) atât la cheie cât și la nastere.

4. la planseul casetat peste etaj, deasupra holului central, se observă dislocări ale finisajelor aplicate pe grinzi, la intersecțiile acestora. Acest tipar apare și la celelalte plansee care au structura pe grinzi metalice rezemate pe pilaștrii din zidărie (pe holurile de circulație la etaj).
5. se mai observă dislocări ale tencuielilor executate la tavane, peste stuf, vizibile la etaj.
6. s-au remarcat unii șpaleti din zidărie fisurați în general înclinat sau vertical, la parapetii ferestrelor.

Conform proiectului de consolidare realizat în anul 1985, se propuneau o serie de măsuri benefice pentru structură dar care au fost realizate în mică măsură:

- diafragme de beton în aripa principală, în sălile de clasă simetrice față de intrare,
- scări de beton armat refăcute în locul celor existente,
- plansee de beton armat peste holurile de circulație de la etaj.

De la încheierea lucrărilor de consolidare și până în prezent clădirea a mai fost supusă unor acțiuni seismice de mai mică amploare (2 în 1990, 2004, 2007) și de scurtă durată deci se poate afirma că există noi degradări din cauze seismice. Tencuiala pereților exteriori prezintă microfisuri în rețea, înclinate sau verticale dar despre care nu se poate afirma că ar aparține și peretelui portant ci numai calității slabe a mortarului.

Degradări din cauze neseismice.

Conform studiului geotehnic elaborat de firma SC GEOCAD SRL, riscul geotehnic este moderat, deci amplasamentul poate fi încadrat în **categoria geotehnică 2** (fără riscuri anormale sau condiții de teren sau de solicitare neobișnuită).

Natura terenului de fundare este caracterizată ca dificilă conform NP12/2004 însă nivelul apei freactice este la -6,0m fără caracter ascensional.

Pereții subsolului poartă totuși urmele infiltrațiilor de apă provenite probabil de la rețelele purtătoare de apă din zonă ca și de la instalațiile din dotare, defecte.

Clădirea este înconjurată de trotuare perimetrare ca și de o platformă carosabilă. La limita cu clădirea sunt vizibile desprinderi (neetanșeități) și urme de vegetație sau mătasea broaștei. Se observă din releveele foto că mătasea broaștei este prezentă în vecinătatea unor guri de burlane ceea ce denotă că trotuarul nu are pante adecvate îndepărtării apelor pluviale.

Infiltrațiile apelor meteorice le considerăm un hazard pentru stabilitatea amplasamentului și sunt necesare măsuri de îndepărtare a acestora.

Geometria structurii (cf. anexei D, pct. D.2.3)

Observarea atât în ansamblu cât și în amănunt a structurii a oferit următoarele informații:

- Structura este puternic asimetrică din punctul de vedere al distribuției rigidităților și maselor atât pe verticală cât și pe orizontală, forma în plan este neindicată din punctul de vedere al normelor actuale de protecție la seism. Rostuirea clădirii este totuși o intervenție brutală pentru elementele constructive existente (bolți manastirești la parter etc) a căror distrugere ar putea conduce la un dezechilibru major.
- Densitatea peretilor pe cele două direcții este de 7,49% pe direcția N-S respectiv 7,12% pe direcția E-V care corespunde prevederilor P100-1/2006 tab. 8.2 – min. 4%.
- Raportul golurilor/plinului este de cca. 0,31 % aflat sub limita de 1% pe ambele direcții.
- Distribuția golurilor în pereții interiori este uniformă pe nivele și se pare că de-a lungul timpului nu au fost făcute modificări majore ale poziției acestora.
- Pe verticală, pereții structurali sunt în general continui. La etaj, pereții exteriori au grosimi reduse față de cei de la parter cu cca. 1/2 cărămizi, de la 60cm la 43cm, pereții interiori își mențin grosimea,
- Pereții structurali sunt realizați din cărămidă de tip vechi (280×140×55mm) și liant tip pufai (argilă cu var).

Detalii constructive specifice (conform D.2.4).

Comparând cu prevederile CR6-2006 si P100-1/2006 se observă:

- densitatea pereților pe cel 2 direcții este aproximativ egala, de cca 7%, insa P100-1/2006 nu admite utilizarea acestui tip structural pentru clădiri cu 2 niveluri in zone seismice $\geq 0,24g$.
- Planșeele peste parter și etaj sunt metalice cu grinzi secundare si principale sau sunt pe grinzi de lemn sau sunt din bolti de zidărie, in concluzie: fără rigiditate semnificativă, cu rezemare directă peste peretii structurali sau coloane sau pilaștri.

Detaliile constructive sunt cele uzuale în practica vremii:

- buiandrugi din zidărie peste goluri, cu forma în plin cintru sau pleoștită,
- grinzile metalice sunt din profile compuse de tablă groasă, nituite sau bulonate,
- tavanul holurilor de circulație ale parterului sunt tip bolți de intersecție cu muchii ieșite (bolți mânăstiresti),
- cărămizile utilizate sunt presate pline, de tip vechi, cu dimensiunile $265 \times 140 \times 57$ cm, cu rezistența la compresiune de cca $6,75N/mm^2$.
- mortarul este tip fostul M4, fără ciment, nisip cu var vizibil in componența sa.
- Peretii subsolului sunt din zidărie mixtă piatră si cărămidă pe un strat local de umplură (pernă locală),
- Planșeele subsolului sunt din bolțișoare de cărămidă pe profile metalice.

Din sondajele efectuate nu s-au depistat decat unele masuri de consolidare propuse prin proiect:

- Cadre transversale din beton armat în sălile din aripile principală si secundară, la parter,
- cămășuirea la extradados cu beton armat cu plase sudate a casetelor dintre grinzile metalice ale planșeului peste holul central, la etaj.
- Refacerea rampelor scărilor de evacuare, cu beton armat.

În urma unei inspecții în teren *extinse (peste. 30% din pereți)* s-au putut constata următoarele:

- *legăturile dintre pereți la colțuri și la ramificații:* nu sunt asigurate prin elemente de beton armat, nu se cunosc măsurile prevăzute pentru coșurile de fum existente executate prin reducerea secțiunii peretelui,
- *tipul și calitatea legături lor dintre planșee și pereți (centuri, ancore, tiranți etc):* planșeele sunt rezemate pe pereti fără centuri, prin consolidare s-au prevăzut tiranți înglobați în centuri de beton armat incastrate în zidărie dar care nu s-au identificat prin sondaje,
- *buiandrugi cu rezistență la încovoiere:* nu există,
- *elemente care pot prelua împingeri sau care pot crea împingeri:* există boltile mânăstirești ale holurilor ca si arcele colonadelor holului central de la parter,
- *zone slăbite în zidărie:* în trecut clădirea s-a încălzit cu sobe din teracotă și există urmele unor coșuri de fum executate în grosimea pereților și care slăbesc secțiunea acestora – nu se cunoaște starea lor fizică. Cosurile de fum de la nivelul șarpantei au fost demolate in timp,
- *intervenții în timp asupra construcțiilor:*
 - o *modificarea poziției și/sau dimensiunile golurilor din pereții structurali:* NU sunt vizibile,
 - o *spargerea șlițurilor verticale pentru instalații:* NU, instalațiile sunt vizibile la fața pereților,
 - o sunt cunoscute lucrările de interventie executate asupra clădirii și șarpantei după proiectul întocmit in anul 1985 și care au avut la bază soluțiile proiectului ISLGC 1923/1985, astfel: *tuburi din beton armat pentru lifturi mont-charge* – introduse in 1985, elemente daunătoare structurii de rezistență, care a produs deja avarii la solicitări seismice de mică intensitate, *refacerea scărilor de acces pe nivele, cu beton armat,*

Alcătuirea elementelor structurale/nestructurale, cu vulnerabilitate ridicată:

- există elemente majore de zidărie situate la ultimul nivel (aticul) și neancorate de structură. Cornișa superioară aticului este masivă iar structura de zidărie a aticului nu este conformă: nu are elemente de inramare din beton armat, are blocuri din zidărie dislocate, măcinate. În plus elementele șarpantei de lemn reazemă pe atic. Se consideră element cu vulnerabilitate ridicată.
- Elementele de lemn ale șarpantei sunt atacate de microorganisme datorită infiltrațiilor permanente ale apelor meteorice. Secțiunile sunt subdimensionate iar ancorarea de structură, practic, inexistentă.
- Tuburile de beton armat ale lifturilor mont charge – produc degradări peretilor din zidărie prin deplasările relative mari ce le au la solicitări moderate și lipsa rosturilor antiseismice,
- *elementele minore din zidărie*, - nu există,
- nu se remarcă *elemente nestructurale* ce pot provoca incendii, explozii, întreruperea funcționării clădirii și nu au interacțiuni necontrolate cu elementele structurii.
- *Alcătuirea planșelor: planșeele sunt fără rigiditate în plan* și sunt considerate cu vulnerabilitate ridicată ca și faptul că au o alcătuire neuniformă în planul aceluiași nivel cu goluri excentrice, de mari dimensiuni (9,0×8,30m deasupra scării principale și 8,70×8,80m la curtea interioară a aripii principale),
- *Alcătuirea infrastructurii și fundațiilor:* există subsol parțial, cu înălțime supraterană de cca. 100cm, iar fundațiile sunt tip talpă continuă din zidărie de piatră cu adâncimea de fundare de cca. 220cm de la CTA în zona cu subsol și 90cm în zona fără subsol.
- *Condiții de teren:*

Asa cum se menționează în studiul geotehnic elaborat de SC GEOCAD SRL terenul are următoarele caracteristici:

stratificație:

- 0,00-0,80m - umplutura
- 0,80-1,80m - nisip prafos cafeniu cu intercalații de pietriș mic, plasticitate medie, umed, stare consistentă plastic moale, compresibile,
- 1,80-6,00m - praf argilos galben cafeniu cu concrețiuni **calcaroase**, plasticitate medie, stare plastic consistentă.

Stratificația este practic uniformă și orizontală. Nivelul freatic nu a fost întâlnit în timpul forajului.

nivelul apei freatice:

- a fost întâlnit la -6,00m de la CTA și nu are nivel ascensional, variabil.

Proprietățile materialelor (conform D.2.5).

În cap. *Schițe și figuri* sunt prezentate pozițiile sondajelor efectuate pentru a identifica elementele de consolidare propuse prin proiect.

Examinarea s-a desfășurat pe un procent de peste 30% din pereții structurali – *inspecții în teren extinse* (limitate de orarul de funcționare în interiorul clădirii) și a fost atât vizuală cât și distructivă. Se constată:

- nu există suprafețe cu tencuieli interioare sau exterioare, cămășuite,
- nu există stâlpișori din beton armat încadrați în zidărie.
- Nu există planșee de beton armat peste holurile de circulație pe nivel.

Conform Raportului de încercări cu nr.07/2012 elaborat de dr.ing. Babor Dănuț, încercarea rezistenței blocurilor de cărămidă prin metoda distructivă, conform normativ SR EN 772-1 a demonstrat o rezistență la compresiune de cca 6,76N/mm².

Marca de mortar a reieșit tip fostul M4, fără ciment, cu var.

Neconformități de alcătuire

Normativele de bază pentru interpretarea neconformităților de alcătuire sunt:

- P100-1/2006, P100-3/2008, CR6-2006, NP112/2004.

Se constată că, în acest moment, clădirea prezintă neconformități severe de alcătuire a elementelor structurale (aspecte prezentate pe larg prin metodele de evaluare calitativă -cap. 6).

Evaluarea elementelor nestructurale

Nu există elemente nestructurale ce pot provoca incendii, explozii, întreruperea funcționării clădirii cum ar fi conductele de gaz metan, cazanele, conductele cu agent termic.

Trotuarele nu sunt corect executate în vederea îndepărtării apelor pluviale (dislocate, cu verdeată), fără pante adecvate. Există și zone în care platformele carosabile au pantă înspre clădire: fațada laterală dreapta.

Procedeu de stabilire a forțelor seismice în perioada construirii (sec XIX). În perioada construirii cunoașterea noțiunilor de calcul de rezistență era foarte precară, practic inexistentă iar majoritatea clădirilor erau construite după reguli empirice, însă utilizarea simetriei și a regularității în plan și pe verticală este benefică, în special în ceea ce privește alcătuirea și dispunerea elementelor portante verticale.

Măsurile de consolidare propuse în anul 1986 urmărea prevederile P100/81 în care pentru prima dată apăreau prevederi referitoare la punerea în siguranță a construcțiilor existente, dar nu se dădea posibilitatea aprecierii unui anumit grad de asigurare pe baza pe bază căruia să se poată lua o decizie de intervenție de către expert.

Condiții de exploatare și întreținere

Conform P100-1/2006 *clasa de importanță și expunere la cutremur este II* (clădire din patrimoniul național).

Datorită duratei de viață importante, cca. 120 ani ca și multiplelor funcțiuni și proprietari (și mai ales a parcurgerii perioadei comuniste) este de bănuț că modul de întreținere a fost deficitar de-a lungul timpului, fapt ce nu mai este vizibil în zilele noastre, clădirea fiind renovată în anii 90.

În ansamblu, se poate aprecia că starea tehnică este bună.

STABILIREA NIVELULUI DE CUNOAȘTERE ȘI A FACTORULUI DE ÎNCREDERE.

Criterii de stabilire a nivelului de cunoaștere:

- *Geometria structurii:* din releveele structurii atât actuale cât și cele realizate în anii 80 se cunosc amănunțit dimensiunile de ansamblu a elementelor structurale și nestructurale.
- *Alcătuirea elementelor structurale și nestructurale:* S-au obținut informații limitate din inspecțiile pe teren și prin încercările distructive,
- *Materialele utilizate:* s-au utilizat valorile parametrilor furnizați de laboratorul de încercări asupra cărămizilor și mortarului probele fiind însă limitate ca număr.

Conform tabelului 4.1 din P100-3/2008 se stabilește nivelul limita de cunoaștere, **KL1-cunoaștere limitată**. Prin urmare, **valoarea factorului de încredere, CF = 1,35**.

3. CONDIȚII SEISMICE ȘI DE AMPLASAMENT

PALATUL ADMINISTRATIV din BRĂILA, Calea Călărășilor nr. 29 este amplasată în zona seismică ce este caracterizată de o valoare de vârf a accelerației terenului de **$a_g=0,24g$** precum și de o perioadă de control a spectrului de răspuns de **1,0s**.

- *Terenul de fundare* este un **nisip prafos cafeniu cu infercalații de pietriș mic, plasticitate medie, umed, stare consistenta plastic moale, compresibile**

- *Condiții climatice*

- încărcarea din zăpadă la sol:

$S_0=2,5kN/mp;$

- zona climatică II, conform STAS 1907/91;
- presiunea de referință a vântului: 0,5kPa,
- adâncimea de îngheț: 90-100cm.

4. **REZULTATELE ÎNCERCĂRILOR IN-SITU**

S-au întreprins încercări distructive asupra blocurilor de cărămidă și mortarului conform SREN 772-1 cu ajutorul cărora s-au determinat rezistența la compresiune a cărămizilor și s-a stabilit marca mortarului.

Rezultatele sunt anexate în raportul firmei SC MULTITASK SRL.

Se constată următoarele:

- $R_c=6,76\text{N/mm}^2$. În calcule s-a considerat acoperitor $6,0\text{N/mm}^2$.
- mortarul are marca M4, după vechea terminologie.

5. **OBIECTIVELE DE PERFORMANȚĂ**

Obiectivul de performanță este dictat de *nivelul de performanță structurală / nestructurală* al clădirii evaluat, pentru nivelul de hazard seismic al clădirii.

Nivelurile de performanță a clădirii descriu performanța seismică așteptată a acesteia prin descrierea degradărilor, a pierderilor economice și a întreruperii funcțiunii acesteia. Se adoptă *nivelul de performanță de siguranță a vieții asociat stării limită ultime (ULS)*.

Asociat cu nivelul de performanță – *siguranță a vieții* este *Obiectivul de performanță de bază, OPB*.

Caracterizarea acestui nivel de performanță se realizează prin:

- *Condiții structurale*: se preconizează o stare post seism cu degradări semnificative dar pentru care rămâne o marjă de siguranță față de prăbușirea totală sau parțială. Unele elemente sunt serios avariate fără ca acestea să pună în pericol viața ocupanților prin căderea unor părți degradate. Deși unele persoane pot fi rănite, riscul general de pierdere de vieți rămâne scăzut. Construcția este reparabilă dar repararea construcției poate fi dictată de criterii economice. Clădirea avariata rămâne stabilă. Ca o măsură de precauție suplimentară pot fi prevăzute sprijiniri și reparații structurale de urgență.

- *Condiții nestructurale*: pot apărea degradări semnificative și costisitoare ale elementelor nestructurale dar acestea nu sunt dislocate și nu amenință prin cădere viața oamenilor înăuntrul sau în afara clădirilor.

- *Cale de acces*: nu sunt blocate total dar circulația poate fi afectată. Instalațiile pot fi avariate putând rezulta inundații locale și chiar ieșirea din funcțiune a unora din acestea. Deși se pot produce răni ale ocupanților prin căderea unor fragmente de elemente, riscul global de pierdere de vieți este foarte redus.

6. **EVALUAREA SIGURANȚEI SEISMICE**

6.1 **METODOLOGII DE EVALUARE**

Alegerea metodei de investigare a fost determinată de starea construcției și ținându-se cont de reglementările existente:

- Acțiuni asupra structurilor – SR EN 1991-1-1 – Eurocod 1;
- Cod de proiectare. Bazele proiectării structurilor în construcții – CR 0–2005;
- Cod de proiectare seismică P100 – Partea I – P100-1/2006: Prevederi de proiectare pentru clădiri;
- P100-3 – Cod de evaluare și proiectare a lucrărilor de consolidare la clădiri existente, vulnerabile seismic, Volumul I – Evaluare;
- P100-3 – Cod de evaluare și proiectare a lucrărilor de consolidare la clădiri existente, vulnerabile seismic, Volumul II – Consolidare;

- Normativ privind proiectarea structurilor de fundare directă - indicativ NP112-2004;
- CR6-2006 – Cod de proiectare pentru structuri din zidărie.

Având în vedere că structura analizată are două nivele din zidărie nearmată, cu planșee fără rigiditate în plan, se utilizează **metodologia de nivel 2**, conform **pct. D.3.2 alin. (4) din P100-3/2008**.

Nr. crt.	CRITERIU	SITUATIA IN SITU
1.	cunoștințele tehnice în perioada realizării clădirii	Sumare, neacoperitoare, dimensionare la sarcini gravitaționale
2.	complexitatea structurală a clădirii (proporții, deschideri, regularitate etc)	Regularitate geometrică și de rigiditate pe orizontală și pe verticală
3.	nivelul de cunoaștere	KL1-cunoaștere limitată pt. ca s-au făcut testări limitate și inspecții în teren limitate
4.	funcțiunea, valoarea și importanța clădirii,	Categoria C de importanță (normală), clasa a II-a de importanță
5.	condițiile privind hazardul seismic pe amplasament: accelerația seismică pentru proiectare, condițiile locale de teren,	- $a_g=0,24 \times g$, - Teren dificil de fundare: nisip prafos cafeniu cu infercalatii de pietriș mic, - Nivelul apei freatice a fost întâlnit la -6,0m de la CTA și NU are nivel ascensional.
6.	tipul sistemului structural:	Zidărie nearmată, planșee fără rigiditate în plan cu excentricități și goluri mari, fundații continue din zidărie de piatră și cărămidă, șarpantă de lemn în patru ape.
7.	nivelul de performanță stabilit pentru clădire	Starea limită ultimă, (SLU)

Se stabilește metodologia de evaluare de **nivel 2**, metodologie de tip curent pentru construcțiile obișnuite de orice tip.

Metodologia de nivel 2 implică:

- **evaluarea calitativă** constând în verificarea listei de condiții de alcătuire structurală date în anexele aferente tipului structural din P100-3/2008 – pct. D3.3.2

- **evaluarea cantitativă** bazată pe un calcul structural elastic și factori de comportare diferențiați pe elemente.

Astfel, principiile metodei sunt:

- efectele cutremurului sunt approximate printr-un sistem de forțe convenționale aplicate construcției corespunzătoare răspunsului seismic elastic evaluat pe baza spectrului de răspuns neredus prin factorul q (valorile acestui factor sunt prezente în anexele P100-3/2008 diferențiate în funcție de tipul structural).

- relația de verificare depinde de modul de cedare, ductil sau fragil, al elementului structural considerat la diferitele tipuri de solicitare.

* în cazul cedărilor **ductile** verificarea se face comparând efortul înregistrat sub acțiunea forțelor laterale și gravitaționale împărțit la un factor de comportare a cărui valoare este specifică naturii ruperii elementului cu efortul capabil,

* în cazul cedărilor **neductile** verificare constă în compararea efortului rezultat sub acțiunea forțelor laterale și gravitaționale asociate plastificării elementelor structurale ductile cu efortul calculat cu valorile minime ale rezistențelor materialelor (valorile caracteristice împărțite la CF și coeficienții parțiali de siguranță).

Calculul structural în metodologia de nivel 2

Se consideră spectrele de răspuns elastic cu ordonatele nereduse prin factorul **q**.

Distribuția pe verticală a forțelor seismice orizontale se face conform P100-1/2006 pct.

4.5.3.2.4

Efortul de torsiune de ansamblu se determină pe baza prevederilor P100-1/2006 cf. pct.

4.5.3.3.3.

Determinarea valorilor de proiectare ale rigidităților se determină tot cf. P100-1/2006 împreună cu precizările suplimentare din anexa E a aceluiași normativ.

Verificarea elementelor structurale se face la starea limită ultimă ULS: verificarea rezistenței și a deplasărilor laterale.

Cerințele de deplasare se determină înmulțind valorile obținute din calculul structural cu încărcările elastice nereduse cu coeficientul de amplificare **c**.

$$1 \leq c = 3 - 2.5 \frac{T}{T_c} \leq 2$$

Verificarea de rezistență depinde de modul de cedare ductil sau fragil al elementului structural considerat, sub acțiunea efortului. Relația de verificare are forma: $E_d \leq R_d$ în care:

- R_d =valoarea efortului capabil calculată pe baza modelelor mecanice specifice tipului de structură și pe baza rezistențelor.
- E_d este efortul total de calcul.

6.2 EVALUAREA CALITATIVĂ DETALIATĂ

Evaluarea calitativă a avut la bază următoarele aspecte:

- *Traseul încărcărilor:* aceste condiții au în vedere existența unui sistem structural continuu și suficient de puternic care să asigure un traseu neîntrerupt, cât mai scurt în orice direcție al forțelor seismice, din orice punct al structurii până la terenul de fundare.

În alcătuirea structurală a imobilului **nu** s-au constatat întreruperi în acest traseu având în vedere regularitatea pe verticală. Sunt însă evidente aspecte structurale care pot să conducă la concentrări de eforturi.

Planșeele nu pot fi vizionate în acest moment decât parțial peste etaj. Sunt vizibile zone de dislocare față de reazeme în multiple locuri. Golurile în planșeele peste parter sunt poziționate defavorabil conform P100-1/2006.

Pereții nestructurali de compartimentare și nici celelalte elemente nestructurale nu prezintă semne de dislocare față de structură.

- *Redundanța:* s-a observat că atingerea și depășirea probabile ale eforturilor capabile în elementele de rezistență nu a condus la un dezechilibru structural general sau local.

- *Configurația clădirii:*

- *Regularitate:*

- Se observă o **NEREGULARITATE** pronunțată a distribuției de rigiditate laterală,
- Regularitatea geometrică e **NEUNIFORMĂ** pe orizontală și **UNIFORMĂ** pe verticală

- Regularitatea distribuției maselor – clădirea are o distribuție UNIFORMĂ a maselor pe înălțime, având în vedere că nici un nivel nu are o masă mai mare/mică cu 50% față de cel adiacent,
- *alcătuirea planșeelor*: planșeele nu au rigiditate în plan, au structuri diferite și sunt simplu rezemate pe contur Planșeul peste parter are 2 goluri de mari dimensiuni dispuse nefavorabil.
- *alcătuirea fundațiilor*: fundațiile sunt tip talpă continuă din zidarie de piatră /cărămidă cu adâncimea de fundare redusă (cca 90cm) care nu satisface condiția din NP112/2004 – tabel 3.1 privind adâncimea minimă de fundare.
- *Interacțiunea clădirii cu alte construcții învecinate*: clădirea analizată NU se învecinează cu alte clădiri în imediata apropiere.

6.2.1 GRADUL DE ÎNDEPLINIRE A CONDIȚIILOR DE ALCĂTUIRE SEISMICĂ – INDICATORUL R1

Nr. crt.	CRITERIU	PUNCTAJ
1.	CALITATEA SISTEMULUI STRUCTURAL - se penalizează structura având în vedere neconformitățile structurale: zidărie nearmată, 2 niveluri, zonă seismică 0,24g. Țesăturile sunt bine realizate. Neîndeplinire moderată	4
2.	CALITATEA ZIDĂRIEI - se penalizează pentru calitatea slabă a materialelor de construcție. Neîndeplinire moderată	5
3.	TIPUL PLANȘEEELOR - planșee fără rigiditate în plan, fără ancoraje temeinice față de structură Goluri mari dispuse nefavorabil. Neîndeplinire majoră	3
4.	CONFIGURAȚIA ÎN PLAN - densitate corespunzătoare a pereților pe ambele direcții, fără retrageri, - raport între laturi, NEcorespunzător, - lipsă rosturi antiseismice la lungimile prevăzute, - nesimetrie pronunțată pe ambele direcții. Neîndeplinire majoră	3
5.	CONFIGURAȚIA ÎN ELEVAȚIE - uniformitate geometrică și structurală pe verticală. Neîndeplinire moderată	6
6.	DISTANȚE ÎNTRE PEREȚI - sistem structural cu pereți rari sau tip sală. Neîndeplinire moderată	7
7.	ELEMENTE CARE DAU ÎMPINGERI LATERALE – există bolti de intersecție și colonade care susțin planșeele etajului. Elementele care preiau împingerile sunt nesemnificative, zvelte. Neîndeplinire majoră	3
8.	TIPUL TERENULUI DE FUNDARE ȘI AL FUNDAȚIILOR - teren dificil de fundare - fundatii din zidărie de piatră+cărămidă. - adâncime redusă de fundare Neîndeplinire majoră	3
9.	INTERACȚIUNI POSIBILE CU CLĂDIRILE ADIACENTE- NU SUNT	10
10.	ELEMENTE NESTRUCTURALE - aticul din zidărie nearmată, cu înălțime mare și care susține șarpanta de lemn, - elemente decorative la atic ce pot prezenta pericol de prăbușire	4

- șarpanta de lemn subdimensionată, cu ancoraje sporadice. Neindeplinire majoră.	
TOTAL R1	48

Conform tabelului 8.1 din P100-3/2008, **R1** corespunde **clasei seismice II**.

6.2.2 GRADUL DE AFECTARE STRUCTURALĂ – INDICATORUL R2

Conform tabelului D.3 din *Anexa D* a normativului P100-3/2008, calculul indicatorului R2 în metoda de evaluare detaliată, se face cu formula:

$$R_2 = A_h + A_v$$

În care: A_h sunt elementele orizontale, A_v sunt elementele verticale.

Utilizând informațiile culese in-situ (pentru o suprafață afectată de 1/3 ... 2/3), cu avarii grave), se obțin valorile:

$$A_h = 15, A_v = 45 \rightarrow R_2 = 60.$$

Conform tabelului 8.2 din P100-3/2008, R2 corespunde **clasei seismice II**.

6.2.3 GRADUL DE ASIGURARE SEISMICĂ STRUCTURALĂ – INDICATORUL R3

Calculul se desfășoară tabelar în *capitolul 3. Breviar de calcul* în ambele situații: înainte și după aplicarea măsurilor de consolidare.

Nu s-au cuantificat eventualele măsuri de consolidare aplicate în anii 1985-86.

Acest indicator R_3 reprezintă raportul dintre capacitatea și cerința structurală seismică exprimată în termeni de **rezistentă** pentru starea limită ultimă (ULS).

A. Determinarea forței tăietoare de bază pentru ansamblul clădirii

Se utilizează calculul linear elastic cu utilizarea forței laterale static echivalente și a relației 6.1 din P100-3/2008 (pct. D.3.4.1.1).

$$F_b = \gamma_I \cdot S_d(T_f) \cdot m \cdot \lambda$$

în care, parametrii sunt definiți în cap. 6.7.2 din P100-3/2008.

Se apreciază în cazul nostru:

$\lambda = 1$, clădire cu 2 niveluri

$$T_f = k_T \cdot H^{3/4} = \underline{\underline{0,38s}} \text{ în care } k_T = 0,045 \text{ pentru structuri cu pereți de zidărie și } H = 13,40m.$$

Valorile medii ale eforturilor unitare **normale** în secțiunile pereților produse de încărcările verticale, se determină pe baza ariilor aferente de planșeu (cu distribuție trapezoidală pentru planșeele din beton armat și dreptunghiulară în cazul planșeele din lemn) utilizând valorile încărcărilor considerate în gruparea fiecărei încărcări care include acțiunea seismică conform CR0-2005. Calculul este detaliat în *capitolul Breviar de calcul*.

Valorile medii ale eforturilor unitare **tangentiale** în elementele verticale ale structurii se determină cu relația 6.5a din P100-3/2008,

$$v_m = \frac{F_b}{A_c};$$

$$v_{m \text{ tr.}} = 2,00 \text{ [daN/m}^2\text{]};$$

$$v_{m \text{ long.}} = 2,14 \text{ [daN/m}^2\text{]};$$

în care, A_c = este suma ariilor pereților dispuși în direcția în care se face calculul.

La nivel structural, indicatorul R_3 se determină astfel:

$$R_3 = \frac{\sum V_{R_{dj}}}{\sum V_{E_{dj}}^* / q_j} \text{ în care:}$$

- $V_{R_{dj}}$ este forța tăietoare capabilă a elementului vertical j,
- $V_{E_{dj}}^*$ este forța tăietoare în elementul j obținută pe baza valorilor din spectrul de răspuns neredus,
- q_j este factorul de comportare atribuit elementelor pe baza mecanismului potențial de rupere (se ia din anexele aferente din normativul P100-3/2008).

În situația clădirii expertizate, utilizând informațiile culese „in situ” se apreciază o comportare ductilă a tuturor elementelor de rezistență implicate. Se observă și unele cedări fragile în pereti ca și la boltile mănastirești ale parterului, de fapt nu sunt vizibile articulații plastice sau alte degradări structurale.

Pentru **factorul de comportare q_j** s-a considerat valoarea **2**, din tabelul B.4 al normativului P100-3/2008.

B. Distribuția forțelor seismice orizontale asupra pereților

Pentru calculul la acțiunea seismică în planul pereților, distribuția forței tăietoare de bază pentru ansamblul clădirii, F_b , între pereții structurali se face în funcție de tipul planșeelor, astfel, pentru planșee cu rigiditate nesemnificativă în planul orizontal, distribuția se realizează proporțional cu masa totală aferentă fiecărui perete structural orientat cu axa majoră pe direcția foței seismice.

Modelul de calcul static pentru pereții cu goluri de ușă în cazul nostru, se consideră cel de la pct. D.3.4.1.2 (4) ii – plinuri de zidărie (grinzi de cuplare) cu rezistență și rigiditate nesemnificativă la încovoiere – *model de tip console legate la nivelul fiecărui planșeu cu bare articulate la capete*.

C. Calculul capacității de rezistență pentru acțiunea seismică în planul pereților

C.1 Rezistențele medii de proiectare ale zidăriei

C.1.1 Rezistența medie la compresiune pentru pereții solicitați la încovoiere cu forță axială f_d se calculează:

$$f_d = \frac{f_m}{\gamma_M CF} = 10,68 \text{ [daN/cmp]}$$

În care $f_m = 13,00$ [daN/cmp] se determină conform CR6/2006 prin intermediul $f_k = 9,85$ [daN/cmp], iar conform pct. D.3.4.1.3.1 (2) γ_M **coeficientul parțial de siguranță pentru zidărie** se ia egal cu **3,0** corespunzător zidăriilor vechi și mortar cu var

C.1.2 Rezistența de proiectare pentru pereții solicitați la forță tăietoare depinde de mecanismul de rupere, astfel:

A - pentru rupere prin lunecare în rost orizontal $f_{vd} = \frac{f_{vk}}{\gamma_M \cdot CF}$

Unde f_{vk} este rezistența caracteristică de rupere la forfecare în rost orizontal, iar γ_M se ia conform CR6-2006. Pentru clădiri vechi, cu zidării pline și mortar cu var, f_{vk} se calculează cu relațiile 4.3a, 4.3b din CR6-2006:

$$f_{vk} = f_{vk0} \cdot 0,4\sigma_d \quad \text{și} \quad f_{vk} = (0,034f_b + 0,14\sigma_d)$$

în care:

- rezistența unitară caracteristică inițială la forfecare a zidăriei se ia $f_{vk0} = 0,045 \text{ N/mm}^2$,
- σ_d este efortul unitar de compresiune perpendicular pe planul de forfecare în perețele de zidărie în secțiunea considerată.

B – pentru rupere în scară sub efectul eforturilor principale de întindere $f_{td} = \frac{0,04f_m}{\gamma_M CF}$

D. Capacitatea de rezistență a pereților structurali pentru forțe în planul pereților

Se calculează tabelar în capitolul *Breviar de calcul* (tab. 3) cu respectarea metodologiei din P100-3/2008, anexa D, pct D.3.4.1.3.2. – zidărie narmată.

Se evidențiază pereții cu comportare ductilă față de cei cu comportare neductilă. Din tabelul 3 se remarcă comportarea **fragilă și ductilă** a pereților.

Sarcina seismică s-a apreciat ca și pentru o clădire nouă, conform P100-1/2006 în *Breviar de calcul*.

R_3 s-a calculat cu relația D15 din P100-3/2008 și metodologia de calcul a respectat prevederile cap. D.3.4.1.6 – structuri cu planșee cu rigiditate nesemnificativă în plan.

Calculul s-a desfășurat și cu verificarea indicatorului R_3 la nivel de element.

E. Verificarea capacității de rezistență pentru clădiri cu planșee cu rigiditate semnificativă în plan orizontal (metodologia de nivel 2)

Capacitatea de rezistență se calculează separat pe ambele direcții de acționare, pentru fiecare din pereții orientați cu axa majoră în direcția de acțiune a forței seismice.

Calculul cf. P100-3/2008, pct. D.3.4.1.5, se desfășoară tabelar în capitolul *Breviar de calcul*.

Se remarcă tot din tabelul 3 că gradul de asigurare la seism, R_3 , pe ambele direcții de acționare are valorile:

$$R_{3 \text{ transv}} = 0,19 < 0,65 \text{ și } R_{3, \text{ longit}} = 0,07 < 0,65.$$

F. Siguranța față de acțiunea seismică perpendiculară pe planul pereților

Având în vedere legătura dintre pereti și planșeu în situația de față, modelul de calcul este *tip perete cu prinderi articulate la nivelul planșeelor (cazul planșeelor cu grinzi metalice, bolțișoare din zidărie, rezemate pe perete, cu sau fără ancore)*.

De asemenea, în funcție de legăturile pereților cu pereții perpendiculari, modelul reproduce:

- perete cuplat cu pereți perpendiculari,
- geometria pereților,
- zidărie țesută și fără armare în rost la intersecții.

Verificarea prin calcul a stabilității și rezistenței pereților la acțiunea seismică perpendiculară pe plan se face pentru o forță statică echivalentă determinată conform Cap. 10 din P100-1/ 2006, relația 10.1.

$$4\gamma_{CNS} a_g m_{CNS} \geq F_{CNS}(z) = \frac{\gamma_{CNS} \cdot a_g \cdot \beta_{CNS} \cdot K_z}{q_{CNS}} m_{CNS} \geq 0.75\gamma_{CNS} a_g m_{CNS} \text{ în care:}$$

- factorul de reducere $q=2,5$ cf. D.3.4.2 (3) din P100-3/2008,
- coeficientul de amplificare $\beta_{CNS}=1,0$ cf. D.3.4.2 (3) din P100-3/2008,
- $\gamma_{CNS}=\gamma_I=0,8$ coeficient de importanță al CNS cf. pct. 10.3.1.3.1 din P100-1/2006,
- $a_g=0,2g$ pentru zona seismică IASI,
- $K_z=1+2\frac{z}{H}=2,50$ în care $z=11,20$ este cota de prindere de structură a CNS și $H=13,68$ m este înălțimea medie a pereților în raport cu baza construcției.
- $q_{CNS}=1,5$ factor de comportare a CNS cf. P100-1/2006, pct. 10.3.1.3.3, tab. 10.1 – pct. A2,
- m_{CNS} = masa maximă a CNS în exploatare.

Verificarea pereților la răsturnare se realizează după identificarea mecanismului de răsturnare (în cazul nostru, o zonă a peretelui, pe un singur nivel), cu utilizarea raportului

$$R_{3, st} = \frac{M_{st}}{M_r}$$

Calculul se desfășoară tabelar în capitolul *Breviar de calcul* tabelul 5.
Se remarcă faptul că toți pereții se încadrează ca *nesiguri* la acțiuni perpendiculare pe planul lor.

7. EVALUAREA FUNDAȚIILOR

7.1 Evaluarea seismică a sistemului de fundare existent care nu a fost dimensionat pentru preluarea forțelor seismice, are la bază următoarele observații:

- infrastructură alcătuită din tălpi de fundare continui sub ziduri, din zidărie de piatră+cărămizi, fără rigiditate spațială și care nu pot prelua eventualele eforturi de întindere transmise de teren. Structura se consideră încastrată deasupra fundațiilor,
- Adâncimea de fundare este de cca. 90 cm față de CTA,
- conform *Breviarului de calcul*, fundațiile nu sunt dimensionate corespunzător, astfel încât să preia încărcările suprastructurii având în vedere datele studiului geotehnic, se constată o presiune efectivă de cca. **267,0,1 kN/mp** în varianta existentă fără subsol și **322,36kN/mp** luând în considerare și greutatea elementelor structurale și nestructurale ale subsolului. Aceste valori depășesc p_{conv} prezentate în studiul geotehnic și sunt necesare măsuri de consolidare și adaptare a dimensiunilor.

7.2 În urma evaluărilor prin calcul ale măsurilor de consolidare pe fiecare șpalet s-au obținut următoarele presiuni efective (calcul tabelar în cap. *Breviar de calcul*):

- între 80 și 210kPa valori care corespund parametrilor furnizați de Studiul Geotehnic.

8. SINTEZA EVALUĂRII ȘI FORMULAREA CONCLUZIILOR. ÎNCADRAREA ÎN CLASE DE RISC SEISMIC

Date tehnice ale construcției:

Anul construirii: **1891-1894,**
Regim de înălțime: **S_{partial}+P+1E+M_{partial}**
Funcțiuni: **Parte+Etaj: săli de curs, cabinete, laboratoare, birouri, depozități, AULĂ, grupuri sanitare, holuri, casa scârilor, bibliotecă**
Mansarda: birouri, depozite, holuri, casa scârilor,
Subsol: idem parter+etaj
Cota max. a clădirii: **20,40m** față de cota ± 0,00
Aria construită (Ac): **2130,0m²**
Aria desfășurată (Ad): **5474,40m²,**

Structura de rezistență:

- *pereți structurali din zidărie nearmată* de cărămidă presată plină, cu compartimentare de tip **rar/tipsală**,
- *planșee* : planșee pe grinzi metalice ortogonale, planșee din lemn, planșee din bolti de cărămidă (mânăstirești), scări din beton armat de 10cm grosime, boltisoare de cărămidă pe profile metalice,
- *fundații* tip talpă continuă din zidărie de piatră sau cărămidă cu adâncimea de fundare de cca. 90- 220cm (in zona cu subsol) de la CTA.
- *finisaje exterioare*: tencuială simplă drișcuită cu multiple decorațiuni specifice stilului arhitectural: acadramente, frontoane, muluri, simplu, drișcuite și zugrăvite cu var,
- *finisaje interioare*: tencuieli simplă drișcuite și zugrăveli cu var în culori pastel, ipsoserii la pereți și tavane, pardoseli din mozaic de marmură freat, marmură, pardoseli calde din parchet de lemn placaje faianță și gresie.
- *tâmplărie* din lemn, dublă pe toc, finisată opac prin vopsire culori de ulei.
- *acoperiș*: tip șarpantă de lemn în patru ape, învelitoare din tablă de cupru și parțial tablă

zincată

- instalații: interioare electrice, agent termic de la punctul termic, apă-canal, telefonie, voce-date, exterioare: racord la toate utilitățile de tip urban.

Caracteristici seimice ale amplasamentului:

Zona seismică cu $a_g=0,24g$.

Perioada de colț (Tc): **1,0s**

Clasa de importanță: **II**

Coef. de imp și expunere la cutremur $\gamma_I=1.20$.

Caracteristici teren de fundare:

- 0,00-0.80m - umplutura

- 0,80-1,80m - nisip prafos cafeniu cu intercalații de pietriș mic, plasticitate medie, umed, stare consistentă plastic moale, compresibile,

- 1,80-6,00m - praf argilos galben cafeniu cu concrețiuni **calcaroase**, plasticitate medie, stare plastic consistentă.

Stratificația este practic uniformă și orizontală. Nivelul freatic nu a fost întâlnit în timpul forajului.

- nivelul apei freatică: a fost întâlnit la -6,0m de la CTA și NU are nivel ascensional. Terenul e caracterizat ca „teren dificil de fundare”.

Avarii tipice constatate la

*elementele de rezistență: -fisuri/fracturi înclinate și verticale la peretii structurali,

-fisuri ale bolturilor din zidărie la cheie și la nastere,

-fisuri verticale ale buiandrugilor și parapetilor din zidărie ai ferestrelor,

-desprinderea grinzilor metalice ale planșeelor de pe reazeme, peste pilaștri sau peretii din zidărie,

- elemente de lemn ale șarpantei deformată, cu cedări locale.

*elementele nestructurale:

- tencuieli interioare și exterioare degradate de igrasie, decolate de pe suport,

-pardoseli fisurate, cu strat de uzură degradat,

-Tamplarie neetanșă, deformată, învelitoarea și accesoriile degradate, neetanșă care permit infiltrații până la nivelul elementelor structurale,

- Trotuare fracturate, deplasate, neetanșă.

Procesul de evaluare a siguranței structurale a furnizat următoarele rezultate:

1. din punct de vedere al evaluării calitative a rezultat un indicator **R1 = 48** (cls. II)

2. din punct de vedere al evaluării stării de degradare a rezultat un indicator **R2 = 60** (cls.

II),

3. din punct de vedere al evaluării analitice prin calcul a rezultat prin metodologia de nivel 2, valoarea gradului de asigurare la seism

$R_{3\text{ transv}} = 0,19 < 0,65$ și $R_{3\text{ longit}} = 0,07 < 0,65$ (cls. I).

În consecință, considerând încadrarea minimă, se apreciază **clasa a I-a** de risc seismic ce cuprinde construcțiile construcțiile cu risc ridicat de prăbușire sub incidenta cutremurelui probabil pe amplasament.

Conform cap. 8.4 din P100/3-2008 necesitatea intervențiilor structurale se impune pentru un grad de asigurare seismică **$R_3 < 0,65$** pentru sursa seismică Vrancea.

9. SOLUȚII DE INTERVENȚIE PROPUSE

9.1 Alegerea nivelului de intervenție.

Clădirea expertizată este înscrisă în categoria C de importanță normală, starea sa tehnică este degradată cu avarii definite ca moderate spre grave cf. criteriilor P100-3/2008.

Nivelul de intervenție, trebuie să evite prăbușirea și prin urmare să asigure protecția vieților omenești și bunurilor materiale ca și o asigurare neîntreruptă a utilităților în caz de cutremur.

9.2 PROPUNERI SOLUȚII DE INTERVENȚIE.

Pentru reabilitarea sistemului structural și conformarea acestuia la viitoarele acțiuni seismice caracteristice pe amplasament, se propun următoarele măsuri de intervenție:

1 Infrastructura

A - se vor cămășui pe ambele fețe atât fundațiile interioare cât și cele exterioare, cu lărgirea tălpii de fundare conform sarcinilor existente și celor suplimentare transmise de elementele de consolidare. Cămășuiala va avea min. 12cm pe fiecare față (se va calcula în proiectare) și se va arma cu plase sudate min. $7,1(8) \times 100 / 7,1(8) \times 100$ mm cu respectarea acoperirii de beton aferentă fetelor în contact cu pământul.

Adâncimea de fundare se va majora prin subfundări cu grinzi duble din beton armat turnate monolit odată cu cămășuiala. Aceste grinzi vor susține talpa de fundare pe min. 15cm pe fiecare față.

Lățimea grinzilor de fundare este diferită în funcție de poziția șpaletului, cf. tab 5 din *Breviar de calcul* – varianta consolidată.

- se va turna pe toată suprafața planșeului subsolului o suprabetonare de 10cm peste planșeele din boltisoare existente, armată pe ambele direcții cu bare independente. Această suprabetonare se va încadra în peretii perimetrali prin săparea unor șanturi în zidărie și montarea unor călăreți în găuri monolitizate cu lapte de ciment și aracet 40%. Acești călăreți se vor ancora la exterior în centura de beton armat ce se va prevedea în dreptul planșeului din boltisoare. Pentru o aderență sporită față de suprafața boltisoarelor se vor fixa în acestea elemente laminate care vor fi înglobate în beton suprabetonării.
- Cămășuielile din beton armat se vor ancora pe fețele fundațiilor prin conectori PC52 Ø14 – 4 buc/mp, fixați în găuri monolitizate cu lapte de ciment și aracet 40% sau cu mortare de injecție. Suprafețele zidăriei se vor curăța temeinic prin suflare cu aer (interzis apa).

2 Suprastructura

2.1 Consolidare pereti din zidărie

Se vor cămășui cu microbeton armat C16/20 de diferite grosimi toți peretii structurali interiori și exteriori astfel:

- 8cm pe o față la peretii exteriori și
- 8cm pe ambele fețe la peretii interiori.

Armarea va consta din plase sudate $6 \times 100 / 6 \times 100$ mm.

Deasupra golurilor usilor și ferestrelor, pentru rol de buiandrug se prevede armare orizontală suplimentară PC52 min. Ø10 înglobată în cămășuiala, ancorată de plase.

Pe verticală, golurile de ușă și ferestre se vor borda cu armătură suplimentară înglobată în cămășuială.

Pentru o bună aderență la suprafața de zidărie se prevăd bride de traversare din beton armat pentru fixarea unor fascicole de armătură, la intervale de 1,0-1,5m.

În peretii camasuiți pe o singură parte, se prevăd ploturi nestrăpunse, armate cu bare și etrieri, 1buc /mp.

La casa scării principale, peretele exterior ax 9, se va cămășui pe ambele fețe cu microbeton armat cu prevederea de centuri intermediare.

F. IMPORTANT! Continuitatea armării cămășuielilor se va asigura pe toată înălțimea șpaletilor din zidărie.

2.2 Consolidare planșee

Peste parter

- după desfacerea finisajelor se vor vizualiza planșeele și se va stabili structura acestora. Apare posibilitatea ca să existe suprabetonare din beton armat dispusă peste holurile de acces, peste boltile de zidărie existente și care în prezent suferă de degradări destul de importante. În această situație, nu se intervine decât la intrados prin consolidări locale (injectări în masă de mortar epoxidice),
- dacă nu există suprabetonare și pardoselile existente la etaj se pot îndepărta cu ușurință, se vor turna suprabetonări de max. 10cm, armate cu plase și bare independente și încastrate în peretii de zidărie. Se vor prevedea și în aceste situații cupoane metalice încastrate în bolti și care se vor îngloba în suprabetonare.
- În cazul planșeelor peste încăperile tip sală, casetate, acestea se vor demola și reconstrui cu utilizarea soluției de grinzi metalice principale și secundare încastrate într-o placă de beton armat de min. 13cm. Se vor reface și planșeele aripilor secundare presupuse din lemn. Se va reface și scara de acces cu trepte balansate pentru a asigura siguranța evacuării în situații de urgență,
- La planșeul peste holul principal, nu se intervine.
- Planșeul peste aulă, de asemenea se reface în aceeași soluție: grinzi metalice tip HEA și placă de beton armat.

Peste etaj

Se vor demola planșeele existente cu excepția zonei holului principal și scării deschise. Se vor reface din beton armat rezemate pe pereți prin centuri perimetrice și pe grinzi metalice tip HEA, temeinic ancorate pe reazeme.

Se va vizualiza planșeul din zona holului principal și se va urmări posibilitatea suplimentării contravânturilor cu elemente metalice suplimentare. În prezent elementele de metal apar corodate. Dacă se constată că nu mai pot asigura stabilitatea și rezistența pentru următorii 50-80 de ani se va demola și reface în soluția optimă, fără aport de sarcini (grinzi metalice ortogonale cu contravânturi).

Planșeul peste scara principală se va demola și înlocui cu un planșeu cu structură metalică contravântuit. Se va asigura prinderea temeinică față de structură.

Peste tot conturul peretilor din zidărie se vor turna centuri din beton armat de rezemare a plăcilor. Pentru aceasta, se va demola aticul existent și se va reface din zidărie confinată cu elemente de b.a. și respectarea arhitecturii inițiale.

Peste subsol

Peste toată suprafața subsolului, peste planșeele existente din boltisoare din zidărie pe profile metalice se va turna o suprabetonare de min. 10 cm grosime, ancorată în peretii perimetrali și în conlucrare cu boltisoarele.

2.3 Consolidare pilastri și coloane

Coloanele și pilastrii cu secțiune rotundă existenți în holul principal și holurile de circulație se vor consolida în vederea asigurării rezistenței la compresiune.

Se va utiliza soluția fretării cu profile laminate verticale și orizontale (puse în operă la cald) sau a utilizării barelor din oțel beton verticale (lonjeroane) fixate cu bare de cercuire idem prelucrate la cald.

Pilastrii cu secțiuni poligonale se vor ranforșa cu profile laminate de colț prelucrate pe santier prin sudură ancorate de la o față la alta prin conectori PC52 Ø14 care strapung zidăria prin găuri monolitizate cu mortar de injectie și sunt sudate la exterior.

3 Refacere șarpantă

Se va reface șarpanta pe toată suprafața, cu elemente ecarisate de lemn, ignifugate și dezinsectizate. Se va respecta întocmai aspectul inițial.

Se va asigura ancorarea față de structură ca și a elementelor între ele cu urmărirea liniilor de rezistență ale planșeului inferior (pereti, grinzi etc).

Invelitoarea va fi de tip ușor ca și în prezent.

4. Termo și hidroizolare clădire

În vederea termoizolării clădirii se va utiliza placarea pardoselilor subsolului cu polistiren expandat de 10cm dispus sub stratul suport din beton ca și termoizolarea planșeului peste etaj cu saltele de vată minerală bazaltică de 20cm protejată de șapă slab armată.

Hidroizolarea clădirii este un element foarte important pentru eliminarea hazardului reprezentat de terenul slab de fundare. Se va realiza astfel:

- trotuare perimetrare din beton simplu de 10cm peste un strat filtrant de pietris+nisip 10cm. Se va asigura ca umplutura realizată în urma lucrărilor de consolidare să fie temeinic făcută cu pamânt de bună calitate. Pantele transversale vor fi de 2%, iar pantele longitudinale de min. 0,5%.
- Cordon de bitum topit la interfața cu soclul clădirii,
- Beton armat impermeabilizat utilizat în cămășuilele fundațiilor și subsolului.
- Jgheaburi și burlane corect dimensionate. Gurile de scurgere ale burlanelor să fie la min. 20cm deasupra trotuarului.

9.3 FUNDAMENTARE PRIN CALCUL A SOLUȚIEI DE INTERVENȚIE

9.3.1 Verificarea construcției la acțiuni în planul pereților

Pentru calcularea gradului de asigurare la seism a construcției consolidate prin cămășuire cu beton armat C20/25 s-au folosit relațiile din P100-3/2008 Anexa F pct. F.5.6.1.1.2.

$$V_{\text{cap,placat}} = V_{\text{cap,existent}} \frac{R_{\text{zid,placat}}}{R_{\text{zid,existent}}}$$

Calculul se prezintă tabelar în capitolul 2. *Breviar de calcul*, tabelele 3 de la varianta consolidată.

Încărcările s-au considerat cu aportul elementelor de consolidare adăugate.

Sarcina seismică s-a apreciat ca și pentru o clădire nouă, conform P100-1/2006 în *Breviar de calcul – varianta consolidată*.

Se constată că gradul de asigurare la seism al clădirii consolidate, indicatorul R_3 ia valorile:

$$R_{3, \text{transv}} = 136,04 > 65 \quad \text{și} \quad R_{3, \text{longit}} = 136,40 > 65.$$

R_3 s-a calculat cu relația D15 din P100-3/2008 și metodologia de calcul a respectat prevederile cap. D.3.4.1.6 – structuri cu planșee cu rigiditate semnificativă în plan.

Calculul s-a desfășurat și cu verificarea indicatorului R_3 la nivel de element. Se observă ca fiecare șpalet în parte se conformează limitărilor din P100-3/2008.

Se apreciază că în urma lucrărilor de intervenție, construcția se încadrează în **clasa IV de risc seismic**, care cuprinde *construcțiile care sub efectul cutremurului de proiectare pot prezenta degradări structurale care nu afectează semnificativ siguranța structurală, dar la care degradările nestructurale pot fi importante*.

9.3.2 Verificarea construcției la acțiuni pe planul pereților

Calculul se desfășoară conform cap. D.3.4.2. din P100-3/2008.

În tabelul 5 se calculează gradul de asigurare al peretilor la stabilitate (relația D16) și întrucât se observă că în totalitate $R_{3, st} > 1,3$ și pereții se consideră siguri.

NOTĂ:

- 1. Decizia de intervenție va fi completată și/sau modificată în momentul începerii lucrărilor de execuție, după decopertarea pereților, planseelor, fundațiilor interioare și exterioare și vizualizarea elementelor de către expert și proiectant,**
- 2. Pentru orice neconcordanță între situația preconizată și cea găsită în situ se va anunța expertul tehnic și proiectantul,**
- 3. Orice modificare a soluțiilor propuse se va face numai cu acordul expertului tehnic în caz contrar acesta fiind exonerat de orice răspundere asupra eficienței soluției adoptate,**
- 4. Lucrările de proiectare se vor elabora de către specialiști atestați MCC și se vor verifica, de asemenea, la toate specialitățile, de către verificatori atestați MLPAT (MDRL, MDRT etc) și MCC conform legii 422/2001,**
- 5. Lucrările de execuție se vor realiza și vor fi dirijate de asemenea, de către firme respectiv specialiști atestate conform Legii 422 / 2001.**

EXPERT TEHNIC ATESTAT MLPAT și MCC

ing. IOAN ROTĂRESCU

3. BREVIAR DE CALCUL

3.1 SITUAȚIA EXISTENTĂ

EX. Th.

BREVIAR DE CALCUL STRUCTURĂ EXISTENTĂ

1. CALCULUL ÎNCĂRCĂRILOR UNITARE

I. ACOPERIȘ

I.1	Șarpanta	Norm.	n	Calcul
	<i>*permanente</i>	N/m ²		N/m ²
	- învelitoare tablă (inclusiv șipcile și căpriorii) pe m ² de suprafață înclinată	310	1,35	419
	- șarpantă pe scaune	450	1,35	608
	- astereală 2,4cm	150	1,35	203
	TOTAL PERMANENTE ACOPERIȘ	910		1.229

I.2	*planșeu pod			
	- podină lemn	210	1,35	284
	- șipci	20	1,35	27
	- suprabetonare 5 cm	1.250	1,35	1.688
	- grinzi lemn	360	1,35	486
	- tencuială tavan ipsos	1.020	1,35	1.377
		2.860		3.861

I.3	*placa peste parter			
	- bolțișoare zidărie	5.143	1,35	6.943
	- 5 cm suprabetonare	1.250	1,35	1.688
	- 3 cm șapă	600	1,35	810
	- tencuială tavan ipsos	1.020	1,35	1.377
	- pardoseală mozaic frecat	1.000	1,35	1.350
		9.013		12.168

I.4 **variabile* (conf. CR 1-1-3-2012)

S_{ok} , gr. zăpada valoare normată: 2,5 KN/m²

ÎNCĂRCĂRI VARIABILE

Zăpada	fundamentală:	4000	1,5	6000
	specială:	4000	0,4	1600
Utilă pod	fundamentală:	1500	1,05	1575
	specială:	1500	0,4	600

TOTAL ÎNCĂRCĂRI ACOPERIȘ +PLANȘEU POD

gruparea fundamentală:		12.665		N/m ²
gruparea specială:		5.970		N/m ²

I.5 **variabile*

ÎNCĂRCĂRI VARIABILE

Utilă etaj	fundamentală:	3000	1,5	4500
	specială:	3000	0,4	1200

TOTAL ÎNCĂRCĂRI PLANȘEU b.a.

gruparea fundamentală:		16.668		N/m ²
gruparea specială:		10.213		N/m ²

1.6	II. ÎNCĂRCĂRI PROPRII PEREȚI	Normat	n	Calcul
		N/m ²		N/m ²
	-zidărie de 70 cm grosime: 0,70x16000 N/m ³ =	11550	1,35	15593
	-zidărie de 56 cm grosime: 0,56x16000 N/m ³ =	9240	1,35	12474
	-zidărie de 42 cm grosime: 0,42x16000 N/m ³ =	6930	1,35	9355,5
	-zidărie de 28 cm grosime: 0,28x16000 N/m ³ =	4620	1,35	6237
	-zidarie atic 0,42cm	6930	1,35	9355,5

2. ÎNCĂRCĂRI GRAVITAȚIONALE DE NIVEL

2.1 – acțiuni speciale – (în daN)

	[daN/m ²]	Arie[m ²]	L[m]	h[m]	[daN]
-acoperiș + pl.b.a. pod	597,00				597,0
-planseu peste parter	1.021,30				1.021,3
-pereți plini de 70 cm	1.155,00				1.155,0
-pereți plini de 56 cm	924,00				924,0
-pereți plini de 42 cm	693,00				693,0
-pereți plini de 28 cm	462,00				462,0
-zidarie atic 42 cm	693,00				693,0

TOTAL GREUTATE CONSTRUCȚIE –

6.273.441,10

2.2 – acțiuni fundamentale – (în daN)

-acoperiș + pl.b.a. pod	1.266,45				1.266,5
-planseu peste parter	1.666,76				1.666,8
-pereți plini de 70 cm	1.559,25				1.559,3
-pereți plini de 56 cm	1.247,40				1.247,4
-pereți plini de 42 cm	935,55				935,6
-pereți plini de 28 cm	623,70				623,7
-zidarie atic 42 cm	935,55				935,6

TOTAL GREUTATE CONSTRUCȚIE –

9.414.990,73

$$F_b = \gamma_1 Se(T1)m\lambda =$$

2.484.283 daN –

unde: $Se(T1) = a_g \times \beta_0$

0,66 spectrul de răspuns elastic

în care:

$a_g = 0,24$

acelerația terenului pentru proiectare

$\beta_0 = 2,75$

factor de amplificare dinamică

$\gamma_I = 1,2$

factor de importanță clasa II

$\lambda = 1$

coeficient de amplificare dinamică

$q = 2$

factor de comportare - cf. P100-1/2006, pct 8.3.4

Tabel 1

ÎNCĂRCĂRI PE ȘPALEȚI													
Diafrag	Șpalet	Grosime P	Grosime E	Grosime M	Arii de descarcare			Lung. Spaleti			H Pereti parter	H Pereti etaj	H Pereti mans.
					A _{af} parter	A _{af} etaj	A _{af} mans.	parter	etaj	mans.			
		[m]	[m]	[m]	[m ²]	[m ²]	[m ²]	[m]	[m]	[m]	[m]	[m]	[m]
T1	T1.1	0,56	0,42	0,00	0,00	0,00	0,00	3,43	3,08	0,00	5,05	4,75	3,50
	T1.2	0,56	0,42	0,00	0,00	0,00	0,00	3,38	3,38	0,00	5,05	4,75	3,50
	T1.3	0,56	0,42	0,00	0,00	0,00	0,00	1,97	1,92	0,00	5,05	4,75	3,50
	T1.4	0,56	0,42	0,00	0,00	0,00	0,00	1,71	1,76	0,00	5,05	4,75	3,50
	T1.5	0,56	0,42	0,00	0,00	0,00	0,00	1,63	1,73	0,00	5,05	4,75	3,50
	T1.6	0,56	0,42	0,00	0,00	0,00	0,00	1,97	1,91	0,00	5,05	4,75	3,50
	T1.7	0,56	0,42	0,00	2,50	2,50	0,00	0,94	0,87	0,00	5,05	4,75	3,50
	T1.8	0,56	0,42	0,00	6,60	6,60	0,00	1,36	1,36	0,00	5,05	4,75	3,50
	T1.9	0,56	0,42	0,00	7,10	7,20	0,00	1,31	1,31	0,00	5,05	4,75	3,50
	T1.10	0,56	0,42	0,00	2,70	2,70	0,00	0,99	0,99	0,00	5,05	4,75	3,50
T2	T2.1	0,56	0,42	0,00	5,00	5,00	0,00	1,70	1,70	0,00	5,05	4,75	3,50
	T2.2	0,56	0,42	0,00	8,20	8,30	0,00	1,75	1,75	0,00	5,05	4,75	3,50
	T2.3	0,56	0,42	0,00	8,00	7,90	0,00	1,70	1,70	0,00	5,05	4,75	3,50
	T2.4	0,56	0,42	0,00	8,00	8,00	0,00	1,75	1,75	0,00	5,05	4,75	3,50
	T2.5	0,56	0,42	0,00	5,40	5,40	0,00	1,88	1,89	0,00	5,05	4,75	3,50
	T2.6	0,56	0,42	0,00	5,40	5,40	0,00	1,87	1,87	0,00	5,05	4,75	3,50
	T2.7	0,56	0,42	0,00	8,00	8,00	0,00	1,75	1,85	0,00	5,05	4,75	3,50
	T2.8	0,56	0,42	0,00	8,30	8,40	0,00	1,90	2,01	0,00	5,05	4,75	3,50
	T2.9	0,56	0,42	0,00	8,00	8,00	0,00	1,75	1,85	0,00	5,05	4,75	3,50
	T2.10	0,56	0,42	0,00	4,90	4,90	0,00	1,67	1,67	0,00	5,05	4,75	3,50
	T2.11	0,56	0,42	0,00	11,60	11,50	0,00	4,49	4,39	0,00	5,05	4,75	3,50
T3	T3.1	0,42	0,42	0,00	5,60	5,60	0,00	1,12	1,12	0,00	5,05	4,75	3,50
	T3.2	0,42	0,42	0,00	37,80	38,10	0,00	8,05	8,05	0,00	5,05	4,75	3,50
	T3.3	0,42	0,42	0,00	16,40	16,50	0,00	5,31	4,89	0,00	5,05	4,75	3,50
	T3.3'	0,42	0,42	0,00	3,80	3,80	0,00	0,84	1,25	0,00	5,05	4,75	3,50
	T3.4'	0,42	0,42	0,00	3,80	3,80	0,00	0,84	1,25	0,00	5,05	4,75	3,50
	T3.4	0,42	0,42	0,00	18,10	18,00	0,00	5,72	5,72	0,00	5,05	4,75	3,50
	T3.5	0,42	0,42	0,00	25,60	25,60	0,00	5,02	5,02	0,00	5,05	4,75	3,50
	T3.6	0,42	0,42	0,00	33,90	33,50	0,00	6,37	6,37	0,00	5,05	4,75	3,50
T3.7	0,42	0,42	0,00	12,50	12,50	0,00	2,90	2,90	0,00	5,05	4,75	3,50	

Tabel I continuare

ÎNCĂRCĂRI PE ȘPALEȚI													
Diafrag	Șpalet	Grosime P	Grosime E	Grosime M	Arii de descarcare			Lung. Spaleti			H Pereti parter	H Pereti etaj	H Pereti mans.
					A _{af} parter	A _{af} etaj	A _{af} mans.	parter	etaj	mans.			
		[m]	[m]	[m]	[m ²]	[m ²]	[m ²]	[m]	[m]	[m]	[m]	[m]	[m]
T4	T4.1	0,56	0,42	0,00	4,80	5,20	0,00	1,13	1,13	0,00	5,05	4,75	3,50
	T4.2	0,56	0,42	0,00	4,70	4,50	0,00	1,20	1,20	0,00	5,05	4,75	3,50
	T4.3	0,56	0,42	0,00	4,60	4,80	0,00	1,20	1,15	0,00	5,05	4,75	3,50
	T4.4	0,56	0,42	0,00	4,80	4,30	0,00	1,05	1,05	0,00	5,05	4,75	3,50
	T4.5	0,42	0,42	0,00	3,50	3,20	0,00	1,72	1,77	0,00	5,05	4,75	3,50
	T4.5'	0,42	0,42	0,00	3,80	3,70	0,00	1,16	1,16	0,00	5,05	4,75	3,50
	T4.6'	0,42	0,42	0,00	3,80	3,70	0,00	1,16	1,16	0,00	5,05	4,75	3,50
	T4.6	0,56	0,42	0,00	8,60	8,50	0,00	5,19	5,19	0,00	5,05	4,75	3,50
	T4.7	0,56	0,42	0,00	4,90	4,70	0,00	1,71	1,71	0,00	5,05	4,75	3,50
	T4.8	0,56	0,42	0,00	4,90	4,70	0,00	1,71	1,71	0,00	5,05	4,75	3,50
	T4.9	0,56	0,42	0,00	5,00	4,70	0,00	1,71	1,71	0,00	5,05	4,75	3,50
	T4.10	0,56	0,42	0,00	2,40	2,40	0,00	0,64	0,78	0,00	5,05	4,75	3,50
T4.11	0,42	0,42	0,00	0,00	0,00	0,00	5,66	5,66	0,00	5,05	4,75	3,50	
T4.12	0,42	0,42	0,00	4,80	2,70	0,00	4,31	4,40	0,00	5,05	4,75	3,50	
T5	T5.1	0,56	0,00	0,00	0,00	0,00	0,00	2,80	0,00	0,00	5,05	4,75	3,50
	T5.2	0,56	0,00	0,00	0,00	0,00	0,00	3,67	0,00	0,00	5,05	4,75	3,50
	T5.1'	0,42	0,42	0,00	7,50	7,40	0,00	4,01	3,10	0,00	5,05	4,75	3,50
	T5.2'	0,42	0,42	0,00	4,10	4,20	0,00	4,01	3,10	0,00	5,05	4,75	3,50
	T5.3	0,56	0,42	0,00	3,60	5,20	0,00	1,13	1,13	0,00	5,05	4,75	3,50
	T5.4	0,56	0,42	0,00	8,80	9,20	0,00	1,35	1,13	0,00	5,05	4,75	3,50
	T5.5	0,56	0,42	0,00	8,00	9,80	0,00	1,33	1,11	0,00	5,05	4,75	3,50
	T5.6	0,56	0,42	0,00	4,60	5,70	0,00	1,19	1,19	0,00	5,05	4,75	3,50
	T5.7	0,56	0,56	0,00	62,20	0,00	0,00	19,21	19,81	0,00	5,05	4,75	3,50
	T5.8	0,42	0,42	0,00	7,40	7,40	0,00	4,40	4,40	0,00	5,05	4,75	3,50
T5.9	0,42	0,00	0,00	0,00	0,00	0,00	2,77	0,00	0,00	5,05	4,75	3,50	
T5.10	0,42	0,00	0,00	0,00	0,00	0,00	2,42	0,00	0,00	5,05	4,75	3,50	
T6	T6.1	0,56	0,42	0,00	0,00	0,00	0,00	5,10	4,95	0,00	5,05	4,75	3,50
	T6.2	0,56	0,42	0,00	0,00	0,00	0,00	6,85	6,72	0,00	5,05	4,75	3,50
T7	T7.1	0,56	0,00	0,00	0,00	0,00	0,00	2,86	0,00	0,00	5,05	4,75	3,50
	T7.2	0,56	0,00	0,00	0,00	0,00	0,00	3,34	0,00	0,00	5,05	4,75	3,50
	T7.3	0,56	0,56	0,56	75,60	0,00	0,00	19,11	19,11	9,36	5,05	4,75	3,50
	T7.3'	0,28	0,28	0,00	9,70	12,10	0,00	4,20	4,20	0,00	5,05	4,75	3,50

Tabel I continuare

ÎNCĂRCĂRI PE ȘPALEȚI													
Diafrag	Șpalet	Grosime P [m]	Grosime E [m]	Grosime M [m]	Arii de descarcare			Lung. Spaleti			H Pereti parter [m]	H Pereti i etaj [m]	H Pereti i mans. [m]
					A _{af} parter [m ²]	A _{af} etaj [m ²]	A _{af} mans. [m ²]	parter [m]	etaj [m]	mans. [m]			
T8	T8.1	0,42	0,42	0,42	20,40	6,20	6,10	4,37	4,37	3,75	5,05	4,75	3,50
	T8.2	0,42	0,42	0,42	12,50	12,80	7,50	4,63	4,63	4,15	5,05	4,75	3,50
T9	T9.1'	0,28	0,00	0,00	8,30	0,00	0,00	3,29	0,00	0,00	5,05	4,75	3,50
	T9.2'	0,28	0,00	0,00	4,00	0,00	0,00	2,99	0,00	0,00	5,05	4,75	3,50
	T9.3'	0,42	0,42	0,00	0,00	0,00	0,00	1,12	1,12	0,00	5,05	4,75	3,50
	T9.4'	0,42	0,42	0,00	0,00	0,00	0,00	2,58	2,44	0,00	5,05	4,75	3,50
	T9.1	0,56	0,42	0,00	1,00	0,00	0,00	1,09	1,09	0,00	5,05	4,75	3,50
	T9.2	0,56	0,42	0,00	4,20	0,00	0,00	0,95	0,95	0,00	5,05	4,75	3,50
	T9.3	0,56	0,42	0,00	4,20	0,00	0,00	0,95	0,95	0,00	5,05	4,75	3,50
	T9.4	0,56	0,42	0,00	5,50	3,60	0,00	1,79	1,79	0,00	5,05	4,75	3,50
	T9.5	0,42	0,42	0,42	21,30	19,90	24,40	5,06	5,06	3,38	5,05	4,75	3,50
	T9.6	0,42	0,42	0,42	4,30	5,20	6,50	1,94	1,79	3,39	5,05	4,75	3,50
T9.7	0,42	0,00	0,00	2,30	0,00	0,00	0,65	0,00	0,00	5,05	4,75	3,50	
T10	T10.1	0,56	0,42	0,00	12,90	0,00	0,00	10,07	9,75	0,00	5,05	4,75	3,50
	T10.2	0,56	0,42	0,00	0,00	0,00	0,00	1,53	1,43	0,00	5,05	4,75	3,50
	T10.3	0,56	0,42	0,42	4,40	4,60	4,30	1,29	1,13	1,33	5,05	4,75	3,50
	T10.4	0,56	0,42	0,42	9,90	10,70	10,50	1,68	2,78	2,50	5,05	4,75	3,50
	T10.5	0,56	0,42	0,42	4,30	3,80	3,40	1,61	1,61	1,60	5,05	4,75	3,50
	T10.6	0,56	0,42	0,42	0,00	0,00	0,00	4,41	2,92	3,28	5,05	4,75	3,50
LA	LA.1	0,56	0,42	0,00	0,00	0,00	0,00	4,80	4,69	0,00	5,05	4,75	3,50
	LA.2	0,56	0,42	0,00	3,40	3,40	0,00	1,54	1,54	0,00	5,05	4,75	3,50
	LA.3	0,56	0,42	0,00	8,60	8,60	0,00	1,52	1,52	0,00	5,05	4,75	3,50
	LA.4	0,56	0,42	0,00	8,70	8,70	0,00	1,55	1,55	0,00	5,05	4,75	3,50
	LA.5	0,56	0,42	0,00	7,90	9,10	0,00	1,71	1,71	0,00	5,05	4,75	3,50
	LA.6	0,56	0,42	0,00	8,60	8,60	0,00	1,54	1,54	0,00	5,05	4,75	3,50
	LA.7	0,56	0,42	0,00	5,90	6,00	0,00	1,68	1,54	0,00	5,05	4,75	3,50
LB	LB.1	0,42	0,42	0,00	0,00	0,00	0,00	6,70	6,56	0,00	5,05	4,75	3,50
	LB.2	0,42	0,42	0,00	3,80	2,80	0,00	2,72	0,77	0,00	5,05	4,75	3,50
	LB.3	0,42	0,42	0,00	22,10	22,10	0,00	4,46	4,46	0,00	5,05	4,75	3,50
	LB.4	0,42	0,42	0,00	12,30	13,40	0,00	2,36	2,36	0,00	5,05	4,75	3,50
	LB.5	0,42	0,42	0,00	20,50	14,30	0,00	4,93	1,67	0,00	5,05	4,75	3,50
	LB.1'	0,28	0,28	0,00	13,70	14,30	0,00	3,93	2,62	0,00	5,05	4,75	3,50
	LB.2'	0,28	0,28	0,00	7,60	10,30	0,00	3,09	3,13	0,00	5,05	4,75	3,50
	LB.3'	0,28	0,00	0,00	1,80	0,00	0,00	1,04	0,00	0,00	5,05	4,75	3,50
	LB.4'	0,28	0,28	0,00	2,80	4,60	0,00	2,62	3,95	0,00	5,05	4,75	3,50

Tabel I continuare

ÎNCĂRCĂRI PE ȘPALEȚI													
Diafrag	Șpalet	Grosime P [m]	Grosime E [m]	Grosime M [m]	Arii de descarcare			Lung. Spaleti			H Pereti parter [m]	H Pereti i etaj [m]	H Pereti i mans. [m]
					A _{af} parter [m ²]	A _{af} etaj [m ²]	A _{af} mans. [m ²]	parter [m]	etaj [m]	mans. [m]			
LC	LC.1	0,42	0,42	0,00	0,00	0,00	0,00	5,33	5,33	0,00	5,05	4,75	3,50
	LC.2	0,42	0,42	0,00	5,80	5,80	0,00	1,11	1,11	0,00	5,05	4,75	3,50
	LC.3	0,56	0,42	0,00	4,00	4,00	0,00	1,79	1,79	0,00	5,05	4,75	3,50
	LC.4	0,56	0,42	0,00	6,60	6,60	0,00	1,77	1,77	0,00	5,05	4,75	3,50
	LC.5	0,56	0,42	0,00	2,30	2,30	0,00	1,78	1,78	0,00	5,05	4,75	3,50
	LC.6	0,56	0,42	0,00	0,00	0,00	0,00	1,65	1,65	0,00	5,05	4,75	3,50
	LC.7	0,56	0,42	0,00	0,00	0,00	0,00	0,94	0,95	0,00	5,05	4,75	3,50
LD	LD.1	0,56	0,56	0,00	2,30	0,00	0,00	1,08	1,08	0,00	5,05	4,75	3,50
	LD.2	0,56	0,56	0,00	5,40	0,00	0,00	1,10	1,10	0,00	5,05	4,75	3,50
	LD.3	0,56	0,56	0,00	5,40	0,00	0,00	1,10	1,10	0,00	5,05	4,75	3,50
	LD.4	0,56	0,56	0,00	4,40	0,00	0,00	1,49	1,49	0,00	5,05	4,75	3,50
LE	LE.1	0,56	0,56	0,00	17,90	0,00	0,00	6,70	10,16	0,00	5,05	4,75	3,50
LF	LF.1	0,42	0,42	0,00	10,40	0,00	0,00	4,91	4,91	0,00	5,05	4,75	3,50
	LF.2	0,56	0,42	0,00	0,00	0,00	0,00	1,37	1,47	0,00	5,05	4,75	3,50
	LF.3	0,56	0,42	0,00	4,70	0,00	0,00	3,92	3,92	0,00	5,05	4,75	3,50
	LF.4	0,56	0,42	0,00	3,30	0,00	0,00	0,86	0,86	0,00	5,05	4,75	3,50
	LF.5	0,56	0,42	0,42	4,00	4,00	5,80	1,86	1,86	2,00	5,05	4,75	3,50
	LF.6	0,56	0,42	0,42	5,30	5,30	8,70	1,50	1,61	2,00	5,05	4,75	3,50
	LF.7	0,56	0,42	0,42	2,00	2,00	2,90	1,50	1,50	2,00	5,05	4,75	3,50
	LF.8	0,56	0,42	0,42	1,50	1,70	1,90	1,50	1,50	2,00	5,05	4,75	3,50
	LF.9	0,56	0,42	0,42	5,20	5,00	5,00	2,69	2,58	2,80	5,05	4,75	3,50
	LF.1'	0,42	0,42	0,00	13,40	6,50	0,00	4,37	3,38	0,00	5,05	4,75	3,50
	LF.2'	0,42	0,42	0,00	3,80	3,10	0,00	0,79	0,79	0,00	5,05	4,75	3,50
	LF.3'	0,42	0,42	0,00	3,70	2,90	0,00	0,79	0,79	0,00	5,05	4,75	3,50
	LF.4'	0,42	0,42	0,00	13,00	13,90	0,00	4,37	4,37	0,00	5,05	4,75	3,50
	LF.5'	0,42	0,42	0,00	3,70	3,00	0,00	0,79	0,79	0,00	5,05	4,75	3,50
	LF.6'	0,42	0,42	0,00	3,80	2,90	0,00	0,79	0,79	0,00	5,05	4,75	3,50
	LF.7'	0,42	0,00	0,00	6,40	0,00	0,00	1,91	0,00	0,00	5,05	4,75	3,50
	LF.8'	0,42	0,00	0,00	4,90	0,00	0,00	1,79	0,00	0,00	5,05	4,75	3,50
	LF.9'	0,28	0,28	0,00	5,00	5,00	0,00	2,05	2,05	0,00	5,05	4,75	3,50
LF.10'	0,28	0,28	0,28	2,00	2,00	13,70	4,29	4,29	3,36	5,05	4,75	3,50	
LF.11'	0,28	0,28	0,42	0,00	0,00	0,00	6,61	5,61	5,61	5,05	4,75	3,50	
LG	LG.1	0,42	0,42	0,00	7,20	7,00	6,80	4,83	4,83	3,80	5,05	4,75	3,50

Tabel I continuare

ÎNCĂRCĂRI PE ȘPALEȚI													
Diafrag	Șpalet	Grosime P	Grosime E	Grosime M	Arii de descarcare			Lung. Spaleti			H Pereti parter	H Pereti etaj	H Pereti mans.
					A _{af} parter	A _{af} etaj	A _{af} mans.	parter	etaj	mans.			
					[m ²]	[m ²]	[m ²]	[m]	[m]	[m]			
LH	LH.1'	0,42	0,42	0,00	8,30	7,40	0,00	4,90	3,85	0,00	5,05	4,75	3,50
	LH.1	0,56	0,42	0,00	24,60	10,00	0,00	13,92	7,80	0,00	5,05	4,75	3,50
	LH.2	0,42	0,42	0,00	10,10	10,80	0,00	5,77	11,91	0,00	5,05	4,75	3,50
	LH.3	0,56	0,42	0,42	5,60	7,60	0,00	4,20	4,20	9,27	5,05	4,75	3,50
LI	LI.1	0,56	0,42	0,00	1,90	1,50	0,00	1,20	1,16	0,00	5,05	4,75	3,50
	LI.2	0,56	0,42	0,00	4,50	5,20	0,00	1,18	1,20	0,00	5,05	4,75	3,50
	LI.3	0,56	0,42	0,00	4,50	7,90	0,00	1,20	1,20	0,00	5,05	4,75	3,50
	LI.4	0,56	0,42	0,00	8,70	13,30	0,00	1,20	1,20	0,00	5,05	4,75	3,50
	LI.5	0,56	0,42	0,42	0,00	0,00	0,00	5,93	5,95	5,93	5,05	4,75	3,50
LJ	LJ.1	0,56	0,42	0,00	2,40	2,50	0,00	1,20	1,20	0,00	5,05	4,75	3,50
	LJ.2	0,56	0,42	0,00	5,10	5,20	0,00	1,20	1,20	0,00	5,05	4,75	3,50
	LJ.3	0,56	0,42	0,00	5,10	5,20	0,00	1,20	1,20	0,00	5,05	4,75	3,50
	LJ.4	0,56	0,42	0,00	15,90	13,50	0,00	0,97	0,90	0,00	5,05	4,75	3,50
	LJ.5	0,56	0,42	0,00	5,50	5,80	0,00	1,63	1,63	0,00	5,05	4,75	3,50
	LJ.6	0,56	0,42	0,00	9,90	9,70	0,00	4,48	4,30	0,00	5,05	4,75	3,50
LK	LK.1	0,42	0,42	0,00	26,80	26,00	0,00	6,14	6,14	0,00	5,05	4,75	3,50
	LK.2	0,42	0,42	0,00	60,10	58,10	0,00	10,89	14,64	0,00	5,05	4,75	3,50
	LK.3	0,42	0,42	0,00	55,70	57,20	0,00	11,17	8,37	0,00	5,05	4,75	3,50
	LK.4	0,42	0,42	0,00	16,10	21,50	0,00	3,21	3,21	0,00	5,05	4,75	3,50
	LK.5	0,42	0,42	0,00	11,40	11,40	0,00	1,44	1,44	0,00	5,05	4,75	3,50
LL	LL.1	0,70	0,42	0,00	5,60	5,80	0,00	1,43	1,25	0,00	5,05	4,75	3,50
	LL.2	0,70	0,42	0,00	12,90	12,90	0,00	2,10	2,10	0,00	5,05	4,75	3,50
	LL.3	0,70	0,42	0,00	12,90	12,90	0,00	2,10	2,15	0,00	5,05	4,75	3,50
	LL.4	0,70	0,42	0,00	12,90	12,90	0,00	2,10	2,20	0,00	5,05	4,75	3,50
	LL.5	0,70	0,42	0,00	12,90	12,90	0,00	2,10	2,20	0,00	5,05	4,75	3,50
	LL.6	0,70	0,42	0,00	12,60	14,40	0,00	2,76	2,60	0,00	5,05	4,75	3,50
	LL.7	0,70	0,42	0,00	11,40	11,40	0,00	1,33	1,30	0,00	5,05	4,75	3,50
	LL.8	0,70	0,42	0,00	11,40	12,20	0,00	1,33	1,30	0,00	5,05	4,75	3,50
	LL.9	0,70	0,42	0,00	13,30	14,50	0,00	2,91	2,40	0,00	5,05	4,75	3,50
	LL.10	0,70	0,42	0,00	12,90	12,90	0,00	2,10	2,20	0,00	5,05	4,75	3,50
	LL.11	0,70	0,42	0,00	12,90	12,90	0,00	2,10	2,20	0,00	5,05	4,75	3,50
	LL.12	0,70	0,42	0,00	13,00	12,90	0,00	2,10	2,15	0,00	5,05	4,75	3,50
	LL.13	0,70	0,42	0,00	11,70	12,60	0,00	2,09	2,15	0,00	5,05	4,75	3,50
	LL.14	0,70	0,42	0,00	5,10	5,10	0,00	0,91	0,95	0,00	5,05	4,75	3,50

Tabel 1 continuare

ÎNCĂRCĂRI PE ȘPALEȚI											
Diafrag	Șpalet	L. Parapeti	H. Parapeti	L. Parapeti	H. Parapeti	L. Parapeti	H. Parapeti	L. zidarie atic	H. zidarie atic	Ned	Nsd
		parter	parter	etaj	etaj	mans	mans	0,42cm	0,42cm		
		[m]	[m]	[m]	[m]	[m]	[m]	[m]	[m]		
T1	T1.1	0,75	1,45	0,75	1,20	0,00	0,00	3,08	1,00	29.906,65	40.373,97
	T1.2	0,75	1,45	0,75	1,20	0,00	0,00	3,38	1,00	30.868,76	41.672,83
	T1.3	0,75	1,45	0,73	1,20	0,00	0,00	1,92	1,00	18.450,89	24.908,71
	T1.4	1,50	1,45	1,43	1,20	0,00	0,00	1,76	1,00	18.187,09	24.552,57
	T1.5	1,50	1,45	1,40	1,20	0,00	0,00	1,73	1,00	17.673,46	23.859,18
	T1.6	0,75	1,45	0,70	1,20	0,00	0,00	1,91	1,00	18.390,26	24.826,85
	T1.7	0,43	1,45	0,43	1,20	0,00	0,00	0,87	1,00	12.821,56	19.180,35
	T1.8	1,18	1,45	1,18	1,20	0,00	0,00	1,36	1,00	24.997,47	38.686,68
	T1.9	1,18	1,45	1,18	1,20	0,00	0,00	1,31	1,00	25.433,77	39.695,99
	T1.10	0,43	1,45	0,43	1,20	0,00	0,00	0,99	1,00	13.856,70	20.727,49
T2	T2.1	0,75	1,45	0,70	1,20	0,00	0,00	1,70	1,00	24.385,09	36.662,36
	T2.2	1,50	1,45	1,43	1,20	0,00	0,00	1,75	1,00	31.663,65	48.929,68
	T2.3	1,50	1,45	1,45	1,20	0,00	0,00	1,70	1,00	30.808,84	47.533,88
	T2.4	1,50	1,45	1,45	1,20	0,00	0,00	1,75	1,00	31.301,08	48.244,46
	T2.5	0,75	1,45	0,73	1,20	0,00	0,00	1,89	1,00	26.650,21	40.019,69
	T2.6	0,75	1,45	0,70	1,20	0,00	0,00	1,87	1,00	26.503,07	39.821,04
	T2.7	1,50	1,45	1,40	1,20	0,00	0,00	1,85	1,00	31.657,98	48.726,27
	T2.8	1,50	1,45	1,43	1,20	0,00	0,00	2,01	1,00	33.561,45	51.566,55
	T2.9	1,50	1,45	1,48	1,20	0,00	0,00	1,85	1,00	31.720,35	48.810,47
	T2.10	0,75	1,45	0,75	1,20	0,00	0,00	1,67	1,00	24.005,31	36.074,81
	T2.11	0,75	1,45	0,75	1,20	0,00	0,00	4,39	1,00	58.785,42	87.996,87
T3	T3.1	0,70	2,55	0,70	2,25	0,00	0,00	0,00	1,00	18.997,33	29.837,99
	T3.2	1,40	2,55	1,40	2,25	0,00	0,00	0,00	1,00	120.678,57	191.347,52
	T3.3	0,70	2,55	0,70	2,25	0,00	0,00	0,00	1,00	63.608,10	98.192,38
	T3.3'	2,10	2,55	1,40	2,25	0,00	0,00	0,00	1,00	19.097,90	28.626,46
	T3.4'	2,10	2,55	1,40	2,25	0,00	0,00	0,00	1,00	19.097,90	28.626,46
	T3.4	0,70	2,55	0,70	2,25	0,00	0,00	0,00	1,00	70.406,82	108.551,00
	T3.5	1,40	2,55	1,40	2,25	0,00	0,00	0,00	1,00	80.178,27	127.402,26
	T3.6	1,40	2,55	1,40	2,25	0,00	0,00	0,00	1,00	102.539,75	163.618,61
T3.7	0,70	2,55	0,70	2,25	0,00	0,00	0,00	1,00	42.252,29	66.396,84	

Tabel 1 continuare

ÎNCĂRCĂRI PE ȘPALEȚI											
Diafrag	Șpalet	L. Parapeti	H. Parapeti	L. Parapeti	H. Parapeti	L. Parapeti	H. Parapeti	L. zidarie atic	H. zidarie atic	Ned	Nsd
		parter	parter	etaj	etaj	mans	mans	0,42cm	0,42cm		
		[m]	[m]	[m]	[m]	[m]	[m]	[m]	[m]		
T4	T4.1	0,93	1,45	0,93	1,20	0,00	0,00	0,00	1,00	19.007,67	29.437,35
	T4.2	1,85	1,45	1,85	1,20	0,00	0,00	0,00	1,00	21.053,24	31.847,72
	T4.3	1,85	1,45	1,85	1,20	0,00	0,00	0,00	1,00	20.965,62	31.838,79
	T4.4	0,93	1,45	2,08	1,20	0,00	0,00	0,00	1,00	18.790,07	28.729,15
	T4.5	0,00	1,45	1,15	0,00	0,00	0,00	0,00	1,00	17.330,75	25.878,11
	T4.5'	2,10	1,45	1,40	2,25	0,00	0,00	0,00	1,00	18.261,00	27.450,60
	T4.6'	2,10	1,45	1,40	2,25	0,00	0,00	0,00	1,00	18.261,00	27.450,60
	T4.6	0,75	1,45	0,75	1,20	0,00	0,00	5,19	1,00	60.384,66	87.910,34
	T4.7	1,50	1,45	1,50	1,20	0,00	0,00	1,71	1,00	25.860,49	38.487,22
	T4.8	1,50	1,45	1,50	1,20	0,00	0,00	1,71	1,00	25.860,49	38.487,22
	T4.9	1,50	1,45	1,50	1,20	0,00	0,00	1,71	1,00	25.962,62	38.653,89
	T4.10	0,75	1,45	0,75	1,20	0,00	0,00	0,78	1,00	11.606,94	17.465,77
T4.11	0,00	1,45	0,00	0,00	0,00	0,00	0,00	1,00	38.439,32	51.893,09	
T4.12	0,75	1,45	0,85	2,25	0,00	0,00	0,00	1,00	38.160,33	54.142,20	
T5	T5.1	0,70	2,55	0,00	2,25	0,00	0,00	0,00	1,00	14.714,70	19.864,85
	T5.2	0,70	2,55	0,00	2,25	0,00	0,00	0,00	1,00	18.774,29	25.345,30
	T5.1'	0,00	0,00	0,40	1,20	0,00	0,00	0,00	1,00	36.648,21	55.042,79
	T5.2'	0,00	0,00	0,40	1,20	0,00	0,00	0,00	1,00	31.265,39	45.323,18
	T5.3	0,93	1,45	0,93	1,20	0,00	0,00	0,00	1,00	17.782,11	27.437,25
	T5.4	1,85	1,45	1,85	1,20	0,00	0,00	0,00	1,00	28.515,98	45.267,57
	T5.5	1,85	1,45	1,85	1,20	0,00	0,00	0,00	1,00	27.897,98	44.479,17
	T5.6	0,93	1,45	0,93	1,20	0,00	0,00	0,00	1,00	19.579,39	30.381,82
	T5.7	0,00	0,00	0,00	0,00	0,00	0,00	0,00	1,00	240.108,65	342.060,28
	T5.8	0,00	0,00	0,00	0,00	0,00	0,00	0,00	1,00	41.857,58	62.046,63
T5.9	0,50	0,00	0,00	0,00	0,00	0,00	0,00	1,00	9.694,03	13.086,94	
T5.10	0,50	0,00	0,00	0,00	0,00	0,00	0,00	1,00	8.469,15	11.433,36	
T6	T6.1	0,75	1,45	0,75	1,20	0,00	0,00	4,95	1,00	45.150,68	60.953,42
	T6.2	0,75	1,45	0,75	1,20	0,00	0,00	6,72	1,00	60.369,54	81.498,88
T7	T7.1	0,70	2,55	0,00	0,00	0,00	0,00	0,00	1,00	14.994,67	20.242,81
	T7.2	0,70	2,55	0,00	0,00	0,00	0,00	0,00	1,00	17.234,45	23.266,50
	T7.3	0,00	0,00	0,00	0,00	0,00	0,00	19,11	1,00	293.768,62	418.360,44
	T7.3'	0,00	0,00	0,00	0,00	0,00	0,00	0,00	1,00	36.146,23	57.163,06

Tabel 1 continuare

ÎNCĂRCĂRI PE ȘPALEȚI											
Diafrag	Șpalet	L. Parapeti	H. Parapeti	L. Parapeti	H. Parapeti	L. Parapeti	H. Parapeti	L. zidarie atic	H. zidarie atic	Ned	Nsd
		parter	parter	etaj	etaj	mans	mans	0,42cm	0,42cm		
		[m]	[m]	[m]	[m]	[m]	[m]	[m]	[m]		
										[daN]	[daN]
T8	T8.1	0,50	2,55	0,50	2,25	0,70	1,40	0,00	1,00	69.294,00	105.086,25
	T8.2	0,50	2,55	0,50	2,25	0,70	1,40	0,00	1,00	68.737,70	105.744,04
T9	T9.1'	0,45	2,55	0,00	0,00	0,00	0,00	0,00	1,00	16.682,83	24.912,23
	T9.2'	0,45	2,55	0,00	0,00	0,00	0,00	0,00	1,00	11.591,31	16.800,27
	T9.3'	0,70	2,55	0,70	2,25	0,00	0,00	0,00	1,00	9.934,85	13.412,04
	T9.4'	0,70	2,55	0,70	2,25	0,00	0,00	0,00	1,00	19.389,45	26.175,75
	T9.1	1,00	1,45	1,00	1,20	0,00	0,00	1,09	1,00	12.622,24	17.328,02
	T9.2	2,00	1,45	2,00	1,20	0,00	0,00	0,95	1,00	16.850,66	23.957,99
	T9.3	2,00	1,45	2,00	1,20	0,00	0,00	0,95	1,00	16.850,66	23.957,99
	T9.4	1,50	1,45	2,00	2,25	0,00	0,00	1,79	1,00	28.379,75	41.554,46
	T9.5	1,00	2,55	1,60	2,25	1,05	1,40	0,00	1,00	96.044,12	156.194,12
	T9.6	1,00	2,55	1,75	2,25	1,05	1,40	0,00	1,00	37.795,04	57.649,55
T9.7	0,50	2,55	0,00	0,00	0,00	0,00	0,00	1,00	5.507,34	8.097,31	
T10	T10.1	0,75	1,45	0,75	1,20	0,00	0,00	9,75	1,00	100.643,27	139.583,61
	T10.2	0,75	1,45	0,75	1,20	0,00	0,00	1,43	1,00	14.466,03	19.529,14
	T10.3	0,70	1,45	0,70	1,20	0,50	0,55	1,13	1,00	25.265,66	39.474,28
	T10.4	1,70	1,45	1,40	1,20	1,20	0,55	2,78	1,00	51.647,12	82.337,41
	T10.5	1,70	1,45	1,40	1,20	1,40	0,55	1,61	1,00	30.474,33	45.694,34
	T10.6	0,70	1,45	1,40	1,20	1,70	0,55	2,92	1,00	42.919,11	57.940,79
LA	LA.1	0,75	1,45	0,75	1,20	0,00	0,00	0,00	1,00	39.464,62	53.277,23
	LA.2	1,50	1,45	1,50	1,20	0,00	0,00	0,00	1,00	21.014,56	30.914,56
	LA.3	1,50	1,45	1,50	1,20	0,00	0,00	0,00	1,00	29.270,56	45.952,36
	LA.4	1,50	1,45	1,50	1,20	0,00	0,00	0,00	1,00	29.671,13	46.567,98
	LA.5	1,50	1,45	1,50	1,20	0,00	0,00	0,00	1,00	30.366,16	47.460,07
	LA.6	1,50	1,45	1,50	1,20	0,00	0,00	0,00	1,00	29.429,72	46.167,23
	LA.7	0,75	1,45	0,75	1,20	0,00	0,00	0,00	1,00	24.144,73	37.057,59
LB	LB.1	0,50	2,55	1,48	2,25	0,00	0,00	0,00	1,00	48.225,00	65.103,76
	LB.2	1,20	2,55	2,18	2,25	0,00	0,00	0,00	1,00	23.125,98	33.603,87
	LB.3	1,40	2,55	1,40	2,25	0,00	0,00	0,00	1,00	70.711,03	112.001,75
	LB.4	1,20	2,55	1,40	0,00	0,00	0,00	0,00	1,00	38.710,07	61.971,70
	LB.5	0,50	2,55	0,70	0,00	0,00	0,00	0,00	1,00	53.107,82	84.184,71
	LB.1'	0,50	2,55	0,70	2,25	0,00	0,00	0,00	1,00	38.764,28	62.862,53
	LB.2'	1,00	2,55	0,70	2,25	0,00	0,00	0,00	1,00	29.894,79	47.289,92
	LB.3'	0,95	2,55	0,00	0,00	0,00	0,00	0,00	1,00	5.383,96	7.786,74
LB.4'	0,35	2,55	0,00	0,00	0,00	0,00	0,00	1,00	20.799,17	31.003,58	

Tabel 1 continuare

ÎNCĂRCĂRI PE ȘPALEȚI											
Diafrag	Șpalet	L. Parapeti	H. Parapeti	L. Parapeti	H. Parapeti	L. Parapeti	H. Parapeti	L. zidarie atic	H. zidarie atic	Ned	Nsd
		parter	parter	etaj	etaj	mans	mans	0,42cm	0,42cm		
		[m]	[m]	[m]	[m]	[m]	[m]	[m]	[m]		
LC	LC.1	0,00	0,00	0,00	0,00	0,00	0,00	0,00	1,00	36.198,16	48.867,52
	LC.2	0,75	1,45	0,75	1,20	0,00	0,00	0,00	1,00	18.301,93	29.048,91
	LC.3	1,50	1,45	1,50	1,20	0,00	0,00	0,00	1,00	23.975,03	35.360,29
	LC.4	1,50	1,45	1,50	1,20	0,00	0,00	0,00	1,00	28.023,45	42.771,76
	LC.5	1,50	1,45	1,30	1,20	0,00	0,00	0,00	1,00	20.978,02	30.041,88
	LC.6	1,50	1,45	1,10	1,20	0,00	0,00	0,00	1,00	16.055,08	21.674,35
	LC.7	0,75	1,45	1,23	1,20	0,00	0,00	0,00	1,00	9.536,95	12.874,88
LD	LD.1	1,00	1,45	0,00	0,00	0,00	0,00	0,00	1,00	13.468,41	18.844,75
	LD.2	1,30	1,45	0,00	0,00	0,00	0,00	0,00	1,00	17.217,48	24.798,80
	LD.3	1,30	1,45	0,00	0,00	0,00	0,00	0,00	1,00	17.217,48	24.798,80
	LD.4	0,65	1,45	0,00	0,00	0,00	0,00	0,00	1,00	18.856,84	26.723,93
LE	LE.1	0,80	2,55	0,00	0,00	0,00	0,00	0,00	1,00	96.022,01	134.784,91
LF	LF.1	0,00	0,00	0,00	0,00	0,00	0,00	0,00	1,00	43.967,29	62.351,05
	LF.2	0,75	1,45	0,75	1,20	0,00	0,00	0,00	1,00	12.860,12	17.361,16
	LF.3	1,50	1,45	1,50	1,20	0,00	0,00	0,00	1,00	39.252,37	54.344,30
	LF.4	0,75	1,45	0,75	1,20	0,00	0,00	0,00	1,00	11.842,68	16.938,01
	LF.5	0,70	1,45	0,70	1,20	0,50	0,55	0,00	1,00	31.299,14	47.918,74
	LF.6	1,40	1,45	1,40	1,20	1,00	0,55	0,00	1,00	34.342,02	54.335,12
	LF.7	1,40	1,45	1,40	1,20	1,00	0,55	0,00	1,00	25.176,94	36.821,31
	LF.8	1,40	1,45	1,40	1,20	1,00	0,55	0,00	1,00	23.890,19	34.341,55
	LF.9	0,70	1,45	0,70	1,20	0,50	0,55	0,00	1,00	40.827,51	61.219,74
	LF.1'	0,00	0,00	1,00	2,25	0,00	0,00	0,00	1,00	45.544,76	68.337,87
	LF.2'	1,80	2,55	1,80	2,25	0,00	0,00	0,00	1,00	17.084,37	25.585,84
	LF.3'	1,80	2,55	1,80	2,25	0,00	0,00	0,00	1,00	16.862,84	25.165,88
	LF.4'	0,00	0,00	0,00	0,00	0,00	0,00	0,00	1,00	51.253,62	79.337,33
	LF.5'	1,80	2,55	1,80	2,25	0,00	0,00	0,00	1,00	16.922,54	25.292,52
	LF.6'	1,80	2,55	1,80	2,25	0,00	0,00	0,00	1,00	16.964,97	25.332,55
	LF.7'	0,50	0,00	0,00	0,00	0,00	0,00	0,00	1,00	13.220,65	19.691,08
	LF.8'	0,40	2,55	0,00	0,00	0,00	0,00	0,00	1,00	11.975,60	17.578,26
LF.9'	0,50	2,55	0,35	2,25	0,00	0,00	0,00	1,00	18.325,96	28.482,54	
LF.10	0,50	2,55	0,00	0,00	0,70	1,40	0,00	1,00	37.313,83	58.179,53	
LF.11	0,00	2,55	0,00	0,00	0,00	0,00	0,00	1,00	41.339,99	55.808,99	
LG	LG.1	0,00	0,00	0,00	0,00	1,00	1,40	0,00	1,00	48.394,42	73.760,97

Tabel 1 continuare

ÎNCĂRCĂRI PE ȘPALEȚI												
Diafrag	Șpalet	L.	H.	L.	H.	L.	H.	L.	H.	Ned	Nsd	
		Parapeti	Parapeti	Parapeti	Parapeti	Parapeti	Parapeti	Parapeti	Parapeti			Parapeti
		parter	parter	etaj	etaj	mans	mans	0,42cm	0,42cm			
		[m]	[m]	[m]	[m]	[m]	[m]	[m]	[m]	[daN]	[daN]	
LH	LH.1'	0,00	0,00	0,00	2,25	0,00	0,00	0,00	1,00	42.716,11	63.464,85	
	LH.1	0,70	2,55	0,70	2,25	0,00	0,00	0,00	1,00	124.463,95	179.716,13	
	LH.2	1,20	2,55	1,20	2,25	0,00	0,00	0,00	1,00	80.152,13	116.087,58	
	LH.3	0,50	2,55	0,50	2,25	0,00	0,00	0,00	1,00	68.121,98	97.077,27	
LI	LI.1	0,93	1,45	0,93	1,20	0,00	0,00	0,00	1,00	14.262,39	20.492,17	
	LI.2	1,85	1,45	1,85	1,20	0,00	0,00	0,00	1,00	21.173,56	32.274,90	
	LI.3	1,85	1,45	1,85	1,20	0,00	0,00	0,00	1,00	22.878,78	35.820,30	
	LI.4	0,93	1,45	0,93	1,20	0,00	0,00	0,00	1,00	28.383,50	46.947,97	
	LI.5	0,00	0,00	0,00	0,00	0,00	0,00	0,00	1,00	61.639,69	83.213,59	
LJ	LJ.1	0,93	1,45	0,93	1,20	0,00	0,00	0,00	1,00	15.501,71	22.769,75	
	LJ.2	1,85	1,45	1,85	1,20	0,00	0,00	0,00	1,00	21.879,66	33.400,94	
	LJ.3	1,85	1,45	1,85	1,20	0,00	0,00	0,00	1,00	21.879,66	33.400,94	
	LJ.4	1,93	1,45	1,93	1,20	0,00	0,00	0,00	1,00	35.966,90	59.351,27	
	LJ.5	1,63	1,45	1,63	1,20	0,00	0,00	0,00	1,00	25.579,73	38.787,54	
	LJ.6	0,00	0,00	1,40	1,20	0,00	0,00	0,00	1,00	52.125,11	77.686,95	
LK	LK.1	0,70	2,55	0,70	2,25	0,00	0,00	0,00	1,00	86.920,52	137.034,10	
	LK.2	0,70	2,55	2,10	2,25	0,00	0,00	0,00	1,00	186.879,67	296.351,40	
	LK.3	0,70	2,55	2,10	2,25	0,00	0,00	0,00	1,00	162.189,28	261.337,73	
	LK.4	1,15	2,55	1,15	2,25	0,00	0,00	0,00	1,00	54.904,18	88.658,20	
	LK.5	0,45	2,55	0,45	2,25	0,00	0,00	0,00	1,00	29.725,12	48.661,81	
LL	LL.1	0,75	1,45	0,75	1,20	0,00	0,00	0,00	1,00	23.517,16	36.031,87	
	LL.2	1,50	1,45	1,50	1,20	0,00	0,00	0,00	1,00	43.797,05	68.781,66	
	LL.3	1,50	1,45	1,50	1,20	0,00	0,00	0,00	1,00	43.961,63	69.003,85	
	LL.4	1,50	1,45	1,50	1,20	0,00	0,00	0,00	1,00	44.126,22	69.226,05	
	LL.5	1,50	1,45	1,50	1,20	0,00	0,00	0,00	1,00	44.126,22	69.226,05	
	LL.6	1,30	2,55	1,40	2,25	0,00	0,00	0,00	1,00	52.133,90	80.640,76	
	LL.7	1,75	2,55	1,85	1,20	0,00	0,00	0,00	1,00	37.178,10	58.723,34	
	LL.8	1,75	2,55	1,85	1,20	0,00	0,00	0,00	1,00	37.655,70	59.736,50	
	LL.9	1,30	2,55	1,40	2,25	0,00	0,00	0,00	1,00	53.125,07	82.226,49	
	LL.10	1,50	1,45	1,50	1,20	0,00	0,00	0,00	1,00	44.126,22	69.226,05	
	LL.11	1,50	1,45	1,50	1,20	0,00	0,00	0,00	1,00	44.126,22	69.226,05	
	LL.12	1,50	1,45	1,50	1,20	0,00	0,00	0,00	1,00	44.063,76	69.170,53	
	LL.13	1,50	1,45	1,50	1,20	0,00	0,00	0,00	1,00	42.498,65	66.545,07	
	LL.14	0,75	1,45	0,75	1,20	0,00	0,00	0,00	1,00	18.568,06	28.884,23	

Tabel 2

CALCULUL FORȚEI TĂIETOARE CAPABILE ALE PEREȚILOR											
Diafrag	Spațet	lw	H _p	a1	b1	a2	b2	b (t)	N _{ed}	N _{sd}	M _{rd}
		cm	cm	cm	cm	cm	cm	c m	[daN]	[daN]	[daN*cm]
T1	T1.1	343	645	0	56	0	56	56	29.906,6	40.374,0	2.051.595,9
	T1.2	338	645	0	56	0	56	56	30.868,8	41.672,8	2.086.728,2
	T1.3	197	645	0	56	0	56	56	18.450,9	24.908,7	726.965,2
	T1.4	171	645	0	56	0	56	56	18.187,1	24.552,6	621.998,5
	T1.5	163	645	0	56	0	56	56	17.673,5	23.859,2	576.154,9
	T1.6	197	645	0	56	0	56	56	18.390,3	24.826,8	724.576,1
	T1.7	94	645	0	56	0	56	56	12.821,6	19.180,3	241.045,2
	T1.8	136	645	0	56	0	56	56	24.997,5	38.686,7	679.931,1
	T1.9	131	645	0	56	0	56	56	25.433,8	39.696,0	666.364,8
	T1.10	99	645	0	56	0	56	56	13.856,7	20.727,5	274.362,6
T2	T2.1	170	645	0	56	0	56	56	24.385,1	36.662,4	829.092,9
	T2.2	175	645	0	56	0	56	56	31.663,7	48.929,7	1.108.227,8
	T2.3	170	645	0	56	0	56	56	30.808,8	47.533,9	1.047.500,4
	T2.4	175	645	0	56	0	56	56	31.301,1	48.244,5	1.095.537,9
	T2.5	188	645	0	56	0	56	56	26.650,2	40.019,7	1.002.048,0
	T2.6	187	645	0	56	0	56	56	26.503,1	39.821,0	991.214,7
	T2.7	175	645	0	56	0	56	56	31.658,0	48.726,3	1.108.029,2
	T2.8	190	645	0	56	0	56	56	33.561,4	51.566,6	1.275.335,0
	T2.9	175	645	0	56	0	56	56	31.720,3	48.810,5	1.110.212,2
	T2.10	167	645	0	56	0	56	56	24.005,3	36.074,8	801.777,2
	T2.11	449	645	0	56	0	56	56	58.785,4	87.996,9	5.278.930,8
T3	T3.1	112	645	0	42	0	42	42	18.997,3	29.838,0	425.540,1
	T3.2	805	645	0	42	0	42	42	120.678,6	191.347,5	19.429.249,8
	T3.3	531	645	0	42	0	42	42	63.608,1	98.192,4	6.755.180,1
	T3.3'	84	645	0	42	0	42	42	19.097,9	28.626,5	320.844,7
	T3.4'	84	645	0	42	0	42	42	19.097,9	28.626,5	320.844,7
	T3.4	572	645	0	42	0	42	42	70.406,8	108.551,0	8.054.540,0
	T3.5	502	645	0	42	0	42	42	80.178,3	127.402,3	8.049.898,1
	T3.6	637	645	0	42	0	42	42	102.539,7	163.618,6	13.063.563,9
T3.7	290	645	0	42	0	42	42	42.252,3	66.396,8	2.450.632,8	

Tabel 2 continuare

CALCULUL FORȚEI TĂIETOARE CAPABILE ALE PEREȚILOR											
Diafrag	Spalet	lw	H _p	a1	b1	a2	b2	b (t)	N _{ed}	N _{sd}	M _{rd}
		cm	cm	cm	cm	cm	cm	c m	[daN]	[daN]	[daN*cm]
T4	T4.1	113	645	0	56	0	56	56	19.007,7	29.437,4	429.573,3
	T4.2	120	645	0	56	0	56	56	21.053,2	31.847,7	505.277,8
	T4.3	120	645	0	56	0	56	56	20.965,6	31.838,8	503.174,9
	T4.4	105	645	0	56	0	56	56	18.790,1	28.729,1	394.591,5
	T4.5	172	645	0	42	0	42	42	17.330,7	25.878,1	596.177,6
	T4.5'	116	645	0	42	0	42	42	18.261,0	27.450,6	423.655,2
	T4.6'	116	645	0	42	0	42	42	18.261,0	27.450,6	423.655,2
	T4.6	519	645	0	56	0	56	56	60.384,7	87.910,3	6.267.927,8
	T4.7	171	645	0	56	0	56	56	25.860,5	38.487,2	884.428,9
	T4.8	171	645	0	56	0	56	56	25.860,5	38.487,2	884.428,9
	T4.9	171	645	0	56	0	56	56	25.962,6	38.653,9	887.921,8
	T4.10	64	645	0	56	0	56	56	11.606,9	17.465,8	148.568,9
T4.11	566	645	0	42	0	42	42	38.439,3	51.893,1	4.351.331,5	
T4.12	431	645	0	42	0	42	42	38.160,3	54.142,2	3.289.420,6	
T5	T5.1	280	645	0	56	0	56	56	14.714,7	19.864,8	824.023,2
	T5.2	367	645	0	56	0	56	56	18.774,3	25.345,3	1.378.033,2
	T5.1'	401	645	0	42	0	42	42	36.648,2	55.042,8	2.939.186,6
	T5.2'	401	645	0	42	0	42	42	31.265,4	45.323,2	2.507.484,4
	T5.3	113	645	0	56	0	56	56	17.782,1	27.437,2	401.875,7
	T5.4	135	645	0	56	0	56	56	28.516,0	45.267,6	769.931,4
	T5.5	133	645	0	56	0	56	56	27.898,0	44.479,2	742.086,2
	T5.6	119	645	0	56	0	56	56	19.579,4	30.381,8	465.989,4
	T5.7	1.921	645	0	56	0	56	56	240.108,7	342.060,3	92.249.744,1
	T5.8	440	645	0	42	0	42	42	41.857,6	62.046,6	3.683.467,0
T5.9	277	645	0	42	0	42	42	9.694,0	13.086,9	537.049,3	
T5.10	242	645	0	42	0	42	42	8.469,2	11.433,4	409.907,0	
T6	T6.1	510	645	0	56	0	56	56	45.150,7	60.953,4	4.605.369,6
	T6.2	685	645	0	56	0	56	56	60.369,5	81.498,9	8.270.627,0
T7	T7.1	286	645	0	56	0	56	56	14.994,7	20.242,8	857.695,2
	T7.2	334	645	0	56	0	56	56	17.234,4	23.266,5	1.151.261,1
	T7.3	1.911	645	0	56	0	56	56	293.768,6	418.360,4	112.278.367,3
	T7.3'	420	645	0	28	0	28	28	36.146,2	57.163,1	3.036.283,3

Tabel 2 continuare

CALCULUL FORȚEI TĂIETOARE CAPABILE ALE PEREȚILOR											
Diafrag	Spalet	lw	H _p	a1	b1	a2	b2	b (t)	N _{ed}	N _{sd}	M _{rd}
		cm	cm	cm	cm	cm	cm	c m	[daN]	[daN]	[daN*cm]
T8	T8.1	437	645	0	42	0	42	42	69.294,0	105.086,3	6.056.295,9
	T8.2	463	645	0	42	0	42	42	68.737,7	105.744,0	6.365.110,7
T9	T9.1'	329	645	0	28	0	28	28	16.682,8	24.912,2	1.097.730,5
	T9.2'	299	645	0	28	0	28	28	11.591,3	16.800,3	693.160,6
	T9.3'	112	645	0	42	0	42	42	9.934,8	13.412,0	222.540,6
	T9.4'	258	645	0	42	0	42	42	19.389,4	26.175,8	1.000.495,5
	T9.1	109	645	0	56	0	56	56	12.622,2	17.328,0	275.164,7
	T9.2	95	645	0	56	0	56	56	16.850,7	23.958,0	320.162,6
	T9.3	95	645	0	56	0	56	56	16.850,7	23.958,0	320.162,6
	T9.4	179	645	0	56	0	56	56	28.379,8	41.554,5	1.015.995,1
	T9.5	506	645	0	42	0	42	42	96.044,1	156.194,1	9.719.665,3
	T9.6	194	645	0	42	0	42	42	37.795,0	57.649,5	1.466.447,4
T9.7	65	645	0	42	0	42	42	5.507,3	8.097,3	71.595,4	
T10	T10.1	1.007	645	0	56	0	56	56	100.643,3	139.583,6	20.269.553,9
	T10.2	153	645	0	56	0	56	56	14.466,0	19.529,1	442.660,5
	T10.3	129	645	0	56	0	56	56	25.265,7	39.474,3	651.853,9
	T10.4	168	645	0	56	0	56	56	51.647,1	82.337,4	1.735.343,3
	T10.5	161	645	0	56	0	56	56	30.474,3	45.694,3	981.273,4
	T10.6	441	645	0	56	0	56	56	42.919,1	57.940,8	3.785.465,2
LA	LA.1	480	645	0	56	0	56	56	39.464,6	53.277,2	3.788.603,3
	LA.2	154	645	0	56	0	56	56	21.014,6	30.914,6	647.248,5
	LA.3	152	645	0	56	0	56	56	29.270,6	45.952,4	889.825,1
	LA.4	155	645	0	56	0	56	56	29.671,1	46.568,0	919.805,1
	LA.5	171	645	0	56	0	56	56	30.366,2	47.460,1	1.038.522,8
	LA.6	154	645	0	56	0	56	56	29.429,7	46.167,2	906.435,5
	LA.7	168	645	0	56	0	56	56	24.144,7	37.057,6	811.263,0
LB	LB.1	670	645	0	42	0	42	42	48.225,0	65.103,8	6.462.150,5
	LB.2	272	645	0	42	0	42	42	23.126,0	33.603,9	1.258.053,3
	LB.3	446	645	0	42	0	42	42	70.711,0	112.001,7	6.307.424,2
	LB.4	236	645	0	42	0	42	42	38.710,1	61.971,7	1.827.115,5
	LB.5	493	645	0	42	0	42	42	53.107,8	84.184,7	5.236.431,2
	LB.1'	393	645	0	28	0	28	28	38.764,3	62.862,5	3.046.872,6
	LB.2'	309	645	0	28	0	28	28	29.894,8	47.289,9	1.847.498,3
	LB.3'	104	645	0	28	0	28	28	5.384,0	7.786,7	111.986,3
LB.4'	262	645	0	28	0	28	28	20.799,2	31.003,6	1.089.876,6	

Tabel 2 continuare

CALCULUL FORȚEI TĂIETOARE CAPABILE ALE PEREȚILOR											
Diafrag	Spalet	lw	H _p	a1	b1	a2	b2	b	N _{ed}	N _{sd}	M _{rd}
		cm	cm	cm	cm	cm	cm	c			
LC	LC.1	533	645	0	42	0	42	42	36.198,2	48.867,5	3.858.724,1
	LC.2	111	645	0	42	0	42	42	18.301,9	29.048,9	406.302,9
	LC.3	179	645	0	56	0	56	56	23.975,0	35.360,3	858.306,1
	LC.4	177	645	0	56	0	56	56	28.023,5	42.771,8	992.030,2
	LC.5	178	645	0	56	0	56	56	20.978,0	30.041,9	746.817,5
	LC.6	165	645	0	56	0	56	56	16.055,1	21.674,4	529.817,6
	LC.7	94	645	0	56	0	56	56	9.537,0	12.874,9	179.294,7
LD	LD.1	108	645	0	56	0	56	56	13.468,4	18.844,7	290.917,6
	LD.2	110	645	0	56	0	56	56	17.217,5	24.798,8	378.784,6
	LD.3	110	645	0	56	0	56	56	17.217,5	24.798,8	378.784,6
	LD.4	149	645	0	56	0	56	56	18.856,8	26.723,9	561.933,8
LE	LE.1	670	645	0	56	0	56	56	96.022,0	134.784,9	12.866.949,3
LF	LF.1	491	645	0	42	0	42	42	43.967,3	62.351,0	4.317.588,3
	LF.2	137	645	0	56	0	56	56	12.860,1	17.361,2	352.367,2
	LF.3	392	645	0	56	0	56	56	39.252,4	54.344,3	3.077.386,1
	LF.4	86	645	0	56	0	56	56	11.842,7	16.938,0	203.694,0
	LF.5	186	645	0	56	0	56	56	31.299,1	47.918,7	1.164.328,1
	LF.6	150	645	0	56	0	56	56	34.342,0	54.335,1	1.030.260,5
	LF.7	150	645	0	56	0	56	56	25.176,9	36.821,3	755.308,1
	LF.8	150	645	0	56	0	56	56	23.890,2	34.341,5	716.705,6
	LF.9	269	645	0	56	0	56	56	40.827,5	61.219,7	2.196.519,9
	LF.1'	437	645	0	42	0	42	42	45.544,8	68.337,9	3.980.611,6
	LF.2'	79	645	0	42	0	42	42	17.084,4	25.585,8	269.933,0
	LF.3'	79	645	0	42	0	42	42	16.862,8	25.165,9	266.432,8
	LF.4'	437	645	0	42	0	42	42	51.253,6	79.337,3	4.479.566,2
	LF.5'	79	645	0	42	0	42	42	16.922,5	25.292,5	267.376,1
	LF.6'	79	645	0	42	0	42	42	16.965,0	25.332,6	268.046,5
	LF.7'	191	645	0	42	0	42	42	13.220,7	19.691,1	505.028,9
	LF.8'	179	645	0	42	0	42	42	11.975,6	17.578,3	428.726,6
	LF.9'	205	645	0	28	0	28	28	18.326,0	28.482,5	751.364,2
LF.10'	429	645	0	28	0	28	28	37.313,8	58.179,5	3.201.527,0	
LF.11'	661	645	0	28	0	28	28	41.340,0	55.809,0	5.465.146,8	

Tabel 2 continuare

CALCULUL FORȚEI TĂIETOARE CAPABILE ALE PEREȚILOR											
Diafrag	Spațet	lw	H _p	a1	b1	a2	b2	b (t)	N _{ed}	N _{sd}	M _{rd}
		cm	cm	cm	cm	cm	cm	c m	[daN]	[daN]	[daN*cm]
LG	LG.1	483	645	0	42	0	42	42	48.394,4	73.761,0	4.674.901,2
LH	LH.1'	490	645	0	42	0	42	42	42.716,1	63.464,9	4.186.179,0
	LH.1	1.392	645	0	56	0	56	56	124.463,9	179.716,1	34.650.763,4
	LH.2	577	645	0	42	0	42	42	80.152,1	116.087,6	9.249.556,1
	LH3	420	645	0	56	0	56	56	68.122,0	97.077,3	5.722.246,3
LI	LI.1	120	645	0	56	0	56	56	14.262,4	20.492,2	342.297,2
	LI.2	118	645	0	56	0	56	56	21.173,6	32.274,9	499.695,9
	LI.3	120	645	0	56	0	56	56	22.878,8	35.820,3	549.090,7
	LI.4	120	645	0	56	0	56	56	28.383,5	46.948,0	681.203,9
	LI.5	593	645	0	56	0	56	56	61.639,7	83.213,6	7.310.467,6
LJ	LJ.1	120	645	0	56	0	56	56	15.501,7	22.769,8	372.040,9
	LJ.2	120	645	0	56	0	56	56	21.879,7	33.400,9	525.111,8
	LJ.3	120	645	0	56	0	56	56	21.879,7	33.400,9	525.111,8
	LJ.4	97	645	0	56	0	56	56	35.966,9	59.351,3	697.757,9
	LJ.5	163	645	0	56	0	56	56	25.579,7	38.787,5	833.899,3
	LJ.6	448	645	0	56	0	56	56	52.125,1	77.686,9	4.670.409,9
LK	LK.1	614	645	0	42	0	42	42	86.920,5	137.034,1	10.673.839,4
	LK.2	1.089	645	0	42	0	42	42	186.879,7	296.351,4	40.702.391,8
	LK.3	1.117	645	0	42	0	42	42	162.189,3	261.337,7	36.233.084,7
	LK.4	321	645	0	42	0	42	42	54.904,2	88.658,2	3.524.848,6
	LK.5	144	645	0	42	0	42	42	29.725,1	48.661,8	856.083,3
LL	LL.1	143	645	0	70	0	70	70	23.517,2	36.031,9	672.590,8
	LL.2	210	645	0	70	0	70	70	43.797,0	68.781,7	1.839.475,9
	LL.3	210	645	0	70	0	70	70	43.961,6	69.003,9	1.846.388,6
	LL.4	210	645	0	70	0	70	70	44.126,2	69.226,0	1.853.301,2
	LL.5	210	645	0	70	0	70	70	44.126,2	69.226,0	1.853.301,2
	LL.6	276	645	0	70	0	70	70	52.133,9	80.640,8	2.877.791,0
	LL.7	133	645	0	70	0	70	70	37.178,1	58.723,3	988.937,5
	LL.8	133	645	0	70	0	70	70	37.655,7	59.736,5	1.001.641,6
	LL.9	291	645	0	70	0	70	70	53.125,1	82.226,5	3.091.878,9
	LL.10	210	645	0	70	0	70	70	44.126,2	69.226,0	1.853.301,2
	LL.11	210	645	0	70	0	70	70	44.126,2	69.226,0	1.853.301,2
	LL.12	210	645	0	70	0	70	70	44.063,8	69.170,5	1.850.678,0
	LL.13	209	645	0	70	0	70	70	42.498,6	66.545,1	1.776.443,4
	LL.14	91	645	0	70	0	70	70	18.568,1	28.884,2	337.938,6

Tabel 2 continuare

CALCULUL FORȚEI TĂIETOARE CAPABILE ALE PEREȚILOR											
Diafrag	Spalet	γ_M	K	fm	fb	fk	fm zidari	fd	v_d	V_{fl}	f_{vko}
				daN/ cm ²	daN/ cm ²	daN/ cm ²	daN/ cm ²	daN/ cm ²		[daN]	daN/ cm ²
T1	T1.1	2,5	0,5	7,41	60	12,81	17	12,34	0,13	13.595,98	0,45
	T1.2	2,5	0,5	7,41	60	12,81	17	12,34	0,13	13.717,44	0,45
	T1.3	2,5	0,5	7,41	60	12,81	17	12,34	0,14	4.756,95	0,45
	T1.4	2,5	0,5	7,41	60	12,81	17	12,34	0,15	3.968,20	0,45
	T1.5	2,5	0,5	7,41	60	12,81	17	12,34	0,16	3.660,35	0,45
	T1.6	2,5	0,5	7,41	60	12,81	17	12,34	0,14	4.744,20	0,45
	T1.7	2,5	0,5	7,41	60	12,81	17	12,34	0,20	1.444,38	0,45
	T1.8	2,5	0,5	7,41	60	12,81	17	12,34	0,27	3.658,41	0,45
	T1.9	2,5	0,5	7,41	60	12,81	17	12,34	0,28	3.496,46	0,45
	T1.10	2,5	0,5	7,41	60	12,81	17	12,34	0,20	1.631,40	0,45
T2	T2.1	2,5	0,5	7,41	60	12,81	17	12,34	0,21	4.892,73	0,45
	T2.2	2,5	0,5	7,41	60	12,81	17	12,34	0,26	6.003,91	0,45
	T2.3	2,5	0,5	7,41	60	12,81	17	12,34	0,26	5.670,95	0,45
	T2.4	2,5	0,5	7,41	60	12,81	17	12,34	0,26	5.964,45	0,45
	T2.5	2,5	0,5	7,41	60	12,81	17	12,34	0,21	5.935,18	0,45
	T2.6	2,5	0,5	7,41	60	12,81	17	12,34	0,21	5.871,38	0,45
	T2.7	2,5	0,5	7,41	60	12,81	17	12,34	0,26	6.003,30	0,45
	T2.8	2,5	0,5	7,41	60	12,81	17	12,34	0,26	6.979,91	0,45
	T2.9	2,5	0,5	7,41	60	12,81	17	12,34	0,26	6.010,02	0,45
	T2.10	2,5	0,5	7,41	60	12,81	17	12,34	0,21	4.728,40	0,45
	T2.11	2,5	0,5	7,41	60	12,81	17	12,34	0,19	32.005,04	0,45
T3	T3.1	2,5	0,5	7,41	60	12,81	17	12,34	0,33	2.057,11	0,45
	T3.2	2,5	0,5	7,41	60	12,81	17	12,34	0,29	100.510,17	0,45
	T3.3	2,5	0,5	7,41	60	12,81	17	12,34	0,23	38.445,77	0,45
	T3.3'	2,5	0,5	7,41	60	12,81	17	12,34	0,44	1.232,34	0,45
	T3.4'	2,5	0,5	7,41	60	12,81	17	12,34	0,44	1.232,34	0,45
	T3.4	2,5	0,5	7,41	60	12,81	17	12,34	0,24	45.383,64	0,45
	T3.5	2,5	0,5	7,41	60	12,81	17	12,34	0,31	40.285,28	0,45
	T3.6	2,5	0,5	7,41	60	12,81	17	12,34	0,31	65.093,81	0,45
T3.7	2,5	0,5	7,41	60	12,81	17	12,34	0,28	12.855,09	0,45	

Tabel 2 continuare

CALCULUL FORȚEI TĂIETOARE CAPABILE ALE PEREȚILOR											
Diafrag	Spalet	γ_M	K	fm	fb	fk	^{mm} zidari	fd	v_d	V_{fl}	f_{vk0}
				daN/ cm ²	daN/ cm ²	daN/ cm ²	daN/ cm ²	daN/ cm ²		[daN]	daN/ cm ²
T4	T4.1	2,5	0,5	7,41	60	12,81	17	12,34	0,24	2.397,78	0,45
	T4.2	2,5	0,5	7,41	60	12,81	17	12,34	0,25	2.773,18	0,45
	T4.3	2,5	0,5	7,41	60	12,81	17	12,34	0,25	2.766,38	0,45
	T4.4	2,5	0,5	7,41	60	12,81	17	12,34	0,26	2.147,82	0,45
	T4.5	2,5	0,5	7,41	60	12,81	17	12,34	0,19	3.588,18	0,45
	T4.5'	2,5	0,5	7,41	60	12,81	17	12,34	0,30	2.136,89	0,45
	T4.6'	2,5	0,5	7,41	60	12,81	17	12,34	0,30	2.136,89	0,45
	T4.6	2,5	0,5	7,41	60	12,81	17	12,34	0,17	39.179,92	0,45
	T4.7	2,5	0,5	7,41	60	12,81	17	12,34	0,22	5.130,41	0,45
	T4.8	2,5	0,5	7,41	60	12,81	17	12,34	0,22	5.130,41	0,45
	T4.9	2,5	0,5	7,41	60	12,81	17	12,34	0,22	5.143,82	0,45
	T4.10	2,5	0,5	7,41	60	12,81	17	12,34	0,26	804,07	0,45
T4.11	2,5	0,5	7,41	60	12,81	17	12,34	0,13	28.647,73	0,45	
T4.12	2,5	0,5	7,41	60	12,81	17	12,34	0,17	20.489,38	0,45	
T5	T5.1	2,5	0,5	7,41	60	12,81	17	12,34	0,08	5.829,08	0,45
	T5.2	2,5	0,5	7,41	60	12,81	17	12,34	0,07	9.772,93	0,45
	T5.1'	2,5	0,5	7,41	60	12,81	17	12,34	0,18	18.163,57	0,45
	T5.2'	2,5	0,5	7,41	60	12,81	17	12,34	0,15	16.074,75	0,45
	T5.3	2,5	0,5	7,41	60	12,81	17	12,34	0,23	2.299,41	0,45
	T5.4	2,5	0,5	7,41	60	12,81	17	12,34	0,31	3.870,24	0,45
	T5.5	2,5	0,5	7,41	60	12,81	17	12,34	0,30	3.744,34	0,45
	T5.6	2,5	0,5	7,41	60	12,81	17	12,34	0,24	2.623,15	0,45
	T5.7	2,5	0,5	7,41	60	12,81	17	12,34	0,18	566.352,85	0,45
	T5.8	2,5	0,5	7,41	60	12,81	17	12,34	0,18	22.526,17	0,45
T5.9	2,5	0,5	7,41	60	12,81	17	12,34	0,07	3.839,86	0,45	
T5.10	2,5	0,5	7,41	60	12,81	17	12,34	0,07	2.930,80	0,45	
T6	T6.1	2,5	0,5	7,41	60	12,81	17	12,34	0,13	30.440,33	0,45
	T6.2	2,5	0,5	7,41	60	12,81	17	12,34	0,13	54.709,43	0,45
T7	T7.1	2,5	0,5	7,41	60	12,81	17	12,34	0,08	6.068,64	0,45
	T7.2	2,5	0,5	7,41	60	12,81	17	12,34	0,07	8.158,08	0,45
	T7.3	2,5	0,5	7,41	60	12,81	17	12,34	0,22	647.692,70	0,45
	T7.3'	2,5	0,5	7,41	60	12,81	17	12,34	0,25	16.794,43	0,45

Tabel 2 continuare

CALCULUL FORȚEI TĂIETOARE CAPABILE ALE PEREȚILOR											
Diafrag	Spalet	γ_M	K	f _m	f _b	f _k	^{mm} zidari	f _d	v _d	V _{fl}	f _{vk0}
				daN/ cm ²	daN/ cm ²	daN/ cm ²	daN/ cm ²	daN/ cm ²		[daN]	daN/ cm ²
T8	T8.1	2,5	0,5	7,41	60	12,81	17	12,34	0,31	30.428,23	0,45
	T8.2	2,5	0,5	7,41	60	12,81	17	12,34	0,29	33.086,33	0,45
T9	T9.1'	2,5	0,5	7,41	60	12,81	17	12,34	0,15	7.073,24	0,45
	T9.2'	2,5	0,5	7,41	60	12,81	17	12,34	0,11	4.679,96	0,45
	T9.3'	2,5	0,5	7,41	60	12,81	17	12,34	0,17	1.385,55	0,45
	T9.4'	2,5	0,5	7,41	60	12,81	17	12,34	0,15	6.462,34	0,45
	T9.1	2,5	0,5	7,41	60	12,81	17	12,34	0,17	1.721,96	0,45
	T9.2	2,5	0,5	7,41	60	12,81	17	12,34	0,26	1.749,21	0,45
	T9.3	2,5	0,5	7,41	60	12,81	17	12,34	0,26	1.749,21	0,45
	T9.4	2,5	0,5	7,41	60	12,81	17	12,34	0,23	5.797,71	0,45
	T9.5	2,5	0,5	7,41	60	12,81	17	12,34	0,37	43.610,03	0,45
	T9.6	2,5	0,5	7,41	60	12,81	17	12,34	0,38	6.453,27	0,45
T9.7	2,5	0,5	7,41	60	12,81	17	12,34	0,16	450,65	0,45	
T10	T10.1	2,5	0,5	7,41	60	12,81	17	12,34	0,14	130.992,02	0,45
	T10.2	2,5	0,5	7,41	60	12,81	17	12,34	0,14	2.891,50	0,45
	T10.3	2,5	0,5	7,41	60	12,81	17	12,34	0,28	3.405,97	0,45
	T10.4	2,5	0,5	7,41	60	12,81	17	12,34	0,44	6.569,44	0,45
	T10.5	2,5	0,5	7,41	60	12,81	17	12,34	0,27	5.210,46	0,45
	T10.6	2,5	0,5	7,41	60	12,81	17	12,34	0,14	24.591,60	0,45
LA	LA.1	2,5	0,5	7,41	60	12,81	17	12,34	0,12	25.350,27	0,45
	LA.2	2,5	0,5	7,41	60	12,81	17	12,34	0,20	3.877,93	0,45
	LA.3	2,5	0,5	7,41	60	12,81	17	12,34	0,28	4.687,13	0,45
	LA.4	2,5	0,5	7,41	60	12,81	17	12,34	0,28	4.858,61	0,45
	LA.5	2,5	0,5	7,41	60	12,81	17	12,34	0,26	5.671,23	0,45
	LA.6	2,5	0,5	7,41	60	12,81	17	12,34	0,28	4.791,79	0,45
	LA.7	2,5	0,5	7,41	60	12,81	17	12,34	0,21	4.784,61	0,45
LB	LB.1	2,5	0,5	7,41	60	12,81	17	12,34	0,14	42.092,94	0,45
	LB.2	2,5	0,5	7,41	60	12,81	17	12,34	0,16	7.912,37	0,45
	LB.3	2,5	0,5	7,41	60	12,81	17	12,34	0,31	31.692,41	0,45
	LB.4	2,5	0,5	7,41	60	12,81	17	12,34	0,32	9.008,30	0,45
	LB.5	2,5	0,5	7,41	60	12,81	17	12,34	0,21	30.888,94	0,45
	LB.1'	2,5	0,5	7,41	60	12,81	17	12,34	0,29	15.864,41	0,45
	LB.2'	2,5	0,5	7,41	60	12,81	17	12,34	0,28	9.709,62	0,45
	LB.3'	2,5	0,5	7,41	60	12,81	17	12,34	0,15	718,52	0,45
	LB.4'	2,5	0,5	7,41	60	12,81	17	12,34	0,23	6.216,13	0,45

Tabel 2 continuare

CALCULUL FORȚEI TĂIETOARE CAPABILE ALE PEREȚILOR											
Diafrag	Spalet	γ_M	K	f _m	f _b	f _k	^{mm} zidari	f _d	v _d	V _{fl}	f _{vk0}
				daN/ cm ²	daN/ cm ²	daN/ cm ²	daN/ cm ²	daN/ cm ²		[daN]	daN/ cm ²
LC	LC.1	2,5	0,5	7,41	60	12,81	17	12,34	0,13	25.404,56	0,45
	LC.2	2,5	0,5	7,41	60	12,81	17	12,34	0,32	1.997,22	0,45
	LC.3	2,5	0,5	7,41	60	12,81	17	12,34	0,19	5.170,36	0,45
	LC.4	2,5	0,5	7,41	60	12,81	17	12,34	0,23	5.663,79	0,45
	LC.5	2,5	0,5	7,41	60	12,81	17	12,34	0,17	4.653,74	0,45
	LC.6	2,5	0,5	7,41	60	12,81	17	12,34	0,14	3.441,99	0,45
	LC.7	2,5	0,5	7,41	60	12,81	17	12,34	0,15	1.155,19	0,45
LD	LD.1	2,5	0,5	7,41	60	12,81	17	12,34	0,18	1.787,11	0,45
	LD.2	2,5	0,5	7,41	60	12,81	17	12,34	0,23	2.171,40	0,45
	LD.3	2,5	0,5	7,41	60	12,81	17	12,34	0,23	2.171,40	0,45
	LD.4	2,5	0,5	7,41	60	12,81	17	12,34	0,18	3.438,56	0,45
LE	LE.1	2,5	0,5	7,41	60	12,81	17	12,34	0,21	75.952,59	0,45
LF	LF.1	2,5	0,5	7,41	60	12,81	17	12,34	0,17	26.818,89	0,45
	LF.2	2,5	0,5	7,41	60	12,81	17	12,34	0,14	2.304,79	0,45
	LF.3	2,5	0,5	7,41	60	12,81	17	12,34	0,14	19.880,07	0,45
	LF.4	2,5	0,5	7,41	60	12,81	17	12,34	0,20	1.217,14	0,45
	LF.5	2,5	0,5	7,41	60	12,81	17	12,34	0,24	6.498,02	0,45
	LF.6	2,5	0,5	7,41	60	12,81	17	12,34	0,33	4.943,34	0,45
	LF.7	2,5	0,5	7,41	60	12,81	17	12,34	0,24	4.219,49	0,45
	LF.8	2,5	0,5	7,41	60	12,81	17	12,34	0,23	4.083,16	0,45
	LF.9	2,5	0,5	7,41	60	12,81	17	12,34	0,22	12.726,18	0,45
	LF.1'	2,5	0,5	7,41	60	12,81	17	12,34	0,20	23.720,87	0,45
	LF.2'	2,5	0,5	7,41	60	12,81	17	12,34	0,42	1.088,32	0,45
	LF.3'	2,5	0,5	7,41	60	12,81	17	12,34	0,41	1.087,06	0,45
	LF.4'	2,5	0,5	7,41	60	12,81	17	12,34	0,23	25.687,52	0,45
	LF.5'	2,5	0,5	7,41	60	12,81	17	12,34	0,41	1.087,44	0,45
	LF.6'	2,5	0,5	7,41	60	12,81	17	12,34	0,41	1.087,69	0,45
	LF.7'	2,5	0,5	7,41	60	12,81	17	12,34	0,13	3.313,61	0,45
	LF.8'	2,5	0,5	7,41	60	12,81	17	12,34	0,13	2.830,05	0,45
	LF.9'	2,5	0,5	7,41	60	12,81	17	12,34	0,26	4.091,37	0,45
LF.10'	2,5	0,5	7,41	60	12,81	17	12,34	0,25	17.632,74	0,45	
LF.11'	2,5	0,5	7,41	60	12,81	17	12,34	0,18	33.545,95	0,45	

Tabel 2 continuare

CALCULUL FORȚEI TĂIETOARE CAPABILE ALE PEREȚILOR											
Diafrag	Spațet	γ_M	K	f _m	f _b	f _k	^m zidari	f _d	v _d	V _{fl}	f _{vk0}
				daN/ cm ²	daN/ cm ²	daN/ cm ²	daN/ cm ²	daN/ cm ²		[daN]	daN/ cm ²
LG	LG.1	2,5	0,5	7,41	60	12,81	17	12,34	0,19	28.181,97	0,45
LH	LH.1'	2,5	0,5	7,41	60	12,81	17	12,34	0,17	26.173,35	0,45
	LH.1	2,5	0,5	7,41	60	12,81	17	12,34	0,13	228.638,01	0,45
	LH.2	2,5	0,5	7,41	60	12,81	17	12,34	0,27	49.599,37	0,45
	LH3	2,5	0,5	7,41	60	12,81	17	12,34	0,23	32.384,22	0,45
LI	LI.1	2,5	0,5	7,41	60	12,81	17	12,34	0,17	2.128,59	0,45
	LI.2	2,5	0,5	7,41	60	12,81	17	12,34	0,26	2.716,80	0,45
	LI.3	2,5	0,5	7,41	60	12,81	17	12,34	0,28	2.905,87	0,45
	LI.4	2,5	0,5	7,41	60	12,81	17	12,34	0,34	3.201,88	0,45
	LI.5	2,5	0,5	7,41	60	12,81	17	12,34	0,15	46.866,46	0,45
LJ	LJ.1	2,5	0,5	7,41	60	12,81	17	12,34	0,19	2.263,98	0,45
	LJ.2	2,5	0,5	7,41	60	12,81	17	12,34	0,26	2.835,38	0,45
	LJ.3	2,5	0,5	7,41	60	12,81	17	12,34	0,26	2.835,38	0,45
	LJ.4	2,5	0,5	7,41	60	12,81	17	12,34	0,54	2.071,02	0,45
	LJ.5	2,5	0,5	7,41	60	12,81	17	12,34	0,23	4.775,97	0,45
	LJ.6	2,5	0,5	7,41	60	12,81	17	12,34	0,17	29.193,91	0,45
LK	LK.1	2,5	0,5	7,41	60	12,81	17	12,34	0,27	56.749,84	0,45
	LK.2	2,5	0,5	7,41	60	12,81	17	12,34	0,33	195.368,59	0,45
	LK.3	2,5	0,5	7,41	60	12,81	17	12,34	0,28	190.374,70	0,45
	LK.4	2,5	0,5	7,41	60	12,81	17	12,34	0,33	16.953,32	0,45
	LK.5	2,5	0,5	7,41	60	12,81	17	12,34	0,40	3.596,40	0,45
LL	LL.1	2,5	0,5	7,41	60	12,81	17	12,34	0,19	4.072,23	0,45
	LL.2	2,5	0,5	7,41	60	12,81	17	12,34	0,24	10.299,88	0,45
	LL.3	2,5	0,5	7,41	60	12,81	17	12,34	0,24	10.323,65	0,45
	LL.4	2,5	0,5	7,41	60	12,81	17	12,34	0,24	10.347,30	0,45
	LL.5	2,5	0,5	7,41	60	12,81	17	12,34	0,24	10.347,30	0,45
	LL.6	2,5	0,5	7,41	60	12,81	17	12,34	0,22	16.697,91	0,45
	LL.7	2,5	0,5	7,41	60	12,81	17	12,34	0,32	4.812,94	0,45
	LL.8	2,5	0,5	7,41	60	12,81	17	12,34	0,33	4.837,64	0,45
	LL.9	2,5	0,5	7,41	60	12,81	17	12,34	0,21	18.142,14	0,45
	LL.10	2,5	0,5	7,41	60	12,81	17	12,34	0,24	10.347,30	0,45
	LL.11	2,5	0,5	7,41	60	12,81	17	12,34	0,24	10.347,30	0,45
	LL.12	2,5	0,5	7,41	60	12,81	17	12,34	0,24	10.338,34	0,45
	LL.13	2,5	0,5	7,41	60	12,81	17	12,34	0,24	10.042,54	0,45
	LL.14	2,5	0,5	7,41	60	12,81	17	12,34	0,24	1.907,98	0,45

Tabel 2 continuare

CALCULUL FORȚEI TĂIETOARE CAPABILE ALE PEREȚILOR											
Diafrag	Spalet	f_{vk}	f_{vd}	e_o	A_{zc}	l_c	λ_p	c_p	σ_0	f_{td}	V_{f21}
		daN/ cm ²	daN/ cm ²	cm	cm ²	cm			daN/ cm ²	[daN] /cm ²	[daN]
T1	T1.1	1,07	0,32	68,6	3029,7	308,7	1,88	1	1,56	0,20	5495,0
	T1.2	1,10	0,33	67,6	3127,2	304,2	1,91	1	1,63	0,20	5564,0
	T1.3	1,12	0,33	39,4	1869,2	177,3	3,27	1	1,67	0,20	3291,9
	T1.4	1,21	0,36	34,2	1842,5	153,9	3,77	1	1,90	0,20	3089,1
	T1.5	1,22	0,36	32,6	1790,4	146,7	3,96	1	1,94	0,20	2980,5
	T1.6	1,12	0,33	39,4	1863,0	177,3	3,27	1	1,67	0,20	3285,5
	T1.7	1,42	0,42	18,8	1298,9	84,6	6,86	1	2,44	0,20	1999,3
	T1.8	1,76	0,52	27,2	2532,4	122,4	4,74	1	3,28	0,20	3580,3
	T1.9	1,84	0,54	26,2	2576,6	117,9	4,92	1	3,47	0,20	3593,3
	T1.10	1,45	0,43	19,8	1403,8	89,1	6,52	1	2,50	0,20	2143,3
T2	T2.1	1,47	0,44	34,0	2470,4	153,0	3,79	1	2,56	0,20	3743,5
	T2.2	1,74	0,52	35,0	3207,7	157,5	3,69	1	3,23	0,20	4553,5
	T2.3	1,74	0,52	34,0	3121,1	153,0	3,79	1	3,24	0,20	4428,7
	T2.4	1,73	0,51	35,0	3171,0	157,5	3,69	1	3,19	0,20	4514,8
	T2.5	1,46	0,43	37,6	2699,8	169,2	3,43	1	2,53	0,20	4106,0
	T2.6	1,46	0,43	37,4	2684,9	168,3	3,45	1	2,53	0,20	4083,6
	T2.7	1,74	0,52	35,0	3207,1	157,5	3,69	1	3,23	0,20	4552,9
	T2.8	1,71	0,51	38,0	3400,0	171,0	3,39	1	3,15	0,20	4856,7
	T2.9	1,74	0,52	35,0	3213,5	157,5	3,69	1	3,24	0,20	4559,5
	T2.10	1,48	0,44	33,4	2431,9	150,3	3,86	1	2,57	0,20	3682,8
	T2.11	1,39	0,41	89,8	5955,3	404,1	1,44	1	2,34	0,20	9287,7
T3	T3.1	2,07	0,61	22,4	1924,5	100,8	5,76	1	4,04	0,20	2590,9
	T3.2	1,88	0,56	161,0	12225,4	724,5	0,80	1	3,57	0,20	16929,6
	T3.3	1,59	0,47	106,2	6443,9	477,9	1,21	1	2,85	0,20	9461,1
	T3.3'	2,62	0,77	16,8	1934,7	75,6	7,68	1	5,41	0,20	2460,5
	T3.4'	2,62	0,77	16,8	1934,7	75,6	7,68	1	5,41	0,20	2460,5
	T3.4	1,62	0,48	114,4	7132,6	514,8	1,13	1	2,93	0,20	10392,9
	T3.5	1,97	0,58	100,4	8122,5	451,8	1,28	1	3,80	0,20	11082,4
	T3.6	1,98	0,59	127,4	10387,9	573,3	1,01	1	3,83	0,20	14148,1
T3.7	1,84	0,54	58,0	4280,4	261,0	2,22	1	3,47	0,20	5968,5	

Tabel 2 continuare

CALCULUL FORȚEI TĂIETOARE CAPABILE ALE PEREȚILOR											
Diafrag	Spalet	f_{vk}	f_{vd}	e_o	A_{zc}	l_c	λ_p	c_p	σ_0	f_{td}	V_{f21}
		daN/ cm ²	daN/ cm ²	cm	cm ²	cm			daN/ cm ²	[daN] /cm ²	[daN]
T4	T4.1	1,65	0,49	22,6	1925,6	101,7	5,71	1	3,00	0,20	2786,8
	T4.2	1,70	0,50	24,0	2132,8	108,0	5,38	1	3,13	0,20	3052,1
	T4.3	1,70	0,50	24,0	2123,9	108,0	5,38	1	3,12	0,20	3042,7
	T4.4	1,73	0,51	21,0	1903,5	94,5	6,14	1	3,20	0,20	2709,9
	T4.5	1,41	0,42	34,4	1755,7	154,8	3,75	1	2,40	0,20	2715,5
	T4.5'	1,95	0,58	23,2	1849,9	104,4	5,56	1	3,75	0,20	2532,5
	T4.6'	1,95	0,58	23,2	1849,9	104,4	5,56	1	3,75	0,20	2532,5
	T4.6	1,28	0,38	103,8	6117,3	467,1	1,24	1	2,08	0,20	9928,7
	T4.7	1,53	0,45	34,2	2619,8	153,9	3,77	1	2,70	0,20	3907,6
	T4.8	1,53	0,45	34,2	2619,8	153,9	3,77	1	2,70	0,20	3907,6
	T4.9	1,53	0,45	34,2	2630,2	153,9	3,77	1	2,71	0,20	3918,5
	T4.10	1,75	0,52	12,8	1175,9	57,6	10,08	1	3,24	0,20	1668,2
T4.11	1,10	0,32	113,2	3894,1	509,4	1,14	1	1,62	0,20	6952,8	
T4.12	1,29	0,38	86,2	3865,9	387,9	1,50	1	2,11	0,20	6242,7	
T5	T5.1	0,83	0,24	56,0	1490,7	252,0	2,30	1	0,94	0,20	3451,2
	T5.2	0,82	0,24	73,4	1901,9	330,3	1,76	1	0,91	0,20	4468,8
	T5.1'	1,32	0,39	80,2	3712,7	360,9	1,61	1	2,18	0,20	5930,2
	T5.2'	1,19	0,35	80,2	3167,4	360,9	1,61	1	1,86	0,20	5356,0
	T5.3	1,57	0,47	22,6	1801,4	101,7	5,71	1	2,81	0,20	2656,1
	T5.4	1,96	0,58	27,0	2888,8	121,5	4,78	1	3,77	0,20	3948,9
	T5.5	1,95	0,58	26,6	2826,2	119,7	4,85	1	3,75	0,20	3869,5
	T5.6	1,63	0,48	23,8	1983,5	107,1	5,42	1	2,94	0,20	2888,1
	T5.7	1,34	0,40	384,2	24324,4	1728,9	0,34	1	2,23	0,20	38520,7
	T5.8	1,36	0,40	88,0	4240,4	396,0	1,47	1	2,27	0,20	6682,4
T5.9	0,78	0,23	55,4	982,1	249,3	2,33	1	0,83	0,20	2430,1	
T5.10	0,78	0,23	48,4	858,0	217,8	2,67	1	0,83	0,20	2123,1	
T6	T6.1	1,08	0,32	102,0	4574,0	459,0	1,26	1	1,58	0,20	8243,3
	T6.2	1,08	0,32	137,0	6115,8	616,5	0,94	1	1,57	0,20	11042,6
T7	T7.1	0,82	0,24	57,2	1519,0	257,4	2,26	1	0,94	0,20	3521,4
	T7.2	0,82	0,24	66,8	1746,0	300,6	1,93	1	0,92	0,20	4082,8
	T7.3	1,55	0,46	382,2	29760,5	1719,9	0,34	1	2,75	0,20	44177,2
	T7.3'	1,68	0,50	84,0	3661,8	378,0	1,54	1	3,07	0,20	5266,8

Tabel 2 continuare

CALCULUL FORȚEI TĂIETOARE CAPABILE ALE PEREȚILOR											
Diafrag	Spalet	f_{vk}	f_{vd}	e_o	A_{zc}	l_c	λ_p	c_p	σ_0	f_{td}	V_{t21}
		daN/ cm ²	daN/ cm ²	cm	cm ²	cm			daN/ cm ²	[daN] /cm ²	[daN]
T8	T8.1	1,96	0,58	87,4	7019,9	393,3	1,48	1	3,78	0,20	9593,8
	T8.2	1,86	0,55	92,6	6963,5	416,7	1,39	1	3,53	0,20	9665,5
T9	T9.1'	1,17	0,35	65,8	1690,1	296,1	1,96	1	1,81	0,20	2884,9
	T9.2'	1,00	0,30	59,8	1174,3	269,1	2,16	1	1,38	0,20	2241,0
	T9.3'	1,29	0,38	22,4	1006,5	100,8	5,76	1	2,11	0,20	1624,2
	T9.4'	1,17	0,35	51,6	1964,3	232,2	2,50	1	1,79	0,20	3368,5
	T9.1	1,28	0,38	21,8	1278,7	98,1	5,92	1	2,07	0,20	2078,9
	T9.2	1,72	0,51	19,0	1707,1	85,5	6,79	1	3,17	0,20	2435,8
	T9.3	1,72	0,51	19,0	1707,1	85,5	6,79	1	3,17	0,20	2435,8
	T9.4	1,58	0,47	35,8	2875,0	161,1	3,60	1	2,83	0,20	4230,1
	T9.5	2,26	0,67	101,2	9729,8	455,4	1,27	1	4,52	0,20	12794,9
	T9.6	2,31	0,68	38,8	3828,9	174,6	3,32	1	4,64	0,20	5009,2
T9.7	1,26	0,37	13,0	557,9	58,5	9,92	1	2,02	0,20	915,0	
T10	T10.1	1,16	0,34	201,4	10195,8	906,3	0,64	1	1,78	0,20	17502,3
	T10.2	1,13	0,33	30,6	1465,5	137,7	4,22	1	1,69	0,20	2571,2
	T10.3	1,85	0,55	25,8	2559,6	116,1	5,00	1	3,50	0,20	3561,9
	T10.4	2,65	0,78	33,6	5232,2	151,2	3,84	1	5,49	0,20	6638,0
	T10.5	1,80	0,53	32,2	3087,2	144,9	4,01	1	3,38	0,20	4332,5
	T10.6	1,15	0,34	88,2	4348,0	396,9	1,46	1	1,74	0,20	7541,6
LA	LA.1	1,04	0,31	96,0	3998,0	432,0	1,34	1	1,47	0,20	7435,2
	LA.2	1,42	0,42	30,8	2128,9	138,6	4,19	1	2,44	0,20	3276,4
	LA.3	1,83	0,54	30,4	2965,3	136,8	4,24	1	3,44	0,20	4143,6
	LA.4	1,82	0,54	31,0	3005,9	139,5	4,16	1	3,42	0,20	4206,5
	LA.5	1,72	0,51	34,2	3076,3	153,9	3,77	1	3,17	0,20	4388,2
	LA.6	1,82	0,54	30,8	2981,4	138,6	4,19	1	3,41	0,20	4174,1
	LA.7	1,48	0,44	33,6	2446,0	151,2	3,84	1	2,57	0,20	3704,4
LB	LB.1	1,14	0,34	134,0	4885,5	603,0	0,96	1	1,71	0,20	8520,8
	LB.2	1,26	0,37	54,4	2342,8	244,8	2,37	1	2,02	0,20	3837,7
	LB.3	1,96	0,58	89,2	7163,4	401,4	1,45	1	3,77	0,20	9790,4
	LB.4	2,01	0,60	47,2	3921,6	212,4	2,73	1	3,91	0,20	5318,5
	LB.5	1,48	0,44	98,6	5380,1	443,7	1,31	1	2,56	0,20	8149,6
	LB.1'	1,86	0,55	78,6	3927,1	353,7	1,64	1	3,52	0,20	5455,3
	LB.2'	1,83	0,54	61,8	3028,5	278,1	2,09	1	3,46	0,20	4227,0
	LB.3'	1,19	0,35	20,8	545,4	93,6	6,20	1	1,85	0,20	923,7
LB.4'	1,58	0,47	52,4	2107,1	235,8	2,46	1	2,84	0,20	3098,9	

Tabel 2 continuare

CALCULUL FORȚEI TĂIETOARE CAPABILE ALE PEREȚILOR											
Diafrag	Spalet	f_{vk}	f_{vd}	e_o	A_{zc}	l_c	λ_p	c_p	σ_0	f_{td}	V_{f21}
		daN/ cm ²	daN/ cm ²	cm	cm ²	cm			daN/ cm ²	[daN] /cm ²	[daN]
LC	LC.1	1,10	0,32	106,6	3667,1	479,7	1,21	1	1,62	0,20	6547,5
	LC.2	2,02	0,60	22,2	1854,1	99,9	5,81	1	3,93	0,20	2511,6
	LC.3	1,41	0,42	35,8	2428,8	161,1	3,60	1	2,39	0,20	3760,2
	LC.4	1,58	0,47	35,4	2838,9	159,3	3,64	1	2,83	0,20	4178,6
	LC.5	1,29	0,38	35,6	2125,2	160,2	3,62	1	2,10	0,20	3433,8
	LC.6	1,15	0,34	33,0	1626,5	148,5	3,91	1	1,74	0,20	2821,3
	LC.7	1,17	0,35	18,8	966,1	84,6	6,86	1	1,81	0,20	1649,0
LD	LD.1	1,34	0,40	21,6	1364,4	97,2	5,97	1	2,23	0,20	2162,4
	LD.2	1,57	0,46	22,0	1744,2	99,0	5,86	1	2,80	0,20	2575,7
	LD.3	1,57	0,46	22,0	1744,2	99,0	5,86	1	2,80	0,20	2575,7
	LD.4	1,35	0,40	29,8	1910,3	134,1	4,33	1	2,26	0,20	3012,7
LE	LE.1	1,47	0,44	134,0	9727,6	603,0	0,96	1	2,56	0,20	14744,7
LF	LF.1	1,30	0,39	98,2	4454,1	441,9	1,31	1	2,13	0,20	7164,5
	LF.2	1,12	0,33	27,4	1302,8	123,3	4,71	1	1,68	0,20	2292,4
	LF.3	1,17	0,35	78,4	3976,5	352,8	1,65	1	1,79	0,20	6821,2
	LF.4	1,43	0,42	17,2	1199,7	77,4	7,50	1	2,46	0,20	1841,1
	LF.5	1,65	0,49	37,2	3170,8	167,4	3,47	1	3,00	0,20	4588,5
	LF.6	2,09	0,62	30,0	3479,0	135,0	4,30	1	4,09	0,20	4671,1
	LF.7	1,65	0,49	30,0	2550,6	135,0	4,30	1	3,00	0,20	3693,5
	LF.8	1,59	0,47	30,0	2420,2	135,0	4,30	1	2,84	0,20	3556,3
	LF.9	1,53	0,45	53,8	4136,1	242,1	2,40	1	2,71	0,20	6162,6
	LF.1'	1,44	0,43	87,4	4614,0	393,3	1,48	1	2,48	0,20	7060,6
	LF.2'	2,51	0,74	15,8	1730,7	71,1	8,16	1	5,15	0,20	2220,5
	LF.3'	2,48	0,74	15,8	1708,3	71,1	8,16	1	5,08	0,20	2196,9
	LF.4'	1,57	0,46	87,4	5192,3	393,3	1,48	1	2,79	0,20	7669,5
	LF.5'	2,49	0,74	15,8	1714,4	71,1	8,16	1	5,10	0,20	2203,2
	LF.6'	2,50	0,74	15,8	1718,7	71,1	8,16	1	5,11	0,20	2207,8
	LF.7'	1,11	0,33	38,2	1339,3	171,9	3,38	1	1,65	0,20	2372,8
	LF.8'	1,09	0,32	35,8	1213,2	161,1	3,60	1	1,59	0,20	2179,6
	LF.9'	1,73	0,51	41,0	1856,5	184,5	3,15	1	3,19	0,20	2643,6
LF.10'	1,69	0,50	85,8	3780,1	386,1	1,50	1	3,11	0,20	5421,6	
LF.11'	1,34	0,40	132,2	4188,0	594,9	0,98	1	2,23	0,20	6630,6	

Tabel 2 continuare

CALCULUL FORȚEI TĂIETOARE CAPABILE ALE PEREȚILOR											
Diafrag	Spațet	f_{vk}	f_{vd}	e_o	A_{zc}	l_c	λ_p	c_p	σ_0	f_{td}	V_{f21}
		daN/ cm ²	daN/ cm ²	cm	cm ²	cm			daN/ cm ²	[daN] /cm ²	[daN]
LG	LG.1	1,40	0,42	96,6	4902,6	434,7	1,34	1	2,39	0,20	7596,4
LH	LH.1'	1,28	0,38	98,0	4327,4	441,0	1,32	1	2,08	0,20	7026,0
	LH.1	1,09	0,32	278,4	12608,9	1252,8	0,46	1	1,60	0,20	22630,4
	LH.2	1,77	0,53	115,4	8119,9	519,3	1,12	1	3,31	0,20	11457,6
	LH.3	1,61	0,48	84,0	6901,2	378,0	1,54	1	2,90	0,20	10088,7
LI	LI.1	1,30	0,38	24,0	1444,9	108,0	5,38	1	2,12	0,20	2327,7
	LI.2	1,73	0,51	23,6	2145,0	106,2	5,47	1	3,20	0,20	3051,5
	LI.3	1,81	0,54	24,0	2317,8	108,0	5,38	1	3,40	0,20	3246,8
	LI.4	2,14	0,63	24,0	2875,4	108,0	5,38	1	4,22	0,20	3834,0
	LI.5	1,19	0,35	118,6	6244,5	533,7	1,09	1	1,86	0,20	10559,9
LJ	LJ.1	1,37	0,41	24,0	1570,4	108,0	5,38	1	2,31	0,20	2459,9
	LJ.2	1,75	0,52	24,0	2216,5	108,0	5,38	1	3,26	0,20	3140,2
	LJ.3	1,75	0,52	24,0	2216,5	108,0	5,38	1	3,26	0,20	3140,2
	LJ.4	2,97	0,88	19,4	3643,7	87,3	6,65	1	6,62	0,20	4297,8
	LJ.5	1,57	0,47	32,6	2591,4	146,7	3,96	1	2,80	0,20	3823,9
	LJ.6	1,28	0,38	89,6	5280,6	403,2	1,44	1	2,08	0,20	8570,6
LK	LK.1	1,80	0,53	122,8	8805,6	552,6	1,05	1	3,37	0,20	12366,1
	LK.2	2,08	0,62	217,8	18932,0	980,1	0,59	1	4,09	0,20	25422,4
	LK.3	1,83	0,54	223,4	16430,7	1005,3	0,58	1	3,46	0,20	22929,9
	LK.4	2,08	0,62	64,2	5562,1	288,9	2,01	1	4,07	0,20	7474,3
	LK.5	2,42	0,72	28,8	3011,3	129,6	4,48	1	4,91	0,20	3896,4
LL	LL.1	1,39	0,41	28,6	2382,4	128,7	4,51	1	2,35	0,20	3709,7
	LL.2	1,64	0,49	42,0	4436,9	189,0	3,07	1	2,98	0,20	6435,7
	LL.3	1,65	0,49	42,0	4453,6	189,0	3,07	1	2,99	0,20	6453,2
	LL.4	1,65	0,49	42,0	4470,2	189,0	3,07	1	3,00	0,20	6470,8
	LL.5	1,65	0,49	42,0	4470,2	189,0	3,07	1	3,00	0,20	6470,8
	LL.6	1,53	0,45	55,2	5281,5	248,4	2,34	1	2,70	0,20	7879,3
	LL.7	2,05	0,61	26,6	3766,4	119,7	4,85	1	3,99	0,20	5082,9
	LL.8	2,07	0,61	26,6	3814,7	119,7	4,85	1	4,04	0,20	5133,8
	LL.9	1,49	0,44	58,2	5381,9	261,9	2,22	1	2,61	0,20	8111,1
	LL.10	1,65	0,49	42,0	4470,2	189,0	3,07	1	3,00	0,20	6470,8
	LL.11	1,65	0,49	42,0	4470,2	189,0	3,07	1	3,00	0,20	6470,8
	LL.12	1,65	0,49	42,0	4463,9	189,0	3,07	1	3,00	0,20	6464,1
	LL.13	1,61	0,48	41,8	4305,4	188,1	3,09	1	2,90	0,20	6288,8
	LL.14	1,62	0,48	18,2	1881,1	81,9	7,09	1	2,91	0,20	2745,0

Tabel 2 continuare

CALCULUL FORȚEI TĂIETOARE CAPABILE ALE PEREȚILOR								
Diafrag	Spațet	V_{f22}	V_{f2}	<u>Tipul peretilor</u>	F_{bi}	V_{capi}	R_{3i}	R3 ($\Sigma pfragili + \Sigma ductili$)/ F_b
		[daN]	[daN]		[daN]	[daN]		
T1	T1.1	7536,2	5495,0	<i>Perete fragil</i>	11843,03	5495,00	0,46	0,19
	T1.2	7581,1	5564,0	<i>Perete fragil</i>	12224,03	5564,03	0,46	
	T1.3	4468,6	3291,9	<i>Perete fragil</i>	7306,55	3291,94	0,45	
	T1.4	4107,3	3089,1	<i>Perete fragil</i>	7202,09	3089,08	0,43	
	T1.5	3949,5	2980,5	<i>Perete fragil</i>	6998,69	2980,53	0,43	
	T1.6	4462,0	3285,5	<i>Perete fragil</i>	7282,54	3285,47	0,45	
	T1.7	2530,2	1999,3	<i>Perete ductil</i>	5077,34	1444,38	0,28	
	T1.8	4208,2	3580,3	<i>Perete fragil</i>	9899,00	3580,32	0,36	
	T1.9	4159,8	3593,3	<i>Perete ductil</i>	10071,77	3496,46	0,35	
	T1.10	2696,8	2143,3	<i>Perete ductil</i>	5487,25	1631,40	0,30	
T2	T2.1	4683,9	3743,5	<i>Perete fragil</i>	9656,49	3743,48	0,39	
	T2.2	5375,0	4553,5	<i>Perete fragil</i>	12538,81	4553,46	0,36	
	T2.3	5225,4	4428,7	<i>Perete fragil</i>	12200,30	4428,68	0,36	
	T2.4	5345,9	4514,8	<i>Perete fragil</i>	12395,23	4514,78	0,36	
	T2.5	5151,5	4106,0	<i>Perete fragil</i>	10553,48	4106,05	0,39	
	T2.6	5123,7	4083,6	<i>Perete fragil</i>	10495,21	4083,63	0,39	
	T2.7	5374,5	4552,9	<i>Perete fragil</i>	12536,56	4552,85	0,36	
	T2.8	5770,1	4856,7	<i>Perete fragil</i>	13290,33	4856,69	0,37	
	T2.9	5379,5	4559,5	<i>Perete fragil</i>	12561,26	4559,50	0,36	
	T2.10	4605,8	3682,8	<i>Perete fragil</i>	9506,10	3682,81	0,39	
	T2.11	12383,4	9287,7	<i>Perete fragil</i>	23279,03	9287,72	0,40	
T3	T3.1	2867,8	2590,9	<i>Perete ductil</i>	7522,94	2057,11	0,27	
	T3.2	29155,8	16929,6	<i>Perete fragil</i>	47788,71	16929,58	0,35	
	T3.3	14246,0	9461,1	<i>Perete fragil</i>	25188,81	9461,10	0,38	
	T3.3'	2475,4	2460,5	<i>Perete ductil</i>	7562,77	1232,34	0,16	
	T3.4'	2475,4	2460,5	<i>Perete ductil</i>	7562,77	1232,34	0,16	
	T3.4	16742,5	10392,9	<i>Perete fragil</i>	27881,10	10392,94	0,37	
	T3.5	14582,7	11082,4	<i>Perete fragil</i>	31750,59	11082,43	0,35	
	T3.6	23568,1	14148,1	<i>Perete fragil</i>	40605,74	14148,05	0,35	
T3.7	6908,3	5968,5	<i>Perete fragil</i>	16731,91	5968,51	0,36		

Tabel 2 continuare

CALCULUL FORȚEI TĂIETOARE CAPABILE ALE PEREȚILOR								
Diafrag	Spalet	V_{f22}	V_{f2}	<i>Tipul peretilor</i>	F_{bi}	V_{capi}	R_{3i}	R3 ($\Sigma pfragili + \Sigma ductili$)/ F_b
		[daN]	[daN]		[daN]	[daN]		
T4	T4.1	3353,7	2786,8	<i>Perete ductil</i>	7527,04	2397,78	0,32	0,19
	T4.2	3632,6	3052,1	<i>Perete ductil</i>	8337,08	2773,18	0,33	
	T4.3	3625,5	3042,7	<i>Perete ductil</i>	8302,39	2766,38	0,33	
	T4.4	3208,3	2709,9	<i>Perete ductil</i>	7440,87	2147,82	0,29	
	T4.5	3448,1	2715,5	<i>Perete fragil</i>	6862,98	2715,49	0,40	
	T4.5'	2866,6	2532,5	<i>Perete ductil</i>	7231,36	2136,89	0,30	
	T4.6'	2866,6	2532,5	<i>Perete ductil</i>	7231,36	2136,89	0,30	
	T4.6	15673,2	9928,7	<i>Perete fragil</i>	23912,33	9928,71	0,42	
	T4.7	4828,8	3907,6	<i>Perete fragil</i>	10240,76	3907,57	0,38	
	T4.8	4828,8	3907,6	<i>Perete fragil</i>	10240,76	3907,57	0,38	
	T4.9	4837,7	3918,5	<i>Perete fragil</i>	10281,20	3918,47	0,38	
	T4.10	1967,9	1668,2	<i>Perete ductil</i>	4596,35	804,07	0,17	
T4.11	12485,0	6952,8	<i>Perete fragil</i>	15221,97	6952,83	0,46		
T4.12	8160,6	6242,7	<i>Perete fragil</i>	15111,49	6242,68	0,41		
T5	T5.1	4950,1	3451,2	<i>Perete fragil</i>	5827,02	3451,17	0,59	
	T5.2	6416,6	4468,8	<i>Perete fragil</i>	7434,62	4468,83	0,60	
	T5.1'	7685,8	5930,2	<i>Perete fragil</i>	14512,69	5930,18	0,41	
	T5.2'	7149,6	5356,0	<i>Perete fragil</i>	12381,10	5356,02	0,43	
	T5.3	3250,7	2656,1	<i>Perete ductil</i>	7041,71	2299,41	0,33	
	T5.4	4461,6	3948,9	<i>Perete ductil</i>	11292,33	3870,24	0,34	
	T5.5	4380,9	3869,5	<i>Perete ductil</i>	11047,60	3744,34	0,34	
	T5.6	3495,4	2888,1	<i>Perete ductil</i>	7753,44	2623,15	0,34	
	T5.7	74501,3	38520,7	<i>Perete fragil</i>	95083,03	38520,71	0,41	
	T5.8	8789,7	6682,4	<i>Perete fragil</i>	16575,60	6682,41	0,40	
T5.9	3498,6	2430,1	<i>Perete fragil</i>	3838,84	2430,11	0,63		
T5.10	3056,5	2123,1	<i>Perete fragil</i>	3353,78	2123,06	0,63		
T6	T6.1	13380,5	8243,3	<i>Perete fragil</i>	17879,67	8243,27	0,46	
	T6.2	22683,4	11042,6	<i>Perete fragil</i>	23906,34	11042,62	0,46	
T7	T7.1	5051,3	3521,4	<i>Perete fragil</i>	5937,89	3521,35	0,59	
	T7.2	5860,4	4082,8	<i>Perete fragil</i>	6824,84	4082,82	0,60	
	T7.3	81565,3	44177,2	<i>Perete fragil</i>	116332,37	44177,24	0,38	
	T7.3'	6300,3	5266,8	<i>Perete fragil</i>	14313,91	5266,80	0,37	

Tabel 2 continuare

CALCULUL FORȚEI TĂIETOARE CAPABILE ALE PEREȚILOR									
Diafrag	Spalet	V_{f22}	V_{f2}	<u>Tipul peretilor</u>	F_{bi}	V_{capi}	R_{3i}	R3 ($\Sigma pfragili + \Sigma ductili$)/F	
		[daN]	[daN]		[daN]	[daN]			
T8	T8.1	11012,9	9593,8	<i>Perete fragil</i>	27440,43	9593,84	0,35	0,19	
	T8.2	11982,1	9665,5	<i>Perete fragil</i>	27220,13	9665,54	0,36		
T9	T9.1'	3867,1	2884,9	<i>Perete fragil</i>	6606,40	2884,94	0,44		
	T9.2'	3119,1	2241,0	<i>Perete fragil</i>	4590,16	2241,05	0,49		
	T9.3'	2117,5	1624,2	<i>Perete ductil</i>	3934,20	1385,55	0,35		
	T9.4'	4524,3	3368,5	<i>Perete fragil</i>	7678,22	3368,53	0,44		
	T9.1	2721,3	2078,9	<i>Perete ductil</i>	4998,41	1721,96	0,34		
	T9.2	2890,7	2435,8	<i>Perete ductil</i>	6672,86	1749,21	0,26		
	T9.3	2890,7	2435,8	<i>Perete ductil</i>	6672,86	1749,21	0,26		
	T9.4	5167,4	4230,1	<i>Perete fragil</i>	11238,38	4230,05	0,38		
	T9.5	16088,2	12794,9	<i>Perete fragil</i>	38033,47	12794,95	0,34		
	T9.6	5307,6	5009,2	<i>Perete fragil</i>	14966,83	5009,23	0,33		
T9.7	1203,5	915,0	<i>Perete ductil</i>	2180,91	450,65	0,21			
T10	T10.1	35276,2	17502,3	<i>Perete fragil</i>	39854,73	17502,32	0,44		
	T10.2	3485,2	2571,2	<i>Perete fragil</i>	5728,55	2571,20	0,45		
	T10.3	4113,2	3561,9	<i>Perete ductil</i>	10005,20	3405,97	0,34		
	T10.4	6645,8	6638,0	<i>Perete ductil</i>	20452,26	6569,44	0,32		
	T10.5	5051,3	4332,5	<i>Perete fragil</i>	12067,83	4332,52	0,36		
	T10.6	10437,1	7541,6	<i>Perete fragil</i>	16995,97	7541,56	0,44		
LA	LA.1	11470,8	7435,2	<i>Perete fragil</i>	15627,99	7435,16	0,48		0,07
	LA.2	4146,1	3276,4	<i>Perete fragil</i>	8321,77	3276,43	0,39		
	LA.3	4807,9	4143,6	<i>Perete fragil</i>	11591,14	4143,63	0,36		
	LA.4	4889,1	4206,5	<i>Perete fragil</i>	11749,77	4206,52	0,36		
	LA.5	5206,0	4388,2	<i>Perete fragil</i>	12025,00	4388,18	0,36		
	LA.6	4853,6	4174,1	<i>Perete fragil</i>	11654,17	4174,05	0,36		
	LA.7	4633,0	3704,4	<i>Perete fragil</i>	9561,31	3704,40	0,39		
LB	LB.1	17285,1	8520,8	<i>Perete fragil</i>	19097,10	8520,80	0,45		
	LB.2	5044,0	3837,7	<i>Perete fragil</i>	9157,89	3837,65	0,42		
	LB.3	11470,4	9790,4	<i>Perete fragil</i>	28001,57	9790,35	0,35		
	LB.4	5947,1	5318,5	<i>Perete fragil</i>	15329,19	5318,51	0,35		
	LB.5	11687,3	8149,6	<i>Perete fragil</i>	21030,70	8149,55	0,39		
	LB.1'	6286,9	5455,3	<i>Perete fragil</i>	15350,66	5455,34	0,36		
	LB.2'	4898,1	4227,0	<i>Perete fragil</i>	11838,34	4227,02	0,36		
	LB.3'	1233,9	923,7	<i>Perete ductil</i>	2132,05	718,52	0,34		
LB.4'	3784,2	3098,9	<i>Perete fragil</i>	8236,47	3098,90	0,38			

Tabel 2 continuare

CALCULUL FORȚEI TĂIETOARE CAPABILE ALE PEREȚILOR								
Diafrag	Spalet	V_{f22}	V_{f2}	<u>Tipul peretilor</u>	F_{bi}	V_{capi}	R_{3i}	R3
		[daN]	[daN]		[daN]	[daN]		($\Sigma pfragili + \Sigma ductili$)/ F b
LC	LC.1	11071,6	6547,5	<i>Perete fragil</i>	14334,47	6547,46	0,46	0,07
	LC.2	2804,1	2511,6	<i>Perete ductil</i>	7247,56	1997,22	0,28	
	LC.3	4777,8	3760,2	<i>Perete fragil</i>	9494,11	3760,22	0,40	
	LC.4	5106,3	4178,6	<i>Perete fragil</i>	11097,29	4178,61	0,38	
	LC.5	4479,8	3433,8	<i>Perete fragil</i>	8307,30	3433,82	0,41	
	LC.6	3807,3	2821,3	<i>Perete fragil</i>	6357,81	2821,34	0,44	
	LC.7	2210,2	1649,0	<i>Perete ductil</i>	3776,63	1155,19	0,31	
LD	LD.1	2789,4	2162,4	<i>Perete ductil</i>	5333,49	1787,11	0,34	
	LD.2	3156,5	2575,7	<i>Perete ductil</i>	6818,12	2171,40	0,32	
	LD.3	3156,5	2575,7	<i>Perete ductil</i>	6818,12	2171,40	0,32	
	LD.4	3874,5	3012,7	<i>Perete fragil</i>	7467,31	3012,68	0,40	
LE	LE.1	27679,0	14744,7	<i>Perete fragil</i>	38024,72	14744,75	0,39	
LF	LF.1	10645,8	7164,5	<i>Perete fragil</i>	17411,05	7164,48	0,41	
	LF.2	3110,7	2292,4	<i>Perete fragil</i>	5092,61	2292,39	0,45	
	LF.3	9162,6	6821,2	<i>Perete fragil</i>	15543,94	6821,16	0,44	
	LF.4	2325,1	1841,1	<i>Perete ductil</i>	4689,70	1217,14	0,26	
	LF.5	5521,3	4588,5	<i>Perete fragil</i>	12394,46	4588,50	0,37	
	LF.6	5151,1	4671,1	<i>Perete fragil</i>	13599,44	4671,15	0,34	
	LF.7	4447,3	3693,5	<i>Perete fragil</i>	9970,07	3693,54	0,37	
	LF.8	4339,4	3556,3	<i>Perete fragil</i>	9460,51	3556,29	0,38	
	LF.9	7608,9	6162,6	<i>Perete fragil</i>	16167,69	6162,61	0,38	
	LF.1'	9043,3	7060,6	<i>Perete fragil</i>	18035,72	7060,59	0,39	
	LF.2'	2272,6	2220,5	<i>Perete ductil</i>	6765,41	1088,32	0,16	
	LF.3'	2258,3	2196,9	<i>Perete ductil</i>	6677,68	1087,06	0,16	
	LF.4'	9553,9	7669,5	<i>Perete fragil</i>	20296,43	7669,53	0,38	
	LF.5'	2262,2	2203,2	<i>Perete ductil</i>	6701,32	1087,44	0,16	
	LF.6'	2264,9	2207,8	<i>Perete ductil</i>	6718,13	1087,69	0,16	
	LF.7'	3228,1	2372,8	<i>Perete fragil</i>	5235,38	2372,84	0,45	
	LF.8'	2979,7	2179,6	<i>Perete fragil</i>	4742,34	2179,56	0,46	
	LF.9'	3130,6	2643,6	<i>Perete fragil</i>	7257,08	2643,57	0,36	
LF.10'	6467,4	5421,6	<i>Perete fragil</i>	14776,28	5421,58	0,37		
LF.11'	12822,0	6630,6	<i>Perete fragil</i>	16370,64	6630,56	0,41		

Tabel 2 continuare

CALCULUL FORȚEI TĂIETOARE CAPABILE ALE PEREȚILOR								
Diafrag	Spalet	V_{f22}	V_{f2}	<u>Tipul peretilor</u>	F_{bi}	V_{capi}	R_{3i}	R3 ($\Sigma pfragili + \Sigma ductili$)/ F_b
		[daN]	[daN]		[daN]	[daN]		
LG	LG.1	10847,9	7596,4	<i>Perete fragil</i>	19164,19	7596,39	0,40	0,07
	LH.1'	10473,3	7026,0	<i>Perete fragil</i>	16915,58	7025,99	0,42	
LH	LH.1	46392,5	22630,4	<i>Perete fragil</i>	49287,72	22630,39	0,46	
	LH.2	18033,2	11457,6	<i>Perete fragil</i>	31740,24	11457,64	0,36	
	LH3	12254,3	10088,7	<i>Perete fragil</i>	26976,30	10088,74	0,37	
LI	LI.1	3031,8	2327,7	<i>Perete ductil</i>	5647,90	2128,59	0,38	
	LI.2	3610,1	3051,5	<i>Perete ductil</i>	8384,73	2716,80	0,32	
	LI.3	3777,9	3246,8	<i>Perete ductil</i>	9060,00	2905,87	0,32	
	LI.4	4185,5	3834,0	<i>Perete ductil</i>	11239,86	3201,88	0,28	
	LI.5	19439,8	10559,9	<i>Perete fragil</i>	24409,32	10559,86	0,43	
LJ	LJ.1	3150,0	2459,9	<i>Perete ductil</i>	6138,68	2263,98	0,37	
	LJ.2	3699,1	3140,2	<i>Perete ductil</i>	8664,35	2835,38	0,33	
	LJ.3	3699,1	3140,2	<i>Perete ductil</i>	8664,35	2835,38	0,33	
	LJ.4	4201,6	4201,6	<i>Perete ductil</i>	14242,89	2071,02	0,15	
	LJ.5	4683,0	3823,9	<i>Perete fragil</i>	10129,57	3823,86	0,38	
	LJ.6	11678,4	8570,6	<i>Perete fragil</i>	20641,54	8570,57	0,42	
LK	LK.1	20603,3	12366,1	<i>Perete fragil</i>	34420,52	12366,08	0,36	
	LK.2	42059,5	25422,4	<i>Perete fragil</i>	74004,35	25422,39	0,34	
	LK.3	39849,1	22929,9	<i>Perete fragil</i>	64226,95	22929,87	0,36	
	LK.4	8252,1	7474,3	<i>Perete fragil</i>	21742,06	7474,29	0,34	
	LK.5	4050,7	3896,4	<i>Perete ductil</i>	11771,15	3596,40	0,31	
LL	LL.1	4731,9	3709,7	<i>Perete fragil</i>	9312,80	3709,70	0,40	
	LL.2	7761,0	6435,7	<i>Perete fragil</i>	17343,63	6435,68	0,37	
	LL.3	7774,7	6453,2	<i>Perete fragil</i>	17408,81	6453,24	0,37	
	LL.4	7788,3	6470,8	<i>Perete fragil</i>	17473,98	6470,80	0,37	
	LL.5	7788,3	6470,8	<i>Perete fragil</i>	17473,98	6470,80	0,37	
	LL.6	9738,7	7879,3	<i>Perete fragil</i>	20645,02	7879,35	0,38	
	LL.7	5645,5	5082,9	<i>Perete ductil</i>	14722,53	4812,94	0,33	
	LL.8	5680,0	5133,8	<i>Perete ductil</i>	14911,66	4837,64	0,32	
	LL.9	10106,4	8111,1	<i>Perete fragil</i>	21037,53	8111,07	0,39	
	LL.10	7788,3	6470,8	<i>Perete fragil</i>	17473,98	6470,80	0,37	
	LL.11	7788,3	6470,8	<i>Perete fragil</i>	17473,98	6470,80	0,37	
	LL.12	7783,2	6464,1	<i>Perete fragil</i>	17449,25	6464,13	0,37	
	LL.13	7633,0	6288,8	<i>Perete fragil</i>	16829,46	6288,79	0,37	
	LL.14	3328,8	2745,0	<i>Perete ductil</i>	7352,95	1907,98	0,26	

Tabel 3

SIGURANȚA FAȚA DE ACȚIUNEA SEISMICĂ PERPENDICULARĂ PE PLANUL PEREȚILOR									
Diafrag	Șpalet	γ_{CNS}	β_{CNS}	K_z	m_{CNS}	q_{CNS}	F_{CNS}	VERIF.	VERIF1.
							[daN]	$F < 4\gamma_{CNS} a_{gmCNS}$	$F > 0,75\gamma_{CNS} a_{NSagmCNS}$
T1	T1.1	0,80	1,00	2,65	40.373,97	1,50	13669	OK	OK
	T1.2	0,80	1,00	2,65	41.672,83	1,50	14109	OK	OK
	T1.3	0,80	1,00	2,65	24.908,71	1,50	8433,1	OK	OK
	T1.4	0,80	1,00	2,65	24.552,57	1,50	8312,5	OK	OK
	T1.5	0,80	1,00	2,65	23.859,18	1,50	8077,8	OK	OK
	T1.6	0,80	1,00	2,65	24.826,85	1,50	8405,4	OK	OK
	T1.7	0,80	1,00	2,65	19.180,35	1,50	6493,7	OK	OK
	T1.8	0,80	1,00	2,65	38.686,68	1,50	13098	OK	OK
	T1.9	0,80	1,00	2,65	39.695,99	1,50	13439	OK	OK
	T1.10	0,80	1,00	2,65	20.727,49	1,50	7017,5	OK	OK
T2	T2.1	0,80	1,00	2,65	36.662,36	1,50	12412	OK	OK
	T2.2	0,80	1,00	2,65	48.929,68	1,50	16566	OK	OK
	T2.3	0,80	1,00	2,65	47.533,88	1,50	16093	OK	OK
	T2.4	0,80	1,00	2,65	48.244,46	1,50	16334	OK	OK
	T2.5	0,80	1,00	2,65	40.019,69	1,50	13549	OK	OK
	T2.6	0,80	1,00	2,65	39.821,04	1,50	13482	OK	OK
	T2.7	0,80	1,00	2,65	48.726,27	1,50	16497	OK	OK
	T2.8	0,80	1,00	2,65	51.566,55	1,50	17458	OK	OK
	T2.9	0,80	1,00	2,65	48.810,47	1,50	16525	OK	OK
	T2.10	0,80	1,00	2,65	36.074,81	1,50	12213	OK	OK
	T2.11	0,80	1,00	2,65	87.996,87	1,50	29792	OK	OK
T3	T3.1	0,80	1,00	2,65	29.837,99	1,50	10102	OK	OK
	T3.2	0,80	1,00	2,65	191.347,52	1,50	64783	OK	OK
	T3.3	0,80	1,00	2,65	98.192,38	1,50	33244	OK	OK
	T3.3'	0,80	1,00	2,65	28.626,46	1,50	9691,8	OK	OK
	T3.4'	0,80	1,00	2,65	28.626,46	1,50	9691,8	OK	OK
	T3.4	0,80	1,00	2,65	108.551,00	1,50	36751	OK	OK
	T3.5	0,80	1,00	2,65	127.402,26	1,50	43133	OK	OK
	T3.6	0,80	1,00	2,65	163.618,61	1,50	55395	OK	OK
T3.7	0,80	1,00	2,65	66.396,84	1,50	22479	OK	OK	

Tabel 3 continuare

SIGURANȚA FAȚĂ DE ACȚIUNEA SEISMICĂ PERPENDICULARĂ PE PLANUL PEREȚILOR									
Diafrag	Șpalet	γ_{CNS}	β_{CNS}	K_z	m_{CNS}	q_{CNS}	F_{CNS}	VERIF.	VERIF1.
							[daN]	$F < 4\gamma_{CNS} a_{gmCNS}$	$F > 0,75\gamma_{CNS} a_{SagmCNS}$
T4	T4.1	0,80	1,00	2,65	29.437,35	1,50	9966,3	OK	OK
	T4.2	0,80	1,00	2,65	31.847,72	1,50	10782	OK	OK
	T4.3	0,80	1,00	2,65	31.838,79	1,50	10779	OK	OK
	T4.4	0,80	1,00	2,65	28.729,15	1,50	9726,5	OK	OK
	T4.5	0,80	1,00	2,65	25.878,11	1,50	8761,3	OK	OK
	T4.5'	0,80	1,00	2,65	27.450,60	1,50	9293,7	OK	OK
	T4.6'	0,80	1,00	2,65	27.450,60	1,50	9293,7	OK	OK
	T4.6	0,80	1,00	2,65	87.910,34	1,50	29763	OK	OK
	T4.7	0,80	1,00	2,65	38.487,22	1,50	13030	OK	OK
	T4.8	0,80	1,00	2,65	38.487,22	1,50	13030	OK	OK
	T4.9	0,80	1,00	2,65	38.653,89	1,50	13087	OK	OK
	T4.10	0,80	1,00	2,65	17.465,77	1,50	5913,2	OK	OK
T4.11	0,80	1,00	2,65	51.893,09	1,50	17569	OK	OK	
T4.12	0,80	1,00	2,65	54.142,20	1,50	18330	OK	OK	
T5	T5.1	0,80	1,00	2,65	19.864,85	1,50	6725,4	OK	OK
	T5.2	0,80	1,00	2,65	25.345,30	1,50	8580,9	OK	OK
	T5.1'	0,80	1,00	2,65	55.042,79	1,50	18635	OK	OK
	T5.2'	0,80	1,00	2,65	45.323,18	1,50	15345	OK	OK
	T5.3	0,80	1,00	2,65	27.437,25	1,50	9289,2	OK	OK
	T5.4	0,80	1,00	2,65	45.267,57	1,50	15326	OK	OK
	T5.5	0,80	1,00	2,65	44.479,17	1,50	15059	OK	OK
	T5.6	0,80	1,00	2,65	30.381,82	1,50	10286	OK	OK
	T5.7	0,80	1,00	2,65	342.060,28	1,50	115808	OK	OK
	T5.8	0,80	1,00	2,65	62.046,63	1,50	21007	OK	OK
T5.9	0,80	1,00	2,65	13.086,94	1,50	4430,7	OK	OK	
T5.10	0,80	1,00	2,65	11.433,36	1,50	3870,9	OK	OK	
T6	T6.1	0,80	1,00	2,65	60.953,42	1,50	20636	OK	OK
	T6.2	0,80	1,00	2,65	81.498,88	1,50	27592	OK	OK
T7	T7.1	0,80	1,00	2,65	20.242,81	1,50	6853,4	OK	OK
	T7.2	0,80	1,00	2,65	23.266,50	1,50	7877,1	OK	OK
	T7.3	0,80	1,00	2,65	418.360,44	1,50	141640	OK	OK
	T7.3'	0,80	1,00	2,65	57.163,06	1,50	19353	OK	OK

Tabel 3 continuare

SIGURANȚA FAȚĂ DE ACȚIUNEA SEISMICĂ PERPENDICULARĂ PE PLANUL PEREȚILOR									
Diafrag	Șpalet	γ_{CNS}	β_{CNS}	K_z	m_{CNS}	q_{CNS}	F_{CNS}	VERIF.	VERIF1.
							[daN]	$F < 4\gamma_{CNS} a_{gmCNS}$	$F > 0,75\gamma_{CNS} a_{NSagmC}$
T8	T8.1	0,80	1,00	2,65	105.086,25	1,50	35578	OK	OK
	T8.2	0,80	1,00	2,65	105.744,04	1,50	35801	OK	OK
T9	T9.1'	0,80	1,00	2,65	24.912,23	1,50	8434,3	OK	OK
	T9.2'	0,80	1,00	2,65	16.800,27	1,50	5687,9	OK	OK
	T9.3'	0,80	1,00	2,65	13.412,04	1,50	4540,8	OK	OK
	T9.4'	0,80	1,00	2,65	26.175,75	1,50	8862,1	OK	OK
	T9.1	0,80	1,00	2,65	17.328,02	1,50	5866,6	OK	OK
	T9.2	0,80	1,00	2,65	23.957,99	1,50	8111,2	OK	OK
	T9.3	0,80	1,00	2,65	23.957,99	1,50	8111,2	OK	OK
	T9.4	0,80	1,00	2,65	41.554,46	1,50	14069	OK	OK
	T9.5	0,80	1,00	2,65	156.194,12	1,50	52881	OK	OK
	T9.6	0,80	1,00	2,65	57.649,55	1,50	19518	OK	OK
T9.7	0,80	1,00	2,65	8.097,31	1,50	2741,4	OK	OK	
T10	T10.1	0,80	1,00	2,65	139.583,61	1,50	47257	OK	OK
	T10.2	0,80	1,00	2,65	19.529,14	1,50	6611,8	OK	OK
	T10.3	0,80	1,00	2,65	39.474,28	1,50	13364	OK	OK
	T10.4	0,80	1,00	2,65	82.337,41	1,50	27876	OK	OK
	T10.5	0,80	1,00	2,65	45.694,34	1,50	15470	OK	OK
	T10.6	0,80	1,00	2,65	57.940,79	1,50	19616	OK	OK
LA	LA.1	0,80	1,00	2,65	53.277,23	1,50	18038	OK	OK
	LA.2	0,80	1,00	2,65	30.914,56	1,50	10466	OK	OK
	LA.3	0,80	1,00	2,65	45.952,36	1,50	15558	OK	OK
	LA.4	0,80	1,00	2,65	46.567,98	1,50	15766	OK	OK
	LA.5	0,80	1,00	2,65	47.460,07	1,50	16068	OK	OK
	LA.6	0,80	1,00	2,65	46.167,23	1,50	15630	OK	OK
	LA.7	0,80	1,00	2,65	37.057,59	1,50	12546	OK	OK
LB	LB.1	0,80	1,00	2,65	65.103,76	1,50	22042	OK	OK
	LB.2	0,80	1,00	2,65	33.603,87	1,50	11377	OK	OK
	LB.3	0,80	1,00	2,65	112.001,75	1,50	37919	OK	OK
	LB.4	0,80	1,00	2,65	61.971,70	1,50	20981	OK	OK
	LB.5	0,80	1,00	2,65	84.184,71	1,50	28502	OK	OK
	LB.1'	0,80	1,00	2,65	62.862,53	1,50	21283	OK	OK
	LB.2'	0,80	1,00	2,65	47.289,92	1,50	16010	OK	OK
	LB.3'	0,80	1,00	2,65	7.786,74	1,50	2636,3	OK	OK
LB.4'	0,80	1,00	2,65	31.003,58	1,50	10497	OK	OK	

Tabel 3 continuare

SIGURANȚA FAȚĂ DE ACȚIUNEA SEISMICĂ PERPENDICULARĂ PE PLANUL PEREȚILOR									
Diafrag	Șpalet	γ_{CNS}	β_{CNS}	K_z	m_{CNS}	q_{CNS}	F_{CNS}	VERIF.	VERIF1.
							[daN]	$F < 4\gamma_{CNS} a_{gmCNS}$	$F > 0,75\gamma_{CNS} S_{agmCNS}$
LC	LC.1	0,80	1,00	2,65	48.867,52	1,50	16545	OK	OK
	LC.2	0,80	1,00	2,65	29.048,91	1,50	9834,8	OK	OK
	LC.3	0,80	1,00	2,65	35.360,29	1,50	11972	OK	OK
	LC.4	0,80	1,00	2,65	42.771,76	1,50	14481	OK	OK
	LC.5	0,80	1,00	2,65	30.041,88	1,50	10171	OK	OK
	LC.6	0,80	1,00	2,65	21.674,35	1,50	7338,1	OK	OK
	LC.7	0,80	1,00	2,65	12.874,88	1,50	4358,9	OK	OK
LD	LD.1	0,80	1,00	2,65	18.844,75	1,50	6380,1	OK	OK
	LD.2	0,80	1,00	2,65	24.798,80	1,50	8395,9	OK	OK
	LD.3	0,80	1,00	2,65	24.798,80	1,50	8395,9	OK	OK
	LD.4	0,80	1,00	2,65	26.723,93	1,50	9047,7	OK	OK
LE	LE.1	0,80	1,00	2,65	134.784,91	1,50	45633	OK	OK
LF	LF.1	0,80	1,00	2,65	62.351,05	1,50	21110	OK	OK
	LF.2	0,80	1,00	2,65	17.361,16	1,50	5877,8	OK	OK
	LF.3	0,80	1,00	2,65	54.344,30	1,50	18399	OK	OK
	LF.4	0,80	1,00	2,65	16.938,01	1,50	5734,5	OK	OK
	LF.5	0,80	1,00	2,65	47.918,74	1,50	16223	OK	OK
	LF.6	0,80	1,00	2,65	54.335,12	1,50	18396	OK	OK
	LF.7	0,80	1,00	2,65	36.821,31	1,50	12466	OK	OK
	LF.8	0,80	1,00	2,65	34.341,55	1,50	11627	OK	OK
	LF.9	0,80	1,00	2,65	61.219,74	1,50	20727	OK	OK
	LF.1'	0,80	1,00	2,65	68.337,87	1,50	23136	OK	OK
	LF.2'	0,80	1,00	2,65	25.585,84	1,50	8662,3	OK	OK
	LF.3'	0,80	1,00	2,65	25.165,88	1,50	8520,2	OK	OK
	LF.4'	0,80	1,00	2,65	79.337,33	1,50	26860	OK	OK
	LF.5'	0,80	1,00	2,65	25.292,52	1,50	8563	OK	OK
	LF.6'	0,80	1,00	2,65	25.332,55	1,50	8576,6	OK	OK
	LF.7'	0,80	1,00	2,65	19.691,08	1,50	6666,6	OK	OK
	LF.8'	0,80	1,00	2,65	17.578,26	1,50	5951,3	OK	OK
	LF.9'	0,80	1,00	2,65	28.482,54	1,50	9643	OK	OK
LF.10'	0,80	1,00	2,65	58.179,53	1,50	19697	OK	OK	
LF.11'	0,80	1,00	2,65	55.808,99	1,50	18895	OK	OK	

Tabel 3 continuare

SIGURANȚA FAȚĂ DE ACȚIUNEA SEISMICĂ PERPENDICULARĂ PE PLANUL PEREȚILOR									
Diafrag	Șpalet	γ_{CNS}	β_{CNS}	K_z	m_{CNS}	q_{CNS}	F_{CNS}	VERIF.	VERIF1.
							[daN]	$F < 4\gamma_{CNS} a_{gmCNS}$	$F > 0,75\gamma_{CNS} a_{NS}$
LG	LG.1	0,80	1,00	2,65	73.760,97	1,50	24973	OK	OK
LH	LH.1'	0,80	1,00	2,65	63.464,85	1,50	21487	OK	OK
	LH.1	0,80	1,00	2,65	179.716,13	1,50	60845	OK	OK
	LH.2	0,80	1,00	2,65	116.087,58	1,50	39303	OK	OK
	LH3	0,80	1,00	2,65	97.077,27	1,50	32866	OK	OK
LI	LI.1	0,80	1,00	2,65	20.492,17	1,50	6937,8	OK	OK
	LI.2	0,80	1,00	2,65	32.274,90	1,50	10927	OK	OK
	LI.3	0,80	1,00	2,65	35.820,30	1,50	12127	OK	OK
	LI.4	0,80	1,00	2,65	46.947,97	1,50	15895	OK	OK
	LI.5	0,80	1,00	2,65	83.213,59	1,50	28173	OK	OK
LJ	LJ.1	0,80	1,00	2,65	22.769,75	1,50	7708,9	OK	OK
	LJ.2	0,80	1,00	2,65	33.400,94	1,50	11308	OK	OK
	LJ.3	0,80	1,00	2,65	33.400,94	1,50	11308	OK	OK
	LJ.4	0,80	1,00	2,65	59.351,27	1,50	20094	OK	OK
	LJ.5	0,80	1,00	2,65	38.787,54	1,50	13132	OK	OK
	LJ.6	0,80	1,00	2,65	77.686,95	1,50	26302	OK	OK
LK	LK.1	0,80	1,00	2,65	137.034,10	1,50	46394	OK	OK
	LK.2	0,80	1,00	2,65	296.351,40	1,50	100333	OK	OK
	LK.3	0,80	1,00	2,65	261.337,73	1,50	88479	OK	OK
	LK.4	0,80	1,00	2,65	88.658,20	1,50	30016	OK	OK
	LK.5	0,80	1,00	2,65	48.661,81	1,50	16475	OK	OK
LL	LL.1	0,80	1,00	2,65	36.031,87	1,50	12199	OK	OK
	LL.2	0,80	1,00	2,65	68.781,66	1,50	23287	OK	OK
	LL.3	0,80	1,00	2,65	69.003,85	1,50	23362	OK	OK
	LL.4	0,80	1,00	2,65	69.226,05	1,50	23437	OK	OK
	LL.5	0,80	1,00	2,65	69.226,05	1,50	23437	OK	OK
	LL.6	0,80	1,00	2,65	80.640,76	1,50	27302	OK	OK
	LL.7	0,80	1,00	2,65	58.723,34	1,50	19881	OK	OK
	LL.8	0,80	1,00	2,65	59.736,50	1,50	20224	OK	OK
	LL.9	0,80	1,00	2,65	82.226,49	1,50	27839	OK	OK
	LL.10	0,80	1,00	2,65	69.226,05	1,50	23437	OK	OK
	LL.11	0,80	1,00	2,65	69.226,05	1,50	23437	OK	OK
	LL.12	0,80	1,00	2,65	69.170,53	1,50	23418	OK	OK
	LL.13	0,80	1,00	2,65	66.545,07	1,50	22529	OK	OK
	LL.14	0,80	1,00	2,65	28.884,23	1,50	9779	OK	OK

Tabel 5

Gradul de asigurare al spaletilor la stabilitate					
Diafrag	Spalet	h_i [cm]	M_r [daNcm]	M_{st} [daNcm]	$R_{3,st}$
T1	T1.1	645	7.638.755,5	4.408.256,37	0,58
	T1.2	645	7.884.498,9	4.550.072,66	0,58
	T1.3	645	4.712.727,3	2.719.672,11	0,58
	T1.4	645	4.645.347,0	2.680.787,55	0,58
	T1.5	645	4.514.156,0	2.605.078,42	0,58
	T1.6	645	4.697.239,3	2.710.734,11	0,58
	T1.7	645	3.274.881,7	2.094.218,01	0,64
	T1.8	645	6.384.853,0	4.224.028,42	0,66
	T1.9	645	6.496.293,4	4.334.230,36	0,67
	T1.10	645	3.539.277,2	2.263.143,31	0,64
T2	T2.1	645	6.228.438,4	4.003.002,29	0,64
	T2.2	645	8.087.530,1	5.342.416,56	0,66
	T2.3	645	7.869.192,6	5.190.014,91	0,66
	T2.4	645	7.994.922,5	5.267.600,46	0,66
	T2.5	645	6.806.997,5	4.369.573,67	0,64
	T2.6	645	6.769.413,2	4.347.884,12	0,64
	T2.7	645	8.086.080,6	5.320.206,98	0,66
	T2.8	645	8.572.264,9	5.630.325,15	0,66
	T2.9	645	8.102.011,2	5.329.400,36	0,66
	T2.10	645	6.131.435,4	3.938.850,19	0,64
	T2.11	645	15.014.972,1	9.607.990,80	0,64
T3	T3.1	645	4.852.297,5	3.257.879,15	0,67
	T3.2	645	30.823.720,3	20.892.393,73	0,68
	T3.3	645	16.246.780,6	10.721.194,32	0,66
	T3.3'	645	4.877.985,2	3.125.597,54	0,64
	T3.4'	645	4.877.985,2	3.125.597,54	0,64
	T3.4	645	17.983.309,5	11.852.206,54	0,66
	T3.5	645	20.479.133,2	13.910.492,40	0,68
	T3.6	645	26.190.702,4	17.864.796,08	0,68
T3.7	645	10.792.079,9	7.249.578,98	0,67	

Tabel 5 continuare

Gradul de asigurare al spaletilor la stabilitate					
Diafrag	Spalet	h_i [cm]	M_r [daNcm]	M_{st} [daNcm]	$R_{3,st}$
T4	T4.1	645	4.854.938,7	3.214.134,99	0,66
	T4.2	645	5.377.418,6	3.477.312,85	0,65
	T4.3	645	5.355.039,3	3.476.337,43	0,65
	T4.4	645	4.799.360,3	3.136.809,25	0,65
	T4.5	645	4.426.619,0	2.825.516,58	0,64
	T4.5'	645	4.664.224,4	2.997.210,08	0,64
	T4.6'	645	4.664.224,4	2.997.210,08	0,64
	T4.6	645	15.423.450,0	9.598.543,40	0,62
	T4.7	645	6.605.287,5	4.202.249,94	0,64
	T4.8	645	6.605.287,5	4.202.249,94	0,64
	T4.9	645	6.631.373,5	4.220.448,51	0,64
	T4.10	645	2.964.645,4	1.907.010,91	0,64
T4.11	645	9.818.172,1	5.665.977,88	0,58	
T4.12	645	9.746.911,9	5.911.548,32	0,61	
T5	T5.1	645	3.758.428,7	2.168.955,02	0,58
	T5.2	645	4.795.330,2	2.767.341,45	0,58
	T5.1'	645	9.360.686,2	6.009.879,56	0,64
	T5.2'	645	7.985.806,3	4.948.638,44	0,62
	T5.3	645	4.541.906,2	2.995.752,22	0,66
	T5.4	645	7.283.551,0	4.942.566,75	0,68
	T5.5	645	7.125.701,7	4.856.484,97	0,68
	T5.6	645	5.000.966,6	3.317.257,29	0,66
	T5.7	645	61.328.551,9	37.348.056,93	0,61
	T5.8	645	10.691.263,1	6.774.598,85	0,63
T5.9	645	2.476.049,3	1.428.905,52	0,58	
T5.10	645	2.163.191,1	1.248.357,89	0,58	
T6	T6.1	645	11.532.387,3	6.655.235,88	0,58
	T6.2	645	15.419.587,9	8.898.504,00	0,58
T7	T7.1	645	3.829.939,1	2.210.223,05	0,58
	T7.2	645	4.402.022,7	2.540.367,29	0,58
	T7.3	645	75.034.381,4	45.678.935,62	0,61
	T7.3'	645	9.232.470,1	6.241.383,06	0,68

Tabel 5continuare

Gradul de asigurare al spaletilor la stabilitate					
Diafrag	Spalet	h_i [cm]	M_r [daNcm]	M_{st} [daNcm]	$R_{3,st}$
T8	T8.1	645	17.699.074,2	11.473.905,70	0,65
	T8.2	645	17.556.982,6	11.545.726,56	0,66
T9	T9.1'	645	4.261.129,5	2.720.056,33	0,64
	T9.2'	645	2.960.653,4	1.834.347,99	0,62
	T9.3'	645	2.537.558,9	1.464.402,16	0,58
	T9.4'	645	4.952.452,6	2.858.015,35	0,58
	T9.1	645	3.223.971,4	1.891.970,03	0,59
	T9.2	645	4.303.996,2	2.615.867,99	0,61
	T9.3	645	4.303.996,2	2.615.867,99	0,61
	T9.4	645	7.248.755,9	4.537.148,99	0,63
	T9.5	645	24.531.590,2	17.054.148,42	0,70
	T9.6	645	9.653.608,1	6.294.500,55	0,65
T9.7	645	1.406.684,1	884.109,17	0,63	
T10	T10.1	645	25.706.303,1	15.240.520,18	0,59
	T10.2	645	3.694.913,0	2.132.300,70	0,58
	T10.3	645	6.453.353,7	4.310.023,48	0,67
	T10.4	645	13.191.707,6	8.990.059,88	0,68
	T10.5	645	7.783.753,2	4.989.164,46	0,64
	T10.6	645	10.962.398,3	6.326.300,41	0,58
LA	LA.1	645	10.080.052,6	5.817.106,72	0,58
	LA.2	645	5.367.539,7	3.375.424,79	0,63
	LA.3	645	7.476.287,5	5.017.336,15	0,67
	LA.4	645	7.578.600,7	5.084.552,71	0,67
	LA.5	645	7.756.125,7	5.181.956,45	0,67
	LA.6	645	7.516.939,8	5.040.796,28	0,67
	LA.7	645	6.167.047,2	4.046.154,85	0,66
LB	LB.1	645	12.317.630,5	7.108.392,56	0,58
	LB.2	645	5.906.837,9	3.669.059,11	0,62
	LB.3	645	18.061.012,3	12.228.977,83	0,68
	LB.4	645	9.887.327,1	6.766.417,24	0,68
	LB.5	645	13.564.799,9	9.191.758,04	0,68
	LB.1'	645	9.901.173,2	6.863.683,28	0,69
	LB.2'	645	7.635.728,3	5.163.378,50	0,68
	LB.3'	645	1.375.170,8	850.200,39	0,62
	LB.4'	645	5.312.524,5	3.385.144,72	0,64

Tabel 5 continuare

Gradul de asigurare al spaletilor la stabilitate					
Diafrag	Spalet	h_i [cm]	M_r [daNcm]	M_{st} [daNcm]	$R_{3,st}$
LC	LC.1	645	9.245.734,5	5.335.629,35	0,58
	LC.2	645	4.674.679,3	3.171.722,40	0,68
	LC.3	645	6.123.702,3	3.860.834,61	0,63
	LC.4	645	7.157.750,0	4.670.060,23	0,65
	LC.5	645	5.358.206,1	3.280.140,51	0,61
	LC.6	645	4.100.787,9	2.366.527,41	0,58
	LC.7	645	2.435.927,9	1.405.751,84	0,58
LD	LD.1	645	3.440.100,3	2.057.575,13	0,60
	LD.2	645	4.397.688,7	2.707.671,64	0,62
	LD.3	645	4.397.688,7	2.707.671,64	0,62
	LD.4	645	4.816.413,6	2.917.868,47	0,61
LE	LE.1	645	24.525.941,8	14.716.571,65	0,60
LF	LF.1	645	11.230.126,2	6.807.836,47	0,61
	LF.2	645	3.284.731,0	1.895.588,37	0,58
	LF.3	645	10.025.841,4	5.933.615,54	0,59
	LF.4	645	3.024.856,6	1.849.387,22	0,61
	LF.5	645	7.994.426,8	5.232.036,56	0,65
	LF.6	645	8.771.638,1	5.932.613,07	0,68
	LF.7	645	6.430.692,7	4.020.357,07	0,63
	LF.8	645	6.102.031,1	3.749.602,71	0,61
	LF.9	645	10.428.162,1	6.684.313,59	0,64
	LF.1'	645	11.633.041,4	7.461.511,33	0,64
	LF.2'	645	4.363.688,8	2.793.605,74	0,64
	LF.3'	645	4.307.105,6	2.747.751,55	0,64
	LF.4'	645	13.091.199,1	8.662.494,45	0,66
	LF.5'	645	4.322.354,1	2.761.579,36	0,64
	LF.6'	645	4.333.191,6	2.765.950,12	0,64
	LF.7'	645	3.376.818,8	2.149.982,33	0,64
	LF.8'	645	3.058.808,6	1.919.293,38	0,63
	LF.9'	645	4.680.815,4	3.109.883,14	0,66
LF.10'	645	9.530.699,5	6.352.366,44	0,67	
LF.11'	645	10.559.060,5	6.093.537,82	0,58	
LG	LG.1	645	12.360.903,3	8.053.635,73	0,65

Tabel 5 continuare

Gradul de asigurare al spaletilor la stabilitate					
Diafrag	Spalet	h_i [cm]	M_r [daNcm]	M_{st} [daNcm]	$R_{3,st}$
LH	LH.1'	645	10.910.549,5	6.929.447,93	0,64
	LH.1	645	31.790.581,9	19.622.413,61	0,62
	LH.2	645	20.472.457,8	12.675.092,03	0,62
	LH3	645	17.399.716,1	10.599.440,30	0,61
LI	LI.1	645	3.642.898,4	2.237.449,85	0,61
	LI.2	645	5.408.149,7	3.523.954,39	0,65
	LI.3	645	5.843.698,0	3.911.061,28	0,67
	LI.4	645	7.249.712,3	5.126.042,08	0,71
	LI.5	645	15.744.010,5	9.085.725,34	0,58
LJ	LJ.1	645	3.959.445,5	2.486.129,01	0,63
	LJ.2	645	5.588.502,8	3.646.901,78	0,65
	LJ.3	645	5.588.502,8	3.646.901,78	0,65
	LJ.4	645	9.186.666,6	6.480.304,07	0,71
	LJ.5	645	6.533.575,5	4.235.040,85	0,65
	LJ.6	645	13.313.795,9	8.482.296,23	0,64
LK	LK.1	645	22.201.238,2	14.962.150,06	0,67
	LK.2	645	47.732.804,9	32.357.305,69	0,68
	LK.3	645	41.426.385,4	28.534.316,34	0,69
	LK.4	645	14.023.626,7	9.680.198,59	0,69
	LK.5	645	7.592.389,1	5.313.168,55	0,70
LL	LL.1	645	6.006.753,6	3.934.161,28	0,65
	LL.2	645	11.186.641,2	7.509.966,90	0,67
	LL.3	645	11.228.680,2	7.534.227,19	0,67
	LL.4	645	11.270.719,1	7.558.487,48	0,67
	LL.5	645	11.270.719,1	7.558.487,48	0,67
	LL.6	645	13.316.039,5	8.804.809,57	0,66
	LL.7	645	9.496.030,3	6.411.742,57	0,68
	LL.8	645	9.618.018,9	6.522.365,05	0,68
	LL.9	645	13.569.204,7	8.977.948,77	0,66
	LL.10	645	11.270.719,1	7.558.487,48	0,67
	LL.11	645	11.270.719,1	7.558.487,48	0,67
	LL.12	645	11.254.766,2	7.552.425,75	0,67
	LL.13	645	10.855.003,9	7.265.763,48	0,67
	LL.14	645	4.742.653,2	3.153.741,72	0,66

M_r = moment de rasturnare

$M_s = F_{cns} * h/2$

Tabel 6

VERIFICAREA FUNDAȚIILOR EXISTENTE LA CLĂDIRE FĂRĂ SUBSOL													
Diafrag.	L spalet tot [m]	GF [daN]	Gs total/L spalet tot	h [m] (fundație)	l [m] (fundație)	b [m] (fundație)	g [daN/m ³]	Ge [daN]	Gt [daN]	At [mp]	Presiune pe talpă [KN]	P _{plastic} [Kpa]	P _{plastic} > p _{ef,med}
T5	48,29	721769,12	14946,55	0,9	1,00	1,2	2400	2592	17.538,55	1,20	146,15	102,9	NOK
LL	27,46	896648,48	32652,89	0,9	1,00	1,2	2400	2592	35.244,89	1,20	267,01	102,9	NOK

Tabel 6.1

VERIFICAREA FUNDAȚIILOR EXISTENTE LA CLĂDIRE CU SUBSOL													
Diafrag.	L spalet tot [m]	GF [daN]	Gs total/L spalet tot	h [m] (fundație)	l [m] (fundație)	b [m] (fundație)	g [daN/m ³]	Ge [daN]	Gt [daN]	At [mp]	Presiune pe talpă [KN]	P _{plastic} [Kpa]	P _{plastic} > p _{ef,med}
T2	22,21	801579,13	36090,91	0,9	1,00	1,2	2400	2592	38.682,91	1,20	322,36	154,35	NOK
LA	14,34	461095,53	32154,50	0,9	1,00	1,2	2400	2592	34.746,50	1,20	263,23	154,35	NOK

P Greutatea spaletilor din *gruparea fundamentală*

Concluzie : Fundatiile nu sunt dimensionate corespunzator, astfel incat sa preia incarcările suprastructurii având în vedere datele studiului geotehnic.

pt. $p_{pl}=100$ kPa fără subsol

pt. $p_{pl}=150$ kPa cu subsol

Întocmit,

Ing. Szakacs Andrei

3.2 CALCULUL STRUCTURII CONSOLIDATE

BREVIAR DE CALCUL VARIANTA CONSOLIDATĂ

1. CALCULUL ÎNCĂRCĂRILOR UNITARE

I. ACOPERIȘ

I.1	Șarpanta	Norm.	n	Calcul
	<i>*permanente</i>	N/m ²		N/m ²
	- învelitoare tablă (inclusiv șipcile și căpriorii) pe m ² de suprafață înclinată	310	1,35	419
	- șarpantă pe scaune	450	1,35	608
	- astereală 2,4 cm	150	1,35	203
	TOTAL PERMANENTE ACOPERIȘ	910		1.229

I.2	*planșeu pod placa b.a.			
	- placă din b.a. 10 cm	2.500	1,35	3.375
	- termoizolație polistiren	38	1,35	51
	- șapă 3 cm	600	1,35	810
	- tencuială	1.020	1,35	1.377
		4.158		5.613

I.3	*placa peste parter			
	- placă din b.a. 10 cm	2.500	1,35	3.375
	- șapă 3 cm	600	1,35	810
	- pardoseală	1.285	1,35	1.735
	- tencuială	1.020	1,35	1.377
		5.405		7.297

I.4 **variabile* (conf. CR 1-1-3-2005)

S_{ok} , gr. zăpada valoare normată: 2,5 KN/m²

ÎNCĂRCĂRI VARIABILE

Zăpada	fundamentală	4000	1,5	6000
	specială:	4000	0,4	1600
Utilă pod	fundamental	1500	1,05	1575
	specială:	1500	0,4	600

TOTAL ÎNCĂRCĂRI ACOPERIȘ +PLANȘEU POD

gruparea fundamentală:		14.416	N/m²
gruparea specială:		7.268	N/m²

I.5 **variabile*

ÎNCĂRCĂRI VARIABILE

Utilă etaj	fundamental	3000	1,5	4500
	specială:	3000	0,4	1200

TOTAL ÎNCĂRCĂRI PLANSEU b.a.

gruparea fundamentală:		11.797	N/m²
gruparea specială:		6.605	N/m²

I.6	II. ÎNCĂRCĂRI PROPRII PEREȚI	Normat	n	Calcul
	inclusiv tencuiala	N/m ²		N/m ²
	-zidărie de 70 cm grosime: 0,70x17600 N/m ³ =	12320	1,35	16632
	-zidărie de 56 cm grosime: 0,56x17600 N/m ³ =	9856	1,35	13305,6
	-zidărie de 42 cm grosime: 0,42x17600 N/m ³ =	7392	1,35	9979,2
	-zidărie de 28 cm grosime: 0,28x17600 N/m ³ =	4928	1,35	6652,8
	-zidarie atic 0,25cm	4000	1,35	5400
	- centura atic 0,25cm	6250	1,35	8437,5
	- centura peste etaj 0,25cm	6250	1,35	8437,5
	- centura perimetrala 0,30cm	4500	1,35	6075
	- grinzi metalice	681,5	1,35	920,025
	-cămășuială b.a.	4000	1,35	5400

2. ÎNCĂRCĂRI GRAVITAȚIONALE DE NIVEL

2.1 – acțiuni speciale – (în daN)

	[daN/m ²]	Arie[m ²]	L[m]	h[m]	[daN]
-acoperiș + pl.b.a. pod	726,75	#####			799.316,0
-planseu b.a. peste parter	660,50	#####			864.488,8
-zidărie de 70 cm grosime: 0,70x17600 N/m ³ =	1.232,00		27,46	5,05	170.845,1
-zidărie de 56 cm grosime: 0,56x17600 N/m ³ =	985,60		238,20	9,80	2.300.745,2
-zidărie de 42 cm grosime: 0,42x17600 N/m ³ =	739,20		184,61	9,80	1.337.344,4
-zidărie de 28 cm grosime: 0,28x17600 N/m ³ =	492,80		34,11	9,80	164.732,2
-zidarie atic 0,25cm	400,00		107,02	1,00	42.808,0
- centura atic 0,25cm	625,00		107,02	0,25	16.721,9
- centura peste etaj 0,25cm	625,00		609,13	0,25	95.175,8
- centura perimetrala 0,30cm	450,00		1.116,17	0,30	150.682,3
- grinzi metalice	68,15		357,05		24.333,0
-cămășuială b.a.	400,00		5.366,09		2.146.435,6

TOTAL GREUTATE CONSTRUCȚIE –

8.502.946,58

2.2 – acțiuni fundamentale– (în daN)

	[daN/m ²]	Arie[m ²]	L[m]	h[m]	[daN]
-acoperiș + pl.b.a. pod	1.441,61	1.099,85			1.585.557,5
-planșeu b.a. peste parter	1.179,68	1.308,84			1.544.005,8
-zidărie de 70 cm grosime: 0,70x16000 N/m ³ =	1.663,20		27,46	5,05	230.640,9
-zidărie de 56 cm grosime: 0,56x16000 N/m ³ =	1.330,56		238,20	9,80	3.106.006,0
-zidărie de 42 cm grosime: 0,42x16000 N/m ³ =	997,92		184,61	9,80	1.805.414,9
-zidărie de 28 cm grosime: 0,28x16000 N/m ³ =	665,28		34,11	9,80	222.388,5
-zidarie atic 0,25cm	540,00		107,02	1,00	57.790,8
- centura atic 0,25cm	843,75		107,02	0,25	22.574,5
- centura peste etaj 0,25cm	843,75		609,13	0,25	128.487,3
- centura perimetrala 0,30cm	607,50		1.116,17	0,30	203.421,1
- grinzi metalice	92,00		357,05		32.849,5
-cămășuială b.a.	540,00		5.366,09		2.897.688,1

TOTAL GREUTATE CONSTRUCȚIE –

12.362.404,73

Fb = $\gamma_1 Se(T1)m\lambda =$

2.693.733

daN –

unde: **Se(T1) = $a_g \times \beta_0$**

0,66 spectrul de răspuns elastic

în care:

ag = 0,24

acelerația terenului pentru proiectare

$\beta_0 = 2,75$

factor de amplificare dinamică

$\gamma I = 1,20$

factor de importanță clasa II

$\lambda = 1$

coeficient cf. P100-1/2006, pct. 4.5.3.2.2

q = 2,5

factor de comportare - cf. P100-1/2006, pct 8.3.4

Tabel 1

ÎNCĂRCĂRI VERTICALE PE ȘPALEȚI														
Diafrag	Șpalet	Grosime P [m]	Grosime E [m]	Grosime M [m]	Arii de descarcare			Lung. Spaleti			H Pereti parter	H Pereti mans.	L. Parapet i	H. Parapeti
					A _{af} parter	A _{af} etaj	A _{af} mans.	parter	etaj	mans.			parter	parter
					[m ²]	[m ²]	[m ²]	[m]	[m]	[m]	[m]	[m]	[m]	[m]
T1	T1.1	0,56	0,42	0,00	4,20	4,20	0,00	3,43	3,08	0,00	5,05	3,50	0,75	1,45
	T1.2	0,56	0,42	0,00	4,50	4,60	0,00	3,38	3,38	0,00	5,05	3,50	0,75	1,45
	T1.3	0,56	0,42	0,00	2,00	2,10	0,00	1,97	1,92	0,00	5,05	3,50	0,75	1,45
	T1.4	0,56	0,42	0,00	1,80	2,00	0,00	1,71	1,76	0,00	5,05	3,50	1,50	1,45
	T1.5	0,56	0,42	0,00	1,80	1,90	0,00	1,63	1,73	0,00	5,05	3,50	1,50	1,45
	T1.6	0,56	0,42	0,00	2,00	2,00	0,00	1,97	1,91	0,00	5,05	3,50	0,75	1,45
	T1.7	0,56	0,42	0,00	0,40	0,40	0,00	0,94	0,87	0,00	5,05	3,50	0,43	1,45
	T1.8	0,56	0,42	0,00	6,25	6,30	0,00	1,36	1,36	0,00	5,05	3,50	1,18	1,45
	T1.9	0,56	0,42	0,00	6,24	6,20	0,00	1,31	1,31	0,00	5,05	3,50	1,18	1,45
	T1.10	0,56	0,42	0,00	0,40	0,40	0,00	0,99	0,99	0,00	5,05	3,50	0,43	1,45
T2	T2.1	0,56	0,42	0,00	1,90	2,00	0,00	1,70	1,70	0,00	5,05	3,50	0,75	1,45
	T2.2	0,56	0,42	0,00	7,65	7,80	0,00	1,75	1,75	0,00	5,05	3,50	1,50	1,45
	T2.3	0,56	0,42	0,00	7,15	6,90	0,00	1,70	1,70	0,00	5,05	3,50	1,50	1,45
	T2.4	0,56	0,42	0,00	7,60	7,60	0,00	1,75	1,75	0,00	5,05	3,50	1,50	1,45
	T2.5	0,56	0,42	0,00	2,30	2,30	0,00	1,88	1,89	0,00	5,05	3,50	0,75	1,45
	T2.6	0,56	0,42	0,00	2,30	2,30	0,00	1,87	1,87	0,00	5,05	3,50	0,75	1,45
	T2.7	0,56	0,42	0,00	7,70	7,65	0,00	1,75	1,85	0,00	5,05	3,50	1,50	1,45
	T2.8	0,56	0,42	0,00	7,30	7,30	0,00	1,90	2,01	0,00	5,05	3,50	1,50	1,45
	T2.9	0,56	0,42	0,00	7,80	7,70	0,00	1,75	1,85	0,00	5,05	3,50	1,50	1,45
	T2.10	0,56	0,42	0,00	1,70	1,60	0,00	1,67	1,67	0,00	5,05	3,50	0,75	1,45
	T2.11	0,56	0,42	0,00	5,50	5,50	0,00	4,49	4,39	0,00	5,05	3,50	0,75	1,45
T3	T3.1	0,42	0,42	0,00	3,10	0,90	0,00	1,12	1,12	0,00	5,05	3,50	0,70	2,55
	T3.2	0,42	0,42	0,00	37,60	38,10	0,00	8,05	8,05	0,00	5,05	3,50	1,40	2,55
	T3.3	0,42	0,42	0,00	16,40	8,85	0,00	5,31	4,89	0,00	5,05	3,50	0,70	2,55
	T3.3'	0,42	0,42	0,00	4,80	4,80	0,00	0,84	1,25	0,00	5,05	3,50	2,10	2,55
	T3.4'	0,42	0,42	0,00	4,80	4,80	0,00	0,84	1,25	0,00	5,05	3,50	2,10	2,55
	T3.4	0,42	0,42	0,00	15,80	12,50	0,00	5,72	5,72	0,00	5,05	3,50	0,70	2,55
	T3.5	0,42	0,42	0,00	16,20	26,20	0,00	5,02	5,02	0,00	5,05	3,50	1,40	2,55
	T3.6	0,42	0,42	0,00	29,20	30,10	0,00	6,37	6,37	0,00	5,05	3,50	1,40	2,55
T3.7	0,42	0,42	0,00	12,50	12,50	0,00	2,90	2,90	0,00	5,05	3,50	0,70	2,55	
T4	T4.1	0,56	0,42	0,00	4,85	3,45	0,00	1,13	1,13	0,00	5,05	3,50	0,93	1,45
	T4.2	0,56	0,42	0,00	4,70	4,70	0,00	1,20	1,20	0,00	5,05	3,50	1,85	1,45
	T4.3	0,56	0,42	0,00	4,60	4,70	0,00	1,20	1,15	0,00	5,05	3,50	1,85	1,45
	T4.4	0,56	0,42	0,00	4,80	3,55	0,00	1,05	1,05	0,00	5,05	3,50	0,93	1,45
	T4.5	0,42	0,42	0,00	3,50	2,05	0,00	1,72	1,77	0,00	5,05	3,50	0,00	1,45
	T4.5'	0,42	0,42	0,00	7,50	7,50	0,00	1,16	1,16	0,00	5,05	3,50	2,10	1,45
	T4.6'	0,42	0,42	0,00	7,50	7,50	0,00	1,16	1,16	0,00	5,05	3,50	2,10	1,45
	T4.6	0,56	0,42	0,00	8,60	9,70	0,00	5,19	5,19	0,00	5,05	3,50	0,75	1,45
	T4.7	0,56	0,42	0,00	4,90	5,10	0,00	1,71	1,71	0,00	5,05	3,50	1,50	1,45
	T4.8	0,56	0,42	0,00	4,90	5,10	0,00	1,71	1,71	0,00	5,05	3,50	1,50	1,45
	T4.9	0,56	0,42	0,00	5,00	4,60	0,00	1,71	1,71	0,00	5,05	3,50	1,50	1,45
	T4.10	0,56	0,42	0,00	2,40	0,90	0,00	0,64	0,78	0,00	5,05	3,50	0,75	1,45
T4.11	0,42	0,42	0,00	5,20	5,10	0,00	5,66	5,66	0,00	5,05	3,50	0,00	1,45	
T4.12	0,42	0,42	0,00	12,20	13,60	0,00	4,31	4,40	0,00	5,05	3,50	0,75	1,45	

Tabel 1 continuare

ÎNCARCĂRI VERTICALE PE ȘPALEȚI														
Diafrag	Șpalet	Grosime P [m]	Grosime E [m]	Grosime M [m]	Arii de descarcare			Lung. Spaletii			H Pereti parter	H Pereti mans.	L. Parapet i	H. Parapeti
					A _{af} parter	A _{af} etaj	A _{af} mans.	parter	etaj	mans.			parter	parter
					[m ²]	[m ²]	[m ²]	[m]	[m]	[m]	[m]	[m]	[m]	[m]
T5	T5.1	0,56	0,00	0,00	10,60	0,00	0,00	2,80	0,00	0,00	5,05	3,50	0,70	2,55
	T5.2	0,56	0,00	0,00	11,30	0,00	0,00	3,67	0,00	0,00	5,05	3,50	0,70	2,55
	T5.1'	0,42	0,42	0,00	4,90	6,00	0,00	4,01	3,10	0,00	5,05	3,50	0,00	0,00
	T5.2'	0,42	0,42	0,00	4,60	4,40	0,00	4,01	3,10	0,00	5,05	3,50	0,00	0,00
	T5.3	0,56	0,42	0,00	3,60	5,20	0,00	1,13	1,13	0,00	5,05	3,50	0,93	1,45
	T5.4	0,56	0,42	0,00	8,80	9,20	0,00	1,35	1,13	0,00	5,05	3,50	1,85	1,45
	T5.5	0,56	0,42	0,00	8,00	9,20	0,00	1,33	1,11	0,00	5,05	3,50	1,85	1,45
	T5.6	0,56	0,42	0,00	4,60	5,70	0,00	1,19	1,19	0,00	5,05	3,50	0,93	1,45
	T5.7	0,56	0,56	0,00	37,10	12,20	0,00	19,21	19,81	0,00	5,05	3,50	0,00	0,00
	T5.8	0,42	0,42	0,00	4,50	5,90	0,00	4,40	4,40	0,00	5,05	3,50	0,00	0,00
T5.9	0,42	0,00	0,00	5,60	0,00	0,00	2,77	0,00	0,00	5,05	3,50	0,50	0,00	
T5.10	0,42	0,00	0,00	5,90	0,00	0,00	2,42	0,00	0,00	5,05	3,50	0,50	0,00	
T6	T6.1	0,56	0,42	0,00	2,60	2,60	0,00	5,10	4,95	0,00	5,05	3,50	0,75	1,45
	T6.2	0,56	0,42	0,00	6,90	6,90	0,00	6,85	6,72	0,00	5,05	3,50	0,75	1,45
T7	T7.1	0,56	0,00	0,00	11,00	0,00	0,00	2,86	0,00	0,00	5,05	3,50	0,70	2,55
	T7.2	0,56	0,00	0,00	11,20	0,00	0,00	3,34	0,00	0,00	5,05	3,50	0,70	2,55
	T7.3	0,56	0,56	0,56	48,50	9,50	9,00	19,11	19,11	9,36	5,05	3,50	0,00	0,00
	T7.3'	0,28	0,28	0,00	6,40	6,80	0,00	4,20	4,20	0,00	5,05	3,50	0,00	0,00
T8	T8.1	0,42	0,42	0,42	2,40	4,80	5,10	4,37	4,37	3,75	5,05	3,50	0,50	2,55
	T8.2	0,42	0,42	0,42	9,00	9,40	11,00	4,63	4,63	4,15	5,05	3,50	0,50	2,55
T9	T9.1'	0,28	0,00	0,00	7,90	0,00	0,00	3,29	0,00	0,00	5,05	3,50	0,45	2,55
	T9.2'	0,28	0,00	0,00	6,80	0,00	0,00	2,99	0,00	0,00	5,05	3,50	0,45	2,55
	T9.3'	0,42	0,42	0,00	0,90	1,80	0,00	1,12	1,12	0,00	5,05	3,50	0,70	2,55
	T9.4'	0,42	0,42	0,00	3,20	4,20	0,00	2,58	2,44	0,00	5,05	3,50	0,70	2,55
	T9.1	0,56	0,42	0,00	1,00	2,70	0,00	1,09	1,09	0,00	5,05	3,50	1,00	1,45
	T9.2	0,56	0,42	0,00	4,20	4,30	0,00	0,95	0,95	0,00	5,05	3,50	2,00	1,45
	T9.3	0,56	0,42	0,00	4,20	4,30	0,00	0,95	0,95	0,00	5,05	3,50	2,00	1,45
	T9.4	0,56	0,42	0,00	4,20	1,20	0,00	1,79	1,79	0,00	5,05	3,50	1,50	1,45
	T9.5	0,42	0,42	0,42	1,10	14,40	10,10	5,06	5,06	3,38	5,05	3,50	1,00	2,55
	T9.6	0,42	0,42	0,42	1,20	7,10	11,30	1,94	1,79	3,39	5,05	3,50	1,00	2,55
T9.7	0,42	0,00	0,00	3,70	0,00	0,00	0,65	0,00	0,00	5,05	3,50	0,50	2,55	
T10	T10.1	0,56	0,42	0,00	10,60	9,60	0,00	10,07	9,75	0,00	5,05	3,50	0,75	1,45
	T10.2	0,56	0,42	0,00	2,10	2,10	0,00	1,53	1,43	0,00	5,05	3,50	0,75	1,45
	T10.3	0,56	0,42	0,42	0,80	0,60	0,50	1,29	1,13	1,33	5,05	3,50	0,70	1,45
	T10.4	0,56	0,42	0,42	6,60	7,20	8,80	1,68	2,78	2,50	5,05	3,50	1,70	1,45
	T10.5	0,56	0,42	0,42	2,30	1,80	1,20	1,61	1,61	1,60	5,05	3,50	1,70	1,45
	T10.6	0,56	0,42	0,42	1,90	2,10	5,20	4,41	2,92	3,28	5,05	3,50	0,70	1,45
LA	LA.1	0,56	0,42	0,00	5,80	5,50	0,00	4,80	4,69	0,00	5,05	3,50	0,75	1,45
	LA.2	0,56	0,42	0,00	1,60	1,70	0,00	1,54	1,54	0,00	5,05	3,50	1,50	1,45
	LA.3	0,56	0,42	0,00	7,60	7,70	0,00	1,52	1,52	0,00	5,05	3,50	1,50	1,45
	LA.4	0,56	0,42	0,00	7,75	8,00	0,00	1,55	1,55	0,00	5,05	3,50	1,50	1,45
	LA.5	0,56	0,42	0,00	1,90	8,10	0,00	1,71	1,71	0,00	5,05	3,50	1,50	1,45
	LA.6	0,56	0,42	0,00	8,20	8,50	0,00	1,54	1,54	0,00	5,05	3,50	1,50	1,45
	LA.7	0,56	0,42	0,00	1,60	1,70	0,00	1,68	1,54	0,00	5,05	3,50	0,75	1,45

Tabel 1 continuare

ÎNCARCĂRI VERTICALE PE ȘPALEȚI														
Diafrag	Șpalet	Grosime P	Grosime E	Grosime M	Arii de descarcare			Lung. Spaletii			H	H	L.	H.
					A _{af}	A _{af}	A _{af}	parter	etaj	mans.	parter	mans.	parter	parter
					[m ²]	[m ²]	[m ²]	[m]	[m]	[m]	[m]	[m]	[m]	[m]
LB	LB.1	0,42	0,42	0,00	9,90	9,40	0,00	6,70	6,56	0,00	5,05	3,50	0,50	2,55
	LB.2	0,42	0,42	0,00	7,20	5,60	0,00	2,72	0,77	0,00	5,05	3,50	1,20	2,55
	LB.3	0,42	0,42	0,00	18,42	18,05	0,00	4,46	4,46	0,00	5,05	3,50	1,40	2,55
	LB.4	0,42	0,42	0,00	5,40	11,30	0,00	2,36	2,36	0,00	5,05	3,50	1,20	2,55
	LB.5	0,42	0,42	0,00	8,40	9,30	0,00	4,93	1,67	0,00	5,05	3,50	0,50	2,55
	LB.1'	0,28	0,28	0,00	10,70	7,40	0,00	3,93	2,62	0,00	5,05	3,50	0,50	2,55
	LB.2'	0,28	0,28	0,00	7,00	7,40	0,00	3,09	3,13	0,00	5,05	3,50	1,00	2,55
	LB.3'	0,28	0,00	0,00	2,40	0,00	0,00	1,04	0,00	0,00	5,05	3,50	0,95	2,55
LB.4'	0,28	0,28	0,00	2,90	5,90	0,00	2,62	3,95	0,00	5,05	3,50	0,35	2,55	
LC	LC.1	0,42	0,42	0,00	8,50	8,50	0,00	5,33	5,33	0,00	5,05	3,50	0,00	0,00
	LC.2	0,42	0,42	0,00	5,90	7,80	0,00	1,11	1,11	0,00	5,05	3,50	0,75	1,45
	LC.3	0,56	0,42	0,00	2,20	1,90	0,00	1,79	1,79	0,00	5,05	3,50	1,50	1,45
	LC.4	0,56	0,42	0,00	5,80	6,00	0,00	1,77	1,77	0,00	5,05	3,50	1,50	1,45
	LC.5	0,56	0,42	0,00	1,80	1,70	0,00	1,78	1,78	0,00	5,05	3,50	1,50	1,45
	LC.6	0,56	0,42	0,00	1,40	1,40	0,00	1,65	1,65	0,00	5,05	3,50	1,50	1,45
	LC.7	0,56	0,42	0,00	0,80	0,60	0,00	0,94	0,95	0,00	5,05	3,50	0,75	1,45
LD	LD.1	0,56	0,56	0,00	2,80	0,00	0,00	1,08	1,08	0,00	5,05	3,50	1,00	1,45
	LD.2	0,56	0,56	0,00	6,20	0,00	0,00	1,10	1,10	0,00	5,05	3,50	1,30	1,45
	LD.3	0,56	0,56	0,00	6,20	0,00	0,00	1,10	1,10	0,00	5,05	3,50	1,30	1,45
	LD.4	0,56	0,56	0,00	3,20	0,00	0,00	1,49	1,49	0,00	5,05	3,50	0,65	1,45
LE	LE.1	0,56	0,56	0,00	26,10	0,00	0,00	6,70	10,16	0,00	5,05	3,50	0,80	2,55
LF	LF.1	0,42	0,42	0,00	12,20	11,60	0,00	4,91	4,91	0,00	5,05	3,50	0,00	0,00
	LF.2	0,56	0,42	0,00	0,00	0,00	0,00	1,37	1,47	0,00	5,05	3,50	0,75	1,45
	LF.3	0,56	0,42	0,00	2,40	1,90	0,00	3,92	3,92	0,00	5,05	3,50	1,50	1,45
	LF.4	0,56	0,42	0,00	1,20	1,30	0,00	0,86	0,86	0,00	5,05	3,50	0,75	1,45
	LF.5	0,56	0,42	0,42	1,60	1,60	1,80	1,86	1,86	2,00	5,05	3,50	0,70	1,45
	LF.6	0,56	0,42	0,42	1,80	1,90	7,90	1,50	1,61	2,00	5,05	3,50	1,40	1,45
	LF.7	0,56	0,42	0,42	1,50	1,60	1,60	1,50	1,50	2,00	5,05	3,50	1,40	1,45
	LF.8	0,56	0,42	0,42	1,40	1,50	1,60	1,50	1,50	2,00	5,05	3,50	1,40	1,45
	LF.9	0,56	0,42	0,42	3,50	3,40	3,40	2,69	2,58	2,80	5,05	3,50	0,70	1,45
	LF.1'	0,42	0,42	0,00	7,50	9,90	0,00	4,37	3,38	0,00	5,05	3,50	0,00	0,00
	LF.2'	0,42	0,42	0,00	5,60	5,60	0,00	0,79	0,79	0,00	5,05	3,50	1,80	2,55
	LF.3'	0,42	0,42	0,00	5,60	5,60	0,00	0,79	0,79	0,00	5,05	3,50	1,80	2,55
	LF.4'	0,42	0,42	0,00	7,60	7,50	0,00	4,37	4,37	0,00	5,05	3,50	0,00	0,00
	LF.5'	0,42	0,42	0,00	5,60	5,60	0,00	0,79	0,79	0,00	5,05	3,50	1,80	2,55
	LF.6'	0,42	0,42	0,00	5,60	5,60	0,00	0,79	0,79	0,00	5,05	3,50	1,80	2,55
	LF.7'	0,42	0,00	0,00	4,70	0,00	0,00	1,91	0,00	0,00	5,05	3,50	0,50	0,00
LF.8'	0,42	0,00	0,00	2,30	0,00	0,00	1,79	0,00	0,00	5,05	3,50	0,40	2,55	
LF.9'	0,28	0,28	0,00	3,20	3,10	0,00	2,05	2,05	0,00	5,05	3,50	0,50	2,55	
LF.10'	0,28	0,28	0,28	3,90	1,80	9,10	4,29	4,29	3,36	5,05	3,50	0,50	2,55	
LF.11'	0,28	0,28	0,42	7,30	6,30	4,90	6,61	5,61	5,61	5,05	3,50	0,00	2,55	
LG	LG.1	0,42	0,42	0,00	4,70	4,70	4,90	4,83	4,83	3,80	5,05	3,50	0,00	0,00
LH	LH.1'	0,42	0,42	0,00	9,60	9,60	0,00	4,90	3,85	0,00	5,05	3,50	0,00	0,00
	LH.1	0,56	0,42	0,00	27,80	14,20	0,00	13,92	7,80	0,00	5,05	3,50	0,70	2,55
	LH.2	0,42	0,42	0,00	17,10	17,90	0,00	5,77	11,91	0,00	5,05	3,50	1,20	2,55
	LH3	0,56	0,42	0,42	7,70	11,60	6,60	4,20	4,20	9,27	5,05	3,50	0,50	2,55

Tabel 1 continuare

ÎNCARCĂRI VERTICALE PE ȘPALEȚI														
Diafrag	Șpalet	Grosime P	Grosime E	Grosime M	Arii de descarcare			Lung. Spaleti			H	H	L.	H.
					A _{af}	A _{af}	A _{af}	parter	etaj	mans.	parter	mans.	parter	parter
					parter	etaj	mans.	[m]	[m]	[m]	[m]	[m]	[m]	[m]
		[m]	[m]	[m]	[m ²]	[m ²]	[m ²]	[m]	[m]	[m]	[m]	[m]	[m]	[m]
LI	LI.1	0,56	0,42	0,00	2,00	3,05	0,00	1,20	1,16	0,00	5,05	3,50	0,93	1,45
	LI.2	0,56	0,42	0,00	4,50	4,20	0,00	1,18	1,20	0,00	5,05	3,50	1,85	1,45
	LI.3	0,56	0,42	0,00	4,50	4,20	0,00	1,20	1,20	0,00	5,05	3,50	1,85	1,45
	LI.4	0,56	0,42	0,00	5,50	5,85	0,00	1,20	1,20	0,00	5,05	3,50	0,93	1,45
	LI.5	0,56	0,42	0,42	5,93	8,60	6,30	5,93	5,95	5,93	5,05	3,50	0,00	0,00
LJ	LJ.1	0,56	0,42	0,00	2,40	3,05	0,00	1,20	1,20	0,00	5,05	3,50	0,93	1,45
	LJ.2	0,56	0,42	0,00	5,10	4,20	0,00	1,20	1,20	0,00	5,05	3,50	1,85	1,45
	LJ.3	0,56	0,42	0,00	5,10	4,20	0,00	1,20	1,20	0,00	5,05	3,50	1,85	1,45
	LJ.4	0,56	0,42	0,00	3,30	5,85	0,00	0,97	0,90	0,00	5,05	3,50	1,93	1,45
	LJ.5	0,56	0,42	0,00	5,50	7,80	0,00	1,63	1,63	0,00	5,05	3,50	1,63	1,45
	LJ.6	0,56	0,42	0,00	3,40	3,60	0,00	4,48	4,30	0,00	5,05	3,50	0,00	0,00
LK	LK.1	0,42	0,42	0,00	27,20	20,00	0,00	6,14	6,14	0,00	5,05	3,50	0,70	2,55
	LK.2	0,42	0,42	0,00	42,40	45,60	0,00	10,89	14,64	0,00	5,05	3,50	0,70	2,55
	LK.3	0,42	0,42	0,00	45,80	56,70	0,00	11,17	8,37	0,00	5,05	3,50	0,70	2,55
	LK.4	0,42	0,42	0,00	11,90	22,50	0,00	3,21	3,21	0,00	5,05	3,50	1,15	2,55
	LK.5	0,42	0,42	0,00	1,60	3,00	0,00	1,44	1,44	0,00	5,05	3,50	0,45	2,55
LL	LL.1	0,70	0,42	0,00	1,20	1,20	0,00	1,43	1,25	0,00	5,05	3,50	0,75	1,45
	LL.2	0,70	0,42	0,00	11,15	11,90	0,00	2,10	2,10	0,00	5,05	3,50	1,50	1,45
	LL.3	0,70	0,42	0,00	12,05	11,80	0,00	2,10	2,15	0,00	5,05	3,50	1,50	1,45
	LL.4	0,70	0,42	0,00	12,30	11,80	0,00	2,10	2,20	0,00	5,05	3,50	1,50	1,45
	LL.5	0,70	0,42	0,00	12,40	12,00	0,00	2,10	2,20	0,00	5,05	3,50	1,50	1,45
	LL.6	0,70	0,42	0,00	3,20	12,40	0,00	2,76	2,60	0,00	5,05	3,50	1,30	2,55
	LL.7	0,70	0,42	0,00	9,00	20,40	0,00	1,33	1,30	0,00	5,05	3,50	1,75	2,55
	LL.8	0,70	0,42	0,00	8,90	11,70	0,00	1,33	1,30	0,00	5,05	3,50	1,75	2,55
	LL.9	0,70	0,42	0,00	3,30	12,90	0,00	2,91	2,40	0,00	5,05	3,50	1,30	2,55
	LL.10	0,70	0,42	0,00	12,40	12,55	0,00	2,10	2,20	0,00	5,05	3,50	1,50	1,45
	LL.11	0,70	0,42	0,00	12,50	12,75	0,00	2,10	2,20	0,00	5,05	3,50	1,50	1,45
	LL.12	0,70	0,42	0,00	11,10	10,90	0,00	2,10	2,15	0,00	5,05	3,50	1,50	1,45
	LL.13	0,70	0,42	0,00	2,80	10,35	0,00	2,09	2,15	0,00	5,05	3,50	1,50	1,45
	LL.14	0,70	0,42	0,00	1,30	1,30	0,00	0,91	0,95	0,00	5,05	3,50	0,75	1,45

Tabel 1 continuare

ÎNCĂRCĂRI VERTICALE PE ȘPALEȚI										
Diafrag	Șpalet	L. Parapeti	H. Parapeti	L. Parapeti	H. Parapeti	L Grinzi	L Grinzi	L Grinzi	Lungimi centuri peste etaj (25x25)	Înălțimi centuri peste etaj (25x25)
		etaj	etaj	mans	mans	P	E	M		
		[m]	[m]	[m]	[m]	[m]	[m]	[m]		
T1	T1.1	0,75	1,20	0,00	0,00	0,00	0,00	0,00	3,83	0,25
	T1.2	0,75	1,20	0,00	0,00	0,00	0,00	0,00	4,13	0,25
	T1.3	0,73	1,20	0,00	0,00	0,00	0,00	0,00	2,65	0,25
	T1.4	1,43	1,20	0,00	0,00	0,00	0,00	0,00	3,19	0,25
	T1.5	1,40	1,20	0,00	0,00	0,00	0,00	0,00	3,13	0,25
	T1.6	0,70	1,20	0,00	0,00	0,00	0,00	0,00	2,61	0,25
	T1.7	0,43	1,20	0,00	0,00	0,00	0,00	0,00	1,30	0,25
	T1.8	1,18	1,20	0,00	0,00	2,65	2,65	0,00	2,54	0,25
	T1.9	1,18	1,20	0,00	0,00	2,65	2,65	0,00	2,49	0,25
	T1.10	0,43	1,20	0,00	0,00	0,00	0,00	0,00	1,42	0,25
T2	T2.1	0,70	1,20	0,00	0,00	0,00	0,00	0,00	2,40	0,25
	T2.2	1,43	1,20	0,00	0,00	2,50	2,50	0,00	3,18	0,25
	T2.3	1,45	1,20	0,00	0,00	2,50	2,50	0,00	3,15	0,25
	T2.4	1,45	1,20	0,00	0,00	2,50	2,50	0,00	3,20	0,25
	T2.5	0,73	1,20	0,00	0,00	0,00	0,00	0,00	2,62	0,25
	T2.6	0,70	1,20	0,00	0,00	0,00	0,00	0,00	2,57	0,25
	T2.7	1,40	1,20	0,00	0,00	2,50	2,50	0,00	3,25	0,25
	T2.8	1,43	1,20	0,00	0,00	2,50	2,50	0,00	3,44	0,25
	T2.9	1,48	1,20	0,00	0,00	2,50	2,50	0,00	3,33	0,25
	T2.10	0,75	1,20	0,00	0,00	0,00	0,00	0,00	2,42	0,25
	T2.11	0,75	1,20	0,00	0,00	0,00	0,00	0,00	5,14	0,25
T3	T3.1	0,70	2,25	0,00	0,00	0,00	0,00	0,00	1,82	0,25
	T3.2	1,40	2,25	0,00	0,00	7,50	12,00	0,00	9,45	0,25
	T3.3	0,70	2,25	0,00	0,00	0,00	1,50	0,00	5,59	0,25
	T3.3'	1,40	2,25	0,00	0,00	0,00	0,00	0,00	2,65	0,25
	T3.4'	1,40	2,25	0,00	0,00	0,00	0,00	0,00	2,65	0,25
	T3.4	0,70	2,25	0,00	0,00	0,00	1,50	0,00	6,42	0,25
	T3.5	1,40	2,25	0,00	0,00	5,00	11,00	0,00	6,42	0,25
	T3.6	1,40	2,25	0,00	0,00	5,00	6,50	0,00	7,77	0,25
T3.7	0,70	2,25	0,00	0,00	2,50	2,50	0,00	3,60	0,25	
T4	T4.1	0,93	1,20	0,00	0,00	0,00	1,50	0,00	2,06	0,25
	T4.2	1,85	1,20	0,00	0,00	0,00	1,50	0,00	3,05	0,25
	T4.3	1,85	1,20	0,00	0,00	0,00	1,50	0,00	3,00	0,25
	T4.4	2,08	1,20	0,00	0,00	0,00	1,50	0,00	3,13	0,25
	T4.5	1,15	0,00	0,00	0,00	0,00	1,50	0,00	2,92	0,25
	T4.5'	1,40	2,25	0,00	0,00	0,00	0,00	0,00	2,56	0,25
	T4.6'	1,40	2,25	0,00	0,00	0,00	0,00	0,00	2,56	0,25
	T4.6	0,75	1,20	0,00	0,00	0,00	1,50	0,00	5,94	0,25
	T4.7	1,50	1,20	0,00	0,00	0,00	1,50	0,00	3,21	0,25
	T4.8	1,50	1,20	0,00	0,00	0,00	1,50	0,00	3,21	0,25
	T4.9	1,50	1,20	0,00	0,00	0,00	1,50	0,00	3,21	0,25
	T4.10	0,75	1,20	0,00	0,00	0,00	0,00	0,00	1,53	0,25
T4.11	0,00	0,00	0,00	0,00	0,00	0,00	0,00	5,66	0,25	
T4.12	0,85	2,25	0,00	0,00	0,00	0,00	0,00	5,25	0,25	

Tabel 1 continuare

ÎNCARCĂRI VERTICALE PE ȘPALEȚI										
Diafrag	Șpalet	L. Parapeti	H. Parapeti	L. Parapeti	H. Parapeti	L Grinzi	L Grinzi	L Grinzi	Lungimi centuri peste etaj (25x25)	Înălțimi centuri peste etaj (25x25)
		etaj	etaj	mans	mans	P	E	M		
		[m]	[m]	[m]			[m]	[m]		
T5	T5.1	0,00	2,25	0,00	0,00	0,00	0,00	0,00	0,00	0,25
	T5.2	0,00	2,25	0,00	0,00	0,00	0,00	0,00	0,00	0,25
	T5.1'	0,40	1,20	0,00	0,00	0,00	0,00	0,00	3,50	0,25
	T5.2'	0,40	1,20	0,00	0,00	0,00	0,00	0,00	3,50	0,25
	T5.3	0,93	1,20	0,00	0,00	0,00	0,00	0,00	2,06	0,25
	T5.4	1,85	1,20	0,00	0,00	0,00	0,00	0,00	2,98	0,25
	T5.5	1,85	1,20	0,00	0,00	0,00	0,00	0,00	2,96	0,25
	T5.6	0,93	1,20	0,00	0,00	0,00	0,00	0,00	2,12	0,25
	T5.7	0,00	0,00	0,00	0,00	13,50	0,00	0,00	19,81	0,25
	T5.8	0,00	0,00	0,00	0,00	0,00	0,00	0,00	4,40	0,25
T5.9	0,00	0,00	0,00	0,00	0,00	0,00	0,00	0,00	0,25	
T5.10	0,00	0,00	0,00	0,00	0,00	0,00	0,00	0,00	0,25	
T6	T6.1	0,75	1,20	0,00	0,00	0,00	0,00	0,00	5,70	0,25
	T6.2	0,75	1,20	0,00	0,00	0,00	0,00	0,00	7,47	0,25
T7	T7.1	0,00	0,00	0,00	0,00	0,00	0,00	0,00	0,00	0,25
	T7.2	0,00	0,00	0,00	0,00	0,00	0,00	0,00	0,00	0,25
	T7.3	0,00	0,00	0,00	0,00	13,50	0,00	0,00	19,11	0,25
	T7.3'	0,00	0,00	0,00	0,00	0,00	0,00	0,00	4,20	0,25
T8	T8.1	0,50	2,25	0,70	1,40	0,00	0,00	0,00	4,87	0,25
	T8.2	0,50	2,25	0,70	1,40	0,00	0,00	0,00	5,13	0,25
T9	T9.1'	0,00	0,00	0,00	0,00	0,00	0,00	0,00	0,00	0,25
	T9.2'	0,00	0,00	0,00	0,00	0,00	0,00	0,00	0,00	0,25
	T9.3'	0,70	2,25	0,00	0,00	0,00	0,00	0,00	1,82	0,25
	T9.4'	0,70	2,25	0,00	0,00	0,00	0,00	0,00	3,14	0,25
	T9.1	1,00	1,20	0,00	0,00	0,00	0,00	0,00	2,09	0,25
	T9.2	2,00	1,20	0,00	0,00	0,00	1,50	0,00	2,95	0,25
	T9.3	2,00	1,20	0,00	0,00	0,00	1,50	0,00	2,95	0,25
	T9.4	2,00	2,25	0,00	0,00	0,00	0,00	0,00	3,79	0,25
	T9.5	1,60	2,25	1,05	1,40	0,00	0,00	0,00	6,66	0,25
T9.6	1,75	2,25	1,05	1,40	0,00	0,00	0,00	3,54	0,25	
T9.7	0,00	0,00	0,00	0,00	0,00	0,00	0,00	0,00	0,25	
T10	T10.1	0,75	1,20	0,00	0,00	0,00	0,00	0,00	10,50	0,25
	T10.2	0,75	1,20	0,00	0,00	0,00	0,00	0,00	2,18	0,25
	T10.3	0,70	1,20	0,50	0,55	0,00	0,00	0,00	1,83	0,25
	T10.4	1,40	1,20	1,20	0,55	0,00	0,00	2,75	4,18	0,25
	T10.5	1,40	1,20	1,40	0,55	0,00	0,00	0,00	3,01	0,25
	T10.6	1,40	1,20	1,70	0,55	0,00	0,00	0,00	4,32	0,25
LA	LA.1	0,75	1,20	0,00	0,00	0,00	0,00	0,00	5,44	0,25
	LA.2	1,50	1,20	0,00	0,00	0,00	0,00	0,00	3,04	0,25
	LA.3	1,50	1,20	0,00	0,00	2,25	2,80	0,00	3,02	0,25
	LA.4	1,50	1,20	0,00	0,00	2,25	2,80	0,00	3,05	0,25
	LA.5	1,50	1,20	0,00	0,00	0,00	2,80	0,00	3,21	0,25
	LA.6	1,50	1,20	0,00	0,00	2,25	2,80	0,00	3,04	0,25
	LA.7	0,75	1,20	0,00	0,00	0,00	0,00	0,00	2,29	0,25

Tabel 1 continuare

ÎNCARCĂRI VERTICALE PE ȘPALEȚI										
Diafrag	Șpalet	L. Parapeti	H. Parapeti	L. Parapeti	H. Parapeti	L Grinzi	L Grinzi	L Grinzi	Lungimi centuri peste etaj (25x25)	Înălțimi centuri peste etaj (25x25)
		etaj	etaj	mans	mans	P	E	M		
		[m]	[m]	[m]		[m]	[m]	[m]		
LB	LB.1	1,48	2,25	0,00	0,00	0,00	0,00	0,00	8,04	0,25
	LB.2	2,18	2,25	0,00	0,00	0,00	0,00	0,00	2,95	0,25
	LB.3	1,40	2,25	0,00	0,00	5,50	5,60	0,00	5,86	0,25
	LB.4	1,40	0,00	0,00	0,00	0,00	2,80	0,00	3,76	0,25
	LB.5	0,70	0,00	0,00	0,00	2,25	2,80	0,00	2,37	0,25
	LB.1'	0,70	2,25	0,00	0,00	2,00	0,00	0,00	3,32	0,25
	LB.2'	0,70	2,25	0,00	0,00	0,00	0,00	0,00	3,83	0,25
	LB.3'	0,00	0,00	0,00	0,00	0,00	0,00	0,00	0,00	0,25
LC	LC.1	0,00	0,00	0,00	0,00	0,00	0,00	0,00	5,33	0,25
	LC.2	0,75	1,20	0,00	0,00	0,00	0,00	0,00	1,86	0,25
	LC.3	1,50	1,20	0,00	0,00	0,00	0,00	0,00	3,29	0,25
	LC.4	1,50	1,20	0,00	0,00	2,00	0,00	0,00	3,27	0,25
	LC.5	1,30	1,20	0,00	0,00	0,00	0,00	0,00	3,08	0,25
	LC.6	1,10	1,20	0,00	0,00	0,00	0,00	0,00	2,75	0,25
	LC.7	1,23	1,20	0,00	0,00	0,00	0,00	0,00	2,18	0,25
LD	LD.1	0,00	0,00	0,00	0,00	0,00	0,00	0,00	1,08	0,25
	LD.2	0,00	0,00	0,00	0,00	0,00	0,00	0,00	1,10	0,25
	LD.3	0,00	0,00	0,00	0,00	0,00	0,00	0,00	1,10	0,25
	LD.4	0,00	0,00	0,00	0,00	0,00	0,00	0,00	1,49	0,25
LE	LE.1	0,00	0,00	0,00	0,00	0,00	0,00	0,00	10,16	0,25
LF	LF.1	0,00	0,00	0,00	0,00	0,00	0,00	0,00	4,91	0,25
	LF.2	0,75	1,20	0,00	0,00	0,00	0,00	0,00	2,22	0,25
	LF.3	1,50	1,20	0,00	0,00	0,00	0,00	0,00	5,42	0,25
	LF.4	0,75	1,20	0,00	0,00	0,00	0,00	0,00	1,61	0,25
	LF.5	0,70	1,20	0,50	0,55	0,00	0,00	0,00	2,56	0,25
	LF.6	1,40	1,20	1,00	0,55	0,00	0,00	2,85	3,01	0,25
	LF.7	1,40	1,20	1,00	0,55	0,00	0,00	0,00	2,90	0,25
	LF.8	1,40	1,20	1,00	0,55	0,00	0,00	0,00	2,90	0,25
	LF.9	0,70	1,20	0,50	0,55	0,00	0,00	0,00	3,28	0,25
	LF.1'	1,00	2,25	0,00	0,00	0,00	0,00	0,00	4,38	0,25
	LF.2'	1,80	2,25	0,00	0,00	0,00	0,00	0,00	2,59	0,25
	LF.3'	1,80	2,25	0,00	0,00	0,00	0,00	0,00	2,59	0,25
	LF.4'	0,00	0,00	0,00	0,00	0,00	0,00	0,00	4,37	0,25
	LF.5'	1,80	2,25	0,00	0,00	0,00	0,00	0,00	2,59	0,25
	LF.6'	1,80	2,25	0,00	0,00	0,00	0,00	0,00	2,59	0,25
	LF.7'	0,00	0,00	0,00	0,00	0,00	0,00	0,00	0,00	0,25
	LF.8'	0,00	0,00	0,00	0,00	0,00	0,00	0,00	0,00	0,25
LF.9'	0,35	2,25	0,00	0,00	0,00	0,00	0,00	2,40	0,25	
LF.10'	0,00	0,00	0,70	1,40	0,00	0,00	2,85	4,29	0,25	
LF.11'	0,00	0,00	0,00	0,00	0,00	0,00	0,00	5,61	0,25	
LG	LG.1	0,00	0,00	1,00	1,40	0,00	0,00	0,00	4,83	0,25
LH	LH.1'	0,00	2,25	0,00	0,00	0,00	0,00	0,00	3,85	0,25
	LH.1	0,70	2,25	0,00	0,00	0,00	4,50	0,00	8,50	0,25
	LH.2	1,20	2,25	0,00	0,00	0,00	6,00	0,00	13,11	0,25
	LH3	0,50	2,25	0,00	0,00	0,00	3,00	0,00	4,70	0,25

Tabel 1 continuare

ÎNCĂRCĂRI VERTICALE PE ȘPALEȚI										
Diafrag	Șpalet	L. Parapeti	H. Parapeti	L. Parapeti	H. Parapeti	L Grinzi	L Grinzi	L Grinzi	Lungimi centuri peste etaj (25x25)	Înălțimi centuri peste etaj (25x25)
		etaj	etaj	mans	mans	P	E	M		
		[m]	[m]	[m]			[m]	[m]		
LI	LI.1	0,93	1,20	0,00	0,00	0,00	1,50	0,00	2,09	0,25
	LI.2	1,85	1,20	0,00	0,00	0,00	1,50	0,00	3,05	0,25
	LI.3	1,85	1,20	0,00	0,00	0,00	1,50	0,00	3,05	0,25
	LI.4	0,93	1,20	0,00	0,00	0,00	1,50	0,00	2,13	0,25
	LI.5	0,00	0,00	0,00	0,00	0,00	0,00	0,00	5,95	0,25
LJ	LJ.1	0,93	1,20	0,00	0,00	0,00	1,50	0,00	2,13	0,25
	LJ.2	1,85	1,20	0,00	0,00	0,00	1,50	0,00	3,05	0,25
	LJ.3	1,85	1,20	0,00	0,00	0,00	1,50	0,00	3,05	0,25
	LJ.4	1,93	1,20	0,00	0,00	0,00	1,50	0,00	2,83	0,25
	LJ.5	1,63	1,20	0,00	0,00	0,00	0,00	0,00	3,26	0,25
	LJ.6	1,40	1,20	0,00	0,00	0,00	0,00	0,00	5,70	0,25
LK	LK.1	0,70	2,25	0,00	0,00	7,20	7,20	0,00	6,84	0,25
	LK.2	2,10	2,25	0,00	0,00	7,20	20,40	0,00	16,74	0,25
	LK.3	2,10	2,25	0,00	0,00	7,20	14,70	0,00	10,47	0,25
	LK.4	1,15	2,25	0,00	0,00	3,60	7,20	0,00	4,36	0,25
	LK.5	0,45	2,25	0,00	0,00	0,00	0,00	0,00	1,89	0,25
LL	LL.1	0,75	1,20	0,00	0,00	0,00	0,00	0,00	2,00	0,25
	LL.2	1,50	1,20	0,00	0,00	3,60	3,60	0,00	3,60	0,25
	LL.3	1,50	1,20	0,00	0,00	3,60	3,60	0,00	3,65	0,25
	LL.4	1,50	1,20	0,00	0,00	3,60	3,60	0,00	3,70	0,25
	LL.5	1,50	1,20	0,00	0,00	3,60	3,60	0,00	3,70	0,25
	LL.6	1,40	2,25	0,00	0,00	0,00	3,60	0,00	4,00	0,25
	LL.7	1,85	1,20	0,00	0,00	0,00	3,60	0,00	3,15	0,25
	LL.8	1,85	1,20	0,00	0,00	0,00	3,60	0,00	3,15	0,25
	LL.9	1,40	2,25	0,00	0,00	0,00	3,60	0,00	3,80	0,25
	LL.10	1,50	1,20	0,00	0,00	3,60	3,60	0,00	3,70	0,25
	LL.11	1,50	1,20	0,00	0,00	3,60	3,60	0,00	3,70	0,25
	LL.12	1,50	1,20	0,00	0,00	3,60	3,60	0,00	3,65	0,25
	LL.13	1,50	1,20	0,00	0,00	0,00	3,60	0,00	3,65	0,25
	LL.14	0,75	1,20	0,00	0,00	0,00	0,00	0,00	1,70	0,25

Tabel 1 continuare

ÎNCĂRCĂRI VERTICALE PE ȘPALEȚI										
Diafrag	Șpalet	Lungimi centuri (18x30)	Înălțimi centuri (18x30)	Lungimi centuri atic (20x25)	Înălțimi centuri atic (20x25)	L. zidarie atic	H. zidarie atic	Camasaui abeton armat	N _{ed}	N _{sd}
						25cm	100cm			
		[m]	[m]	[m]	[m]	[m]	[m]	[m]	[m ²]	[daN]
T1	T1.1	8,36	0,30	3,08	0,20	3,08	1,00	33,94	52.369,77	73.842,89
	T1.2	8,26	0,30	3,38	0,20	3,38	1,00	35,11	54.322,99	76.750,34
	T1.3	5,44	0,30	1,92	0,20	1,92	1,00	21,03	31.674,95	44.304,23
	T1.4	6,42	0,30	1,76	0,20	1,76	1,00	20,88	31.381,53	43.804,46
	T1.5	6,26	0,30	1,73	0,20	1,73	1,00	20,30	30.506,62	42.577,28
	T1.6	5,44	0,30	1,91	0,20	1,91	1,00	20,95	31.503,26	44.026,41
	T1.7	2,73	0,30	0,87	0,20	0,87	1,00	10,01	14.302,60	19.607,91
	T1.8	5,07	0,30	1,36	0,20	1,36	1,00	16,44	31.704,91	47.502,78
	T1.9	4,97	0,30	1,31	0,20	1,31	1,00	15,95	30.957,64	46.445,04
	T1.10	2,83	0,30	0,99	0,20	0,99	1,00	10,83	15.397,06	21.085,43
T2	T2.1	4,90	0,30	1,70	0,20	1,70	1,00	18,59	28.195,63	39.532,31
	T2.2	6,50	0,30	1,75	0,20	1,75	1,00	21,04	40.031,12	59.837,11
	T2.3	6,40	0,30	1,70	0,20	1,70	1,00	20,58	38.416,89	57.099,45
	T2.4	6,50	0,30	1,75	0,20	1,75	1,00	21,07	39.890,83	59.541,22
	T2.5	5,26	0,30	1,89	0,20	1,89	1,00	20,43	31.181,62	43.816,73
	T2.6	5,24	0,30	1,87	0,20	1,87	1,00	20,25	30.949,01	43.502,72
	T2.7	6,50	0,30	1,85	0,20	1,85	1,00	21,48	40.526,30	60.450,92
	T2.8	6,80	0,30	2,01	0,20	2,01	1,00	23,03	42.110,70	62.313,49
	T2.9	6,50	0,30	1,85	0,20	1,85	1,00	21,57	40.742,93	60.795,21
	T2.10	4,84	0,30	1,67	0,20	1,67	1,00	18,35	27.448,21	38.281,48
	T2.11	10,48	0,30	4,39	0,20	4,39	1,00	45,51	69.857,63	98.424,54
T3	T3.1	1,82	0,30	0,00	0,20	0,00	1,00	14,34	19.563,27	27.717,67
	T3.2	9,45	0,30	0,00	0,20	0,00	1,00	85,61	154.132,12	236.452,22
	T3.3	6,01	0,30	0,00	0,20	0,00	1,00	53,40	79.887,65	116.646,95
	T3.3'	2,94	0,30	0,00	0,20	0,00	1,00	18,68	28.755,14	42.412,25
	T3.4'	2,94	0,30	0,00	0,20	0,00	1,00	18,68	28.755,14	42.412,25
	T3.4	6,42	0,30	0,00	0,20	0,00	1,00	59,42	89.179,03	130.698,34
	T3.5	6,42	0,30	0,00	0,20	0,00	1,00	55,92	96.400,68	146.871,62
	T3.6	7,77	0,30	0,00	0,20	0,00	1,00	69,15	122.979,64	188.293,16
T4	T4.1	2,06	0,30	0,00	0,20	0,00	1,00	13,53	23.555,99	34.786,11
	T4.2	3,05	0,30	0,00	0,20	0,00	1,00	16,66	28.646,68	42.190,97
	T4.3	3,05	0,30	0,00	0,20	0,00	1,00	16,43	28.302,26	41.697,20
	T4.4	1,98	0,30	0,00	0,20	0,00	1,00	14,12	24.331,44	35.864,62
	T4.5	1,72	0,30	0,00	0,20	0,00	1,00	17,09	24.065,18	34.440,01
	T4.5'	3,26	0,30	0,00	0,20	0,00	1,00	17,56	31.252,24	47.804,28
	T4.6'	3,26	0,30	0,00	0,20	0,00	1,00	17,56	31.252,24	47.804,28
	T4.6	5,94	0,30	5,19	0,20	5,19	1,00	52,85	84.218,91	120.639,17
	T4.7	3,21	0,30	1,71	0,20	1,71	1,00	20,73	35.160,50	51.226,43
	T4.8	3,21	0,30	1,71	0,20	1,71	1,00	20,73	35.160,50	51.226,43
	T4.9	3,21	0,30	1,71	0,20	1,71	1,00	20,73	34.863,18	50.623,59
	T4.10	1,39	0,30	0,78	0,20	0,78	1,00	8,92	14.306,60	20.419,56
T4.11	11,32	0,30	0,00	0,20	0,00	1,00	55,47	72.742,75	102.048,86	
T4.12	10,12	0,30	0,00	0,20	0,00	1,00	45,67	72.150,55	107.179,64	

Tabel 1 continuare

ÎNCĂRCĂRI VERTICALE PE ȘPALEȚI										
Diafrag	Șpalet	Lungimi centuri (18x30)	Înălțimi centuri (18x30)	Lungimi centuri atic (20x25)	Înălțimi centuri atic (20x25)	L. zidarie atic	H. zidarie atic	Camasa ial abeton armat	N _{ed}	N _{sd}
						25cm	100cm			
		[m]	[m]	[m]	[m]	[m]	[m]	[m]	[m ²]	[daN]
T5	T5.1	7,00	0,30	0,00	0,20	0,00	1,00	15,93	30.011,98	43.568,97
	T5.2	8,74	0,30	0,00	0,20	0,00	1,00	20,32	36.796,86	52.930,17
	T5.1'	8,02	0,30	0,00	0,20	0,00	1,00	35,46	49.617,43	71.157,73
	T5.2'	8,02	0,30	0,00	0,20	0,00	1,00	35,46	48.256,48	68.497,25
	T5.3	2,06	0,30	0,00	0,20	0,00	1,00	13,53	23.899,95	35.696,33
	T5.4	3,20	0,30	0,00	0,20	0,00	1,00	17,09	35.203,01	54.295,06
	T5.5	3,18	0,30	0,00	0,20	0,00	1,00	16,89	34.420,61	53.008,42
	T5.6	2,12	0,30	0,00	0,20	0,00	1,00	14,11	25.685,81	38.625,49
	T5.7	38,42	0,30	0,00	0,20	0,00	1,00	191,11	307.372,18	431.255,35
	T5.8	8,80	0,30	0,00	0,20	0,00	1,00	43,12	58.257,88	82.661,09
	T5.9	6,54	0,30	0,00	0,20	0,00	1,00	13,99	20.517,40	29.311,29
T5.10	5,84	0,30	0,00	0,20	0,00	1,00	12,22	18.607,51	26.819,34	
T6	T6.1	11,70	0,30	4,95	0,20	4,95	1,00	51,26	73.679,41	101.413,31
	T6.2	15,20	0,30	6,72	0,20	6,72	1,00	68,50	103.145,96	144.411,70
T7	T7.1	7,12	0,30	0,00	0,20	0,00	1,00	16,23	30.712,22	44.629,49
	T7.2	8,08	0,30	0,00	0,20	0,00	1,00	18,65	34.332,61	49.574,63
	T7.3	38,22	0,30	19,11	0,20	19,11	1,00	220,04	368.865,94	518.903,77
	T7.3'	8,40	0,30	0,00	0,20	0,00	1,00	41,16	47.707,00	69.379,05
T8	T8.1	9,74	0,30	0,00	0,20	0,00	1,00	59,33	78.107,86	109.816,01
	T8.2	10,26	0,30	0,00	0,20	0,00	1,00	63,28	94.315,55	137.414,69
T9	T9.1'	7,48	0,30	0,00	0,20	0,00	1,00	17,76	22.085,66	32.090,85
	T9.2'	6,88	0,30	0,00	0,20	0,00	1,00	16,25	19.925,52	28.857,85
	T9.3'	3,64	0,30	0,00	0,20	0,00	1,00	14,34	19.009,95	26.751,53
	T9.4'	6,56	0,30	0,00	0,20	0,00	1,00	27,98	38.415,85	54.717,10
	T9.1	2,09	0,30	1,09	0,20	1,09	1,00	13,33	20.705,09	29.483,22
	T9.2	2,95	0,30	0,95	0,20	0,95	1,00	14,61	25.899,66	38.154,30
	T9.3	2,95	0,30	0,95	0,20	0,95	1,00	14,61	25.899,66	38.154,30
	T9.4	3,29	0,30	1,79	0,20	1,79	1,00	24,22	35.973,55	50.326,49
	T9.5	12,12	0,30	0,00	0,20	0,00	1,00	69,04	99.187,71	143.760,21
	T9.6	5,88	0,30	0,00	0,20	0,00	1,00	38,12	58.191,68	85.428,32
T9.7	2,30	0,30	0,00	0,20	0,00	1,00	4,56	7.946,25	11.793,04	
T10	T10.1	21,64	0,30	9,75	0,20	9,75	1,00	99,15	149.412,80	209.180,89
	T10.2	4,56	0,30	1,43	0,20	1,43	1,00	16,51	25.596,17	36.126,69
	T10.3	3,98	0,30	1,13	0,20	1,13	1,00	18,67	25.831,90	35.523,77
	T10.4	6,76	0,30	2,78	0,20	2,78	1,00	35,24	61.464,74	90.728,19
	T10.5	6,62	0,30	1,61	0,20	1,61	1,00	26,29	38.392,88	53.667,29
	T10.6	10,22	0,30	2,92	0,20	2,92	1,00	51,25	73.925,54	102.811,33
LA	LA.1	11,10	0,30	0,00	0,20	0,00	1,00	48,51	71.674,12	100.963,21
	LA.2	6,08	0,30	0,00	0,20	0,00	1,00	19,07	27.761,37	38.721,51
	LA.3	6,04	0,30	0,00	0,20	0,00	1,00	18,87	36.172,34	54.567,31
	LA.4	6,10	0,30	0,00	0,20	0,00	1,00	19,17	36.874,48	55.696,55
	LA.5	6,42	0,30	0,00	0,20	0,00	1,00	20,73	34.983,45	51.504,91
	LA.6	6,08	0,30	0,00	0,20	0,00	1,00	19,07	37.406,73	56.774,94
	LA.7	4,86	0,30	0,00	0,20	0,00	1,00	17,79	25.926,99	36.245,08

Tabel 1 continuare

ÎNCĂRCĂRI VERTICALE PE ȘPALEȚI										
Diafrag	Șpalet	Lungimi centuri (18x30)	Înălțimi centuri (18x30)	Lungimi centuri atic (20x25)	Înălțimi centuri atic (20x25)	L. zidarie atic	H. zidarie atic	Camasa ial abeton armat	N _{ed}	N _{sd}
		[m]	[m]	[m]	[m]	25cm	100cm			
		[m]	[m]	[m]	[m]	[m]	[m]	[m]	[m ²]	[daN]
LB	LB.1	14,40	0,30	0,00	0,20	0,00	1,00	69,59	95.845,37	136.571,15
	LB.2	7,84	0,30	0,00	0,20	0,00	1,00	25,36	39.233,14	57.617,14
	LB.3	11,72	0,30	0,00	0,20	0,00	1,00	50,43	85.986,12	129.698,24
	LB.4	7,12	0,30	0,00	0,20	0,00	1,00	26,19	43.351,86	65.283,87
	LB.5	10,86	0,30	0,00	0,20	0,00	1,00	34,10	53.338,82	78.709,26
	LB.1'	8,86	0,30	0,00	0,20	0,00	1,00	35,14	45.670,78	68.144,85
	LB.2'	8,18	0,30	0,00	0,20	0,00	1,00	34,60	42.592,39	62.923,43
	LB.3'	3,98	0,30	0,00	0,20	0,00	1,00	7,67	8.974,29	12.806,50
LC	LC.1	10,66	0,30	0,00	0,20	0,00	1,00	52,23	73.568,51	105.679,74
	LC.2	3,72	0,30	0,00	0,20	0,00	1,00	12,87	25.014,80	39.061,08
	LC.3	6,58	0,30	0,00	0,20	0,00	1,00	21,52	31.511,71	44.049,35
	LC.4	6,54	0,30	0,00	0,20	0,00	1,00	21,32	36.748,79	54.044,26
	LC.5	6,56	0,30	0,00	0,20	0,00	1,00	21,18	30.669,15	42.704,60
	LC.6	6,30	0,30	0,00	0,20	0,00	1,00	19,67	28.213,75	39.136,47
	LC.7	3,38	0,30	0,00	0,20	0,00	1,00	11,82	16.660,14	22.997,89
LD	LD.1	4,16	0,30	0,00	0,20	0,00	1,00	12,03	19.254,06	26.799,38
	LD.2	4,80	0,30	0,00	0,20	0,00	1,00	12,67	22.463,60	32.111,46
	LD.3	4,80	0,30	0,00	0,20	0,00	1,00	12,67	22.463,60	32.111,46
	LD.4	4,28	0,30	0,00	0,20	0,00	1,00	15,54	24.462,67	33.946,21
LE	LE.1	15,00	0,30	0,00	0,20	0,00	1,00	84,14	137.429,01	193.045,96
LF	LF.1	9,82	0,30	0,00	0,20	0,00	1,00	48,12	73.397,31	107.941,77
	LF.2	4,24	0,30	0,00	0,20	0,00	1,00	15,89	20.992,13	28.339,38
	LF.3	10,84	0,30	0,00	0,20	0,00	1,00	42,39	58.981,78	81.191,56
	LF.4	3,22	0,30	0,00	0,20	0,00	1,00	10,42	15.627,05	22.040,77
	LF.5	5,12	0,30	0,00	0,20	0,00	1,00	27,36	38.230,46	53.327,13
	LF.6	5,80	0,30	0,00	0,20	0,00	1,00	26,48	41.770,75	60.059,06
	LF.7	5,80	0,30	0,00	0,20	0,00	1,00	25,96	36.386,78	50.751,75
	LF.8	5,80	0,30	0,00	0,20	0,00	1,00	25,96	36.248,05	50.489,62
	LF.9	6,78	0,30	0,00	0,20	0,00	1,00	37,77	55.080,53	77.911,62
	LF.1'	8,74	0,30	0,00	0,20	0,00	1,00	40,37	60.006,34	87.727,51
	LF.2'	5,18	0,30	0,00	0,20	0,00	1,00	16,38	27.534,96	41.363,80
	LF.3'	5,18	0,30	0,00	0,20	0,00	1,00	16,38	27.534,96	41.363,80
	LF.4'	8,74	0,30	0,00	0,20	0,00	1,00	42,83	61.120,52	88.155,25
	LF.5'	5,18	0,30	0,00	0,20	0,00	1,00	16,38	27.534,96	41.363,80
	LF.6'	5,18	0,30	0,00	0,20	0,00	1,00	16,38	27.534,96	41.363,80
	LF.7'	4,82	0,30	0,00	0,20	0,00	1,00	9,65	14.743,20	21.256,92
	LF.8'	4,38	0,30	0,00	0,20	0,00	1,00	10,06	13.570,23	18.982,21
LF.9'	5,10	0,30	0,00	0,20	0,00	1,00	22,15	25.207,78	36.379,65	
LF.10'	9,58	0,30	0,00	0,20	0,00	1,00	56,06	62.100,18	88.408,14	
LF.11'	13,22	0,30	0,00	0,20	0,00	1,00	79,66	91.259,08	129.614,51	
LG	LG.1	9,66	0,30	0,00	0,20	0,00	1,00	62,03	71.618,21	101.613,73
LH	LH.1'	9,80	0,30	0,00	0,20	0,00	1,00	43,03	64.264,79	93.943,06
	LH.1	14,62	0,30	0,00	0,20	0,00	1,00	110,71	176.167,28	252.371,33
	LH.2	6,97	0,30	0,00	0,20	0,00	1,00	91,47	131.905,43	191.240,07
	LH.3	4,70	0,30	0,00	0,20	0,00	1,00	76,01	111.573,98	160.085,07

Tabel 1 continuare

ÎNCĂRCĂRI VERTICALE PE ȘPALEȚI										
Diafrag	Șpalet	Lungimi centuri (18x30)	Înălțimi centuri (18x30)	Lungimi centuri atic (20x25)	Înălțimi centuri atic (20x25)	L. zidarie atic	H. zidarie atic	Camasa ial abeton armat	N _{ed}	N _{sd}
		[m]	[m]	[m]	[m]	25cm	100cm			
		[m]	[m]	[m]	[m]	[m]	[m]	[m]	[m ²]	[daN]
LI	LI.1	2,13	0,30	0,00	0,20	0,00	1,00	14,02	22.049,14	31.746,87
	LI.2	3,03	0,30	0,00	0,20	0,00	1,00	16,56	28.008,56	41.041,66
	LI.3	3,05	0,30	0,00	0,20	0,00	1,00	16,66	28.151,21	41.234,23
	LI.4	2,13	0,30	0,00	0,20	0,00	1,00	14,21	26.618,49	40.212,89
	LI.5	11,86	0,30	0,00	0,20	0,00	1,00	78,96	114.193,36	161.643,57
LJ	LJ.1	2,13	0,30	0,00	0,20	0,00	1,00	14,21	22.536,04	32.519,38
	LJ.2	3,05	0,30	0,00	0,20	0,00	1,00	16,66	28.547,51	41.942,04
	LJ.3	3,05	0,30	0,00	0,20	0,00	1,00	16,66	28.547,51	41.942,04
	LJ.4	2,90	0,30	0,00	0,20	0,00	1,00	14,27	25.522,14	38.099,22
	LJ.5	3,26	0,30	0,00	0,20	0,00	1,00	20,28	35.961,50	53.723,93
	LJ.6	8,96	0,30	0,00	0,20	0,00	1,00	44,73	63.492,06	88.351,27
LK	LK.1	13,68	0,30	0,00	0,20	0,00	1,00	63,53	108.773,16	163.887,37
	LK.2	11,59	0,30	0,00	0,20	0,00	1,00	131,04	216.492,11	325.474,35
	LK.3	11,87	0,30	0,00	0,20	0,00	1,00	102,68	193.157,00	300.062,70
	LK.4	4,36	0,30	0,00	0,20	0,00	1,00	36,98	68.343,03	106.051,54
	LK.5	3,78	0,30	0,00	0,20	0,00	1,00	16,27	22.579,72	32.324,93
LL	LL.1	4,36	0,30	0,00	0,20	0,00	1,00	15,15	23.915,37	33.183,95
	LL.2	7,20	0,30	0,00	0,20	0,00	1,00	24,56	52.309,12	79.308,46
	LL.3	7,20	0,30	0,00	0,20	0,00	1,00	24,79	53.109,27	80.601,81
	LL.4	7,20	0,30	0,00	0,20	0,00	1,00	25,03	53.552,77	81.272,53
	LL.5	7,20	0,30	0,00	0,20	0,00	1,00	25,03	53.764,17	81.678,82
	LL.6	8,12	0,30	0,00	0,20	0,00	1,00	32,75	58.906,34	86.155,35
	LL.7	6,16	0,30	0,00	0,20	0,00	1,00	19,57	50.147,04	79.684,70
	LL.8	6,16	0,30	0,00	0,20	0,00	1,00	19,57	43.758,26	67.024,71
	LL.9	8,42	0,30	0,00	0,20	0,00	1,00	32,56	59.499,01	87.214,51
	LL.10	7,20	0,30	0,00	0,20	0,00	1,00	25,03	54.163,88	82.471,71
	LL.11	7,20	0,30	0,00	0,20	0,00	1,00	25,03	54.375,28	82.878,00
	LL.12	7,20	0,30	0,00	0,20	0,00	1,00	24,79	51.827,72	78.183,67
	LL.13	7,18	0,30	0,00	0,20	0,00	1,00	24,74	45.615,40	67.153,36
	LL.14	3,32	0,30	0,00	0,20	0,00	1,00	11,10	17.957,83	25.216,12

Tabel 2

DISTRIBUȚIA FORȚEI SEISMICE										
Diafrag	Șpalet	l_{wp}	l_{beton}	t_p	t_{beton}	H_p	$E_{zidarie}$	E_{beton}	$I_{zidarie}$	I_{beton}
		[cm]	[cm]	[cm]	[cm]	[cm]	[daN/cm ²]	[daN/cm ²]	[cm ⁴]	[cm ⁴]
T1	T1.1	343	343	56	16	5,05	12813,44	270.000	1,883E+08	5,380E+07
	T1.2	338	338	56	16	5,05	12813,44	270.000	1,802E+08	5,149E+07
	T1.3	197	197	56	16	5,05	12813,44	270.000	3,568E+07	1,019E+07
	T1.4	171	171	56	16	5,05	12813,44	270.000	2,333E+07	6,667E+06
	T1.5	163	163	56	16	5,05	12813,44	270.000	2,021E+07	5,774E+06
	T1.6	197	197	56	16	5,05	12813,44	270.000	3,568E+07	1,019E+07
	T1.7	94	94	56	16	5,05	12813,44	270.000	3,876E+06	1,107E+06
	T1.8	136	136	56	16	5,05	12813,44	270.000	1,174E+07	3,354E+06
	T1.9	131	131	56	16	5,05	12813,44	270.000	1,049E+07	2,997E+06
	T1.10	99	99	56	16	5,05	12813,44	270.000	4,528E+06	1,294E+06
T2	T2.1	170	170	56	16	5,05	12813,44	270.000	2,293E+07	6,551E+06
	T2.2	175	175	56	16	5,05	12813,44	270.000	2,501E+07	7,146E+06
	T2.3	170	170	56	16	5,05	12813,44	270.000	2,293E+07	6,551E+06
	T2.4	175	175	56	16	5,05	12813,44	270.000	2,501E+07	7,146E+06
	T2.5	188	188	56	16	5,05	12813,44	270.000	3,101E+07	8,860E+06
	T2.6	187	187	56	16	5,05	12813,44	270.000	3,052E+07	8,719E+06
	T2.7	175	175	56	16	5,05	12813,44	270.000	2,501E+07	7,146E+06
	T2.8	190	190	56	16	5,05	12813,44	270.000	3,201E+07	9,145E+06
	T2.9	175	175	56	16	5,05	12813,44	270.000	2,501E+07	7,146E+06
	T2.10	167	167	56	16	5,05	12813,44	270.000	2,173E+07	6,210E+06
	T2.11	449	449	56	16	5,05	12813,44	270.000	4,224E+08	1,207E+08
T3	T3.1	112	112	42	16	5,05	12813,44	270.000	4,917E+06	1,873E+06
	T3.2	805	805	42	16	5,05	12813,44	270.000	1,826E+09	6,955E+08
	T3.3	531	531	42	16	5,05	12813,44	270.000	5,240E+08	1,996E+08
	T3.3'	84	84	42	16	5,05	12813,44	270.000	2,074E+06	7,903E+05
	T3.4'	84	84	42	16	5,05	12813,44	270.000	2,074E+06	7,903E+05
	T3.4	572	572	42	16	5,05	12813,44	270.000	6,550E+08	2,495E+08
	T3.5	502	502	42	16	5,05	12813,44	270.000	4,428E+08	1,687E+08
	T3.6	637	637	42	16	5,05	12813,44	270.000	9,047E+08	3,446E+08
T4	T4.1	113	113	56	16	5,05	12813,44	270.000	6,734E+06	1,924E+06
	T4.2	120	120	56	16	5,05	12813,44	270.000	8,064E+06	2,304E+06
	T4.3	120	120	56	16	5,05	12813,44	270.000	8,064E+06	2,304E+06
	T4.4	105	105	56	16	5,05	12813,44	270.000	5,402E+06	1,544E+06
	T4.5	172	172	42	16	5,05	12813,44	270.000	1,781E+07	6,785E+06
	T4.5'	116	116	42	16	5,05	12813,44	270.000	5,463E+06	2,081E+06
	T4.6'	116	116	42	16	5,05	12813,44	270.000	5,463E+06	2,081E+06
	T4.6	519	519	56	16	5,05	12813,44	270.000	6,524E+08	1,864E+08
	T4.7	171	171	56	16	5,05	12813,44	270.000	2,333E+07	6,667E+06
	T4.8	171	171	56	16	5,05	12813,44	270.000	2,333E+07	6,667E+06
	T4.9	171	171	56	16	5,05	12813,44	270.000	2,333E+07	6,667E+06
	T4.10	64	64	56	16	5,05	12813,44	270.000	1,223E+06	3,495E+05
T4.11	566	566	42	16	5,05	12813,44	270.000	6,346E+08	2,418E+08	
T4.12	431	431	42	16	5,05	12813,44	270.000	2,802E+08	1,068E+08	

Tabel 2 continuare

DISTRIBUȚIA FORȚEI SEISMICE										
Diafrag	Șpalet	l_{wp}	l_{beton}	t_p	t_{beton}	H_p	$E_{zidarie}$	E_{beton}	$I_{zidarie}$	I_{beton}
		[cm]	[cm]	[cm]	[cm]	[cm]	[daN/cm ²]	[daN/cm ²]	[cm ⁴]	[cm ⁴]
T5	T5.1	280	280	56	16	5,05	12813,44	270.000	1,024E+08	2,927E+07
	T5.2	367	367	56	16	5,05	12813,44	270.000	2,307E+08	6,591E+07
	T5.1'	401	401	42	16	5,05	12813,44	270.000	2,257E+08	8,597E+07
	T5.2'	401	401	42	16	5,05	12813,44	270.000	2,257E+08	8,597E+07
	T5.3	113	113	56	16	5,05	12813,44	270.000	6,734E+06	1,924E+06
	T5.4	135	135	56	16	5,05	12813,44	270.000	1,148E+07	3,281E+06
	T5.5	133	133	56	16	5,05	12813,44	270.000	1,098E+07	3,137E+06
	T5.6	119	119	56	16	5,05	12813,44	270.000	7,864E+06	2,247E+06
	T5.7	1.921	1.921	56	16	5,05	12813,44	270.000	3,308E+10	9,452E+09
	T5.8	440	440	42	16	5,05	12813,44	270.000	2,981E+08	1,136E+08
T5.9	277	277	42	16	5,05	12813,44	270.000	7,439E+07	2,834E+07	
T5.10	242	242	42	16	5,05	12813,44	270.000	4,960E+07	1,890E+07	
T6	T6.1	510	510	56	16	5,05	12813,44	270.000	6,190E+08	1,769E+08
	T6.2	685	685	56	16	5,05	12813,44	270.000	1,500E+09	4,286E+08
T7	T7.1	286	286	56	16	5,05	12813,44	270.000	1,092E+08	3,119E+07
	T7.2	334	334	56	16	5,05	12813,44	270.000	1,739E+08	4,968E+07
	T7.3	1.911	1.911	56	16	5,05	12813,44	270.000	3,257E+10	9,305E+09
	T7.3'	420	420	28	16	5,05	12813,44	270.000	1,729E+08	9,878E+07
T8	T8.1	437	437	42	16	5,05	12813,44	270.000	2,921E+08	1,113E+08
	T8.2	463	463	42	16	5,05	12813,44	270.000	3,474E+08	1,323E+08
T9	T9.1'	329	329	28	16	5,05	12813,44	270.000	8,309E+07	4,748E+07
	T9.2'	299	299	28	16	5,05	12813,44	270.000	6,237E+07	3,564E+07
	T9.3'	112	112	42	16	5,05	12813,44	270.000	4,917E+06	1,873E+06
	T9.4'	258	258	42	16	5,05	12813,44	270.000	6,011E+07	2,290E+07
	T9.1	109	109	56	16	5,05	12813,44	270.000	6,043E+06	1,727E+06
	T9.2	95	95	56	16	5,05	12813,44	270.000	4,001E+06	1,143E+06
	T9.3	95	95	56	16	5,05	12813,44	270.000	4,001E+06	1,143E+06
	T9.4	179	179	56	16	5,05	12813,44	270.000	2,676E+07	7,647E+06
	T9.5	506	506	42	16	5,05	12813,44	270.000	4,534E+08	1,727E+08
T9.6	194	194	42	16	5,05	12813,44	270.000	2,555E+07	9,735E+06	
T9.7	65	65	42	16	5,05	12813,44	270.000	9,612E+05	3,662E+05	
T10	T10.1	1.007	1.007	56	16	5,05	12813,44	270.000	4,765E+09	1,362E+09
	T10.2	153	153	56	16	5,05	12813,44	270.000	1,671E+07	4,775E+06
	T10.3	129	129	56	16	5,05	12813,44	270.000	1,002E+07	2,862E+06
	T10.4	168	168	56	16	5,05	12813,44	270.000	2,213E+07	6,322E+06
	T10.5	161	161	56	16	5,05	12813,44	270.000	1,948E+07	5,564E+06
	T10.6	441	441	56	16	5,05	12813,44	270.000	4,002E+08	1,144E+08
LA	LA.1	480	480	56	16	5,05	12813,44	270.000	5,161E+08	1,475E+08
	LA.2	154	154	56	16	5,05	12813,44	270.000	1,704E+07	4,870E+06
	LA.3	152	152	56	16	5,05	12813,44	270.000	1,639E+07	4,682E+06
	LA.4	155	155	56	16	5,05	12813,44	270.000	1,738E+07	4,965E+06
	LA.5	171	171	56	16	5,05	12813,44	270.000	2,333E+07	6,667E+06
	LA.6	154	154	56	16	5,05	12813,44	270.000	1,704E+07	4,870E+06
	LA.7	168	168	56	16	5,05	12813,44	270.000	2,213E+07	6,322E+06

Tabel 2 continuare

DISTRIBUȚIA FORȚEI SEISMICE										
Diafrag	Șpalet	l_{wp}	l_{beton}	t_p	t_{beton}	H_p	$E_{zidarie}$	E_{beton}	$I_{zidarie}$	I_{beton}
		[cm]	[cm]	[cm]	[cm]	[cm]	[daN/cm ²]	[daN/cm ²]	[cm ⁴]	[cm ⁴]
LB	LB.1	670	670	42	16	5,05	12813,44	270.000	1,053E+09	4,010E+08
	LB.2	272	272	42	16	5,05	12813,44	270.000	7,043E+07	2,683E+07
	LB.3	446	446	42	16	5,05	12813,44	270.000	3,105E+08	1,183E+08
	LB.4	236	236	42	16	5,05	12813,44	270.000	4,600E+07	1,753E+07
	LB.5	493	493	42	16	5,05	12813,44	270.000	4,194E+08	1,598E+08
	LB.1'	393	393	28	16	5,05	12813,44	270.000	1,416E+08	8,093E+07
	LB.2'	309	309	28	16	5,05	12813,44	270.000	6,884E+07	3,934E+07
	LB.3'	104	104	28	16	5,05	12813,44	270.000	2,625E+06	1,500E+06
	LB.4'	262	262	28	16	5,05	12813,44	270.000	4,196E+07	2,398E+07
LC	LC.1	533	533	42	16	5,05	12813,44	270.000	5,300E+08	2,019E+08
	LC.2	111	111	42	16	5,05	12813,44	270.000	4,787E+06	1,824E+06
	LC.3	179	179	56	16	5,05	12813,44	270.000	2,676E+07	7,647E+06
	LC.4	177	177	56	16	5,05	12813,44	270.000	2,588E+07	7,394E+06
	LC.5	178	178	56	16	5,05	12813,44	270.000	2,632E+07	7,520E+06
	LC.6	165	165	56	16	5,05	12813,44	270.000	2,096E+07	5,990E+06
	LC.7	94	94	56	16	5,05	12813,44	270.000	3,876E+06	1,107E+06
LD	LD.1	108	108	56	16	5,05	12813,44	270.000	5,879E+06	1,680E+06
	LD.2	110	110	56	16	5,05	12813,44	270.000	6,211E+06	1,775E+06
	LD.3	110	110	56	16	5,05	12813,44	270.000	6,211E+06	1,775E+06
	LD.4	149	149	56	16	5,05	12813,44	270.000	1,544E+07	4,411E+06
LE	LE.1	670	670	56	16	5,05	12813,44	270.000	1,404E+09	4,010E+08
LF	LF.1	491	491	42	16	5,05	12813,44	270.000	4,143E+08	1,578E+08
	LF.2	137	137	56	16	5,05	12813,44	270.000	1,200E+07	3,428E+06
	LF.3	392	392	56	16	5,05	12813,44	270.000	2,811E+08	8,032E+07
	LF.4	86	86	56	16	5,05	12813,44	270.000	2,968E+06	8,481E+05
	LF.5	186	186	56	16	5,05	12813,44	270.000	3,003E+07	8,580E+06
	LF.6	150	150	56	16	5,05	12813,44	270.000	1,575E+07	4,500E+06
	LF.7	150	150	56	16	5,05	12813,44	270.000	1,575E+07	4,500E+06
	LF.8	150	150	56	16	5,05	12813,44	270.000	1,575E+07	4,500E+06
	LF.9	269	269	56	16	5,05	12813,44	270.000	9,084E+07	2,595E+07
	LF.1'	437	437	42	16	5,05	12813,44	270.000	2,921E+08	1,113E+08
	LF.2'	79	79	42	16	5,05	12813,44	270.000	1,726E+06	6,574E+05
	LF.3'	79	79	42	16	5,05	12813,44	270.000	1,726E+06	6,574E+05
	LF.4'	437	437	42	16	5,05	12813,44	270.000	2,921E+08	1,113E+08
	LF.5'	79	79	42	16	5,05	12813,44	270.000	1,726E+06	6,574E+05
	LF.6'	79	79	42	16	5,05	12813,44	270.000	1,726E+06	6,574E+05
	LF.7'	191	191	42	16	5,05	12813,44	270.000	2,439E+07	9,290E+06
	LF.8'	179	179	42	16	5,05	12813,44	270.000	2,007E+07	7,647E+06
LF.9'	205	205	28	16	5,05	12813,44	270.000	2,010E+07	1,149E+07	
LF.10'	429	429	28	16	5,05	12813,44	270.000	1,842E+08	1,053E+08	
LF.11'	661	661	28	16	5,05	12813,44	270.000	6,739E+08	3,851E+08	
LG	LG.1	483	483	42	16	5,05	12813,44	270.000	3,944E+08	1,502E+08

Tabel 2continuare

DISTRIBUȚIA FORȚEI SEISMICE										
Diafrag	Șpalet	l_{wp}	l_{beton}	t_p	t_{beton}	H_p	$E_{zidarie}$	E_{beton}	$I_{zidarie}$	I_{beton}
		[cm]	[cm]	[cm]	[cm]	[cm]	[daN/cm ²]	[daN/cm ²]	[cm ⁴]	[cm ⁴]
LH	LH.1'	490	490	42	16	5,05	12813,44	270.000	4,118E+08	1,569E+08
	LH.1	1.392	1.392	56	16	5,05	12813,44	270.000	1,259E+10	3,596E+09
	LH.2	577	577	42	16	5,05	12813,44	270.000	6,724E+08	2,561E+08
	LH3	420	420	56	16	5,05	12813,44	270.000	3,457E+08	9,878E+07
LI	LI.1	120	120	56	16	5,05	12813,44	270.000	8,064E+06	2,304E+06
	LI.2	118	118	56	16	5,05	12813,44	270.000	7,667E+06	2,191E+06
	LI.3	120	120	56	16	5,05	12813,44	270.000	8,064E+06	2,304E+06
	LI.4	120	120	56	16	5,05	12813,44	270.000	8,064E+06	2,304E+06
	LI.5	593	593	56	16	5,05	12813,44	270.000	9,731E+08	2,780E+08
LJ	LJ.1	120	120	56	16	5,05	12813,44	270.000	8,064E+06	2,304E+06
	LJ.2	120	120	56	16	5,05	12813,44	270.000	8,064E+06	2,304E+06
	LJ.3	120	120	56	16	5,05	12813,44	270.000	8,064E+06	2,304E+06
	LJ.4	97	97	56	16	5,05	12813,44	270.000	4,259E+06	1,217E+06
	LJ.5	163	163	56	16	5,05	12813,44	270.000	2,021E+07	5,774E+06
	LJ.6	448	448	56	16	5,05	12813,44	270.000	4,196E+08	1,199E+08
LK	LK.1	614	614	42	16	5,05	12813,44	270.000	8,102E+08	3,086E+08
	LK.2	1.089	1.089	42	16	5,05	12813,44	270.000	4,520E+09	1,722E+09
	LK.3	1.117	1.117	42	16	5,05	12813,44	270.000	4,878E+09	1,858E+09
	LK.4	321	321	42	16	5,05	12813,44	270.000	1,158E+08	4,410E+07
	LK.5	144	144	42	16	5,05	12813,44	270.000	1,045E+07	3,981E+06
LL	LL.1	143	143	70	16	5,05	12813,44	270.000	1,706E+07	3,899E+06
	LL.2	210	210	70	16	5,05	12813,44	270.000	5,402E+07	1,235E+07
	LL.3	210	210	70	16	5,05	12813,44	270.000	5,402E+07	1,235E+07
	LL.4	210	210	70	16	5,05	12813,44	270.000	5,402E+07	1,235E+07
	LL.5	210	210	70	16	5,05	12813,44	270.000	5,402E+07	1,235E+07
	LL.6	276	276	70	16	5,05	12813,44	270.000	1,226E+08	2,803E+07
	LL.7	133	133	70	16	5,05	12813,44	270.000	1,372E+07	3,137E+06
	LL.8	133	133	70	16	5,05	12813,44	270.000	1,372E+07	3,137E+06
	LL.9	291	291	70	16	5,05	12813,44	270.000	1,437E+08	3,286E+07
	LL.10	210	210	70	16	5,05	12813,44	270.000	5,402E+07	1,235E+07
	LL.11	210	210	70	16	5,05	12813,44	270.000	5,402E+07	1,235E+07
	LL.12	210	210	70	16	5,05	12813,44	270.000	5,402E+07	1,235E+07
	LL.13	209	209	70	16	5,05	12813,44	270.000	5,325E+07	1,217E+07
	LL.14	91	91	70	16	5,05	12813,44	270.000	4,396E+06	1,005E+06

Tabel 2 continuare

DISTRIBUTIA FORTEI SEISMICE							
Diafrag	Șpalet	E_z	I_p	A_i	R_i	K_g	F_{bi}
		[daN/cmp]	[cm ⁴]	[cm ²]	[daN/cm]		[daN]
T1	T1.1	6,997E+04	2,460E+08	24804,8	1,145E+08	0,015	39881,99
	T1.2	6,997E+04	2,355E+08	24444,8	1,129E+08	0,015	39302,83
	T1.3	6,997E+04	4,869E+07	14452,3	6,669E+07	0,009	23224,05
	T1.4	6,997E+04	2,524E+07	11531,7	5,319E+07	0,007	18522,43
	T1.5	6,997E+04	2,243E+07	11120,0	5,128E+07	0,007	17859,13
	T1.6	6,997E+04	4,817E+07	14268,7	6,584E+07	0,009	22928,95
	T1.7	6,997E+04	6,054E+06	7216,2	3,321E+07	0,004	11566,69
	T1.8	6,997E+04	1,247E+07	9047,6	4,170E+07	0,005	14521,34
	T1.9	6,997E+04	1,109E+07	8687,6	4,003E+07	0,005	13941,26
	T1.10	6,997E+04	7,144E+06	7626,4	3,511E+07	0,005	12228,52
T2	T2.1	6,997E+04	3,171E+07	12523,3	5,777E+07	0,007	20118,67
	T2.2	6,997E+04	2,862E+07	12086,7	5,575E+07	0,007	19415,67
	T2.3	6,997E+04	2,615E+07	11726,7	5,409E+07	0,007	18835,98
	T2.4	6,997E+04	2,862E+07	12086,7	5,575E+07	0,007	19415,67
	T2.5	6,997E+04	4,248E+07	13810,6	6,372E+07	0,008	22191,00
	T2.6	6,997E+04	4,191E+07	13747,3	6,343E+07	0,008	22089,21
	T2.7	6,997E+04	2,862E+07	12086,7	5,575E+07	0,007	19415,67
	T2.8	6,997E+04	3,695E+07	13166,7	6,075E+07	0,008	21154,50
	T2.9	6,997E+04	2,862E+07	12086,7	5,575E+07	0,007	19415,67
	T2.10	6,997E+04	3,010E+07	12307,3	5,677E+07	0,007	19770,89
	T2.11	6,997E+04	5,789E+08	33794,1	1,560E+08	0,020	54341,90
T3	T3.1	8,376E+04	8,352E+06	6960,0	3,839E+07	0,005	13369,25
	T3.2	8,376E+04	2,519E+09	1725,5	9,540E+06	0,001	3322,28
	T3.3	8,376E+04	6,215E+08	27949,9	1,545E+08	0,020	53808,07
	T3.3'	8,376E+04	1,351E+06	5044,2	2,760E+07	0,004	9610,45
	T3.4'	8,376E+04	1,351E+06	5044,2	2,760E+07	0,004	9610,45
	T3.4	8,376E+04	8,263E+08	32232,6	1,782E+08	0,023	62053,94
	T3.5	8,376E+04	6,210E+08	29476,0	1,629E+08	0,021	56745,62
	T3.6	8,376E+04	1,257E+09	37245,0	2,059E+08	0,027	71705,71
T4	T3.7	8,376E+04	1,179E+08	16820,0	9,296E+07	0,012	32372,23
	T4.1	6,997E+04	7,220E+06	6951,6	3,202E+07	0,004	11149,81
	T4.2	6,997E+04	9,216E+06	7680,0	3,538E+07	0,005	12322,59
	T4.3	6,997E+04	9,079E+06	7641,6	3,521E+07	0,005	12260,67
	T4.4	6,997E+04	5,284E+06	6316,7	2,907E+07	0,004	10124,86
	T4.5	8,376E+04	1,611E+07	7763,3	4,286E+07	0,006	14927,19
	T4.5'	8,376E+04	6,031E+05	5914,396	3,182E+07	0,004	11079,73
	T4.6'	8,376E+04	5,963E+06	5876,99	3,240E+07	0,004	11284,08
	T4.6	6,997E+04	7,293E+08	29316,45	1,354E+08	0,018	47144,07
	T4.7	6,997E+04	2,449E+07	10617,33	4,897E+07	0,006	17054,83
	T4.8	6,997E+04	2,449E+07	10617,33	4,897E+07	0,006	17054,83
	T4.9	6,997E+04	2,449E+07	10617,33	4,897E+07	0,006	17054,83
T4.10	6,997E+04	1,155E+06	4035,667	1,845E+07	0,002	6426,92	
T4.11	8,376E+04	8,764E+08	32828	1,815E+08	0,023	63200,51	
T4.12	8,376E+04	4,117E+08	25520	1,411E+08	0,018	49127,72	

Tabel 2 continuare

DISTRIBUTIA FORTEI SEISMICE							
Diafrag	Șpalet	E_z	I_p	A_i	R_i	K_g	F_{bi}
		[daN/cmp]	[cm ⁴]	[cm ²]	[daN/cm]		[daN]
T5	T5.1	6,997E+04	1,317E+08	20160	9,306E+07	0,012	32409,13
	T5.2	6,997E+04	2,601E+08	24940,93	1,152E+08	0,015	40101,43
	T5.1'	8,376E+04	3,149E+08	23505,88	1,299E+08	0,017	45248,78
	T5.2'	8,376E+04	2,998E+08	22959,98	1,269E+08	0,016	44197,69
	T5.3	6,997E+04	6,122E+06	6022,91	2,774E+07	0,004	9659,67
	T5.4	6,997E+04	1,312E+07	8640	3,983E+07	0,005	13869,77
	T5.5	6,997E+04	1,248E+07	8466,898	3,903E+07	0,005	13591,13
	T5.6	6,997E+04	7,783E+06	6695,526	3,085E+07	0,004	10742,18
	T5.7	6,997E+04	4,350E+10	139358,5	6,436E+08	0,083	224127,28
	T5.8	8,376E+04	4,188E+08	25960	1,435E+08	0,019	49974,75
T5.9	8,376E+04	1,050E+08	16182	8,943E+07	0,012	31143,31	
T5.10	8,376E+04	6,850E+07	14036	7,756E+07	0,010	27009,31	
T6	T6.1	6,997E+04	8,193E+08	37076,21	1,712E+08	0,022	59621,76
	T6.2	6,997E+04	2,011E+09	50013,7	2,310E+08	0,030	80431,01
T7	T7.1	6,997E+04	1,404E+08	20592	9,506E+07	0,012	33104,21
	T7.2	6,997E+04	1,494E+08	21024	9,705E+07	0,013	33799,27
	T7.3	6,997E+04	5,319E+10	150048,6	6,930E+08	0,090	241320,19
	T7.3'	1,063E+05	2,063E+08	16084,45	1,129E+08	0,015	39306,82
T8	T8.1	8,376E+04	3,403E+08	22414,5	1,239E+08	0,016	43148,95
	T8.2	8,376E+04	4,784E+08	26829,76	1,483E+08	0,019	51649,97
T9	T9.1'	1,063E+05	1,365E+08	15134	1,062E+08	0,014	36980,68
	T9.2'	1,063E+05	1,025E+08	13754	9,650E+07	0,012	33606,36
	T9.3'	8,376E+04	8,640E+06	7200	3,971E+07	0,005	13830,26
	T9.4'	8,376E+04	1,012E+08	17829,93	9,853E+07	0,013	34312,72
	T9.1	6,997E+04	6,170E+06	6201,802	2,856E+07	0,004	9945,99
	T9.2	6,997E+04	4,573E+06	6080	2,797E+07	0,004	9741,72
	T9.3	6,997E+04	4,573E+06	6080	2,797E+07	0,004	9741,72
	T9.4	6,997E+04	3,131E+07	11724,5	5,409E+07	0,007	18836,44
	T9.5	8,376E+04	6,262E+08	29348	1,622E+08	0,021	56499,30
	T9.6	8,376E+04	3,529E+07	11252	6,215E+07	0,008	21645,11
T9.7	8,376E+04	1,327E+06	3770	2,068E+07	0,003	7200,83	
T10	T10.1	6,997E+04	6,177E+09	72701,1	3,357E+08	0,043	116920,76
	T10.2	6,997E+04	2,692E+07	11868,07	5,474E+07	0,007	19063,52
	T10.3	6,997E+04	1,365E+07	9450,179	4,356E+07	0,006	15168,90
	T10.4	6,997E+04	2,593E+07	11697,75	5,395E+07	0,007	18789,39
	T10.5	6,997E+04	2,227E+07	11105,82	5,122E+07	0,007	17836,20
	T10.6	6,997E+04	4,831E+08	28733,65	1,327E+08	0,017	46204,33
LA	LA.1	6,997E+04	6,583E+08	35427,48	1,636E+08	0,022	58837,95
	LA.2	6,997E+04	1,971E+07	10677,33	4,923E+07	0,007	17708,44
	LA.3	6,997E+04	1,924E+07	10597,93	4,887E+07	0,007	17576,30
	LA.4	6,997E+04	2,021E+07	10769,87	4,966E+07	0,007	17862,35
	LA.5	6,997E+04	2,664E+07	11798,67	5,442E+07	0,007	19573,64
	LA.6	6,997E+04	1,928E+07	10587,61	4,882E+07	0,007	17559,25
	LA.7	6,997E+04	3,119E+07	12451,09	5,744E+07	0,008	20658,54

Tabel 2 continuare

DISTRIBUTIA FORTEI SEISMICE							
Diafrag	Șpalet	E_z	I_p	A_i	R_i	K_g	F_{bi}
		[daN/cmp]	[cm ⁴]	[cm ²]	[daN/cm]		[daN]
LB	LB.1	8,376E+04	1,525E+09	39802,51	2,200E+08	0,029	79144,17
	LB.2	8,376E+04	9,726E+07	15776	8,718E+07	0,012	31357,25
	LB.3	8,376E+04	4,288E+08	25868	1,430E+08	0,019	51431,50
	LB.4	8,376E+04	6,353E+07	13688	7,563E+07	0,010	27202,92
	LB.5	8,376E+04	5,737E+08	28504,48	1,576E+08	0,021	56675,14
	LB.1'	1,063E+05	2,226E+08	17291,99	1,213E+08	0,016	43644,08
	LB.2'	1,063E+05	1,023E+08	11868	8,327E+07	0,011	29950,96
	LB.3'	1,063E+05	3,734E+06	4072	2,849E+07	0,004	10248,11
LB.4'	1,063E+05	6,481E+07	11144,88	7,819E+07	0,010	28121,59	
LC	LC.1	8,376E+04	7,738E+08	31494	1,741E+08	0,023	62620,76
	LC.2	8,376E+04	5,904E+06	6436,125	3,547E+07	0,005	12759,26
	LC.3	6,997E+04	3,080E+07	12386,25	5,714E+07	0,008	20550,80
	LC.4	6,997E+04	2,984E+07	12258,46	5,655E+07	0,008	20338,27
	LC.5	6,997E+04	2,583E+07	11473,78	5,292E+07	0,007	19034,60
	LC.6	6,997E+04	2,077E+07	10690,86	4,930E+07	0,007	17732,21
	LC.7	6,997E+04	3,838E+06	5798,976	2,667E+07	0,004	9591,34
LD	LD.1	6,997E+04	5,124E+06	6750,91	3,106E+07	0,004	11171,91
	LD.2	6,997E+04	6,979E+06	7551,065	3,477E+07	0,005	12504,38
	LD.3	6,997E+04	7,070E+06	7582,5	3,491E+07	0,005	12556,77
	LD.4	6,997E+04	1,149E+07	7857,075	3,622E+07	0,005	13025,79
LE	LE.1	6,997E+04	1,855E+09	49580	2,290E+08	0,031	82348,77
LF	LF.1	8,376E+04	7,653E+08	31378	1,735E+08	0,023	62390,06
	LF.2	6,997E+04	1,278E+07	8995,322	4,146E+07	0,006	14911,97
	LF.3	6,997E+04	3,389E+08	27605,13	1,275E+08	0,017	45843,00
	LF.4	6,997E+04	3,441E+06	5885,778	2,705E+07	0,004	9729,43
	LF.5	6,997E+04	3,607E+07	12581,32	5,805E+07	0,008	20877,60
	LF.6	6,997E+04	1,705E+07	10128,27	4,670E+07	0,006	16795,32
	LF.7	6,997E+04	1,683E+07	10077,21	4,646E+07	0,006	16710,43
	LF.8	6,997E+04	1,687E+07	10083,94	4,649E+07	0,006	16721,63
	LF.9	6,997E+04	1,100E+08	18963	8,753E+07	0,012	31483,16
	LF.1'	8,376E+04	3,525E+08	27170,36	1,502E+08	0,020	54018,32
	LF.2'	8,376E+04	8,146E+05	4186,161	2,281E+07	0,003	8205,00
	LF.3'	8,376E+04	7,642E+05	3989,443	2,174E+07	0,003	7817,64
	LF.4'	8,376E+04	3,536E+08	24186,5	1,337E+08	0,018	48087,19
	LF.5'	8,376E+04	8,133E+05	4183,013	2,279E+07	0,003	8198,72
	LF.6'	8,376E+04	8,009E+05	4069,946	2,218E+07	0,003	7978,48
	LF.7'	8,376E+04	3,457E+07	11430	6,314E+07	0,008	22708,06
LF.8'	8,376E+04	2,868E+07	10740	5,932E+07	0,008	21334,59	
LF.9'	1,063E+05	3,166E+07	9026,413	6,330E+07	0,008	22768,81	
LF.10'	1,063E+05	2,904E+08	18894,89	1,326E+08	0,018	47691,41	
LF.11'	1,063E+05	1,240E+09	36184,26	2,540E+08	0,034	91339,73	
LG	LG.1	8,376E+04	5,365E+08	27872,9	1,541E+08	0,021	55419,02

Tabel 2 continuare

DISTRIBUTIA FORTEI SEISMICE							
Diafrag	Șpalet	E _z	I _p	A _i	R _i	K _g	F _{bi}
		[daN/cm ²]	[cm ⁴]	[cm ²]	[daN/cm]		[daN]
LH	LH.1'	8,376E+04	5,381E+08	27486,03	1,519E+08	0,020	54649,95
	LH.1	6,997E+04	1,430E+10	95347,35	4,403E+08	0,059	158374,01
	LH.2	8,376E+04	9,441E+08	33836	1,871E+08	0,025	67278,38
	LH3	6,997E+04	2,953E+08	20624,59	9,523E+07	0,013	34251,76
LI	LI.1	6,997E+04	8,888E+06	7965	3,669E+07	0,005	13196,78
	LI.2	6,997E+04	9,216E+06	7679,99	3,538E+07	0,005	12726,82
	LI.3	6,997E+04	9,216E+06	7679,99	3,538E+07	0,005	12726,82
	LI.4	6,997E+04	7,246E+06	6517,281	3,002E+07	0,004	10798,03
	LI.5	6,997E+04	1,256E+09	42751,59	1,974E+08	0,026	71005,80
LJ	LJ.1	6,997E+04	7,242E+06	6462,833	2,977E+07	0,004	10708,03
	LJ.2	6,997E+04	9,216E+06	7680	3,538E+07	0,005	12726,83
	LJ.3	6,997E+04	9,216E+06	7680	3,538E+07	0,005	12726,83
	LJ.4	6,997E+04	4,575E+06	5760	2,651E+07	0,004	9533,65
	LJ.5	6,997E+04	2,327E+07	10709,92	4,940E+07	0,007	17766,57
	LJ.6	6,997E+04	5,655E+08	32765,64	1,513E+08	0,020	54416,52
LK	LK.1	8,376E+04	1,119E+09	35612	1,969E+08	0,026	70810,52
	LK.2	8,376E+04	5,883E+09	60282	3,333E+08	0,045	119871,42
	LK.3	8,376E+04	6,541E+09	62642	3,463E+08	0,046	124564,54
	LK.4	8,376E+04	1,599E+08	18618	1,029E+08	0,014	37010,96
	LK.5	8,376E+04	1,525E+07	8502,783	4,694E+07	0,006	16881,69
LL	LL.1	6,066E+04	2,174E+07	12377,95	4,948E+07	0,007	17797,65
	LL.2	6,066E+04	5,466E+07	16843,91	6,739E+07	0,009	24236,93
	LL.3	6,066E+04	5,477E+07	16854,96	6,743E+07	0,009	24252,86
	LL.4	6,066E+04	5,466E+07	16843,91	6,739E+07	0,009	24236,93
	LL.5	6,066E+04	5,466E+07	16843,91	6,739E+07	0,009	24236,93
	LL.6	6,066E+04	1,461E+08	24054,79	9,627E+07	0,013	34626,84
	LL.7	6,066E+04	1,516E+07	10283,4	4,110E+07	0,005	14781,44
	LL.8	6,066E+04	1,499E+07	10245,72	4,095E+07	0,005	14727,06
	LL.9	6,066E+04	1,569E+08	23313,95	9,331E+07	0,012	33561,93
	LL.10	6,066E+04	5,466E+07	16843,91	6,739E+07	0,009	24236,93
	LL.11	6,066E+04	5,466E+07	16843,91	6,739E+07	0,009	24236,93
	LL.12	6,066E+04	5,466E+07	16843,91	6,739E+07	0,009	24236,93
	LL.13	6,066E+04	4,922E+07	16272,59	6,510E+07	0,009	23413,36
	LL.14	6,066E+04	4,911E+06	7187,29	2,866E+07	0,004	10308,17

Tabel 3

CALCULUL FORȚEI TĂIETOARE CAPABILE A SPALEȚILOR CONSOLIDAȚI CU BETON ARMAT													
Diafrag	Spalet	t_{zidarie}	t_{beton}	$V_{\text{cap,zid}}$	E_{zidarie}	E_{beton}	G_{zidarie}	G_{beton}	$R_{\text{beton}}/$	V_{cap}	$V_{\text{ed}}(F_{bi})$	R_{3i}	R_3
		cm	cm	daN	[daN/cm ²]	[daN/cm ²]	[daN/cm ²]	[daN/cm ²]	R_{zid}	daN	daN		
T1	T1.1	56	16	5495,00	12.813	270.000	5125,38	108000	6,02	38577,47	39881,99	0,97	1,360444
	T1.2	56	16	5564,03	12.813	270.000	5125,38	108000	6,02	39062,06	39302,83	0,99	
	T1.3	56	16	3291,94	12.813	270.000	5125,38	108000	6,02	23110,91	23224,05	1,00	
	T1.4	56	16	3089,08	12.813	270.000	5125,38	108000	6,02	21686,75	18522,43	1,17	
	T1.5	56	16	2980,53	12.813	270.000	5125,38	108000	6,02	20924,70	17859,13	1,17	
	T1.6	56	16	3285,47	12.813	270.000	5125,38	108000	6,02	23065,51	22928,95	1,01	
	T1.7	56	16	1444,38	12.813	270.000	5125,38	108000	6,02	10140,23	11566,69	0,88	
	T1.8	56	16	3580,32	12.813	270.000	5125,38	108000	6,02	25135,48	14521,34	1,73	
	T1.9	56	16	3496,46	12.813	270.000	5125,38	108000	6,02	24546,81	13941,26	1,76	
	T1.10	56	16	1631,40	12.813	270.000	5125,38	108000	6,02	11453,17	12228,52	0,94	
T2	T2.1	56	16	3743,48	12.813	270.000	5125,38	108000	6,02	26280,94	20118,67	1,31	
	T2.2	56	16	4553,46	12.813	270.000	5125,38	108000	6,02	31967,38	19415,67	1,65	
	T2.3	56	16	4428,68	12.813	270.000	5125,38	108000	6,02	31091,36	18835,98	1,65	
	T2.4	56	16	4514,78	12.813	270.000	5125,38	108000	6,02	31695,87	19415,67	1,63	
	T2.5	56	16	4106,05	12.813	270.000	5125,38	108000	6,02	28826,37	22191,00	1,30	
	T2.6	56	16	4083,63	12.813	270.000	5125,38	108000	6,02	28669,00	22089,21	1,30	
	T2.7	56	16	4552,85	12.813	270.000	5125,38	108000	6,02	31963,13	19415,67	1,65	
	T2.8	56	16	4856,69	12.813	270.000	5125,38	108000	6,02	34096,20	21154,50	1,61	
	T2.9	56	16	4559,50	12.813	270.000	5125,38	108000	6,02	32009,83	19415,67	1,65	
	T2.10	56	16	3682,81	12.813	270.000	5125,38	108000	6,02	25855,01	19770,89	1,31	
	T2.11	56	16	9287,72	12.813	270.000	5125,38	108000	6,02	65204,14	54341,90	1,20	
T3	T3.1	42	16	2057,11	12.813	270.000	5125,38	108000	8,03	18570,14	13369,25	1,39	
	T3.2	42	16	16929,58	12.813	270.000	5125,38	108000	8,03	152828,16	3322,28	46,00	
	T3.3	42	16	9461,10	12.813	270.000	5125,38	108000	8,03	85408,09	53808,07	1,59	
	T3.3'	42	16	1232,34	12.813	270.000	5125,38	108000	8,03	11124,67	9610,45	1,16	
	T3.4'	42	16	1232,34	12.813	270.000	5125,38	108000	8,03	11124,67	9610,45	1,16	
	T3.4	42	16	10392,94	12.813	270.000	5125,38	108000	8,03	93820,04	62053,94	1,51	
	T3.5	42	16	11082,43	12.813	270.000	5125,38	108000	8,03	100044,25	56745,62	1,76	
	T3.6	42	16	14148,05	12.813	270.000	5125,38	108000	8,03	127718,52	71705,71	1,78	
T3.7	42	16	5968,51	12.813	270.000	5125,38	108000	8,03	53879,45	32372,23	1,66		
T4	T4.1	56	16	2397,78	12.813	270.000	5125,38	108000	6,02	16833,50	11149,81	1,51	
	T4.2	56	16	2773,18	12.813	270.000	5125,38	108000	6,02	19469,01	12322,59	1,58	
	T4.3	56	16	2766,38	12.813	270.000	5125,38	108000	6,02	19421,27	12260,67	1,58	
	T4.4	56	16	2147,82	12.813	270.000	5125,38	108000	6,02	15078,70	10124,86	1,49	
	T4.5	42	16	2715,49	12.813	270.000	5125,38	108000	8,03	24513,53	14927,19	1,64	
	T4.5'	42	16	2136,89	12.813	270.000	5125,38	108000	8,03	19290,29	11079,73	1,74	
	T4.6'	42	16	2136,89	12.813	270.000	5125,38	108000	8,03	19290,29	11284,08	1,71	
	T4.6	56	16	9928,71	12.813	270.000	5125,38	108000	6,02	69704,16	47144,07	1,48	
	T4.7	56	16	3907,57	12.813	270.000	5125,38	108000	6,02	27432,97	17054,83	1,61	
	T4.8	56	16	3907,57	12.813	270.000	5125,38	108000	6,02	27432,97	17054,83	1,61	
	T4.9	56	16	3918,47	12.813	270.000	5125,38	108000	6,02	27509,45	17054,83	1,61	
	T4.10	56	16	804,07	12.813	270.000	5125,38	108000	6,02	5644,96	6426,92	0,88	
T4.11	42	16	6952,83	12.813	270.000	5125,38	108000	8,03	62765,22	63200,51	0,99		
T4.12	42	16	6242,68	12.813	270.000	5125,38	108000	8,03	56354,41	49127,72	1,15		

Tabel 3 continuare

CALCULUL FORȚEI TĂIETOARE CAPABILE A SPALEȚILOR CONSOLIDAȚI CU BETON ARMAT													
Diafrag	Spalet	t_{zidarie}	t_{beton}	$V_{\text{cap,zid}}$	E_{zidarie}	E_{beton}	G_{zidarie}	G_{beton}	$R_{\text{beton/}}$	V_{cap}	$V_{\text{ed}}(F_{\text{bi}})$	R_{3i}	R_3
		cm	cm	daN	[daN/cm ²]	[daN/cm ²]	[daN/cm ²]	[daN/cm ²]	R_{zid}	daN	daN		
T5	T5.1	56	16	3451,17	12.813	270.000	5125,38	108000	6,02	24228,80	32409,13	0,75	1,360444
	T5.2	56	16	4468,83	12.813	270.000	5125,38	108000	6,02	31373,27	40101,43	0,78	
	T5.1'	42	16	5930,18	12.813	270.000	5125,38	108000	8,03	53533,45	45248,78	1,18	
	T5.2'	42	16	5356,02	12.813	270.000	5125,38	108000	8,03	48350,28	44197,69	1,09	
	T5.3	56	16	2299,41	12.813	270.000	5125,38	108000	6,02	16142,90	9659,67	1,67	
	T5.4	56	16	3870,24	12.813	270.000	5125,38	108000	6,02	27170,87	13869,77	1,96	
	T5.5	56	16	3744,34	12.813	270.000	5125,38	108000	6,02	26287,04	13591,13	1,93	
	T5.6	56	16	2623,15	12.813	270.000	5125,38	108000	6,02	18415,70	10742,18	1,71	
	T5.7	56	16	38520,71	12.813	270.000	5125,38	108000	6,02	270433,27	224127,28	1,21	
	T5.8	42	16	6682,41	12.813	270.000	5125,38	108000	8,03	60324,01	49974,75	1,21	
T5.9	42	16	2430,11	12.813	270.000	5125,38	108000	8,03	21937,30	31143,31	0,70		
T5.10	42	16	2123,06	12.813	270.000	5125,38	108000	8,03	19165,44	27009,31	0,71		
T6	T6.1	56	16	8243,27	12.813	270.000	5125,38	108000	6,02	57871,60	59621,76	0,97	
	T6.2	56	16	11042,62	12.813	270.000	5125,38	108000	6,02	77524,30	80431,01	0,96	
T7	T7.1	56	16	3521,35	12.813	270.000	5125,38	108000	6,02	24721,52	33104,21	0,75	
	T7.2	56	16	4082,82	12.813	270.000	5125,38	108000	6,02	28663,30	33799,27	0,85	
	T7.3	56	16	44177,24	12.813	270.000	5125,38	108000	6,02	310144,73	241320,19	1,29	
	T7.3'	28	16	5266,80	12.813	270.000	5125,38	108000	12,04	68683,93	39306,82	1,75	
T8	T8.1	42	16	9593,84	12.813	270.000	5125,38	108000	8,03	86606,34	43148,95	2,01	
	T8.2	42	16	9665,54	12.813	270.000	5125,38	108000	8,03	87253,60	51649,97	1,69	
T9	T9.1'	28	16	2884,94	12.813	270.000	5125,38	108000	12,04	37622,33	36980,68	1,02	
	T9.2'	28	16	2241,05	12.813	270.000	5125,38	108000	12,04	29225,33	33606,36	0,87	
	T9.3'	42	16	1385,55	12.813	270.000	5125,38	108000	8,03	12507,72	13830,26	0,90	
	T9.4'	42	16	3368,53	12.813	270.000	5125,38	108000	8,03	30408,66	34312,72	0,89	
	T9.1	56	16	1721,96	12.813	270.000	5125,38	108000	6,02	12088,96	9945,99	1,22	
	T9.2	56	16	1749,21	12.813	270.000	5125,38	108000	6,02	12280,27	9741,72	1,26	
	T9.3	56	16	1749,21	12.813	270.000	5125,38	108000	6,02	12280,27	9741,72	1,26	
	T9.4	56	16	4230,05	12.813	270.000	5125,38	108000	6,02	29696,94	18836,44	1,58	
	T9.5	42	16	12794,95	12.813	270.000	5125,38	108000	8,03	115503,64	56499,30	2,04	
	T9.6	42	16	5009,23	12.813	270.000	5125,38	108000	8,03	45219,75	21645,11	2,09	
	T9.7	42	16	450,65	12.813	270.000	5125,38	108000	8,03	4068,16	7200,83	0,56	
T10	T10.1	56	16	17502,32	12.813	270.000	5125,38	108000	6,02	122874,42	116920,76	1,05	
	T10.2	56	16	2571,20	12.813	270.000	5125,38	108000	6,02	18051,04	19063,52	0,95	
	T10.3	56	16	3405,97	12.813	270.000	5125,38	108000	6,02	23911,49	15168,90	1,58	
	T10.4	56	16	6569,44	12.813	270.000	5125,38	108000	6,02	46120,55	18789,39	2,45	
	T10.5	56	16	4332,52	12.813	270.000	5125,38	108000	6,02	30416,27	17836,20	1,71	
	T10.6	56	16	7541,56	12.813	270.000	5125,38	108000	6,02	52945,24	46204,33	1,15	
LA	LA.1	56	16	7435,16	12.813	270.000	5125,38	108000	6,02	52198,27	58837,95	0,89	1,364074
	LA.2	56	16	3276,43	12.813	270.000	5125,38	108000	6,02	23002,08	17708,44	1,30	
	LA.3	56	16	4143,63	12.813	270.000	5125,38	108000	6,02	29090,23	17576,30	1,66	
	LA.4	56	16	4206,52	12.813	270.000	5125,38	108000	6,02	29531,73	17862,35	1,65	
	LA.5	56	16	4388,18	12.813	270.000	5125,38	108000	6,02	30807,04	19573,64	1,57	
	LA.6	56	16	4174,05	12.813	270.000	5125,38	108000	6,02	29303,77	17559,25	1,67	
	LA.7	56	16	3704,40	12.813	270.000	5125,38	108000	6,02	26006,59	20658,54	1,26	

Tabel 3 continuare

CALCULUL FORȚEI TĂIETOARE CAPABILE A SPALEȚILOR CONSOLIDAȚI CU BETON ARMAT													
Diafrag	Spalet	t_{zidarie}	t_{beton}	$V_{\text{cap,zid}}$	E_{zidarie}	E_{beton}	G_{zidarie}	G_{beton}	$R_{\text{beton}}/$	V_{cap}	$V_{\text{ed}}(F_{\text{bi}})$	R_{3i}	R_3
		cm	cm	daN	[daN/cm ²]	[daN/cm ²]	[daN/cm ²]	[daN/cm ²]	R_{zid}	daN	daN		
LB	LB.1	42	16	8520,80	12.813	270.000	5125,38	108000	8,03	76919,70	79144,17	0,97	1,364074
	LB.2	42	16	3837,65	12.813	270.000	5125,38	108000	8,03	34643,57	31357,25	1,10	
	LB.3	42	16	9790,35	12.813	270.000	5125,38	108000	8,03	88380,29	51431,50	1,72	
	LB.4	42	16	5318,51	12.813	270.000	5125,38	108000	8,03	48011,75	27202,92	1,76	
	LB.5	42	16	8149,55	12.813	270.000	5125,38	108000	8,03	73568,36	56675,14	1,30	
	LB.1'	28	16	5455,34	12.813	270.000	5125,38	108000	12,04	71142,66	43644,08	1,63	
	LB.2'	28	16	4227,02	12.813	270.000	5125,38	108000	12,04	55124,24	29950,96	1,84	
	LB.3'	28	16	718,52	12.813	270.000	5125,38	108000	12,04	9370,16	10248,11	0,91	
LB.4'	28	16	3098,90	12.813	270.000	5125,38	108000	12,04	40412,51	28121,59	1,44		
LC	LC.1	42	16	6547,46	12.813	270.000	5125,38	108000	8,03	59105,77	62620,76	0,94	
	LC.2	42	16	1997,22	12.813	270.000	5125,38	108000	8,03	18029,51	12759,26	1,41	
	LC.3	56	16	3760,22	12.813	270.000	5125,38	108000	6,02	26398,47	20550,80	1,28	
	LC.4	56	16	4178,61	12.813	270.000	5125,38	108000	6,02	29335,77	20338,27	1,44	
	LC.5	56	16	3433,82	12.813	270.000	5125,38	108000	6,02	24106,98	19034,60	1,27	
	LC.6	56	16	2821,34	12.813	270.000	5125,38	108000	6,02	19807,13	17732,21	1,12	
	LC.7	56	16	1155,19	12.813	270.000	5125,38	108000	6,02	8109,98	9591,34	0,85	
LD	LD.1	56	16	1787,11	12.813	270.000	5125,38	108000	6,02	12546,33	11171,91	1,12	
	LD.2	56	16	2171,40	12.813	270.000	5125,38	108000	6,02	15244,22	12504,38	1,22	
	LD.3	56	16	2171,40	12.813	270.000	5125,38	108000	6,02	15244,22	12556,77	1,21	
	LD.4	56	16	3012,68	12.813	270.000	5125,38	108000	6,02	21150,38	13025,79	1,62	
LE	LE.1	56	16	14744,75	12.813	270.000	5125,38	108000	6,02	103514,97	82348,77	1,26	
LF	LF.1	42	16	7164,48	12.813	270.000	5125,38	108000	8,03	64675,85	62390,06	1,04	
	LF.2	56	16	2292,39	12.813	270.000	5125,38	108000	6,02	16093,61	14911,97	1,08	
	LF.3	56	16	6821,16	12.813	270.000	5125,38	108000	6,02	47887,71	45843,00	1,04	
	LF.4	56	16	1217,14	12.813	270.000	5125,38	108000	6,02	8544,85	9729,43	0,88	
	LF.5	56	16	4588,50	12.813	270.000	5125,38	108000	6,02	32213,37	20877,60	1,54	
	LF.6	56	16	4671,15	12.813	270.000	5125,38	108000	6,02	32793,63	16795,32	1,95	
	LF.7	56	16	3693,54	12.813	270.000	5125,38	108000	6,02	25930,36	16710,43	1,55	
	LF.8	56	16	3556,29	12.813	270.000	5125,38	108000	6,02	24966,78	16721,63	1,49	
	LF.9	56	16	6162,61	12.813	270.000	5125,38	108000	6,02	43264,41	31483,16	1,37	
	LF.1'	42	16	7060,59	12.813	270.000	5125,38	108000	8,03	63737,94	54018,32	1,18	
	LF.2'	42	16	1088,32	12.813	270.000	5125,38	108000	8,03	9824,62	8205,00	1,20	
	LF.3'	42	16	1087,06	12.813	270.000	5125,38	108000	8,03	9813,24	7817,64	1,26	
	LF.4'	42	16	7669,53	12.813	270.000	5125,38	108000	8,03	69235,06	48087,19	1,44	
	LF.5'	42	16	1087,44	12.813	270.000	5125,38	108000	8,03	9816,61	8198,72	1,20	
	LF.6'	42	16	1087,69	12.813	270.000	5125,38	108000	8,03	9818,86	7978,48	1,23	
LF.7'	42	16	2372,84	12.813	270.000	5125,38	108000	8,03	21420,33	22708,06	0,94		
LF.8'	42	16	2179,56	12.813	270.000	5125,38	108000	8,03	19675,49	21334,59	0,92		
LF.9'	28	16	2643,57	12.813	270.000	5125,38	108000	12,04	34474,59	22768,81	1,51		
LF.10'	28	16	5421,58	12.813	270.000	5125,38	108000	12,04	70702,47	47691,41	1,48		
LF.11'	28	16	6630,56	12.813	270.000	5125,38	108000	12,04	86468,65	91339,73	0,95		
LG	LG.1	42	16	7596,39	12.813	270.000	5125,38	108000	8,03	68574,80	55419,02	1,24	

Tabel 3 continuare

CALCULUL FORȚEI TĂIETOARE CAPABILE A SPALEȚILOR CONSOLIDAȚI CU BETON ARMAT													
Diafrag	Spalet	t_{zidarie}	t_{beton}	$V_{\text{cap,zid}}$	E_{zidarie}	E_{beton}	G_{zidarie}	G_{beton}	$R_{\text{beton}}/$	V_{cap}	$V_{\text{ed}}(F_{\text{bi}})$	R_{3i}	R_3
		cm	cm	daN	[daN/cm ²]	[daN/cm ²]	[daN/cm ²]	[daN/cm ²]	R_{zid}	daN	daN		
LH	LH.1'	42	16	7025,99	12.813	270.000	5125,38	108000	8,03	63425,58	54649,95	1,16	1,364074
	LH.1	56	16	22630,39	12.813	270.000	5125,38	108000	6,02	158875,88	158374,01	1,00	
	LH.2	42	16	11457,64	12.813	270.000	5125,38	108000	8,03	103431,40	67278,38	1,54	
	LH3	56	16	10088,74	12.813	270.000	5125,38	108000	6,02	70827,67	34251,76	2,07	
LI	LI.1	56	16	2128,59	12.813	270.000	5125,38	108000	6,02	14943,68	13196,78	1,13	
	LI.2	56	16	2716,80	12.813	270.000	5125,38	108000	6,02	19073,20	12726,82	1,50	
	LI.3	56	16	2905,87	12.813	270.000	5125,38	108000	6,02	20400,59	12726,82	1,60	
	LI.4	56	16	3201,88	12.813	270.000	5125,38	108000	6,02	22478,68	10798,03	2,08	
	LI.5	56	16	10559,86	12.813	270.000	5125,38	108000	6,02	74135,12	71005,80	1,04	
LJ	LJ.1	56	16	2263,98	12.813	270.000	5125,38	108000	6,02	15894,18	10708,03	1,48	
	LJ.2	56	16	2835,38	12.813	270.000	5125,38	108000	6,02	19905,69	12726,83	1,56	
	LJ.3	56	16	2835,38	12.813	270.000	5125,38	108000	6,02	19905,69	12726,83	1,56	
	LJ.4	56	16	2071,02	12.813	270.000	5125,38	108000	6,02	14539,51	9533,65	1,53	
	LJ.5	56	16	3823,86	12.813	270.000	5125,38	108000	6,02	26845,31	17766,57	1,51	
	LJ.6	56	16	8570,57	12.813	270.000	5125,38	108000	6,02	60169,39	54416,52	1,11	
LK	LK.1	42	16	12366,08	12.813	270.000	5125,38	108000	8,03	111632,15	70810,52	1,58	
	LK.2	42	16	25422,39	12.813	270.000	5125,38	108000	8,03	229495,19	119871,42	1,91	
	LK.3	42	16	22929,87	12.813	270.000	5125,38	108000	8,03	206994,48	124564,54	1,66	
	LK.4	42	16	7474,29	12.813	270.000	5125,38	108000	8,03	67472,52	37010,96	1,82	
	LK.5	42	16	3596,40	12.813	270.000	5125,38	108000	8,03	32465,69	16881,69	1,92	
LL	LL.1	70	16	3709,70	12.813	270.000	5125,38	108000	4,82	21576,98	17797,65	1,21	
	LL.2	70	16	6435,68	12.813	270.000	5125,38	108000	4,82	37432,33	24236,93	1,54	
	LL.3	70	16	6453,24	12.813	270.000	5125,38	108000	4,82	37534,45	24252,86	1,55	
	LL.4	70	16	6470,80	12.813	270.000	5125,38	108000	4,82	37636,56	24236,93	1,55	
	LL.5	70	16	6470,80	12.813	270.000	5125,38	108000	4,82	37636,56	24236,93	1,55	
	LL.6	70	16	7879,35	12.813	270.000	5125,38	108000	4,82	45829,22	34626,84	1,32	
	LL.7	70	16	4812,94	12.813	270.000	5125,38	108000	4,82	27993,83	14781,44	1,89	
	LL.8	70	16	4837,64	12.813	270.000	5125,38	108000	4,82	28137,51	14727,06	1,91	
	LL.9	70	16	8111,07	12.813	270.000	5125,38	108000	4,82	47177,02	33561,93	1,41	
	LL.10	70	16	6470,80	12.813	270.000	5125,38	108000	4,82	37636,56	24236,93	1,55	
	LL.11	70	16	6470,80	12.813	270.000	5125,38	108000	4,82	37636,56	24236,93	1,55	
	LL.12	70	16	6464,13	12.813	270.000	5125,38	108000	4,82	37597,81	24236,93	1,55	
	LL.13	70	16	6288,79	12.813	270.000	5125,38	108000	4,82	36577,93	23413,36	1,56	
	LL.14	70	16	1907,98	12.813	270.000	5125,38	108000	4,82	11097,51	10308,17	1,08	

Tabel 4

SIGURANȚA FAȚĂ DE ACȚIUNEA SEISMICĂ PERPENDICULARĂ PE PLANUL PEREȚILOR												
Diafrag	Șpalet	a_g	γ_{CNS}	β_{CNS}	K_z	m_{CNS}	q_{CNS}	F	VERIF	VERIF1	F_{adm}	F_{adm}
		[m/s ²]			[m]	[daN]		[daN]	$F < 0,75 \gamma_{CNS} a_g$	$F > 0,75 \gamma_{CNS} a_g$	$4 \gamma_{CNS} a_g m_{CNS}$	$0,75 \gamma_{CNS} a_g m_{CNS}$
T1	T1.1	0,24	0,80	1,00	2,65	73.843	1,50	25.047,51	OK	OK	56711,34	10633,38
	T1.2	0,24	0,80	1,00	2,65	76.750	1,50	26.033,72	OK	OK	58944,26	11052,05
	T1.3	0,24	0,80	1,00	2,65	44.304	1,50	15.027,99	OK	OK	34025,65	6379,81
	T1.4	0,24	0,80	1,00	2,65	43.804	1,50	14.858,47	OK	OK	33641,83	6307,84
	T1.5	0,24	0,80	1,00	2,65	42.577	1,50	14.442,21	OK	OK	32699,35	6131,13
	T1.6	0,24	0,80	1,00	2,65	44.026	1,50	14.933,76	OK	OK	33812,28	6339,80
	T1.7	0,24	0,80	1,00	2,65	19.608	1,50	6.651,00	OK	OK	15058,87	2823,54
	T1.8	0,24	0,80	1,00	2,65	47.503	1,50	16.112,94	OK	OK	36482,13	6840,40
	T1.9	0,24	0,80	1,00	2,65	46.445	1,50	15.754,16	OK	OK	35669,79	6688,09
	T1.10	0,24	0,80	1,00	2,65	21.085	1,50	7.152,18	OK	OK	16193,61	3036,30
T2	T2.1	0,24	0,80	1,00	2,65	39.532	1,50	13.409,36	OK	OK	30360,81	5692,65
	T2.2	0,24	0,80	1,00	2,65	59.837	1,50	20.296,75	OK	OK	45954,90	8616,54
	T2.3	0,24	0,80	1,00	2,65	57.099	1,50	19.368,13	OK	OK	43852,38	8222,32
	T2.4	0,24	0,80	1,00	2,65	59.541	1,50	20.196,38	OK	OK	45727,66	8573,94
	T2.5	0,24	0,80	1,00	2,65	43.817	1,50	14.862,64	OK	OK	33651,25	6309,61
	T2.6	0,24	0,80	1,00	2,65	43.503	1,50	14.756,12	OK	OK	33410,09	6264,39
	T2.7	0,24	0,80	1,00	2,65	60.451	1,50	20.504,95	OK	OK	46426,31	8704,93
	T2.8	0,24	0,80	1,00	2,65	62.313	1,50	21.136,74	OK	OK	47856,76	8973,14
	T2.9	0,24	0,80	1,00	2,65	60.795	1,50	20.621,73	OK	OK	46690,72	8754,51
	T2.10	0,24	0,80	1,00	2,65	38.281	1,50	12.985,08	OK	OK	29400,18	5512,53
	T2.11	0,24	0,80	1,00	2,65	98.425	1,50	33.385,61	OK	OK	75590,05	14173,13
T3	T3.1	0,24	0,80	1,00	2,65	27.718	1,50	9.401,83	OK	OK	21287,17	3991,34
	T3.2	0,24	0,80	1,00	2,65	236.452	1,50	80.204,59	OK	OK	181595,30	34049,12
	T3.3	0,24	0,80	1,00	2,65	116.647	1,50	39.566,65	OK	OK	89584,86	16797,16
	T3.3'	0,24	0,80	1,00	2,65	42.412	1,50	14.386,23	OK	OK	32572,60	6107,36
	T3.4'	0,24	0,80	1,00	2,65	42.412	1,50	14.386,23	OK	OK	32572,60	6107,36
	T3.4	0,24	0,80	1,00	2,65	130.698	1,50	44.332,88	OK	OK	100376,33	18820,56
	T3.5	0,24	0,80	1,00	2,65	146.872	1,50	49.818,85	OK	OK	112797,40	21149,51
	T3.6	0,24	0,80	1,00	2,65	188.293	1,50	63.869,04	OK	OK	144609,15	27114,21
T3.7	0,24	0,80	1,00	2,65	83.517	1,50	28.328,86	OK	OK	64140,81	12026,40	
T4	T4.1	0,24	0,80	1,00	2,65	34.786	1,50	11.799,45	OK	OK	26715,73	5009,20
	T4.2	0,24	0,80	1,00	2,65	42.191	1,50	14.311,18	OK	OK	32402,67	6075,50
	T4.3	0,24	0,80	1,00	2,65	41.697	1,50	14.143,69	OK	OK	32023,45	6004,40
	T4.4	0,24	0,80	1,00	2,65	35.865	1,50	12.165,28	OK	OK	27544,03	5164,51
	T4.5	0,24	0,80	1,00	2,65	34.440	1,50	11.682,05	OK	OK	26449,93	4959,36
	T4.5'	0,24	0,80	1,00	2,65	47.804	1,50	16.215,21	OK	OK	36713,69	6883,82
	T4.6'	0,24	0,80	1,00	2,65	47.804	1,50	16.215,21	OK	OK	36713,69	6883,82
	T4.6	0,24	0,80	1,00	2,65	120.639	1,50	40.920,81	OK	OK	92650,89	17372,04
	T4.7	0,24	0,80	1,00	2,65	51.226	1,50	17.376,00	OK	OK	39341,90	7376,61
	T4.8	0,24	0,80	1,00	2,65	51.226	1,50	17.376,00	OK	OK	39341,90	7376,61
	T4.9	0,24	0,80	1,00	2,65	50.624	1,50	17.171,52	OK	OK	38878,92	7289,80
	T4.10	0,24	0,80	1,00	2,65	20.420	1,50	6.926,32	OK	OK	15682,22	2940,42
T4.11	0,24	0,80	1,00	2,65	102.049	1,50	34.614,97	OK	OK	78373,52	14695,04	
T4.12	0,24	0,80	1,00	2,65	107.180	1,50	36.355,33	OK	OK	82313,97	15433,87	

Tabel 4 continuare

SIGURANȚA FAȚĂ DE ACȚIUNEA SEISMICĂ PERPENDICULARĂ PE PLANUL PEREȚILOR												
Diafrag	Șpalet	a_g	γ_{CNS}	β_{CNS}	K_z	m_{CNS}	q_{CNS}	F	VERIF	VERIF1	F_{adm}	F_{adm}
		[m/s ²]			[m]	[daN]		[daN]	$F < 0,75 \gamma_{CNS} a_g$	$F > 0,75 \gamma_{CNS} a_g$	$4 \gamma_{CNS} a_g m_{CNS}$	$0,75 \gamma_{CNS} a_g m_{CNS}$
T5	T5.1	0,24	0,80	1,00	2,65	43.569	1,50	14.778,60	OK	OK	33460,97	6273,93
	T5.2	0,24	0,80	1,00	2,65	52.930	1,50	17.953,91	OK	OK	40650,37	7621,94
	T5.1'	0,24	0,80	1,00	2,65	71.158	1,50	24.136,70	OK	OK	54649,14	10246,71
	T5.2'	0,24	0,80	1,00	2,65	68.497	1,50	23.234,27	OK	OK	52605,89	9863,60
	T5.3	0,24	0,80	1,00	2,65	35.696	1,50	12.108,20	OK	OK	27414,78	5140,27
	T5.4	0,24	0,80	1,00	2,65	54.295	1,50	18.416,88	OK	OK	41698,60	7818,49
	T5.5	0,24	0,80	1,00	2,65	53.008	1,50	17.980,46	OK	OK	40710,47	7633,21
	T5.6	0,24	0,80	1,00	2,65	38.625	1,50	13.101,77	OK	OK	29664,38	5562,07
	T5.7	0,24	0,80	1,00	2,65	431.255	1,50	146.281,81	OK	OK	331204,11	62100,77
	T5.8	0,24	0,80	1,00	2,65	82.661	1,50	28.038,64	OK	OK	63483,71	11903,20
T5.9	0,24	0,80	1,00	2,65	29.311	1,50	9.942,39	OK	OK	22511,07	4220,83	
T5.10	0,24	0,80	1,00	2,65	26.819	1,50	9.097,12	OK	OK	20597,26	3861,99	
T6	T6.1	0,24	0,80	1,00	2,65	101.413	1,50	34.399,39	OK	OK	77885,42	14603,52
	T6.2	0,24	0,80	1,00	2,65	144.412	1,50	48.984,45	OK	OK	110908,19	20795,29
T7	T7.1	0,24	0,80	1,00	2,65	44.629	1,50	15.138,32	OK	OK	34275,45	6426,65
	T7.2	0,24	0,80	1,00	2,65	49.575	1,50	16.815,71	OK	OK	38073,31	7138,75
	T7.3	0,24	0,80	1,00	2,65	518.904	1,50	176.012,16	OK	OK	398518,09	74722,14
	T7.3'	0,24	0,80	1,00	2,65	69.379	1,50	23.533,37	OK	OK	53283,11	9990,58
T8	T8.1	0,24	0,80	1,00	2,65	109.816	1,50	37.249,59	OK	OK	84338,70	15813,51
	T8.2	0,24	0,80	1,00	2,65	137.415	1,50	46.611,06	OK	OK	105534,48	19787,72
T9	T9.1'	0,24	0,80	1,00	2,65	32.091	1,50	10.885,21	OK	OK	24645,77	4621,08
	T9.2'	0,24	0,80	1,00	2,65	28.858	1,50	9.788,58	OK	OK	22162,83	4155,53
	T9.3'	0,24	0,80	1,00	2,65	26.752	1,50	9.074,12	OK	OK	20545,17	3852,22
	T9.4'	0,24	0,80	1,00	2,65	54.717	1,50	18.560,04	OK	OK	42022,73	7879,26
	T9.1	0,24	0,80	1,00	2,65	29.483	1,50	10.000,71	OK	OK	22643,11	4245,58
	T9.2	0,24	0,80	1,00	2,65	38.154	1,50	12.941,94	OK	OK	29302,50	5494,22
	T9.3	0,24	0,80	1,00	2,65	38.154	1,50	12.941,94	OK	OK	29302,50	5494,22
	T9.4	0,24	0,80	1,00	2,65	50.326	1,50	17.070,74	OK	OK	38650,74	7247,01
	T9.5	0,24	0,80	1,00	2,65	143.760	1,50	48.763,46	OK	OK	110407,84	20701,47
	T9.6	0,24	0,80	1,00	2,65	85.428	1,50	28.977,29	OK	OK	65608,95	12301,68
T9.7	0,24	0,80	1,00	2,65	11.793	1,50	4.000,20	OK	OK	9057,06	1698,20	
T10	T10.1	0,24	0,80	1,00	2,65	209.181	1,50	70.954,16	OK	OK	160650,92	30122,05
	T10.2	0,24	0,80	1,00	2,65	36.127	1,50	12.254,17	OK	OK	27745,29	5202,24
	T10.3	0,24	0,80	1,00	2,65	35.524	1,50	12.049,66	OK	OK	27282,25	5115,42
	T10.4	0,24	0,80	1,00	2,65	90.728	1,50	30.775,00	OK	OK	69679,25	13064,86
	T10.5	0,24	0,80	1,00	2,65	53.667	1,50	18.203,94	OK	OK	41216,48	7728,09
	T10.6	0,24	0,80	1,00	2,65	102.811	1,50	34.873,60	OK	OK	78959,10	14804,83
LA	LA.1	0,24	0,80	1,00	2,65	100.963	1,50	34.246,72	OK	OK	77539,74	14538,70
	LA.2	0,24	0,80	1,00	2,65	38.722	1,50	13.134,33	OK	OK	29738,12	5575,90
	LA.3	0,24	0,80	1,00	2,65	54.567	1,50	18.509,23	OK	OK	41907,69	7857,69
	LA.4	0,24	0,80	1,00	2,65	55.697	1,50	18.892,27	OK	OK	42774,95	8020,30
	LA.5	0,24	0,80	1,00	2,65	51.505	1,50	17.470,46	OK	OK	39555,77	7416,71
	LA.6	0,24	0,80	1,00	2,65	56.775	1,50	19.258,06	OK	OK	43603,15	8175,59
	LA.7	0,24	0,80	1,00	2,65	36.245	1,50	12.294,33	OK	OK	27836,22	5219,29

Tabel 4 continuare

SIGURANȚA FAȚĂ DE ACȚIUNEA SEISMICĂ PERPENDICULARĂ PE PLANUL PEREȚILOR												
Diafrag	Șpalet	a_g	γ_{CNS}	β_{CNS}	K_z	m_{CNS}	q_{CNS}	F	VERIF	VERIF1	F_{adm}	F_{adm}
		[m/s ²]			[m]	[daN]		[daN]	$F < 0,75 \gamma_{CNS} a_g$	$F > 0,75 \gamma_{CNS} a_g$	$4 \gamma_{CNS} a_g m_{CNS}$	$0,75 \gamma_{CNS} a_g m_{CNS}$
LB	LB.1	0,24	0,80	1,00	2,65	136.571	1,50	46.324,94	OK	OK	104886,65	19666,25
	LB.2	0,24	0,80	1,00	2,65	57.617	1,50	19.543,73	OK	OK	44249,96	8296,87
	LB.3	0,24	0,80	1,00	2,65	129.698	1,50	43.993,64	OK	OK	99608,25	18676,55
	LB.4	0,24	0,80	1,00	2,65	65.284	1,50	22.144,29	OK	OK	50138,01	9400,88
	LB.5	0,24	0,80	1,00	2,65	78.709	1,50	26.698,18	OK	OK	60448,71	11334,13
	LB.1'	0,24	0,80	1,00	2,65	68.145	1,50	23.114,73	OK	OK	52335,25	9812,86
	LB.2'	0,24	0,80	1,00	2,65	62.923	1,50	21.343,63	OK	OK	48325,19	9060,97
	LB.3'	0,24	0,80	1,00	2,65	12.806	1,50	4.343,96	OK	OK	9835,39	1844,14
LB.4'	0,24	0,80	1,00	2,65	53.479	1,50	18.140,14	OK	OK	41072,01	7701,00	
LC	LC.1	0,24	0,80	1,00	2,65	105.680	1,50	35.846,57	OK	OK	81162,04	15217,88
	LC.2	0,24	0,80	1,00	2,65	39.061	1,50	13.249,52	OK	OK	29998,91	5624,80
	LC.3	0,24	0,80	1,00	2,65	44.049	1,50	14.941,54	OK	OK	33829,90	6343,11
	LC.4	0,24	0,80	1,00	2,65	54.044	1,50	18.331,81	OK	OK	41505,99	7782,37
	LC.5	0,24	0,80	1,00	2,65	42.705	1,50	14.485,40	OK	OK	32797,14	6149,46
	LC.6	0,24	0,80	1,00	2,65	39.136	1,50	13.275,09	OK	OK	30056,81	5635,65
	LC.7	0,24	0,80	1,00	2,65	22.998	1,50	7.800,88	OK	OK	17662,38	3311,70
LD	LD.1	0,24	0,80	1,00	2,65	26.799	1,50	9.090,35	OK	OK	20581,93	3859,11
	LD.2	0,24	0,80	1,00	2,65	32.111	1,50	10.892,21	OK	OK	24661,60	4624,05
	LD.3	0,24	0,80	1,00	2,65	32.111	1,50	10.892,21	OK	OK	24661,60	4624,05
	LD.4	0,24	0,80	1,00	2,65	33.946	1,50	11.514,55	OK	OK	26070,69	4888,25
LE	LE.1	0,24	0,80	1,00	2,65	193.046	1,50	65.481,19	OK	OK	148259,30	27798,62
LF	LF.1	0,24	0,80	1,00	2,65	107.942	1,50	36.613,85	OK	OK	82899,28	15543,62
	LF.2	0,24	0,80	1,00	2,65	28.339	1,50	9.612,72	OK	OK	21764,64	4080,87
	LF.3	0,24	0,80	1,00	2,65	81.192	1,50	27.540,18	OK	OK	62355,11	11691,58
	LF.4	0,24	0,80	1,00	2,65	22.041	1,50	7.476,23	OK	OK	16927,31	3173,87
	LF.5	0,24	0,80	1,00	2,65	53.327	1,50	18.088,56	OK	OK	40955,23	7679,11
	LF.6	0,24	0,80	1,00	2,65	60.059	1,50	20.372,03	OK	OK	46125,36	8648,51
	LF.7	0,24	0,80	1,00	2,65	50.752	1,50	17.214,99	OK	OK	38977,35	7308,25
	LF.8	0,24	0,80	1,00	2,65	50.490	1,50	17.126,08	OK	OK	38776,03	7270,51
	LF.9	0,24	0,80	1,00	2,65	77.912	1,50	26.427,62	OK	OK	59836,12	11219,27
	LF.1'	0,24	0,80	1,00	2,65	87.728	1,50	29.757,17	OK	OK	67374,73	12632,76
	LF.2'	0,24	0,80	1,00	2,65	41.364	1,50	14.030,60	OK	OK	31767,40	5956,39
	LF.3'	0,24	0,80	1,00	2,65	41.364	1,50	14.030,60	OK	OK	31767,40	5956,39
	LF.4'	0,24	0,80	1,00	2,65	88.155	1,50	29.902,26	OK	OK	67703,23	12694,36
	LF.5'	0,24	0,80	1,00	2,65	41.364	1,50	14.030,60	OK	OK	31767,40	5956,39
	LF.6'	0,24	0,80	1,00	2,65	41.364	1,50	14.030,60	OK	OK	31767,40	5956,39
	LF.7'	0,24	0,80	1,00	2,65	21.257	1,50	7.210,35	OK	OK	16325,32	3061,00
	LF.8'	0,24	0,80	1,00	2,65	18.982	1,50	6.438,77	OK	OK	14578,34	2733,44
LF.9'	0,24	0,80	1,00	2,65	36.380	1,50	12.339,98	OK	OK	27939,57	5238,67	
LF.10'	0,24	0,80	1,00	2,65	88.408	1,50	29.988,04	OK	OK	67897,45	12730,77	
LF.11'	0,24	0,80	1,00	2,65	129.615	1,50	43.965,24	OK	OK	99543,94	18664,49	
LG	LG.1	0,24	0,80	1,00	2,65	101.614	1,50	34.467,38	OK	OK	78039,34	14632,38

Tabel 4 continuare

SIGURANȚA FAȚĂ DE ACȚIUNEA SEISMICĂ PERPENDICULARĂ PE PLANUL PEREȚILOR												
Diafrag	Șpalet	a_g	γ_{CNS}	β_{CNS}	K_z	m_{CNS}	q_{CNS}	F	VERIF	VERIF1	F_{adm}	F_{adm}
		[m/s ²]			[m]	[daN]		[daN]	$F < 0,75 \gamma_{CNS} a_g$	$F > 0,75 \gamma_{CNS} a_g$	$4 \gamma_{CNS} a_g m_{CNS}$	$0,75 \gamma_{CNS} a_g m_{CNS}$
LH	LH.1'	0,24	0,80	1,00	2,65	93.943	1,50	31.865,49	OK	OK	72148,27	13527,80
	LH.1	0,24	0,80	1,00	2,65	252.371	1,50	85.604,36	OK	OK	193821,18	36341,47
	LH.2	0,24	0,80	1,00	2,65	191.240	1,50	64.868,63	OK	OK	146872,38	27538,57
	LH3	0,24	0,80	1,00	2,65	160.085	1,50	54.300,85	OK	OK	122945,33	23052,25
LI	LI.1	0,24	0,80	1,00	2,65	31.747	1,50	10.768,54	OK	OK	24381,60	4571,55
	LI.2	0,24	0,80	1,00	2,65	41.042	1,50	13.921,33	OK	OK	31520,00	5910,00
	LI.3	0,24	0,80	1,00	2,65	41.234	1,50	13.986,65	OK	OK	31667,89	5937,73
	LI.4	0,24	0,80	1,00	2,65	40.213	1,50	13.640,21	OK	OK	30883,50	5790,66
	LI.5	0,24	0,80	1,00	2,65	161.644	1,50	54.829,50	OK	OK	124142,27	23276,67
LJ	LJ.1	0,24	0,80	1,00	2,65	32.519	1,50	11.030,57	OK	OK	24974,89	4682,79
	LJ.2	0,24	0,80	1,00	2,65	41.942	1,50	14.226,74	OK	OK	32211,49	6039,65
	LJ.3	0,24	0,80	1,00	2,65	41.942	1,50	14.226,74	OK	OK	32211,49	6039,65
	LJ.4	0,24	0,80	1,00	2,65	38.099	1,50	12.923,25	OK	OK	29260,20	5486,29
	LJ.5	0,24	0,80	1,00	2,65	53.724	1,50	18.223,16	OK	OK	41259,98	7736,25
	LJ.6	0,24	0,80	1,00	2,65	88.351	1,50	29.968,75	OK	OK	67853,78	12722,58
LK	LK.1	0,24	0,80	1,00	2,65	163.887	1,50	55.590,60	OK	OK	125865,50	23599,78
	LK.2	0,24	0,80	1,00	2,65	325.474	1,50	110.400,90	OK	OK	249964,30	46868,31
	LK.3	0,24	0,80	1,00	2,65	300.063	1,50	101.781,27	OK	OK	230448,15	43209,03
	LK.4	0,24	0,80	1,00	2,65	106.052	1,50	35.972,68	OK	OK	81447,59	15271,42
	LK.5	0,24	0,80	1,00	2,65	32.325	1,50	10.964,62	OK	OK	24825,55	4654,79
LL	LL.1	0,24	0,80	1,00	2,65	33.184	1,50	11.255,99	OK	OK	25485,27	4778,49
	LL.2	0,24	0,80	1,00	2,65	79.308	1,50	26.901,43	OK	OK	60908,90	11420,42
	LL.3	0,24	0,80	1,00	2,65	80.602	1,50	27.340,13	OK	OK	61902,19	11606,66
	LL.4	0,24	0,80	1,00	2,65	81.273	1,50	27.567,64	OK	OK	62417,31	11703,24
	LL.5	0,24	0,80	1,00	2,65	81.679	1,50	27.705,46	OK	OK	62729,34	11761,75
	LL.6	0,24	0,80	1,00	2,65	86.155	1,50	29.223,90	OK	OK	66167,31	12406,37
	LL.7	0,24	0,80	1,00	2,65	79.685	1,50	27.029,05	OK	OK	61197,85	11474,60
	LL.8	0,24	0,80	1,00	2,65	67.025	1,50	22.734,78	OK	OK	51474,98	9651,56
	LL.9	0,24	0,80	1,00	2,65	87.215	1,50	29.583,16	OK	OK	66980,75	12558,89
	LL.10	0,24	0,80	1,00	2,65	82.472	1,50	27.974,40	OK	OK	63338,27	11875,93
	LL.11	0,24	0,80	1,00	2,65	82.878	1,50	28.112,22	OK	OK	63650,30	11934,43
	LL.12	0,24	0,80	1,00	2,65	78.184	1,50	26.519,90	OK	OK	60045,06	11258,45
	LL.13	0,24	0,80	1,00	2,65	67.153	1,50	22.778,42	OK	OK	51573,78	9670,08
	LL.14	0,24	0,80	1,00	2,65	25.216	1,50	8.553,31	OK	OK	19365,98	3631,12

Tabel 5

CARACTERISTICI GEOMETRICE FUNDAȚII EXISTENTE											
Diafrag.	Spalet	L spalet tot [m]	GF [daN]	Gs total/L spalet tot	h [m] (elevatie)	b [m] (elevatie)	g [daN/m ³]	Ge [daN]	h [m] (fundatie)	B [m] (fundatie)	G _{fundatie} [daN]
T1	T1.1	3,43	73842,89	21528,54	0,6	0,85	2600	1989	0,3	1,05	819
	T1.2	3,38	76750,34	22707,20	0,6	0,85	2600	1989	0,3	1,05	819
	T1.3	1,97	44304,23	22489,46	0,6	0,85	2600	1989	0,3	1,05	819
	T1.4	1,71	43804,46	25616,65	0,6	0,85	2600	1989	0,3	1,05	819
	T1.5	1,63	42577,28	26121,03	0,6	0,85	2600	1989	0,3	1,05	819
	T1.6	1,97	44026,41	22348,43	0,6	0,85	2600	1989	0,3	1,05	819
	T1.7	0,94	19607,91	20859,48	0,6	0,85	2600	1989	0,3	1,05	819
	T1.8	1,36	47502,78	34928,51	0,6	0,56	2600	874	0,3	0,76	593
	T1.9	1,31	46445,04	35454,23	0,6	0,56	2600	874	0,3	0,76	593
	T1.10	0,99	21085,43	21298,41	0,6	0,56	2600	874	0,3	0,76	593
T2	T2.1	1,70	39532,31	23254,30	0,6	0,85	2600	1989	0,3	1,05	819
	T2.2	1,75	59837,11	34192,64	0,6	0,85	2600	1989	0,3	1,05	819
	T2.3	1,70	57099,45	33587,91	0,6	0,85	2600	1989	0,3	1,05	819
	T2.4	1,75	59541,22	34023,55	0,6	0,85	2600	1989	0,3	1,05	819
	T2.5	1,88	43816,73	23306,77	0,6	0,85	2600	1989	0,3	1,05	819
	T2.6	1,87	43502,72	23263,49	0,6	0,85	2600	1989	0,3	1,05	819
	T2.7	1,75	60450,92	34543,39	0,6	0,85	2600	1989	0,3	1,05	819
	T2.8	1,90	62313,49	32796,58	0,6	0,85	2600	1989	0,3	1,05	819
	T2.9	1,75	60795,21	34740,12	0,6	0,85	2600	1989	0,3	1,05	819
	T2.10	1,67	38281,48	22923,04	0,6	0,85	2600	1989	0,3	1,05	819
	T2.11	4,49	98424,54	21920,83	0,6	0,56	2600	874	0,3	0,76	593
T3	T3.1	1,12	27717,67	24747,92	0,6	0,85	2600	1989	0,3	1,05	819
	T3.2	8,05	236452,22	29372,95	0,6	0,85	2600	1989	0,3	1,05	819
	T3.3	5,31	116646,95	21967,41	0,6	0,85	2600	1989	0,3	1,05	819
	T3.4	5,72	130698,34	22849,36	0,6	0,85	2600	1989	0,3	1,05	819
	T3.5	5,02	146871,62	29257,30	0,6	0,85	2600	1989	0,3	1,05	819
	T3.6	6,37	188293,16	29559,37	0,6	0,85	2600	1989	0,3	1,05	819
	T3.7	2,90	83516,68	28798,85	0,6	0,85	2600	1989	0,3	1,05	819
T4	T4.1	1,13	34786,11	30784,17	0,6	0,85	2600	1989	0,3	1,05	819
	T4.2	1,20	42190,97	35159,15	0,6	0,85	2600	1989	0,3	1,05	819
	T4.3	1,20	41697,20	34747,67	0,6	0,85	2600	1989	0,3	1,05	819
	T4.4	1,05	35864,62	34156,78	0,6	0,85	2600	1989	0,3	1,05	819
	T4.5	1,72	34440,01	20023,26	0,6	0,85	2600	1989	0,3	1,05	819
	T4.6	5,19	120639,17	23244,54	0,6	0,85	2600	1989	0,3	1,05	819
	T4.7	1,71	51226,43	29956,98	0,6	0,85	2600	1989	0,3	1,05	819
	T4.8	1,71	51226,43	29956,98	0,6	0,85	2600	1989	0,3	1,05	819
	T4.9	1,71	50623,59	29604,44	0,6	0,85	2600	1989	0,3	1,05	819
	T4.10	0,64	20419,56	31905,57	0,6	0,85	2600	1989	0,3	1,05	819
	T4.11	5,66	102048,86	18029,83	0,6	0,85	2600	1989	0,3	1,05	819
	T4.12	4,31	107179,64	24867,67	0,6	0,85	2600	1989	0,3	1,05	819

Tabel 5 continuare

CARACTERISTICI GEOMETRICE FUNDATII EXISTENTE											
Diafrag.	Spalet	L spalet tot [m]	GF [daN]	Gs total/L spalet tot	h [m] (elevatie)	b [m] (elevatie)	g [daN/m ³]	Ge [daN]	h [m] (fundatie)	B [m] (fundatie)	G _{fundatie} [daN]
T5	T5.1	2,80	43568,97	15560,35	0,6	0,56	2600	874	0,3	0,76	593
	T5.2	3,67	52930,17	14422,39	0,6	0,56	2600	874	0,3	0,76	593
	T5.1'	4,01	71157,73	17745,07	0,6	0,42	2600	655	0,3	0,62	484
	T5.2'	4,01	68497,25	17081,61	0,6	0,42	2600	655	0,3	0,62	484
	T5.3	1,13	35696,33	31589,67	0,6	0,56	2600	874	0,3	0,76	593
	T5.4	1,35	54295,06	40218,56	0,6	0,56	2600	874	0,3	0,76	593
	T5.5	1,33	53008,42	39855,96	0,6	0,56	2600	874	0,3	0,76	593
	T5.6	1,19	38625,49	32458,40	0,6	0,56	2600	874	0,3	0,76	593
	T5.7	19,21	431255,35	22449,52	0,6	0,56	2600	874	0,3	0,76	593
	T5.8	4,40	82661,09	18786,61	0,6	0,42	2600	655	0,3	0,62	484
T5.9	2,77	29311,29	10581,69	0,6	0,42	2600	655	0,3	0,62	484	
T5.10	2,42	26819,34	11082,37	0,6	0,42	2600	655	0,3	0,62	484	
T6	T6.1	5,10	101413,31	19884,96	0,6	0,85	2600	1989	0,3	1,05	819
	T6.2	6,85	144411,70	21082,00	0,6	0,85	2600	1989	0,3	1,05	819
T7	T7.1	2,86	44629,49	15604,72	0,6	0,56	2600	874	0,3	0,76	593
	T7.2	3,34	49574,63	14842,70	0,6	0,56	2600	874	0,3	0,76	593
	T7.3	19,11	518903,77	27153,52	0,6	0,56	2600	874	0,3	0,76	593
	T7.3'	4,20	69379,05	16518,82	0,6	0,28	2600	437	0,3	0,48	374
T8	T8.1	4,37	109816,01	25129,52	0,6	0,42	2600	655	0,3	0,62	484
	T8.2	4,63	137414,69	29679,20	0,6	0,42	2600	655	0,3	0,62	484
T9	T9.1'	3,29	32090,85	9754,06	0,6	0,28	2600	437	0,3	0,48	374
	T9.2'	2,99	28857,85	9651,46	0,6	0,28	2600	437	0,3	0,48	374
	T9.3'	1,12	26751,53	23885,29	0,6	0,42	2600	655	0,3	0,62	484
	T9.4'	2,58	54717,10	21208,18	0,6	0,42	2600	655	0,3	0,62	484
	T9.1	1,09	29483,22	27048,83	0,6	0,56	2600	874	0,3	0,76	593
	T9.2	0,95	38154,30	40162,42	0,6	0,56	2600	874	0,3	0,76	593
	T9.3	0,95	38154,30	40162,42	0,6	0,56	2600	874	0,3	0,76	593
	T9.4	1,79	50326,49	28115,36	0,6	0,56	2600	874	0,3	0,76	593
	T9.5	5,06	143760,21	28411,11	0,6	0,42	2600	655	0,3	0,62	484
	T9.6	1,94	85428,32	44035,22	0,6	0,42	2600	655	0,3	0,62	484
T9.7	0,65	11793,04	18143,14	0,6	0,42	2600	655	0,3	0,62	484	
T10	T10.1	10,07	209180,89	20772,68	0,6	0,85	2600	1989	0,3	1,05	819
	T10.2	1,53	36126,69	23612,21	0,6	0,85	2600	1989	0,3	1,05	819
	T10.3	1,29	35523,77	27537,81	0,6	0,85	2600	1989	0,3	1,05	819
	T10.4	1,68	90728,19	54004,88	0,6	0,85	2600	1989	0,3	1,05	819
	T10.5	1,61	53667,29	33333,72	0,6	0,85	2600	1989	0,3	1,05	819
	T10.6	4,41	102811,33	23313,23	0,6	0,85	2600	1989	0,3	1,05	819
LA	LA.1	4,80	100963,21	21034,00	0,6	0,85	2600	1989	0,3	1,05	819
	LA.2	1,54	38721,51	25143,83	0,6	0,85	2600	1989	0,3	1,05	819
	LA.3	1,52	54567,31	35899,54	0,6	0,85	2600	1989	0,3	1,05	819
	LA.4	1,55	55696,55	35933,26	0,6	0,85	2600	1989	0,3	1,05	819
	LA.5	1,71	51504,91	30119,83	0,6	0,85	2600	1989	0,3	1,05	819
	LA.6	1,54	56774,94	36866,84	0,6	0,85	2600	1989	0,3	1,05	819
	LA.7	1,68	36245,08	21574,45	0,6	0,85	2600	1989	0,3	1,05	819

Tabel 5 continuare

CARACTERISTICI GEOMETRICE FUNDATII EXISTENTE											
Diafrag.	Spalet	L spalet tot [m]	GF [daN]	Gs total/L spalet tot	h [m] (elevatie)	b [m] (elevatie)	g [daN/m ³]	Ge [daN]	h [m] (fundatie)	B [m] (fundatie)	G _{fundatie} [daN]
LB	LB.1	6,70	136571,15	20383,75	0,6	0,42	2600	655	0,3	0,62	484
	LB.2	2,72	57617,14	21182,77	0,6	0,85	2600	1989	0,3	1,05	819
	LB.3	4,46	129698,24	29080,32	0,6	0,85	2600	1989	0,3	1,05	819
	LB.4	2,36	65283,87	27662,66	0,6	0,85	2600	1989	0,3	1,05	819
	LB.5	4,93	78709,26	15965,37	0,6	0,85	2600	1989	0,3	1,05	819
	LB.1'	3,93	68144,85	17339,66	0,6	0,85	2600	1989	0,3	1,05	819
	LB.2'	3,09	62923,43	20363,57	0,6	0,85	2600	1989	0,3	1,05	819
	LB.3'	1,04	12806,50	12313,94	0,6	0,85	2600	1989	0,3	1,05	819
	LB.4'	2,62	53479,18	20411,90	0,6	0,85	2600	1989	0,3	1,05	819
LC	LC.1	5,33	105679,74	19827,34	0,6	0,85	2600	1989	0,3	1,05	819
	LC.2	1,11	39061,08	35190,17	0,6	0,85	2600	1989	0,3	1,05	819
	LC.3	1,79	44049,35	24608,58	0,6	0,85	2600	1989	0,3	1,05	819
	LC.4	1,77	54044,26	30533,48	0,6	0,85	2600	1989	0,3	1,05	819
	LC.5	1,78	42704,60	23991,35	0,6	0,85	2600	1989	0,3	1,05	819
	LC.6	1,65	39136,47	23719,07	0,6	0,85	2600	1989	0,3	1,05	819
	LC.7	0,94	22997,89	24465,84	0,6	0,85	2600	1989	0,3	1,05	819
LD	LD.1	1,08	26799,38	24814,24	0,6	0,56	2600	874	0,3	0,76	593
	LD.2	1,10	32111,46	29192,24	0,6	0,56	2600	874	0,3	0,76	593
	LD.3	1,10	32111,46	29192,24	0,6	0,56	2600	874	0,3	0,76	593
	LD.4	1,49	33946,21	22782,69	0,6	0,56	2600	874	0,3	0,76	593
LE	LE.1	6,70	193045,96	28812,83	0,6	0,56	2600	874	0,3	0,76	593
LF	LF.1	4,91	107941,77	21984,07	0,6	0,42	2600	655	0,3	0,62	484
	LF.2	1,37	28339,38	20685,68	0,6	0,85	2600	1989	0,3	1,05	819
	LF.3	3,92	81191,56	20712,13	0,6	0,85	2600	1989	0,3	1,05	819
	LF.4	0,86	22040,77	25628,80	0,6	0,85	2600	1989	0,3	1,05	819
	LF.5	1,86	53327,13	28670,50	0,6	0,85	2600	1989	0,3	1,05	819
	LF.6	1,50	60059,06	40039,38	0,6	0,85	2600	1989	0,3	1,05	819
	LF.7	1,50	50751,75	33834,50	0,6	0,85	2600	1989	0,3	1,05	819
	LF.8	1,50	50489,62	33659,75	0,6	0,85	2600	1989	0,3	1,05	819
	LF.9	2,69	77911,62	28963,43	0,6	0,85	2600	1989	0,3	1,05	819
	LF.1'	4,37	87727,51	20074,95	0,6	0,42	2600	655	0,3	0,62	484
	LF.4'	4,37	88155,25	20172,83	0,6	0,42	2600	655	0,3	0,62	484
	LF.7'	1,91	21256,92	11129,28	0,6	0,42	2600	655	0,3	0,62	484
	LF.8'	1,79	18982,21	10604,59	0,6	0,42	2600	655	0,3	0,62	484
	LF.9'	2,05	36379,65	17746,17	0,6	0,28	2600	437	0,3	0,48	374
	LF.10'	4,29	88408,14	20607,96	0,6	0,28	2600	437	0,3	0,48	374
LF.11'	6,61	129614,51	19608,85	0,6	0,28	2600	437	0,3	0,48	374	
LG	LG.1	4,83	101613,73	21038,04	0,6	0,42	2600	655	0,3	0,62	484

Tabel 5 continuare

CARACTERISTICI GEOMETRICE FUNDATII EXISTENTE											
Diafrag.	Spalet	L spalet tot [m]	GF [daN]	Gs total/L spalet tot	h [m] (elevatie)	b [m] (elevatie)	g [daN/m ³]	Ge [daN]	h [m] (fundatie)	B [m] (fundatie)	G _{fundatie} [daN]
LH	LH.1'	4,90	93943,06	19172,05	0,6	0,42	2600	655	0,3	0,62	484
	LH.1	13,92	252371,33	18130,12	0,6	0,56	2600	874	0,3	0,76	593
	LH.2	5,77	191240,07	33143,86	0,6	0,42	2600	655	0,3	0,62	484
	LH3	4,20	160085,07	38115,49	0,6	0,56	2600	874	0,3	0,76	593
LI	LI.1	1,20	31746,87	26455,73	0,6	0,56	2600	874	0,3	0,76	593
	LI.2	1,18	41041,66	34781,07	0,6	0,56	2600	874	0,3	0,76	593
	LI.3	1,20	41234,23	34361,86	0,6	0,56	2600	874	0,3	0,76	593
	LI.4	1,20	40212,89	33510,74	0,6	0,56	2600	874	0,3	0,76	593
	LI.5	5,93	161643,57	27258,61	0,6	0,56	2600	874	0,3	0,76	593
LJ	LJ.1	1,20	32519,38	27099,49	0,6	0,56	2600	874	0,3	0,76	593
	LJ.2	1,20	41942,04	34951,70	0,6	0,56	2600	874	0,3	0,76	593
	LJ.3	1,20	41942,04	34951,70	0,6	0,56	2600	874	0,3	0,76	593
	LJ.4	0,97	38099,22	39277,54	0,6	0,56	2600	874	0,3	0,76	593
	LJ.5	1,63	53723,93	32959,46	0,6	0,56	2600	874	0,3	0,76	593
	LJ.6	4,48	88351,27	19721,27	0,6	0,56	2600	874	0,3	0,76	593
LK	LK.1	6,14	163887,37	26691,75	0,6	0,42	2600	655	0,3	0,62	484
	LK.2	10,89	325474,35	29887,45	0,6	0,42	2600	655	0,3	0,62	484
	LK.3	11,17	300062,70	26863,27	0,6	0,42	2600	655	0,3	0,62	484
	LK.4	3,21	106051,54	33037,86	0,6	0,42	2600	655	0,3	0,62	484
	LK.5	1,44	32324,93	22447,87	0,6	0,42	2600	655	0,3	0,62	484
LL	LL.1	1,43	33183,95	23205,56	0,6	0,70	2600	1092	0,3	0,90	702
	LL.2	2,10	79308,46	37765,93	0,6	0,70	2600	1092	0,3	0,90	702
	LL.3	2,10	80601,81	38381,81	0,6	0,70	2600	1092	0,3	0,90	702
	LL.4	2,10	81272,53	38701,21	0,6	0,70	2600	1092	0,3	0,90	702
	LL.5	2,10	81678,82	38894,68	0,6	0,70	2600	1092	0,3	0,90	702
	LL.6	2,76	86155,35	31215,71	0,6	0,70	2600	1092	0,3	0,90	702
	LL.7	1,33	79684,70	59913,31	0,6	0,70	2600	1092	0,3	0,90	702
	LL.8	1,33	67024,71	50394,52	0,6	0,70	2600	1092	0,3	0,90	702
	LL.9	2,91	87214,51	29970,62	0,6	0,70	2600	1092	0,3	0,90	702
	LL.10	2,10	82471,71	39272,24	0,6	0,70	2600	1092	0,3	0,90	702
	LL.11	2,10	82878,00	39465,71	0,6	0,70	2600	1092	0,3	0,90	702
	LL.12	2,10	78183,67	37230,32	0,6	0,70	2600	1092	0,3	0,90	702
	LL.13	2,09	67153,36	32130,80	0,6	0,70	2600	1092	0,3	0,90	702
	LL.14	0,91	25216,12	27710,02	0,6	0,70	2600	1092	0,3	0,90	702

Tabel 5 continuare

CARACTERISTICI GEOMETRICE FUNDAȚII CONSOLIDATE														
Diafrag	Spațet	h [m] (camas)	l [m] (camas)	b[m] (camas)	G [daN] (camas)	h [m] (pinteni)	b [m] (pinteni)	G[daN] (pinteni)	B total fundati e [m]	Gt [daN]	At [mp]	Presiune pe talpă [KN]	P _{plastic} [Kpa]	P _{plastic >} pef,med
T1	T1.1	0,6	1,0	0,24	360	0,3	0,5	375	1,55	25.071,54	5,32	47,16	140	OK
	T1.2	0,6	1,0	0,24	360	0,3	0,5	375	1,55	26.250,20	5,24	50,11	140	OK
	T1.3	0,6	1,0	0,24	360	0,3	0,5	375	1,55	26.032,46	3,05	85,25	140	OK
	T1.4	0,6	1,0	0,24	360	0,3	0,5	375	1,55	29.159,65	2,65	110,02	140	OK
	T1.5	0,6	1,0	0,24	360	0,3	0,5	375	1,55	29.664,03	2,53	117,41	140	OK
	T1.6	0,6	1,0	0,24	360	0,3	0,5	375	1,55	25.891,43	3,05	84,79	140	OK
	T1.7	0,6	1,0	0,24	360	0,3	0,85	637,5	1,90	24.664,98	1,79	138,10	140	OK
	T1.8	0,6	1,0	0,24	360	0,6	0,6	900	1,36	37.654,91	1,85	203,58	210	OK
	T1.9	0,6	1,0	0,24	360	0,6	0,65	975	1,41	38.255,63	1,85	207,11	210	OK
	T1.10	0,6	1,0	0,24	360	0,6	0,5	750	1,26	23.874,81	1,25	191,40	210	OK
T2	T2.1	0,6	1,0	0,24	360	0,3	0,5	375	1,55	26.797,30	2,64	101,70	140	OK
	T2.2	0,6	1,0	0,24	360	0,3	0,5	375	1,55	37.735,64	2,71	139,12	140	OK
	T2.3	0,6	1,0	0,24	360	0,3	0,6	450	1,65	37.205,91	2,81	132,64	140	OK
	T2.4	0,6	1,0	0,24	360	0,3	0,5	375	1,55	37.566,55	2,71	138,49	140	OK
	T2.5	0,6	1,0	0,24	360	0,3	0,5	375	1,55	26.849,77	2,91	92,14	140	OK
	T2.6	0,6	1,0	0,24	360	0,3	0,5	375	1,55	26.806,49	2,90	92,48	140	OK
	T2.7	0,6	1,0	0,24	360	0,3	0,55	412,5	1,60	38.123,89	2,80	136,16	140	OK
	T2.8	0,6	1,0	0,24	360	0,3	0,5	375	1,55	36.339,58	2,95	123,39	140	OK
	T2.9	0,6	1,0	0,24	360	0,3	0,55	412,5	1,60	38.320,62	2,80	136,86	140	OK
	T2.10	0,6	1,0	0,24	360	0,3	0,5	375	1,55	26.466,04	2,59	102,24	140	OK
	T2.11	0,6	1,0	0,24	360	0,6	0,5	750	1,26	24.497,23	5,66	43,30	210	OK
T3	T3.1	0,6	1,0	0,24	360	0,6	0,8	1200	1,85	29.115,92	2,07	140,00	140	OK
	T3.2	0,6	1,0	0,24	360	0,6	0,5	750	1,55	33.290,95	12,48	26,68	140	OK
	T3.3	0,6	1,0	0,24	360	0,6	0,5	750	1,55	25.885,41	8,23	31,45	140	OK
	T3.4	0,6	1,0	0,24	360	0,6	0,5	750	1,55	26.767,36	8,87	30,19	140	OK
	T3.5	0,6	1,0	0,24	360	0,6	0,5	750	1,55	33.175,30	7,78	42,64	140	OK
	T3.6	0,6	1,0	0,24	360	0,6	0,5	750	1,55	33.477,37	9,87	33,91	140	OK
	T3.7	0,6	1,0	0,24	360	0,6	0,5	750	1,55	32.716,85	4,50	72,78	140	OK
T4	T4.1	0,6	1,0	0,24	360	0,6	0,7	1050	1,75	35.002,17	1,98	127,81	140	OK
	T4.2	0,6	1,0	0,24	360	0,6	0,7	1050	1,75	39.377,15	2,10	127,81	140	OK
	T4.3	0,6	1,0	0,24	360	0,6	0,7	1050	1,75	38.965,67	2,10	127,81	140	OK
	T4.4	0,6	1,0	0,24	360	0,6	0,7	1050	1,75	38.374,78	1,84	127,81	140	OK
	T4.5	0,6	1,0	0,24	360	0,6	0,5	750	1,55	23.941,26	2,67	89,80	140	OK
	T4.6	0,6	1,0	0,24	360	0,6	0,5	750	1,55	27.162,54	8,04	33,77	140	OK
	T4.7	0,6	1,0	0,24	360	0,6	0,5	750	1,55	33.874,98	2,65	127,81	140	OK
	T4.8	0,6	1,0	0,24	360	0,6	0,5	750	1,55	33.874,98	2,65	127,81	140	OK
	T4.9	0,6	1,0	0,24	360	0,6	0,5	750	1,55	33.522,44	2,65	126,48	140	OK
	T4.10	0,6	1,0	0,24	360	0,6	0,7	1050	1,75	36.123,57	1,12	129,35	140	OK
	T4.11	0,6	1,0	0,24	360	0,6	0,5	750	1,55	21.947,83	8,77	25,02	140	OK
	T4.12	0,6	1,0	0,24	360	0,6	0,5	750	1,55	28.785,67	6,68	43,09	140	OK

Tabel 5 continuare

CARACTERISTICI GEOMETRICE FUNDAȚII CONSOLIDATE														
Diafrag	Spalet	h [m] (camas)	l [m] (camas)	b[m] (camas)	G [daN] (camas)	h [m] (pinteni)	b [m] (pinteni)	G[daN] (pinteni)	B total fundati e [m]	Gt [daN]	At [mp]	Presiune pe talpă [KN]	P _{plastic} [Kpa]	P _{plastic} > pef,med
T5	T5.1	0,6	1,0	0,24	360	0,6	0,5	750	1,26	18.136,75	3,53	51,41	210	OK
	T5.2	0,6	1,0	0,24	360	0,6	0,5	750	1,26	16.998,79	4,62	36,76	210	OK
	T5.1'	0,6	1,0	0,24	360	0,6	0,5	750	1,12	19.993,87	4,49	44,52	210	OK
	T5.2'	0,6	1,0	0,24	360	0,6	0,5	750	1,12	19.330,41	4,49	43,04	210	OK
	T5.3	0,6	1,0	0,24	360	0,6	0,7	1050	1,46	34.466,07	1,65	208,91	210	OK
	T5.4	0,6	1,0	0,24	360	0,6	0,7	1050	1,46	43.094,96	1,97	203,38	210	OK
	T5.5	0,6	1,0	0,24	360	0,6	0,7	1050	1,46	42.732,36	1,94	205,79	210	OK
	T5.6	0,6	1,0	0,24	360	0,6	0,7	1050	1,46	35.334,80	1,74	203,38	210	OK
	T5.7	0,6	1,0	0,24	360	0,6	0,5	750	1,26	25.025,92	24,20	10,34	210	OK
	T5.8	0,6	1,0	0,24	360	0,6	0,5	750	1,12	21.035,41	4,93	42,69	210	OK
T5.9	0,6	1,0	0,24	360	0,6	0,5	750	1,12	12.830,49	3,10	41,36	210	OK	
T5.10	0,6	1,0	0,24	360	0,6	0,5	750	1,12	13.331,17	2,71	49,19	210	OK	
T6	T6.1	0,6	1,0	0,24	360	0,6	0,5	750	1,55	23.802,96	7,91	30,11	140	OK
	T6.2	0,6	1,0	0,24	360	0,6	0,5	750	1,55	25.000,00	10,62	23,55	140	OK
T7	T7.1	0,6	1,0	0,24	360	0,6	0,5	750	1,26	18.181,12	3,60	50,45	210	OK
	T7.2	0,6	1,0	0,24	360	0,6	0,5	750	1,26	17.419,10	4,21	41,39	210	OK
	T7.3	0,6	1,0	0,24	360	0,6	0,5	750	1,26	29.729,92	24,08	12,35	210	OK
	T7.3'	0,6	1,0	0,24	360	0,6	0,5	750	0,98	18.440,02	4,12	44,80	210	OK
T8	T8.1	0,6	1,0	0,24	360	0,6	0,5	750	1,12	27.378,32	4,89	55,94	210	OK
	T8.2	0,6	1,0	0,24	360	0,6	0,5	750	1,12	31.928,00	5,19	61,57	210	OK
T9	T9.1'	0,6	1,0	0,24	360	0,6	0,5	750	0,98	11.675,26	3,22	36,21	210	OK
	T9.2'	0,6	1,0	0,24	360	0,6	0,5	750	0,98	11.572,66	2,93	39,49	210	OK
	T9.3'	0,6	1,0	0,24	360	0,6	0,5	750	1,12	26.134,09	1,25	208,34	210	OK
	T9.4'	0,6	1,0	0,24	360	0,6	0,5	750	1,12	23.456,98	2,89	81,18	210	OK
	T9.1	0,6	1,0	0,24	360	0,6	0,7	1050	1,46	29.925,23	1,59	188,04	210	OK
	T9.2	0,6	1,0	0,24	360	0,6	0,8	1200	1,56	43.188,82	1,48	206,79	210	OK
	T9.3	0,6	1,0	0,24	360	0,6	0,8	1200	1,56	43.188,82	1,48	204,41	210	OK
	T9.4	0,6	1,0	0,24	360	0,6	0,5	750	1,26	30.691,76	2,26	136,08	210	OK
	T9.5	0,6	1,0	0,24	360	0,6	0,5	750	1,12	30.659,91	5,67	54,10	210	OK
	T9.6	0,6	1,0	0,24	360	0,6	0,55	825	1,17	46.359,02	2,27	204,24	210	OK
T9.7	0,6	1,0	0,24	360	0,6	0,8	1200	1,42	20.841,94	0,92	209,65	210	OK	
T10	T10.1	0,6	1,0	0,24	360	0,6	0,5	750	1,55	24.690,68	15,61	15,82	140	OK
	T10.2	0,6	1,0	0,24	360	0,6	0,5	750	1,55	27.530,21	2,37	116,09	140	OK
	T10.3	0,6	1,0	0,24	360	0,6	0,7	1050	1,75	31.755,81	2,26	139,00	140	OK
	T10.4	0,6	1,0	0,24	360	0,6	0,8	1200	1,85	58.372,88	3,11	139,52	140	OK
	T10.5	0,6	1,0	0,24	360	0,6	0,7	1050	1,75	37.551,72	2,82	133,28	140	OK
	T10.6	0,6	1,0	0,24	360	0,6	0,5	750	1,55	27.231,23	6,84	39,84	140	OK
LA	LA.1	0,6	1,0	0,24	360	0,6	0,5	750	1,55	24.952,00	7,44	33,54	140	OK
	LA.2	0,6	1,0	0,24	360	0,6	0,5	750	1,55	29.061,83	2,39	121,75	140	OK
	LA.3	0,6	1,0	0,24	360	0,6	0,75	1125	1,80	40.192,54	2,74	138,25	140	OK
	LA.4	0,6	1,0	0,24	360	0,6	0,75	1125	1,80	40.226,26	2,79	139,33	140	OK
	LA.5	0,6	1,0	0,24	360	0,6	0,5	750	1,55	34.037,83	2,65	128,42	140	OK
	LA.6	0,6	1,0	0,24	360	0,6	0,9	1350	1,95	41.384,84	3,00	137,81	140	OK
	LA.7	0,6	1,0	0,24	360	0,6	0,5	750	1,55	25.492,45	2,60	97,90	140	OK

Tabel 5 continuare

CARACTERISTICI GEOMETRICE FUNDAȚII CONSOLIDATE														
Diafrag	Spalet	h [m] (camas)	l [m] (camas)	b[m] (camas)	G [daN] (camas)	h [m] (pinteni)	b [m] (pinteni)	G[daN] (pinteni)	B total fundati e [m]	Gt [daN]	At [mp]	Presiune pe talpă [KN]	P _{plastic} [Kpa]	P _{plastic} > pef,med
LB	LB.1	0,6	1,0	0,24	360	0,6	0,5	750	1,12	22.632,55	7,50	30,16	150	OK
	LB.2	0,6	1,0	0,24	360	0,6	0,5	750	1,55	25.100,77	4,22	59,54	140	OK
	LB.3	0,6	1,0	0,24	360	0,6	0,5	750	1,55	32.998,32	6,91	47,73	140	OK
	LB.4	0,6	1,0	0,24	360	0,6	0,5	750	1,55	31.580,66	3,66	86,33	140	OK
	LB.5	0,6	1,0	0,24	360	0,6	0,5	750	1,55	19.883,37	7,64	26,02	140	OK
	LB.1'	0,6	1,0	0,24	360	0,6	0,5	750	1,55	21.257,66	6,09	34,90	140	OK
	LB.2'	0,6	1,0	0,24	360	0,6	0,5	750	1,55	24.281,57	4,79	50,70	140	OK
	LB.3'	0,6	1,0	0,24	360	0,6	0,5	750	1,55	16.231,94	1,61	100,69	140	OK
LC	LC.1	0,6	1,0	0,24	360	0,6	0,5	750	1,55	24.329,90	4,06	59,91	140	OK
	LC.2	0,6	1,0	0,24	360	0,6	0,8	1200	1,85	23.745,34	8,26	28,74	140	OK
	LC.3	0,6	1,0	0,24	360	0,6	0,5	750	1,55	39.558,17	2,05	138,46	140	OK
	LC.4	0,6	1,0	0,24	360	0,6	0,5	750	1,55	28.526,58	2,77	102,82	140	OK
	LC.5	0,6	1,0	0,24	360	0,6	0,5	750	1,55	34.451,48	2,74	125,57	140	OK
	LC.6	0,6	1,0	0,24	360	0,6	0,5	750	1,55	27.909,35	2,76	101,16	140	OK
	LC.7	0,6	1,0	0,24	360	0,6	0,9	1350	1,95	27.637,07	2,56	108,06	140	OK
LD	LD.1	0,6	1,0	0,24	360	0,6	0,5	750	1,26	28.983,84	1,83	139,00	140	OK
	LD.2	0,6	1,0	0,24	360	0,6	0,65	975	1,41	27.390,64	1,36	201,28	210	OK
	LD.3	0,6	1,0	0,24	360	0,6	0,65	975	1,41	31.993,64	1,55	206,28	210	OK
	LD.4	0,6	1,0	0,24	360	0,6	0,5	750	1,26	31.993,64	1,55	206,28	210	OK
LE	LE.1	0,6	1,0	0,24	360	0,6	0,5	750	1,26	25.359,09	1,88	135,08	210	OK
LF	LF.1	0,6	1,0	0,24	360	0,6	0,5	750	1,12	31.389,23	8,44	37,18	210	OK
	LF.2	0,6	1,0	0,24	360	0,6	0,5	750	1,55	24.232,87	5,50	44,07	210	OK
	LF.3	0,6	1,0	0,24	360	0,6	0,5	750	1,55	24.603,68	2,12	115,86	140	OK
	LF.4	0,6	1,0	0,24	360	0,6	0,8	1200	1,85	24.630,13	6,08	40,54	140	OK
	LF.5	0,6	1,0	0,24	360	0,6	0,5	750	1,55	29.996,80	1,59	139,80	140	OK
	LF.6	0,6	1,0	0,24	360	0,6	0,8	1200	1,85	32.588,50	2,88	113,04	140	OK
	LF.7	0,6	1,0	0,24	360	0,6	0,8	1200	1,85	44.407,38	2,78	139,57	140	OK
	LF.8	0,6	1,0	0,24	360	0,6	0,8	1200	1,85	38.202,50	2,78	137,67	140	OK
	LF.9	0,6	1,0	0,24	360	0,6	0,5	750	1,55	38.027,75	2,78	137,04	140	OK
	LF.10	0,6	1,0	0,24	360	0,6	0,5	750	1,55	32.881,43	4,17	78,86	140	OK
	LF.1'	0,6	1,0	0,24	360	0,6	0,5	750	1,12	22.323,75	4,89	45,61	210	OK
	LF.4'	0,6	1,0	0,24	360	0,6	0,5	750	1,12	22.421,63	4,89	45,81	210	OK
	LF.7'	0,6	1,0	0,24	360	0,6	0,5	750	1,12	13.378,08	2,14	62,54	210	OK
	LF.8'	0,6	1,0	0,24	360	0,6	0,5	750	1,12	12.853,39	2,00	64,11	210	OK
LF.9'	0,6	1,0	0,24	360	0,6	0,5	750	0,98	19.667,37	2,01	97,90	210	OK	
LF.10'	0,6	1,0	0,24	360	0,6	0,5	750	0,98	22.529,16	4,20	53,59	210	OK	
LF.11'	0,6	1,0	0,24	360	0,6	0,5	750	0,98	21.530,05	6,48	33,24	210	OK	
LG	LG.1	0,6	1,0	0,24	360	0,6	0,5	750	1,12	23.286,84	5,41	43,05	210	OK

Tabel 5 continuare

CARACTERISTICI GEOMETRICE FUNDAȚII CONSOLIDATE														
Diafrag	Spalet	h [m] (camas)	l [m] (camas)	b[m] (camas)	G [daN] (camas)	h [m] (pinteni)	b [m] (pinteni)	G[daN] (pinteni)	B total fundati e [m]	Gt [daN]	At [mp]	Presiune pe talpă [KN]	P _{plastic} [Kpa]	P _{plastic >} pef,med
LH	LH.1'	0,6	1,0	0,24	360	0,6	0,5	750	1,12	21.420,85	5,49	39,03	210	OK
	LH.1	0,6	1,0	0,24	360	0,6	0,5	750	1,26	20.706,52	17,54	11,81	210	OK
	LH.2	0,6	1,0	0,24	360	0,6	0,5	750	1,12	35.392,66	6,46	54,77	210	OK
	LH.3	0,6	1,0	0,24	360	0,6	0,5	750	1,26	40.691,89	5,29	76,89	210	OK
LI	LI.1	0,6	1,0	0,24	360	0,6	0,5	750	1,26	29.032,13	1,51	192,01	210	OK
	LI.2	0,6	1,0	0,24	360	0,6	0,8	1200	1,56	37.807,47	1,84	205,39	210	OK
	LI.3	0,6	1,0	0,24	360	0,6	0,8	1200	1,56	37.388,26	1,87	199,72	210	OK
	LI.4	0,6	1,0	0,24	360	0,6	0,8	1200	1,56	36.537,14	1,87	195,18	210	OK
	LI.5	0,6	1,0	0,24	360	0,6	0,5	750	1,26	29.835,01	7,47	39,93	210	OK
LJ	LJ.1	0,6	1,0	0,24	360	0,6	0,5	750	1,26	29.675,89	1,51	196,27	210	OK
	LJ.2	0,6	1,0	0,24	360	0,6	0,8	1200	1,56	37.978,10	1,87	202,87	210	OK
	LJ.3	0,6	1,0	0,24	360	0,6	0,8	1200	1,56	37.978,10	1,87	202,87	210	OK
	LJ.4	0,6	1,0	0,24	360	0,6	0,8	1200	1,56	42.303,94	1,51	208,36	210	OK
	LJ.5	0,6	1,0	0,24	360	0,6	0,5	750	1,26	35.535,86	2,05	173,02	210	OK
	LJ.6	0,6	1,0	0,24	360	0,6	0,5	750	1,26	22.297,67	5,64	39,50	210	OK
LK	LK.1	0,6	1,0	0,24	360	0,6	0,5	750	1,12	28.940,55	6,88	42,08	210	OK
	LK.2	0,6	1,0	0,24	360	0,6	0,5	750	1,12	32.136,25	12,20	26,35	210	OK
	LK.3	0,6	1,0	0,24	360	0,6	0,5	750	1,12	29.112,07	12,51	23,27	210	OK
	LK.4	0,6	1,0	0,24	360	0,6	0,5	750	1,12	35.286,66	3,60	98,15	210	OK
	LK.5	0,6	1,0	0,24	360	0,6	0,5	750	1,12	24.696,67	1,61	153,13	210	OK
LL	LL.1	0,6	1,0	0,24	360	0,6	0,5	750	1,40	26.109,56	2,00	130,42	210	OK
	LL.2	0,6	1,0	0,24	360	0,6	0,5	750	1,40	40.669,93	2,94	138,33	210	OK
	LL.3	0,6	1,0	0,24	360	0,6	0,5	750	1,40	41.285,81	2,94	140,43	210	OK
	LL.4	0,6	1,0	0,24	360	0,6	0,5	750	1,40	41.605,21	2,94	141,51	210	OK
	LL.5	0,6	1,0	0,24	360	0,6	0,5	750	1,40	41.798,68	2,94	142,17	210	OK
	LL.6	0,6	1,0	0,24	360	0,6	0,5	750	1,40	34.119,71	3,86	88,30	210	OK
	LL.7	0,6	1,0	0,24	360	0,6	0,8	1200	1,70	63.267,31	2,26	210,00	210	OK
	LL.8	0,6	1,0	0,24	360	0,6	0,8	1200	1,70	53.748,52	2,26	209,60	210	OK
	LL.9	0,6	1,0	0,24	360	0,6	0,5	750	1,40	32.874,62	4,07	80,69	210	OK
	LL.10	0,6	1,0	0,24	360	0,6	0,5	750	1,40	42.176,24	2,94	143,46	210	OK
	LL.11	0,6	1,0	0,24	360	0,6	0,5	750	1,40	42.369,71	2,94	144,11	210	OK
	LL.12	0,6	1,0	0,24	360	0,6	0,5	750	1,40	40.134,32	2,94	136,51	210	OK
	LL.13	0,6	1,0	0,24	360	0,6	0,5	750	1,40	35.034,80	2,93	119,74	210	OK
	LL.14	0,6	1,0	0,24	360	0,6	0,75	1125	1,65	30.989,02	1,50	206,39	210	OK

P Greutatea spaletilor din gruparea fundamentală

Întocmit,
Ing. Szakacs Andrei

4. RELEVEE FOTO

EX. Th.



1. Fațadă principală –DETALIU



1bis. Fațadă principală –DETALIU



1bis. Fațadă principală –DETALIU



2. Fațadă laterală stânga - Detaliu



3. Fațadă laterală stanga-Detaliu



4. Fatada posterioara curtea interioara - detaliu



5. Fatada curtea interioara - Detaliu



6. Fatada curtea interioara



7. Detaliu infiltrații apă la nivel de astereală



8. Fadata laterala dreapta - Detaliu



8bis. Fatada laterala dreapta



9. Fadata posterioara - Detaliu



10. Fatada curtea interioara-detaliu



11. Fatada laterala stanga – detaliu travee acces secundar



12. Fatada posterioara -detaliu



13. Detaliu usa intrare secundara laterala stanga



14. Detaliu balcon



15. Detalii ancadramente ferestre, muluri, cornise,





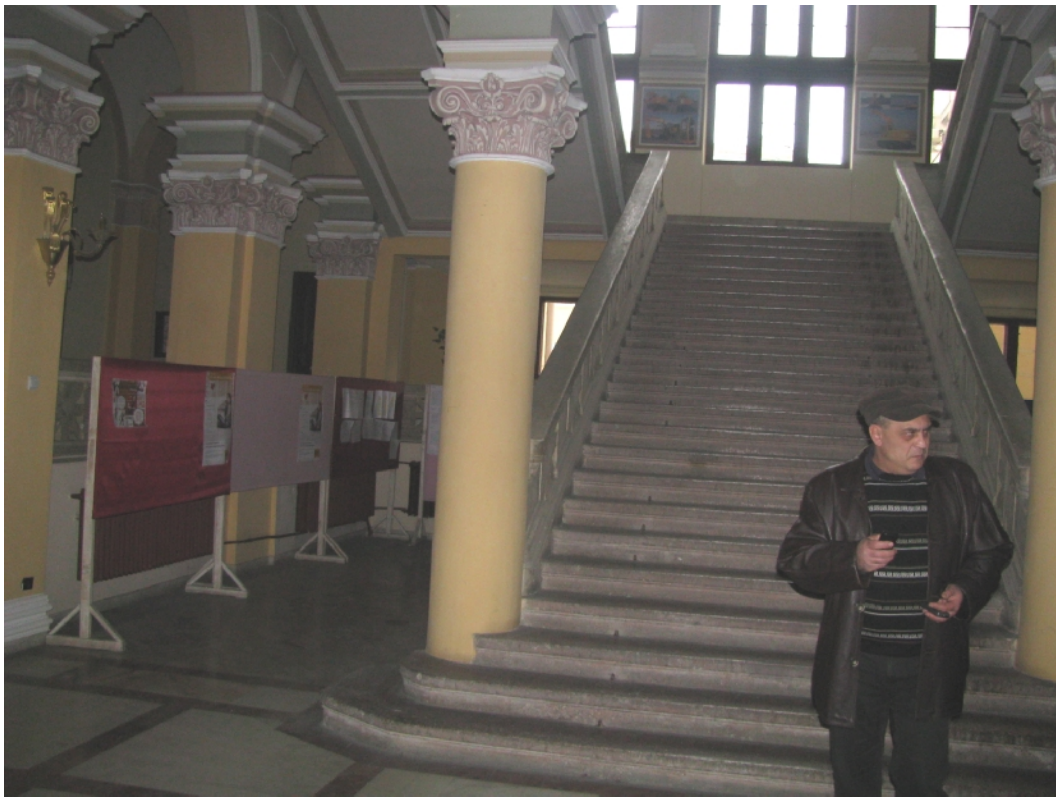
1. Hol principal intrare



2. Hol distributie parter dreapta



3. Hol distributie parter stanga



4. Scara principala de acces la etaj



5. Detaliu parapet scara principala de acces la etaj



6. Detaliu scara principala, etaj



7. Detaliu podest intermediar scara principala



Foto 8 – Detaliu braie pereti – fracturi



Foto 9 – Scara catre subsol



Foto 10 – Casa scarilor catre mansarda



Foto 11 – Scara catre aripa posterioara

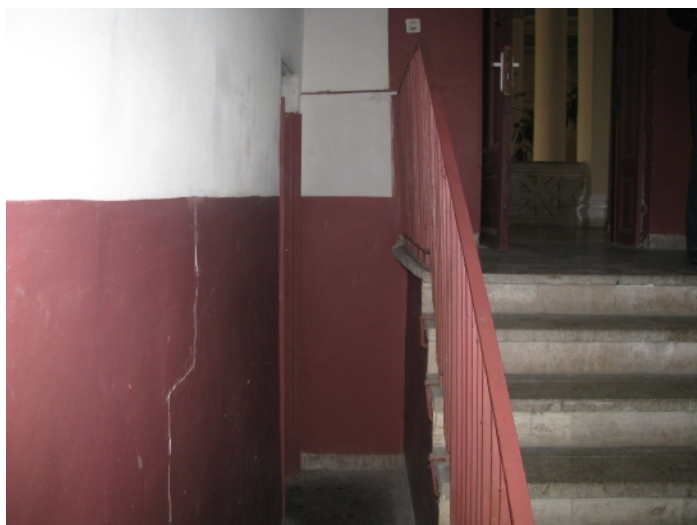


Foto 12 – Scari catre grup sanitar etaj



Foto 13 – Detaliu decoratiuni tavan etaj



Foto 14 – Idem – infiltratii prin acoperis



Foto 15 – Detaliu decoratiuni tavan etaj - fracturi



Foto 15 –Tavan peste casa scărilor - fracturi



Foto 16 – Pardoseală marmoră, fisuri pereti



Foto 17 – Infiltratii in tavan peste etaj



Foto 18 - Idem



Foto 19 – Idem foto 17



Foto 20 – Decoratiuni pereti Aula



Foto 21 – Idem foto 20



Foto 22 – Decoratiuni pereti Aula



Foto 23 – Detaliu trotuat perimetral cu vegetatie, neetans



Foto 24 – Detaliu centrala termica+cos de fum



25. Detaliu scara balansata demisol



26. Parapeti zidarie fisurati



27. Nastere arc parter, fisurata



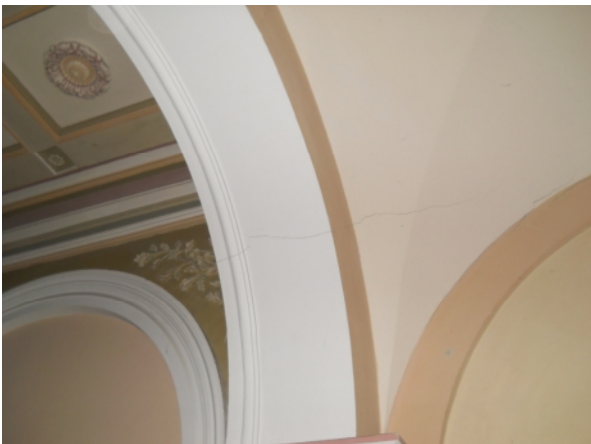
28. Cheie bolta parter fisurata



29. Idem foto 27



30. Idem foto 27



31. Idem foto 27



32. Idem foto 27



31. Planseu lemn zona



32. Atic zidarie dislocat



33. Sarpanta lemn subdimensionata zona aripiei Libertatii



34. Rezemare ferme lemn



35. Talpi fermă lemn fisurate, fără ancoraje



36. Calcan zidarie zona holului central



37. Calcan zidărie autodemolat



38. Ferme lemn subdimensionate zona aripiei de la Calarasi



39. Elemente lemn subdiemnsionate, invelitoare neetanșă



40. Șarpantă și planșeu în zona Aulei



41. Detaliu planșeu în zona Aulei



42. Planșeu peste hol principal etaj



43. Detaliu planșeu în zona Aulei



44. Rezemare șarpantă pe atic zona scării principale



45. Cos de fum dezafectat



46. Șarpantă cu elemente degradate, atacate de microorganisme



47. Atic degradat



48. Șarpantă cu elemente degradate, atacate de microorganisme



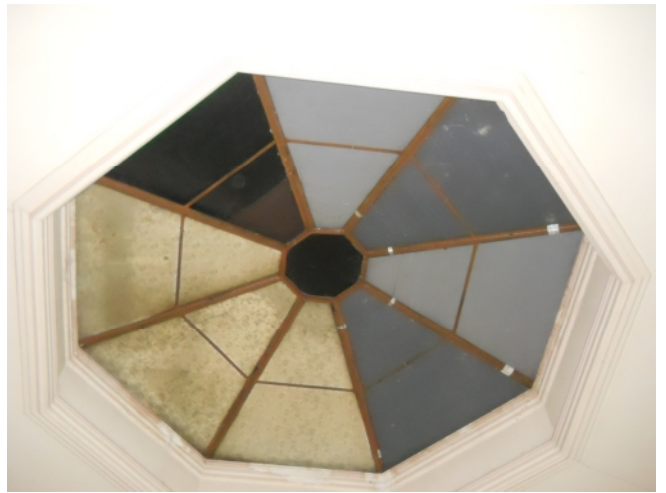
49. Atic degradat



50. Șarpantă subdimensionată



51. Planseu peste holul central etaj



52. Planseu laternă octogon



53. Planseu octogon peste scarile secundare fisurat



54. Ochi de cadru etaj b.a. umplut cu gips carton



55. Fisură perete zidărie etaj, zona octogon



56. Buiandrugii in boltă ferestre, tencuiala tavan fisurate



57. Casa liftului mont charge b.a.



58. Elemente decorative pereti



59. Tavan peste etaj hol central



60. Goluri ferestre reduse



61. Ochide cadru etaj, cu umplutura dislocată



62. Scara lespezi piatră aripa Libertății



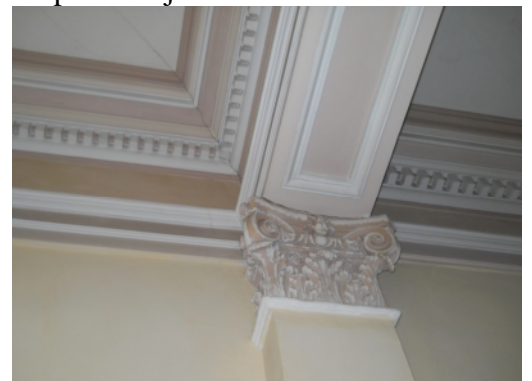
63. Bolta cu muchii intrate (calugareasca)



64. Planseu peste etaj



65. Ancadramente usi etaj



66. Grinda planseu etaj, tavaneala dislocata



67. Tamplarie degradata, neetansa



68. Buiandrug
usa, bolta zidărie



69. Gol de ușă rezidit



70. Fisuri inclinate parapeti demisol



71. Fisuri verticale, spaleți plini lungi



72. Buiandrugii in boltă la ferestre



73. Ochi de cadru umplut cu gips carton



74. Buiandrug boltă la fereastra



75. Structura b.a. la scara principală



76. Instalatii corodate, neetanse



77. Structura b.a. la scara principală



78. Curte interioara, igrasie parapeti



75. Detaliu burlan – igrasie pereti





76. Fisuri stucatura planseu octogon parter



77. Buiandrug usă fisurat oblic



78. Detaliu pardoseli holuri



79. Igrasie, instalatii depășite moral si fizic

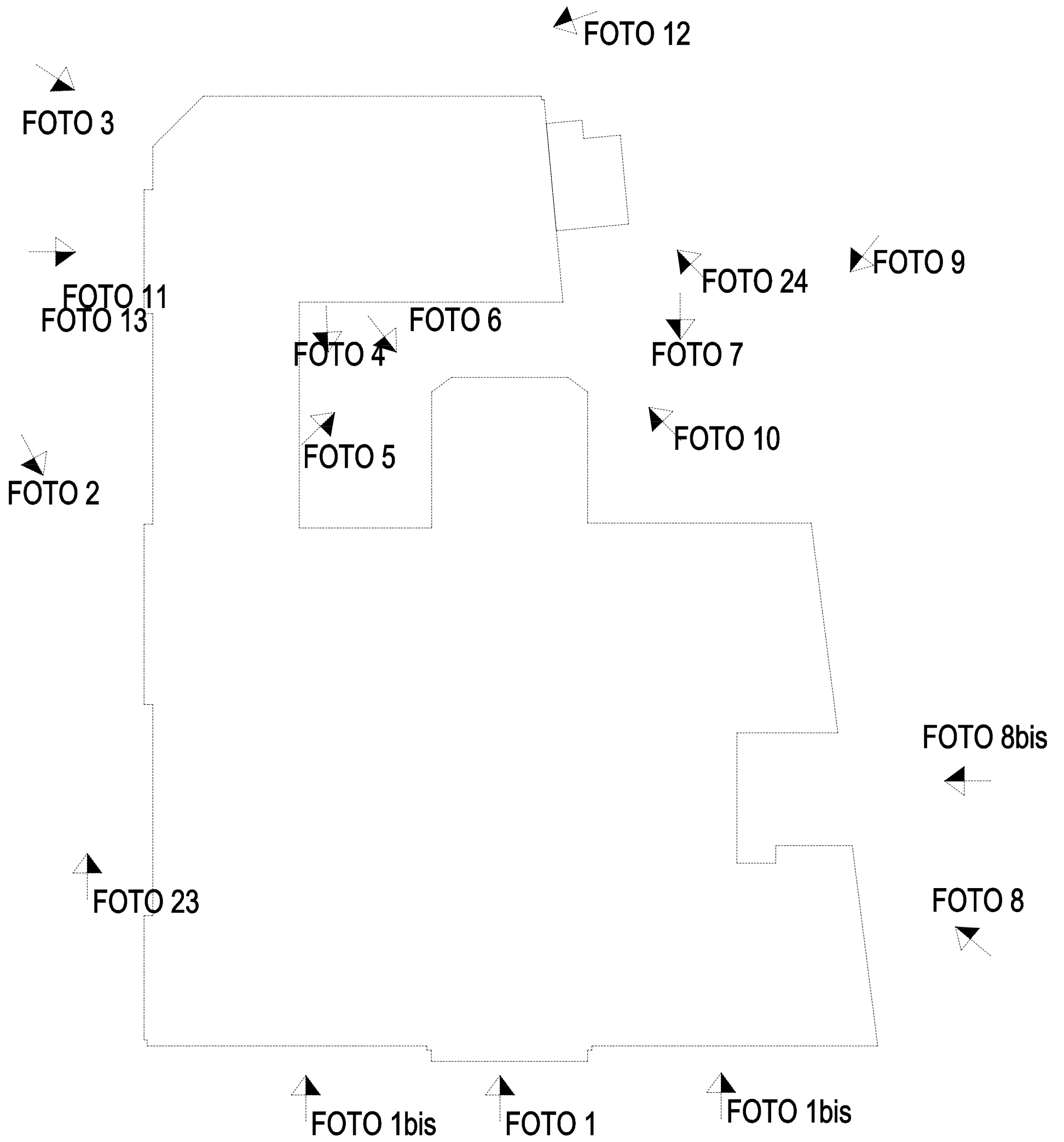


Fig. 1 Relevee foto la exterior

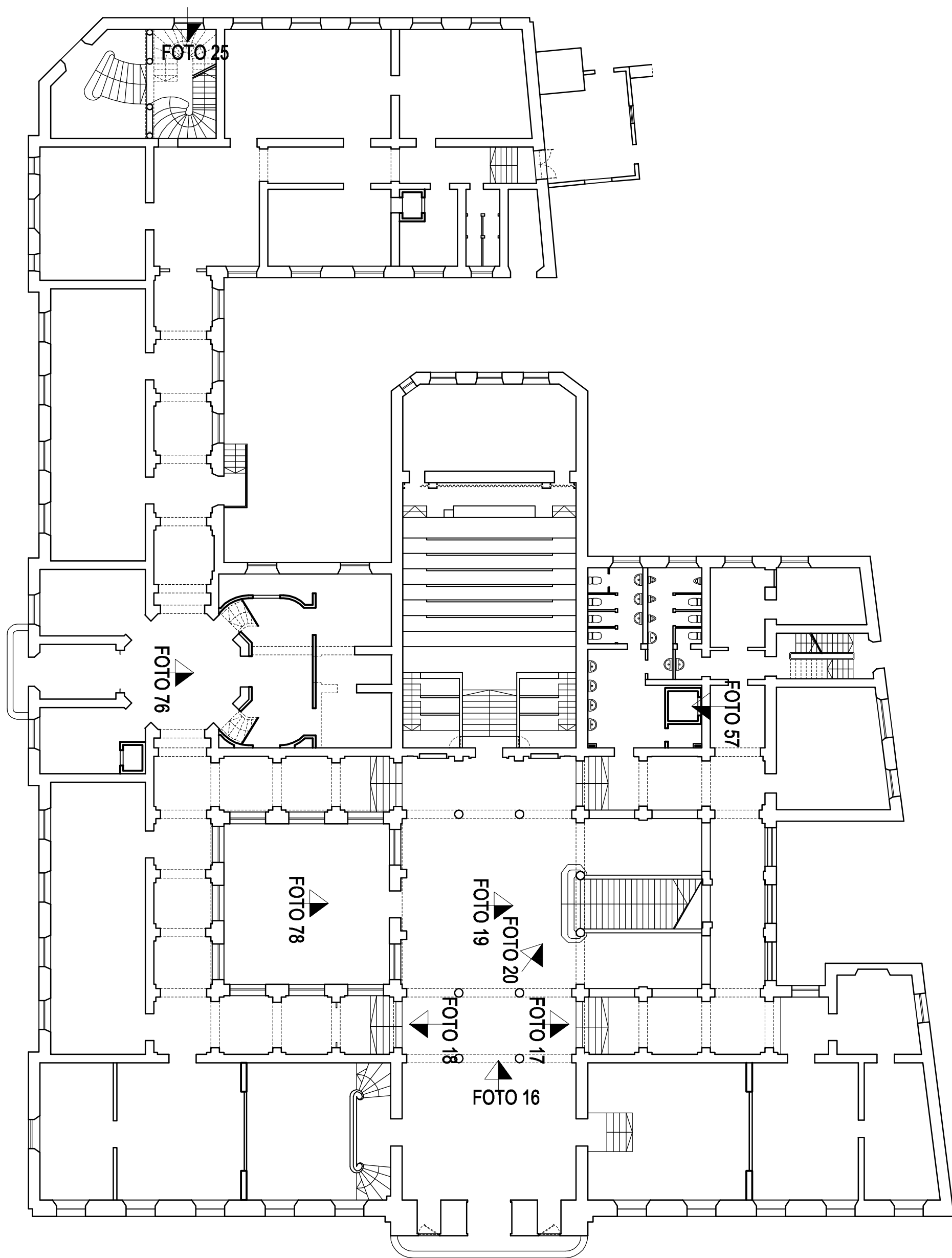


Fig. 2 Relevee foto de interior - parter

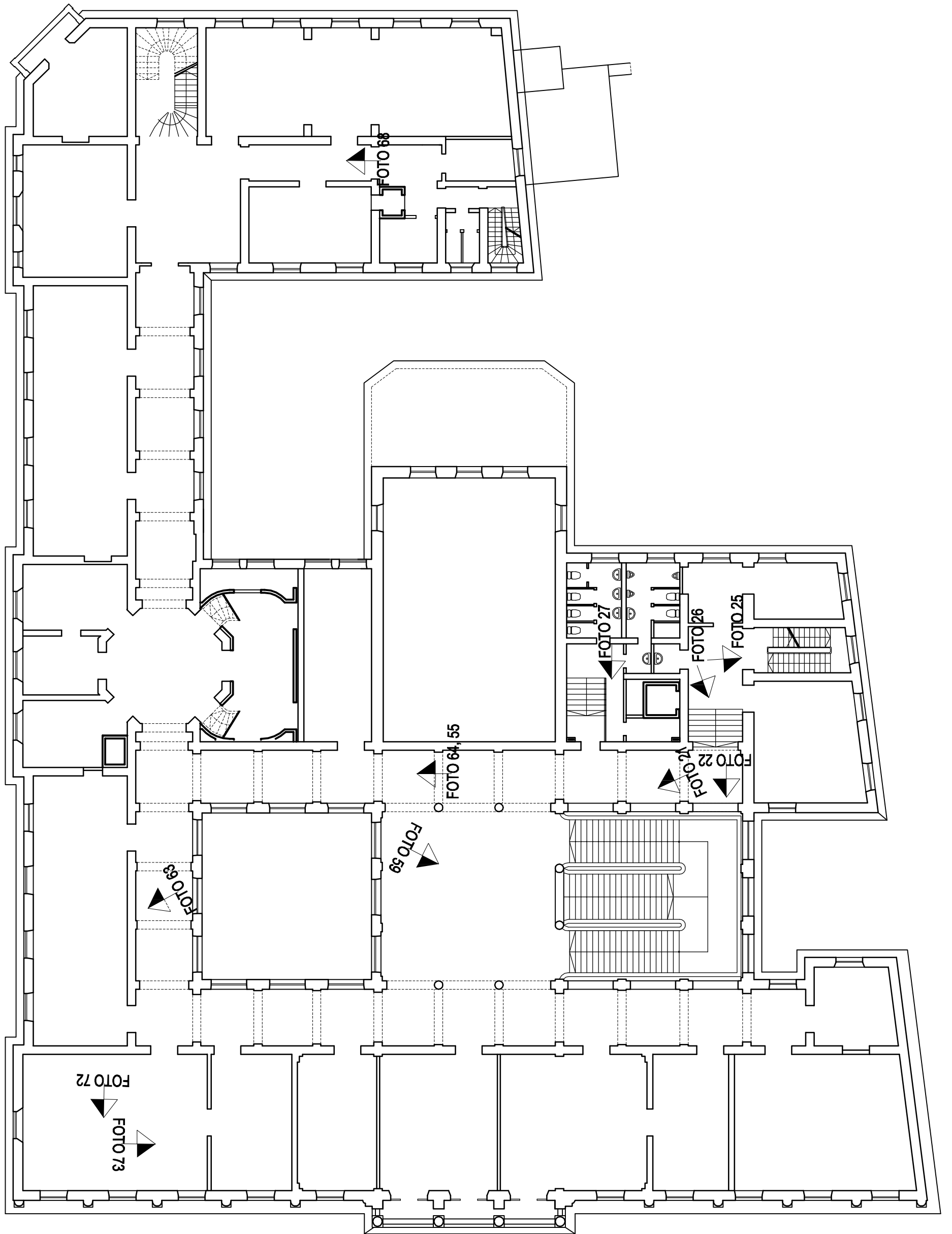


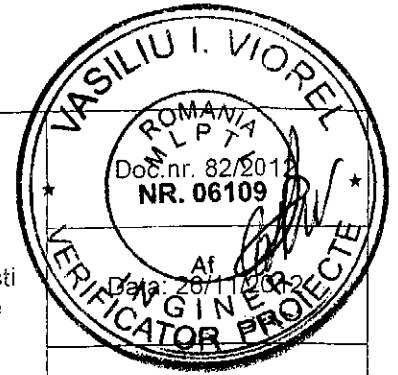
Fig. 3 Relevee foto de interior - etaj

5. STUDIU GEOTEHNIC



S.C. GEOCAD AMD SRL

Ploiesti, str. Popa Sapca, nr. 15
Registrul comertului: J29/2153/2006
Cod fiscal/Cod unic de inregistrare: 19080701
Cont:RO93BRDE300SV41918483000--BRD Ploiesti
Cont:RO40TREZ5215069XXX007536--Trezorerie
Ploiesti
Tel/Fax: 0344/733111; mobil: 0720/427951
E-mail: office@studii-geotehnice.ro
Web: www.studii-geotehnice.ro



Pag 1 din 10

STUDIU GEOTEHNIC
PENTRU OBIECTIVUL DE INVESTITIE:
"EXPERTIZA TEHNICA A IMOBILULUI DIN CALEA CALARASILOR, NR.29"
BRAILA
JUDETUL BRAILA

BENEFICIAR:
CONSILIUL JUDETEAN BRAILA

INTOCMIT:
SC GEOCAD AMD SRL



Orice reproducere, utilizare sau distribuire a acestui document sau parti din acesta de catre persoane fizice sau juridice neautorizate in afara SC GEOCADAMD SRL este interzisa fara autorizarea scrisa a reprezentantului societatii. SC GEOCADAMD SRL isi va proteja drepturile in conformitate cu dispozitiile civile si penale ale legii.

Verificator atestat Af : 06109
VASILIU VIOREL -EUGEN
Aleea Cătinei nr. 15, Ap. 49
Ploiești, Tel. 0244/599432/0722733870

Nr. 432 /Noiembrie 2012
Conform registru evidență

REFERAT

Privind verificarea de calitate la cerința "Af"
" STUDIUL GEOTEHNIC PENTRU EXPERTIZA TEHNICA A IMOBILULUI
DIN CALEA CALARASILOR , NR.29,
BRAILA
JUD. BRAILA."

1. DATE DE IDENTIFICARE

- Beneficiar : CONSILIUL JUDETEAN BRAILA
- Proiectant de specialitate : S.C. GEOCAD AMD SRL, PLOIESTI
- Amplasament : BRAILA, CALEA CALARASILOR NR. 29

3. CARACTERISTICI PRINCIPALE ALE STUDIULUI

Lucrarea se referă la expertizarea unei construcții P+M și P+2E .

Lucrările de cercetare se înscriu în categoria geotehnică 2.

Pentru realizarea studiului a fost efectuat 1 foraj cu adâncimea de 6m, pe locația indicată de beneficiar și două dezveliri de fundație.

În cadrul studiului sunt prezentate condițiile geomorfologice și geologice ale zonei, cele seismice, stratificația, principalele caracteristici geotehnice ale analizelor de laborator.

În capitolul concluzii este calculată presiunea convențională pentru adâncimi de -0,90m pentru clădirea P și 2,0m pentru demisol. Dacă sarcinile introduse de clădire sunt mai mari decât capacitatea portantă a terenului, se recomandă redimensionarea fundațiilor. Nivelul apei freatice nu a fost semnalat în foraj.

3. DOCUMENTE PREZENTATE LA VERIFICARE

- Memoriu tehnic;
- Rapoarte încercare probe geotehnice;
- Amplasamentul forajului.

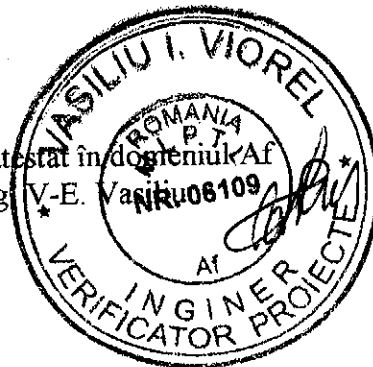
4. CONCLUZII PRIVIND VERIFICAREA

Studiul geotehnic conține datele necesare întocmirii proiectului.

În concluzie, studiul corespunde cerințelor "Af" .

Verificator atestat în domeniul Af
Dr. ing. V-E. Vasiliu 06109

27.11.2012



MINISTERUL LUCRĂRILOR PUBLICE, TRANSPORTURILOR ȘI LOCUINȚEI

SE ATESTĂ DOMNUL / DOAMNA

În baza certificatului nr. 06109 din 07.05.2

SILIU I VIOREL - EUGEN
născut/a în anul 1954 luna OCTOMBRIE ziua 03
în orașul (comuna) MIZII
de profesie INGINER GEOLOG

1) Pentru calitatea de VERIFICATOR PROIECTE
2) În domeniile : TOATE DOMENIILE



DIRECTOR GENERAL
ION ȘTEFĂNESCU

Comisia nr. 15

SECRETAR DE STAT
Scriștea

Data eliberării 13.06.2003

3) În specialitatea : _____

4) Pentru următoarele cerințe : REZISTENȚA ȘI STABILITATEA
TERENULUI DE FUNDARE A CONSTRUCȚIILOR
MASINELOR DE PĂMÂNT (A)

Valabil (vezi verso)
Prezentul certificat a fost eliberat în baza legii nr. 10/1995. SERIA M NR. 06109

Prezentul certificat va fi vizat de emitent din 5 în 5 ani de la data eliberării

13.06.2003			

LEGITIMATIE

S.C. GEOCAD AMD SRL	STUDIU GEOTEHNIC	Doc nr 82/2012
		Date: 26/11/2012
		Pag 2 din 10

CUPRINS

1. INTRODUCERE

- 1.1 Scop
- 1.2 Descrierea activitatii
- 1.3 Autorizare
- 1.4 Restrictionari

2. DESCRIEREA PROIECTULUI

- 2.1 Date generale
- 2.2 Descrierea perimetrului
- 2.3 Documentatie

3. DATE GENERALE

- 3.1 Date geografice
- 3.2 Date geomorfologice si geologice generale
- 3.3 Consideratii hidrografice si hidrogeologice
- 3.4 Date seismice
- 3.5 Date climatice

4. TESTE SI INVESTIGATII

- 4.1 investigatii prin sondaje
- 4.2 Date geotehnice
 - 4.2.1 Morfologie
 - 4.2.2 Litologie

S.C. GEOCAD AMD SRL	STUDIU GEOTEHNIC	Doc nr 82/2012
		Date: 26/11/2012
		Pag 3 din 10

4.2.3 Apa subterana

5. **CONCLUZII SI RECOMANDARI**

6. **ANEXE GRAFICE**


6.1 Fisa sintetica F1

6.2 Plan de amplasament si delimitare a imobilului, sc. 1:500

6.3 Rezultate analize sol

6.4 Harta Campiei Romane

6.5 Harta judet Braila

S.C. GEOCAD AMD SRL	STUDIU GEOTEHNIC	
---------------------	------------------	--

1. INTRODUCERE

1.1 Scop

Aceasta documentatie prezinta rezultatele unui studiu geotehnic intocmit de: S.C GEOCAD AMD SRL pentru urmatoarea lucrare de investitie: "Expertiza tehnica la imobilul din Calea Calarasilor, nr. 29, Braila, jud.Braila, forajul fiind executat cu o instalatie geotehnica tip Dormer Engineering cu diametrul de 75mm iar probele de laborator efectuate de SC LABOR TEST SRL, laborator autorizat gradul II.

SC GEOCAD AMD SRL a primit acceptul proprietarului pentru realizarea acestui studiu.

1.2 Descrierea activitatii

Prezenta documentatie isi propune urmatoarele:

- verificarea atenta a datelor existente;
- realizarea unei cercetari a solului si subsolului;
- realizarea unei analize geotehnice legate de lucrarea propusa, utilizind informatiile obtinute din cercetarea solului si subsolului;
- realizarea acestui raport care contine concluziile si recomandarile geotehnice legate de zona studiata;

1.3 Autorizare

Evaluarea a fost efectuata si documentatia a fost realizata in concordanta cu: ceea ce a fost programat. SC GEOCAD AMD SRL a primit acceptul proprietarului de a realiza acest studiu.

Au fost respectate prescriptiile de proiectare si legislatia in vigoare la data intocmirii acestuia, dupa cum urmeaza:

- NP 074 – 2007 – Intocmirea documentatiilor geotehnice pentru constructii
- O MDLPL 128/08.05.2007 – EUROCOD 7 – Documentatii geotehnice pentru constructii.
- STAS 1242/3-87 – Teren de fundare. Cercetari prin sondaje deschise
- STAS 1242/4-85 – Teren de fundare. Cercetari geotehnice prin foraje in pamanturi
- STAS 3300/1-85 – Teren fundare. Calculul terenului de fundare in cazul fundarii directe.
- STAS 3300/2-85 – Teren fundare. Calculul terenului de fundare in cazul fundarii directe.
- STAS 3950-85 – Geotehnica. Terminologie, simboluri si unitati de masura
- SR EN ISO 14688 - 1:2004 – Cercetari si incercari geotehnice. Identificarea pamanturilor. Partea 1: Identificare si descriere
- SR EN ISO 14688 - 2:2004 – Cercetari si incercari geotehnice. Identificarea pamanturilor. Partea 2: Principii pentru o clasificare
- STAS 6054 – 77 – Teren de fundare. Adancimi maxime de inghet pe teritoriul Romaniei
- SR EN ISO 22476 - 2:2005 – Cercetari si incercari geotehnice. Incercari pe teren. Incercare de penetrare dinamica

Orice reproducere, utilizare sau distribuire a acestui document sau parti din acesta de catre persoane fizice sau juridice neautorizate in afara de SC GEOCAD AMD SRL este interzisa fara autorizarea scrisa a reprezentantului societatii. SC GEOCAD AMD SRL isi va proteja drepturile in conformitate cu dispozitiile civile si penale ale legii.

S.C. GEOCAD AMD SRL	STUDIU GEOTEHNIC	Doc nr 82/2012
		Date: 26/11/2012
		Pag 5 din 10

- SR EN ISO 22476 - 3:2006 – Cercetari si incercari geotehnice. Incercari pe teren. Incercare de penetrare standard
- **EUROCOD 8** -
- P 100-1/1992 (2006) – Zonarea seismica a teritoriului Romaniei.
- SR 111/1-93 – Macrozonarea seismica a teritoriului Romaniei

1.4 Restrictionari

Acest raport a fost realizat pentru utilizarea exclusiva de catre: Consiliul Judetean Braila pentru a fi folosit la proiectul de investitii "Expertiza tehnica a imobilului din Calea Calarasilor, nr. 29, Braila". Acest studiu a fost efectuat in concordanta cu: practicile geotehnice ingineresti general acceptate. Nici o alta garantie nu este data.

Concluziile si recomandarile continute de aceasta documentatie se bazeaza pe datele obtinute de la un numar limitat de teste realizate in foraje si probe de laborator. Pe baza acestora se va stabili un program de investigatii pentru proiectare si control.

Acest studiu nu include: o evaluare cu privire la substantele toxice existente in sol, in apele subterane, apele de suprafata, in aer, deasupra sau in jurul acestei suprafete.

Orice referire din acest raport sau din cercetarea prin foraje care se refera la mirosuri, culori sau alte conditii deosebite sunt date strict pentru informarea clientului.

2. DESCRIEREA PROIECTULUI

2.1 Date generale

Documentatia obiect al prezentului studiu se intocmeste fiind necesara beneficiarului pentru intocmirea documentatiei necesare "Expertizei tehnice a cladirii din Calea Calarasilor, nr. 29 Braila, judetul Braila" conform solicitarilor autoritatilor competente. Cladirile existente au: regim de inaltime de Ds+P+2E+M, una singura avand P+M.

2.2 Descrierea perimetrului

Terenul situat in: intravilanul orasului Braila, Calea Calarasilor, nr. 29, conform planului din anexa 2, are o suprafata de 3533mp din care 2427mp ocupati de C1, C2, C3, C4 unde la ora actuala isi desfasoara activitatea Facultatea de inginerie.

Perimetrul face parte din zona constructibila a orasului si are regim economic de folosinta actual, curti constructii.

2.3 Documentatie

Beneficiarul a pus la dispozitie urmatoarele documente:

- Plan de incadrare in zona, sc. 1:1000
- Plan de amplasament si delimitare a imobilului, sc. 1:500

3. DATE GENERALE

3.1 Date geografice

Brăila e un municipiu în sud-estul României, reședința județului cu același nume. Orașul e situat pe: malul stâng al Dunării, în Campia Romana, subdiviziunea Campia Brailei.

Orice reproducere, utilizare sau distribuire a acestui document sau parti din acesta de catre persoane fizice sau juridice neautorizate in afara de SC GEOCAD AMD SRL este interzisa fara autorizarea scrisa a reprezentantului societatii. SC GEOCAD AMD SRL isi va proteja drepturile in conformitate cu dispozitiile civile si penale ale legii.

S.C. GEOCAD AMD SRL	STUDIU GEOTEHNIC	Doc nr 82/2012
		Date: 26/11/2012
		Pag 6 din 10

Resedinta administrativa, orasul Braila, unul dintre cele mai mari porturi din Romania, este situata la 200 km nord-est de Bucuresti si se situeaza la 46°16'17" latitudine nordica si 27°58'33" longitudine estica. Campia este forma de relief predominanta, peisajul Brailei fiind monoton si fara bariere naturale. In zona se gasesc cai de transport accesibile, in principal fluviul Dunarea.

3.2 Date geomorfologice si geologice generale

In cadrul judetului Braila, orasul Braila ocupa nord-estul judetului, fiind situat intr-o zona complexa de contact intre unitati fizico-geografice variate: Lunca Dunarii, Campia Brailei si Campia Siretului. Bărăganul de Nord sau Câmpia Brăilei are altitudini medii de 30 m. Relieful este relativ uniform, reprezentat prin câmpuri netede, întinse, nedrenate superficial. În partea nordică există dune de nisip care sporesc denivelarea către Dunăre și către Siret până la peste 20 - 25 m. Atât în zona de dune cât și la sud de ea, terenul prezintă anumite ridicături ("movile") de natură antropogenă ca în cazul localității Movila Miresei și lângă comunele Ianca și Plopu. După aspect și modul în care s-a format, Câmpia Brăilei este o câmpie tabulară. Acest tip de câmpie se caracterizează prin faptul că este netedă, are câmpuri foarte extinse care au depozite loessoide groase la suprafață și care se suprapun peste formațiuni nisipo-argiloase și chiar strate de pietrișuri aproape pe orizontală. Această structură a rezultat în urma acumulării treptate a materialelor într-un sector al bazinului lacustru situate mai departe de regiunile colinare limitrofe.

3.3 Consideratii hidrografice si hidrogeologice

Reteaua hidrologica a zonei Brailei se constituie din fluviul Dunarea cu Bratul Macin (Dunarea Veche) spre Dobrogea si Bratul Cremenea spre Campia Brailei, brate ce inchid la mijloc fosta Balta a Brailei, astazi aproape indiguita. Alte rauri sunt: Calmatuiul si Siretul cu afluentul sau Buzau. In zona studiata nivelul freatic este mai jos de 6,00m de la nivelul actual al solului – nu a fost intalnit in timpul forajului realizat pe locatia propusa.

3.4 Date seismice

Conform normativului P 100/2-2004 – zonarea teritoriului Romaniei in termeni de valori de varf ale acceleratiei terenului de proiectare ($a_g = K_s \cdot g$) pentru cutremure avand intervalul mediu de recurenta IMR=100 ani, orasul Braila se incadreaza la $K_s=0,24$, iar conform STAS 11100/93 – zonarea teritoriului Romaniei in raport de gradele de intensitate seismica, la grad 71.

3.5 Date climatice

- Climatul orasului Braila este temperat - continental, cu o temperatura medie de 11,1° C, cu veri uscate, calduroase si ierni reci fara zapada uneori.
- Temperatura aerului prezinta variatii siabe, influenta apelor Dunarii resimtindu-se usor in est printr-o crestere usoara a valorilor temperaturii aerului. In ceea ce priveste maximele absolute, acestea au fost de 40,5°C iar minima absoluta a fost de -26,5°C, confirmand astfel influenta Dunarii in ceea ce priveste indulcirea a primii iernilor din Baragan.

S.C. GEOCAD AMD SRL	STUDIU GEOTEHNIC	Doc nr 82/2012
		Date: 26/11/2012
		Pag 7 din 10

- Vanturile nu pot fi prea mult influentate de relieful uniform dar valea Dunarii devine un adevarat culoar de ghidare a curentilor atmosferici.
- Adancimea maxima de inghet: 1,00m
- Regimul precipitatiilor: cantitatea de precipitatii medii multianuale, masurate intr-o perioada de zece ani e: de cca 440mm.

4. TESTE SI INVESTIGATII

4.1 Investigatii prin sondaje

Investigatia pentru determinarea caracteristicilor subsolului si solului include o recunoastere a terenului, forajul geotehnic, dezvelirea de fundatii si probele de sol.

Forajele constau in saparea a 1 gaura pe locatia propusa conform planului prezentat in anexa 2, la adancimea de 6,00m (F1). Forajul si dezvelirile au fost executate pe data de 12.11.2012 utilizand o foreza geotehnică tip Dormer Engineering proprietate a SC GEOCAD SRL cu $\Phi=75\text{mm}$.

4.2 Date geotehnice

4.2.1 Morfologie:

- suprafata terenului este relativ plana si orizontala;
- terenul este pe deplin stabil (nu prezinta la suprafata niciunul din semnele specifice fenomenelor fizico-geologice active precum alunecari de teren, eroziuni, prabusiri etc., care sa puna in pericol stabilitatea constructiilor).
- perimetrul nu tine, la suprafata, timp indelungat, apa din precipitatii.
- la suprafata terenului nu exista materiale si deseuri realizate de om;

4.2.2 Litologie:

Din punct de vedere litologic zona cuprinde pamanturi fine cu consistenta redusa si pamanturi loessoide – roci dificile de fundare.

Urmatoarele tipuri de sol au fost cercetate in urma forarii unei gauri pe aceasta locatie:

(F1)

- 0,00-0,80m – umplutura
 - 0,80-1,80m – nisip prafos cafeniu cu intercalatii de pietris mic, plasticitate medie, umed, stare consistenta plastic moale, compresibile
 - 1,80-6,00m – praf argilos galben cafeniu cu concretiuni calcaroase, plasticitate medie, stare plastic consistenta
- Stratificatia e, practic uniforma si orizontala.
Nivelul freatic nu, a fost intalnit in timpul forajului.

La dezvelirea 1 – cladirea fara demisol – s-a constatat ca aceasta este fundata la 0,90m adancime fata de nivelul actual al solului.

S.C. GEOCAD AMD SRL	STUDIU GEOTEHNIC	Doc nr 82/2012
		Date: 26/11/2012
		Pag 8 din 10

La dezvelirea 2 – cladire cu demisol – s-a constatat ca aceasta este fundata la adancimea de 2,20m.

4.2.3 Apa subterana:

- Ca mediu acvifer e prezenta, in zona, la adancimi de peste 6,00m deci nu poate sa creeze probleme sapaturilor pentru fundatii sau exploatarei viitoarei constructii care urmeaza a se proiecta;
- Nivelul apelor subterane depinde de variatiile sezoniere si de schimbarile in utilizarea terenului.

4.3 Categoria geotehnica a amplasamentului

Categoria geotehnica in care poate fi incadrat amplasamentul examinat reprezinta riscul geotehnic al acestuia, care poate fi exprimat functie de o serie de factori legati atat de teren, cat si de vecinatati, dupa cum urmeaza (conform NP 074/2007).

Factori de avut in vedere		Punctaj
Conditii de teren	Terenuri dificile	6
Apa subterana	Fara epuimente	1
Clasificare constructiei dupa categoria de importanta	Redusa	2
Vecinatati	Fara riscuri	1
Zonarea seismica	$a_g=0,28g$	2
Riscul geotehnic	moderat	12

Riscul geotehnic e: moderat, deci amplasamentul poate fi incadrat in **categoria geotehnica 2** (fara riscuri anormale sau conditii de teren sau de solicitare neobisnuita).

5. CONCLUZII SI RECOMANDARI

Recomandarile prezentate in urmatoarele subcapitole ale acestui proiect se bazeaza pe:

- informatiile cunoscute despre constructia propusa
- rezultatele obtinute din forajele executate
- experienta pe care am obtinut-o din proiectele similare

Deoarece testele obtinute din forajele executate reprezinta, statistic, un procent foarte mic de obtinere a caracteristicilor subterane, este posibil ca, in timpul constructiei, acestea sa difere foarte mult de cele indicate in proiect. In aceste circumstante, o corectare a proiectului ar putea fi necesara

- Acest studiu se bazeaza pe informatiile obtinute din planul locatiei si din proiectul de investitie. Schimbarea locatiei sau a arhitecturii propuse poate avea efecte

Orice reproducere, utilizare sau distribuire a acestui document sau parti din acesta de catre persoane fizice sau juridice neautorizate in afara de SC GEOCAD AMD SRL este interzisa fara autorizarea scrisa a reprezentantului societatii. SC GEOCAD AMD SRL isi va proteja drepturile in conformitate cu dispozitiile civile si penale ale legii.

S.C. GEOCAD AMD SRL	STUDIU GEOTEHNIC	Doc nr 82/2012
		Date: 26/11/2012
		Pag 9 din 10

- majore asupra concluziilor si recomandarilor din acest studiu. Firma SC GEOCAD AMD SRL trebuie sa fie contactata in cazul unor asemenea schimbari
- Terenul cercetat nu pune probleme din punct de vedere al stabilitatii generale (nu prezinta la suprafata semnele exterioare specifice fenomenelor fizico-geologice active).
 - In subteranul zonei nu sunt prezente saruri solubile sau nisipuri lichefiabile care, in conditii specifice (dizolvare datorate infiltrarii apelor sau socuri seismice) ar putea sa dea deformari nedorite la suprafata terenului.
 - Conform normativului P 100/2-2004 (2006) – zona teritoriului Romaniei in termeni de valori de varf ale acceleratiei terenului de proiectare ($a_g = K_s * g$) pentru cutremure avand intervalul mediu de recurenta IMR=100 ani, orasul Braila se incadreaza la **$K_s=0,24$** , iar conform STAS 11100/93 – zona teritoriului Romaniei in raport de gradele de intensitate seismica, la **grad 7**.
 - Riscul geotehnic e **moderat**, deci amplasamentul poate fi incadrat in: **categoria geotehnica 2** (fara riscuri anormale sau conditii de teren sau de solicitare neobisnuita).
 - Apa subterana poate fi prezenta in sol la adancimi de peste 6,00m.
 - Stratificatia intalnita in zona este urmatoarea:
 - 0,00-0,80m – *umplutura*
 - 0,80-1,80m – *nisip prafoase cafeniu cu intercalatii de pietris mic, plasticitate medie, umed, stare consistenta plastic moale, compresibile*
 - 1,80-6,00m – *praf argilos galben cafeniu cu concretiuni calcaroase, plasticitate medie, stare plastic consistenta*

Nisipurile prafoase si prafulurile argiloase prezente in verticala zonei sunt "dificile de fundare – pamanturi fine cu consistenta redusa si pamanturi ioessoide" conform prevederilor STAS 3300/2-85, tabelul 1 si admite fundarea directa, precum si calculul definitiv al fundatiilor pe baza presiunilor conventionale

Se recomanda

1. Calculul presiunii conventionale de baza, acceptabila pentru alcatuirea pamanturilor nisipoase prafoase, e: $p_{conv} = 100kPa$ – conform STAS 3300/2-85 (pentru fundatii cu adancime $D_f = 2,00m$ si latime $B = 1,00m$) – in cazul cladirii fara demisol.
2. Calculul presiunii conventionale de baza, acceptabila pentru alcatuirea pamanturilor prafoase argiloase, e: $p_{conv} = 150kPa$ – conform STAS 3300/2-85 (pentru fundatii cu adancime $D_f = 2,00m$ si latime $B = 1,00m$) – in cazul cladirilor cu demisol.
3. In cazul in care sarcina introdusa de constructie depaseste valoarea presiunii admisibile se are in vedere reabilitarea fundatiei.
4. Fotosecarea in proiectarea a urmatoarelor valori obtinute pe baza lucrarilor de prospectiune si a analizelor de laborator efectuate asupra pamanturilor din zona:

S.C. GEOCAD AMD SRL	STUDIU GEOTEHNIC	Doc nr 82/2012
		Date: 26/11/2012
		Pag 10 din 10

Tipul litologic	Greutate* volumica	Porozitate*	Indice de* porozitate	Gradul de* umiditate	Indice de* plasticitate	Indice de* consistenta
	Y/Yd(kN/m ³)	n%	e	Sr%	Ip	Ic
Nisip praos cafeniu cu rar pietris mic	17,46 13,93	47	0,90	0,75	15	0,38
Praf argilos galben cafeniu	18,61 15,13	43	0,75	0,82	18	0,56

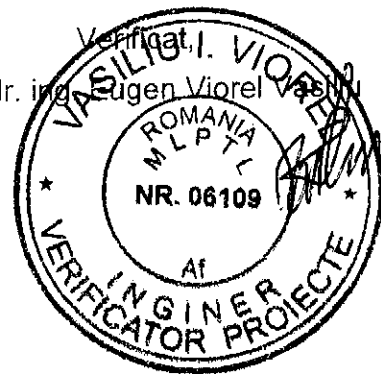
- Receptia terenului de fundare se va face in prezenta proiectantului de specialitate si se va intocmi un proces verbal de lucrari ascunse.

Intocmit,

Ing. geolog Anca Miruna Paduroiu

Anca Miruna Paduroiu

Conf. dr. ing. Eugen Viorel Vasile



FISA SINTETICA F2

Judetul Braila
Calea Calarasilor, nr. 29, Braila

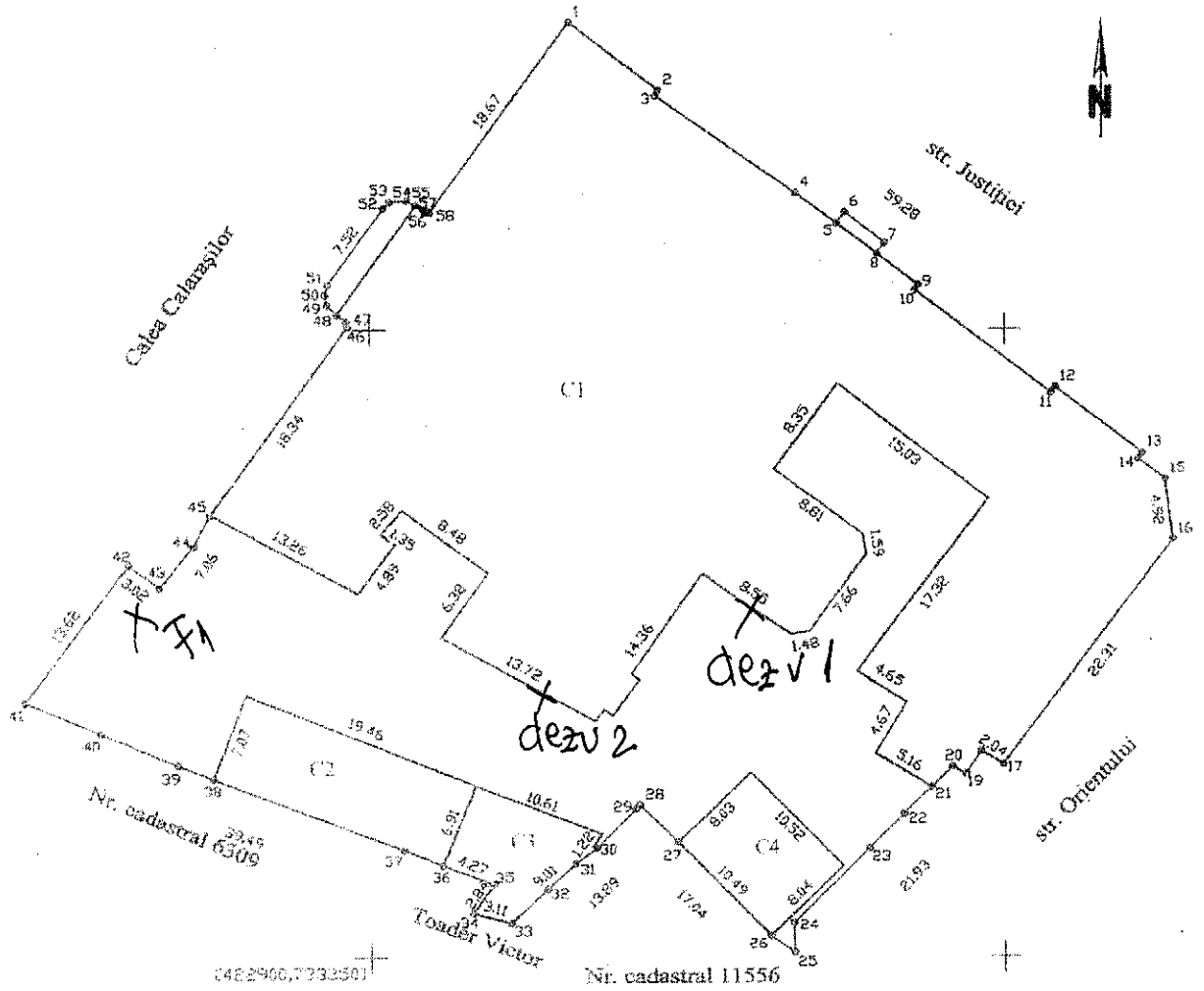
Cota relativa 20m

Adancime foraj	Grosimea stratului	Adancimea apei subterane	Stratificatie	DESCRIERE LITOLOGICA	PROBE				GRANULUZITATE				Umiditate naturala	Limita de curgere	Limita de framantare	Ip	Ic	Greutate volumica	Porozitate	e	Indicele portilor	Gradul de umiditate	COMPRESIBILITATE				REZISTENTA LA FORFECARE			
					Numar proba	Adancimea de recoltare	Argile	Praf	Nisip	Pietris	W%	WP%											Modul de deformare edometric	Coefficient de lasare ep2	Tasare specifica la 200kPa	Tasare specifica la 200kPa	Im (cm/m)	Im (cm/m)	φ°	c (kPa)
0.80	0.80	m																												
1.70	0.90	m		Umplutura																										
				Nisip praos cafeniu cu intercalatii de pietris mic, plasticitate medie, umed stare consistenta moale, compresibil	1	1.50	12	35	36	7	25.2	31	16	15	0.38	17.46	47	0.9	0.75	9090	10.4	0								
					2	3.50	16	59	25	-	22.9	33	15	18	0.56	18.61	43	0.75	0.82											
				Praf argilos galben cafeniu cu concretuni calcaroase, plasticitate medie, stare plastic consistenta	3	5.50	16	60	24	-	24.6	34	15	19	0.49	18.31	44	0.8	0.82											
6.00	4.30																													



PLAN DE AMPLASAMENT ȘI DELIMITARE A IMOBILULUI
SCARA 1:500

Nr. Cadastral al terenului	Suprafața măsurată	Adresa imobilului	
	3533 mp	Mun. Brăila, Calea Călărașilor, nr.29	
Cartea Funciară colectivă nr.		UAT	Brăila
Cod unitate individuală (U)		CF individuală	



0462900,7332501

Nr. cadastral 11556



A. Date referitoare la teren					
Nr. parcelă	Cod grupă destinație	Categorie de folosință	Suprafața din măsurători (mp)	Valoare de impozitare (lei)	Mențiuni
I	YDI	Cc	3533		
Total			3533		Imprejuriri gard+construcții

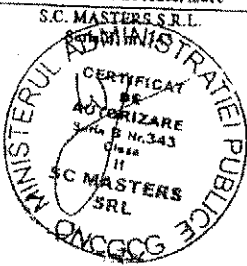
B. Date referitoare la construcții				
Cod constr.	Cod grupă destinație	Suprafața construită la sol (mp)	Valoare de impozitare (lei)	Mențiuni
C1	CAS	2130		Supraf. desafășurată S= 2130 mp
C2	CA	136		Supraf. desafășurată S= 136 mp
C3	CA	76		Supraf. desafășurată S= 76 mp
C4	CA	85		Supraf. desafășurată S= 85 mp
Total		2427		2427

INVENTAR DE COORDONATE

Sistem de proiecție: Stereos 70

Nr. pct.	Y	X
1	733365.73	422974.29
2	733372.70	422968.94
3	733372.48	422968.49
4	733383.43	422960.79
5	733386.72	422958.32
6	733387.38	422959.21
7	733390.54	422956.80
8	733389.95	422955.91
9	733393.22	422953.39
10	733392.92	422952.99
11	733403.57	422944.91
12	733403.91	422945.33
13	733410.78	422940.16
14	733410.47	422939.68
15	733412.67	422938.08
16	733413.29	422933.19
17	733399.89	422915.47
18	733398.15	422916.53
19	733396.94	422914.68
20	733395.91	422915.28
21	733394.25	422913.66
22	733392.09	422911.51
23	733389.33	422908.74
24	733383.29	422902.76
25	733383.13	422899.79
26	733381.43	422901.71
27	733376.40	422906.72
28	733274.08	422909.20
29	733371.18	422912.30
30	733367.91	422909.47
31	733367.69	422909.75
32	733366.05	422907.34
33	733364.48	422903.22
34	733362.16	422902.04
35	733358.08	422903.58
36	733359.72	422905.60
37	733355.74	422907.42
38	733352.60	422908.65
39	733337.63	422914.30
40	733334.85	422913.44
41	733328.83	422917.94
42	733322.97	422920.56
43	733331.08	422921.31
44	733333.50	422929.50
45	733336.17	422932.86
46	733337.42	422935.37
47	733348.22	422939.17
48	733348.16	422939.08
49	733347.41	422931.36
50	733346.65	422931.06
51	733346.47	422932.71
52	733346.77	422932.22
53	733350.10	422939.63
54	733351.94	422961.15
55	733352.93	422960.35
56	733353.68	422959.67
57	733354.40	422959.31
58	733354.56	422959.48
59	733356.78	422959.28

Executant,
Nr. Certificat de Autorizare



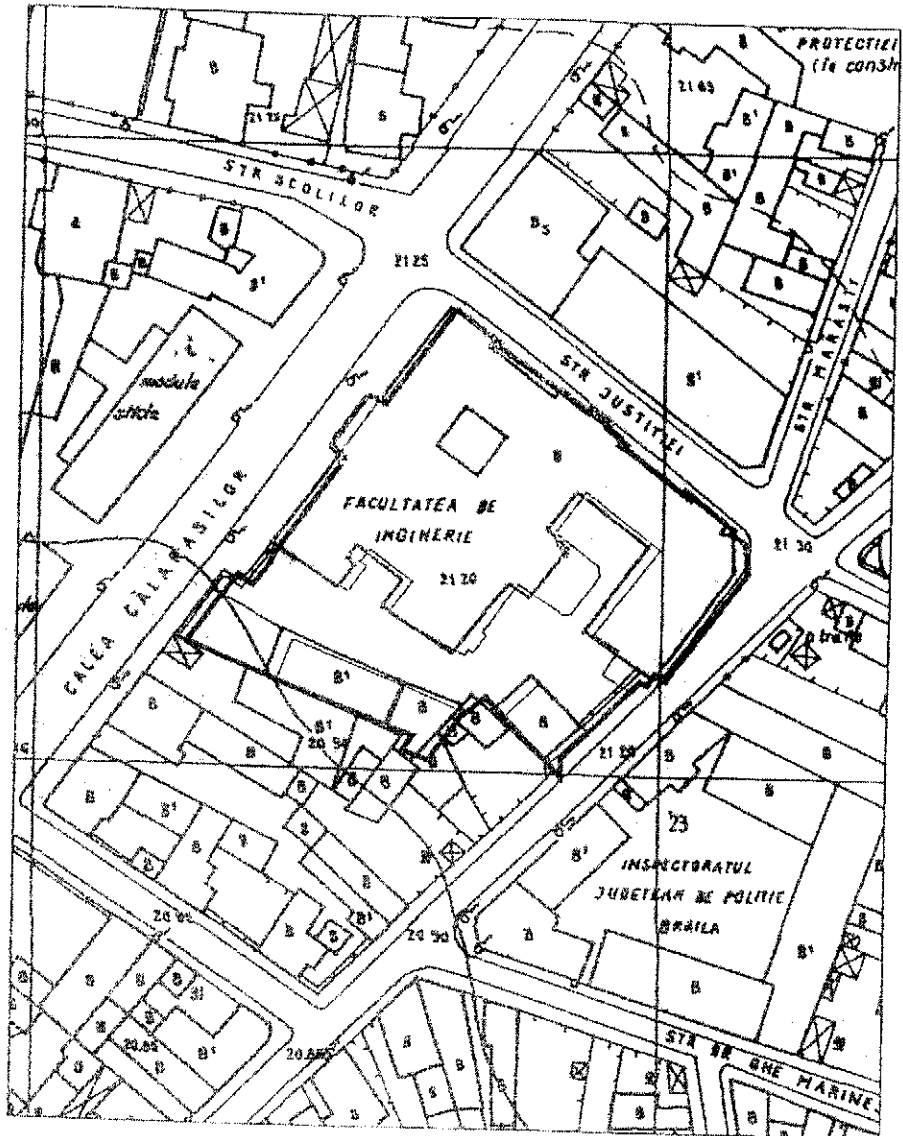
Data: August 2007

Suprafața totală măsurată = 3533 mp
Suprafața din acte = 3533 mp

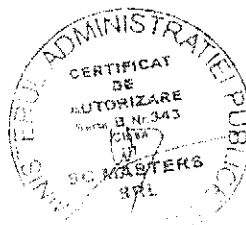
Se confirmă suprafața din măsurători și introducerea
imobilului în baza de date
OFICIUL JAL. REGISTRARILOR
Piața școlii nr. 1
Data semnăturii și date

PLAN DE ÎNCADRARE ÎN ZONĂ
scara 1:1000

Județul Brăila
Teritoriul administrativ: municipiul Brăila
Adresa: Calea Calarașilor, nr.29



August 2007



Întocmit
S.C. MASTERS S.R.L.

SC LABOR TEST SRL

Adresa punct de lucru :Ploiesti,
Str. Ineu, nr.3
Telefon/fax : 0244-595907/ 0721522208

Reg. Comertului: J29/1216/2007
CUI RO 21723060
Cod IBAN: RO09CRDZ009A220160476001
Nexte Bank, suc. Ploiesti



Nr. inregistrare 2758/19.11.2012

**RAPORT DE INCERCARE
NR. 614 DATA 19.11.2012**

Beneficiar: SC GEOCAD AMD SRL

Denumire lucrare: CONSTRUIRE LOCUINTA P+E IN LOCALITATEA MIZIL,
STR. 1 MAI, NR. 91, JUD. PRAHOVA

Contract : 8/ ET.37

Descriere si identificarea probelor:

Probe recoltate de beneficiar din sondaje.

Data primirii probelor: 16.11.2012

Data efectuării analizelor: 16 - 19.11.2012

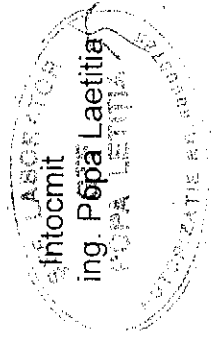
Buletinul de incercare contine : 2 file si 1 anexa.

Reproducerea partiala a raportului de incercari este interzisa!
Declaram pe propria raspundere ca incercarile nu s-au efectuat
sub presiuni de orice natura.

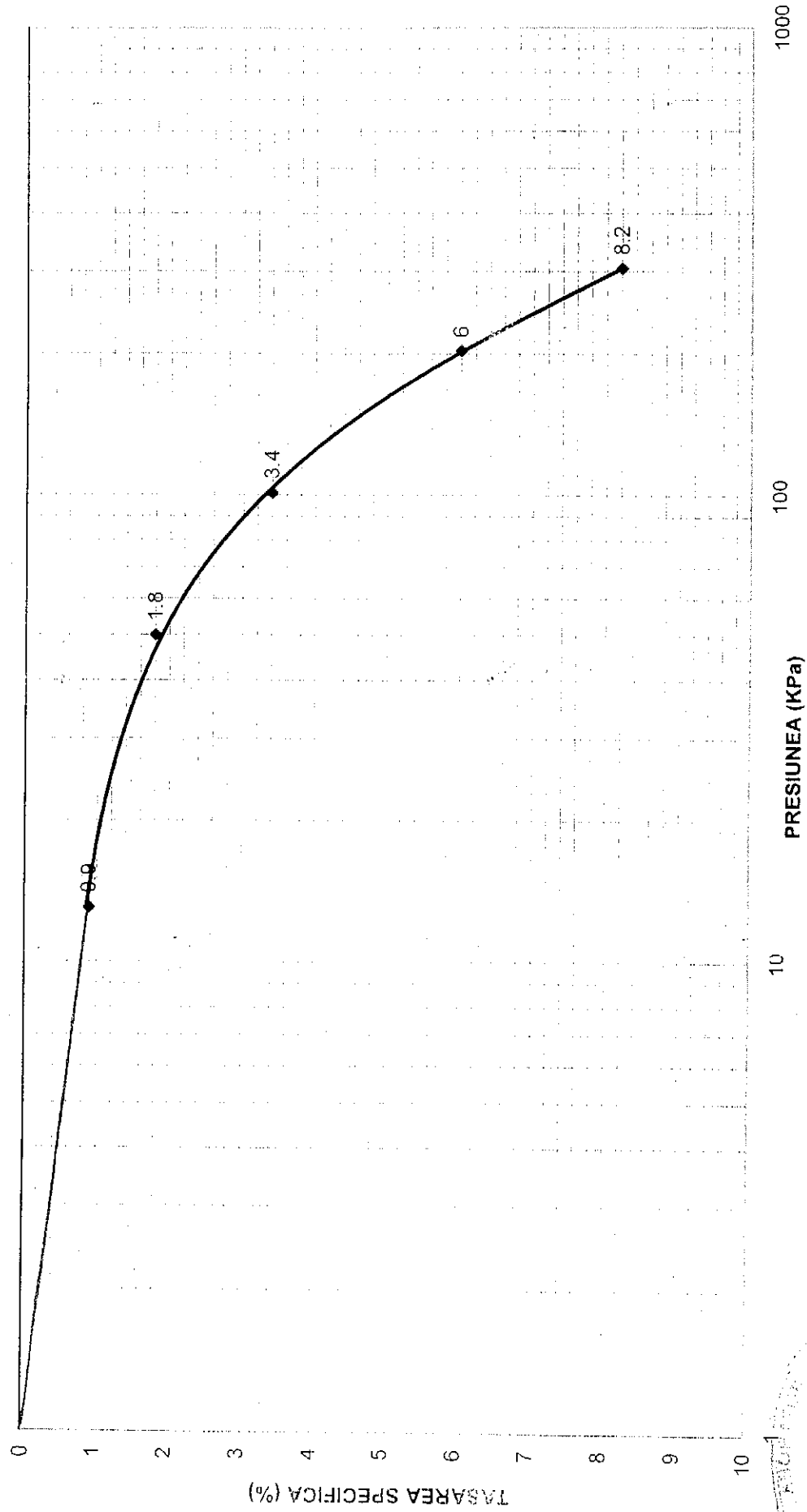
Intocmit,
ing. Popa Laetitia

REZULTATUL INCERCARILOR- CONSTRUIRE LOCUINTA P+E IN LOCALITATEA MIZIL, STR. 1 MAI, NR. 91, JUD. PRAHOVA

Sondajul	Adancimea probei (m)	Descrierea probei	Granulozitate STAS 1913/5-95				Umiditate naturala STAS 1913/1-82		Plasticitate STAS 1913/4-86				Structura STAS 1913/3-76				Caracteristici contractile STAS 1913/12-88			Compresibilitatea STAS 8942/1-89		
			d ₁	d ₂	d ₃	d ₄	w %	w _L %	w _p %	I _p	I _c	Greutatea volumica γ _{1/30} kN/m ³	n %	e	S _r	Modul de compresibilitate M _{z,3} kPa	Coef. de tasare specifica e _p	Tasare specifica la inundare I _{m3}				
1	1.20	Argila nisipoasa galb. cafenie cu conc.	31	41	28	41	23.4	42	17	25	0.74	17.55 14.22	46	0.86	0.73	4545	6.0	0				



CURBA DE COMPRESIUNE TASARE
CONSTRUIRE LOCUINTA P+E IN LOCALITATEA MIZIL,
STR. 1 MAI, NR. 91, JUD. PRAHOVA
FORAJ 1, ADANCIMEA 1.20 m



Intocmit
ing. Popa Laetitia

**6. REZULTATE TESTĂRI NEDISTRUCTIVE ȘI
DISTRUCTIVE**

EX. Th.

Raport de încercare

Nr. .07/2012

privind determinarea caracteristicilor fizico-mecanice ale cărămizilor
în conformitate cu prevederile SR EN 771/1 – 2001

I. BENEFICIAR: S.C. NEO-CONS SRL IASI

II. COMANDA: Nr. 01 din 10.12.2012

III. DATE ASUPRA PROBELOR : CARAMIZI PLINE -element HD proba nr. 1

Proveniența cărămizilor : **Facultatea Inginerie Dunarea de Jos (fost Palat Justitie BRAILA)**

Loc recoltare: Spalet PARTER

Producator: necunoscut (an fabricatie 1885)

Cantitatea : 63BUC

IV. REZULTATE OBȚINUTE :

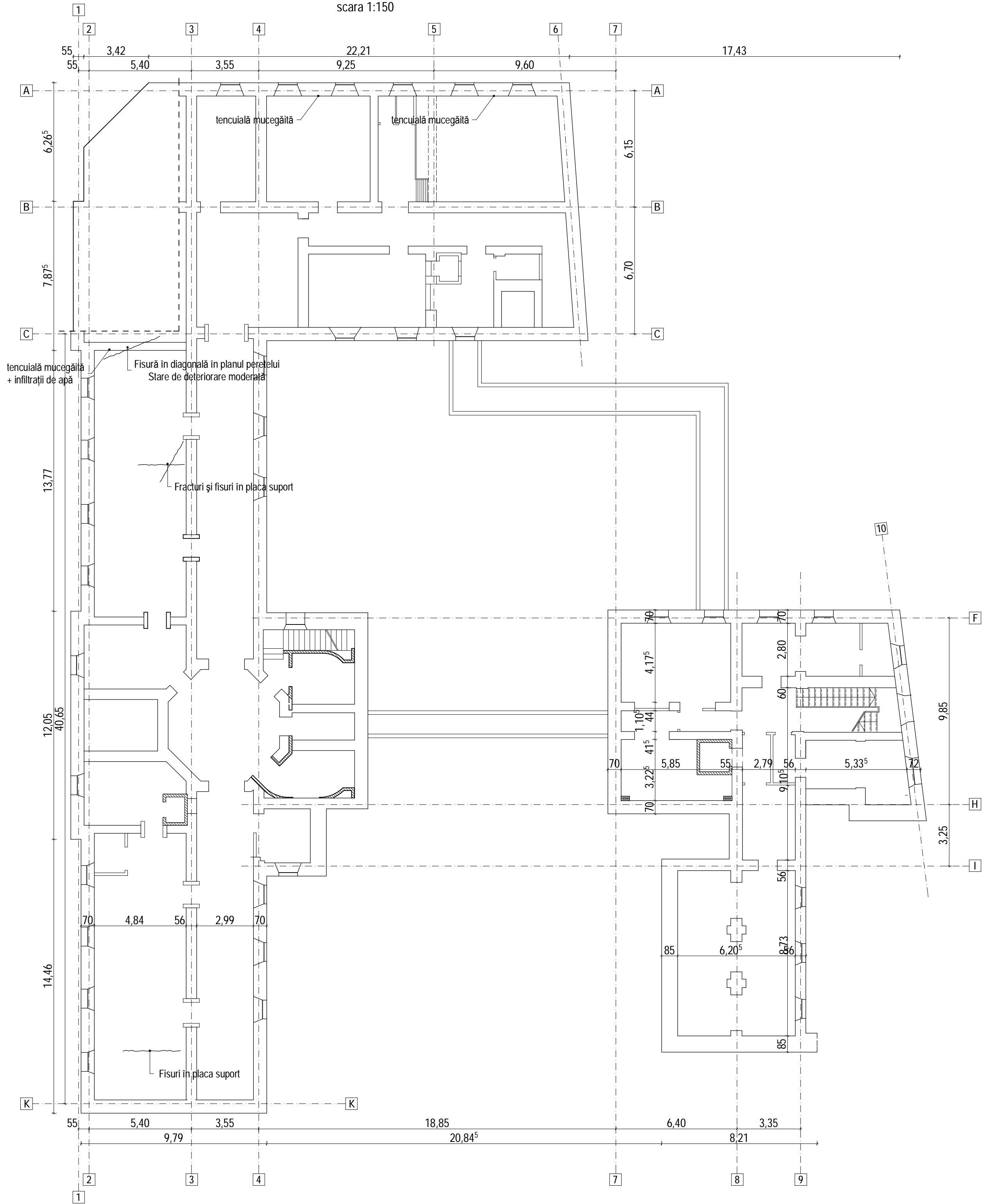
Nr crt	Caracteristici fizico-mecanice		UM	Valori masurate						Valori medii	Data de incercare	Norma care prevede incercarea	Conditii SR EN 771-1: 2003
				Nr. epruveta									
				1	2	3	4	5	6				
1	Dimensiuni medii masurate ale epruvetelor	L	mm	265	263	264				-	18.12.2012	SR EN 772-16	declarat
		l	mm	140	140	138							
		h	mm	57	60	59							
2	Masa epruveta		Kg	3.275	3.270	3.278						-	-
3	Absorbția de apa		%	15.9	16	15.6				15.83	18.12.2012	SR EN 771-1 anexa C	declarat
4	Densitate aparenta		kg/m ³	1549	1480	1525				1518	18.12.2012	SR EN 772-13	≤1000 kg/m ³
5	Suprafata		mm ²	18550	18410	18216				-			-
6	Sarcina maxima de cedare a epruvetei		N	124000	124500	124700				-	18.12.2012	SR EN 772-1	-
7	Rezistenta la compresiune a epruvetei		N/mm ²	6.68	6.76	6.85				6.764			declarat

Mortarul este var-nisip marca de calcul M4.

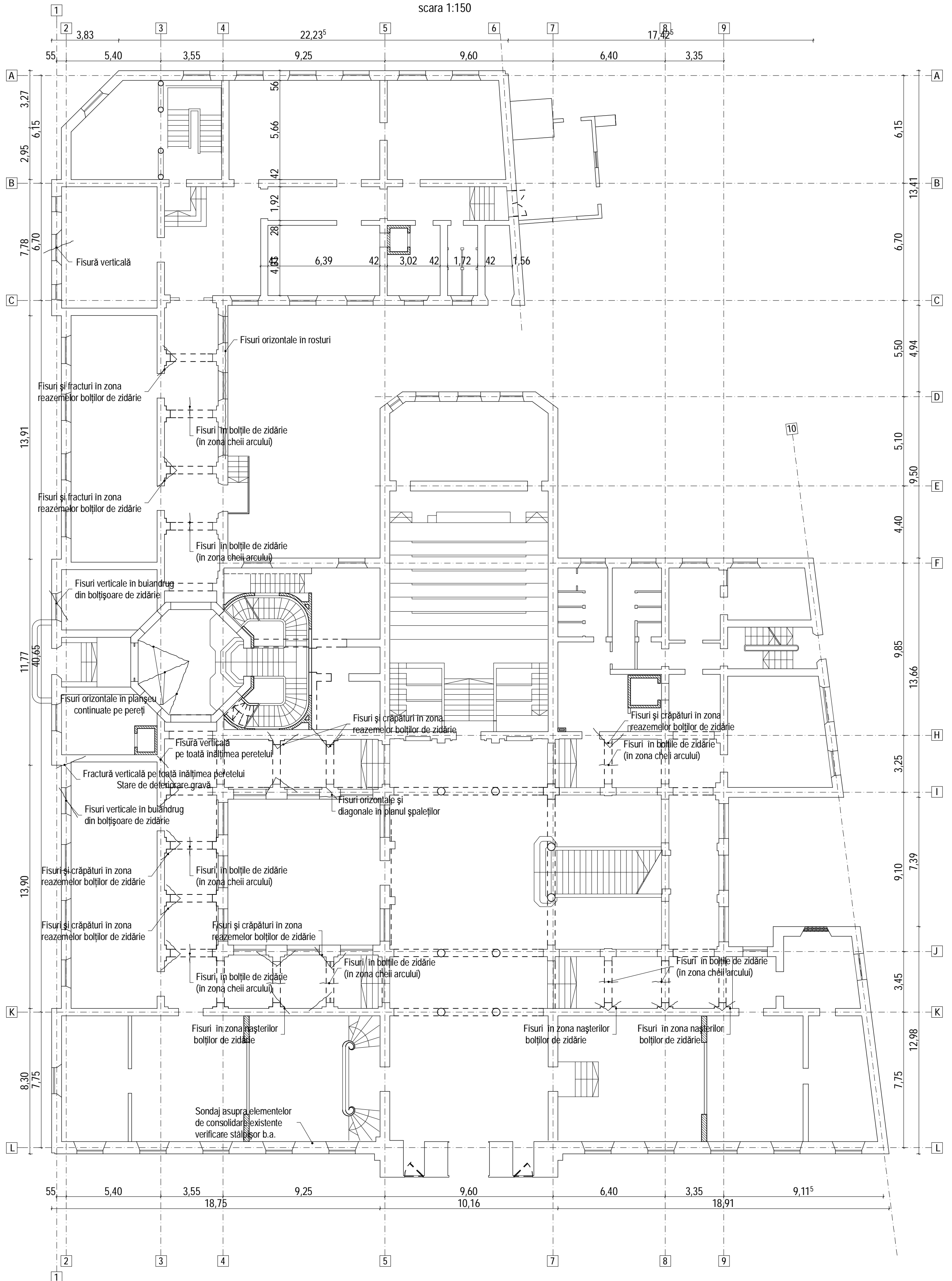
Dr.ing.Danut Babor

SCHIȚE ȘI FIGURI

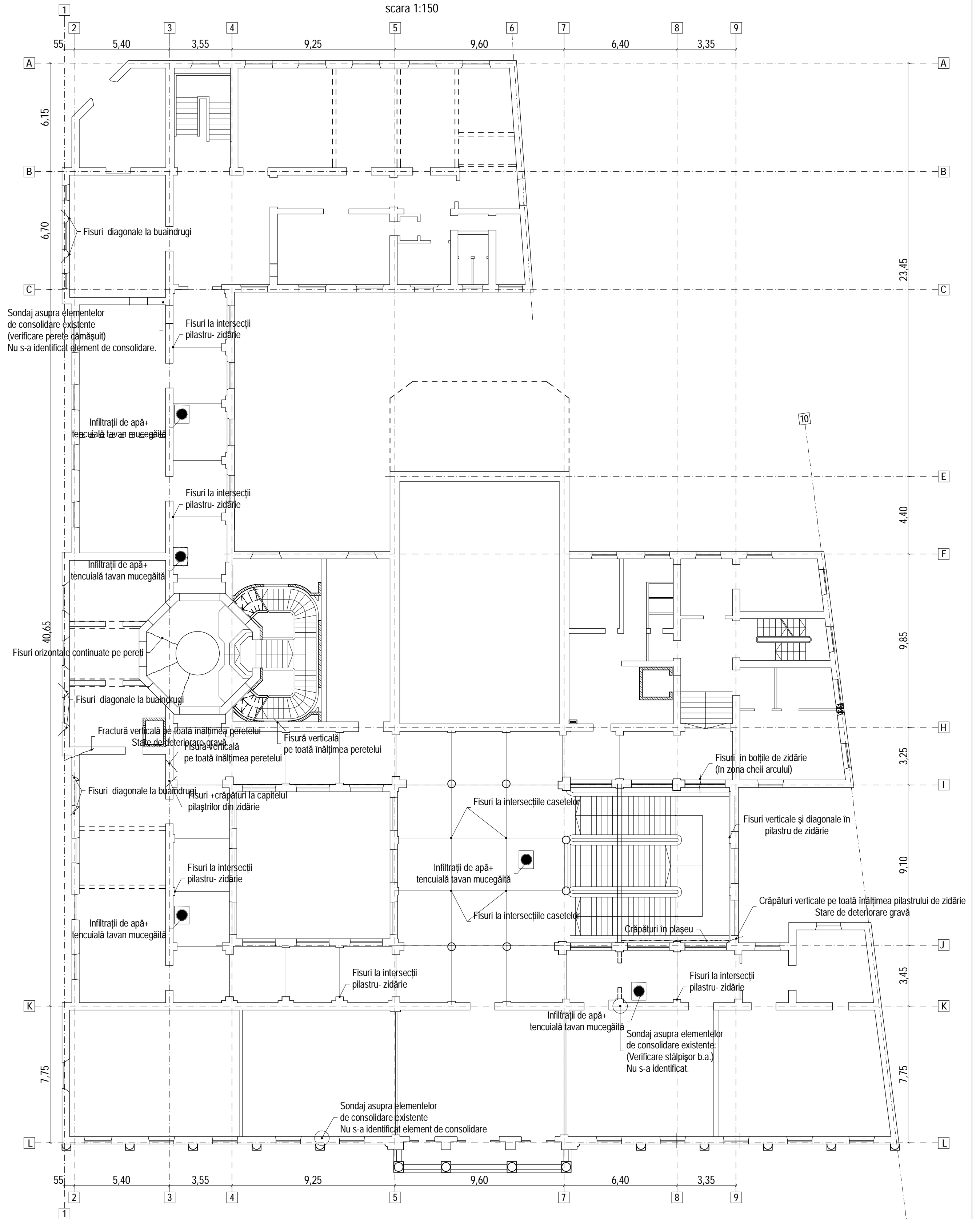
PLAN RELEVU DEGRADĂRI SUBSOL
scara 1:150



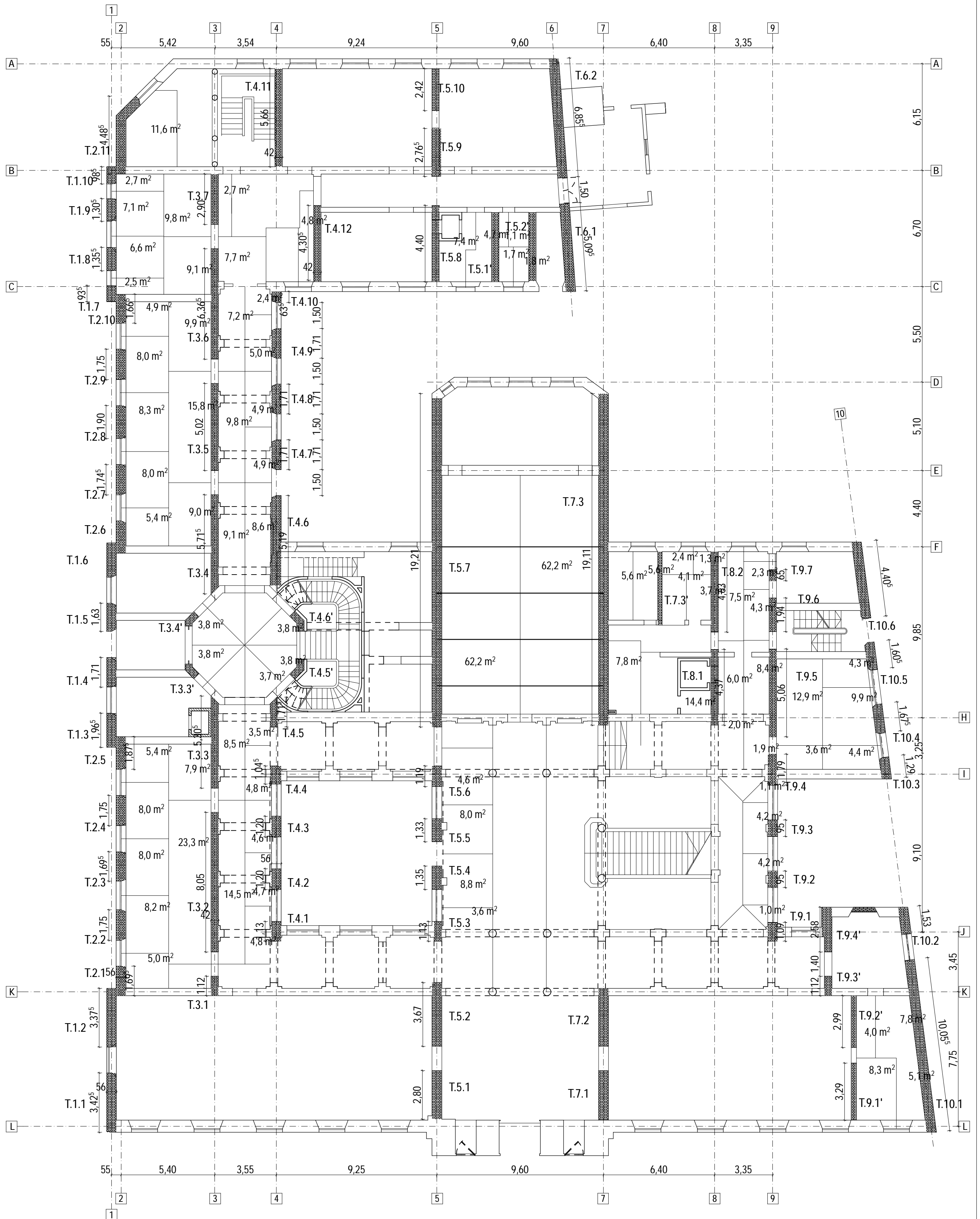
PLAN RELEVU DEGRADĂRI PARTER
scara 1:150



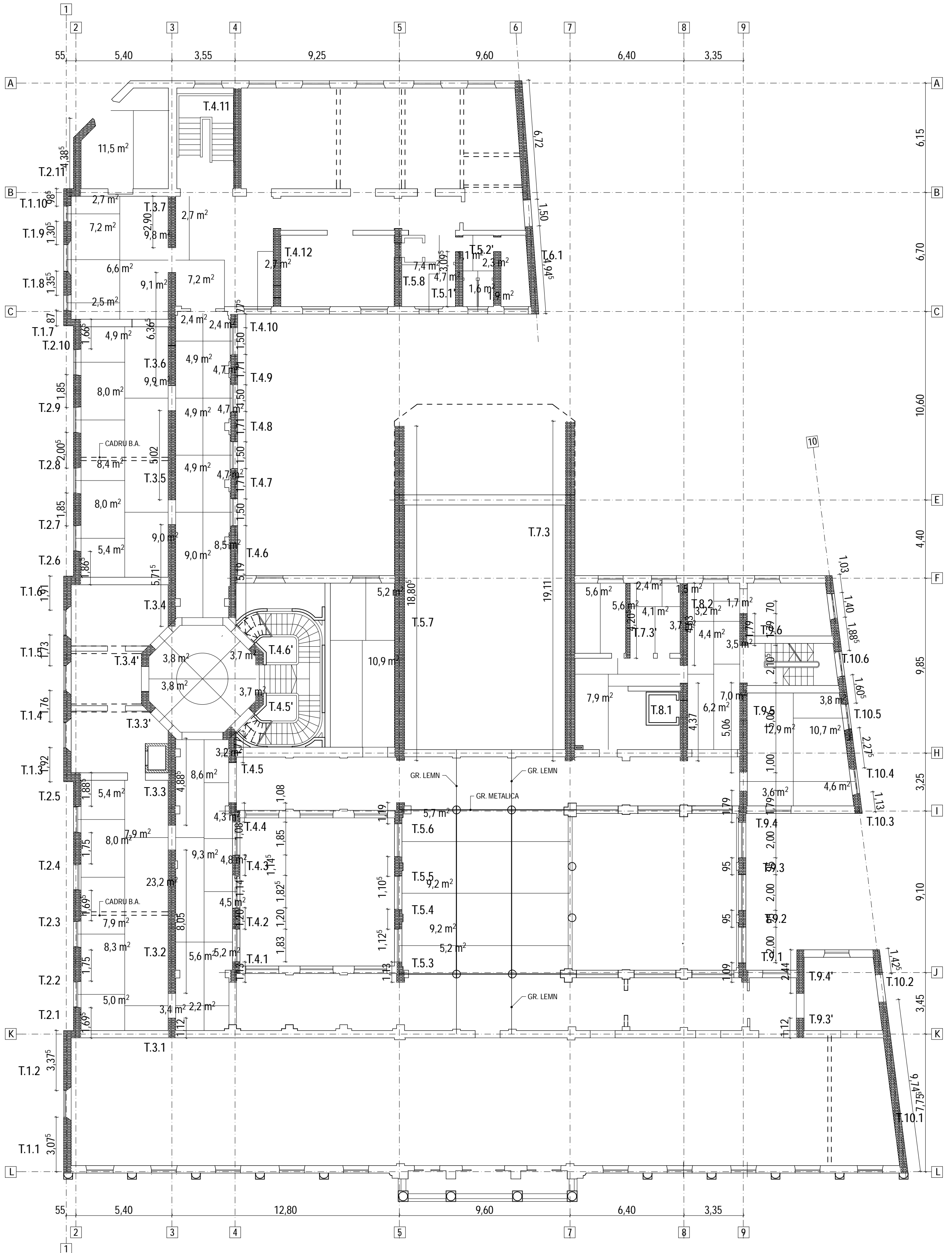
PLAN RELEVU DEGRADĂRI ETAJ
scara 1:150



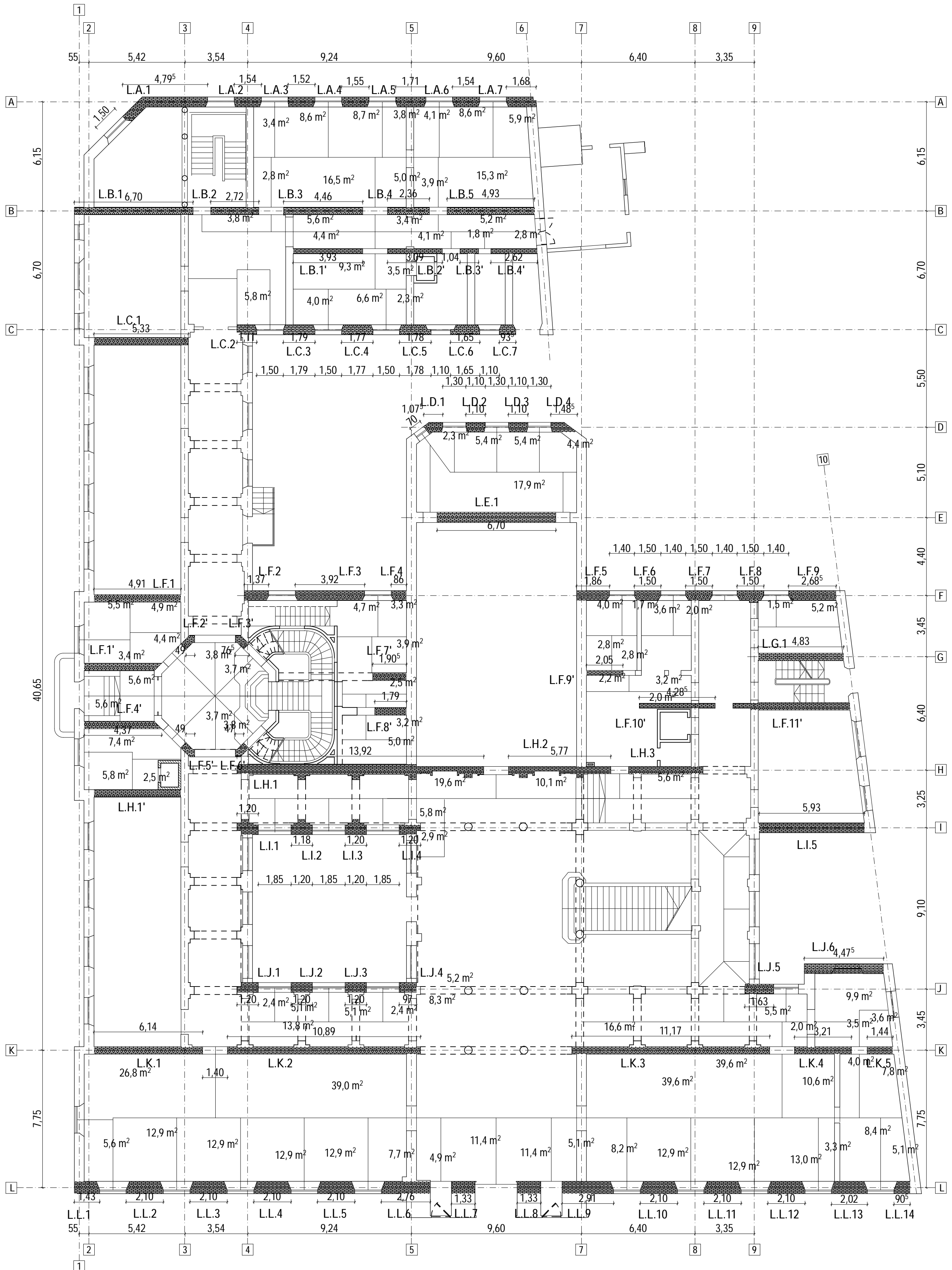
PARTER ŞPALEŢI TRANSVERSALI



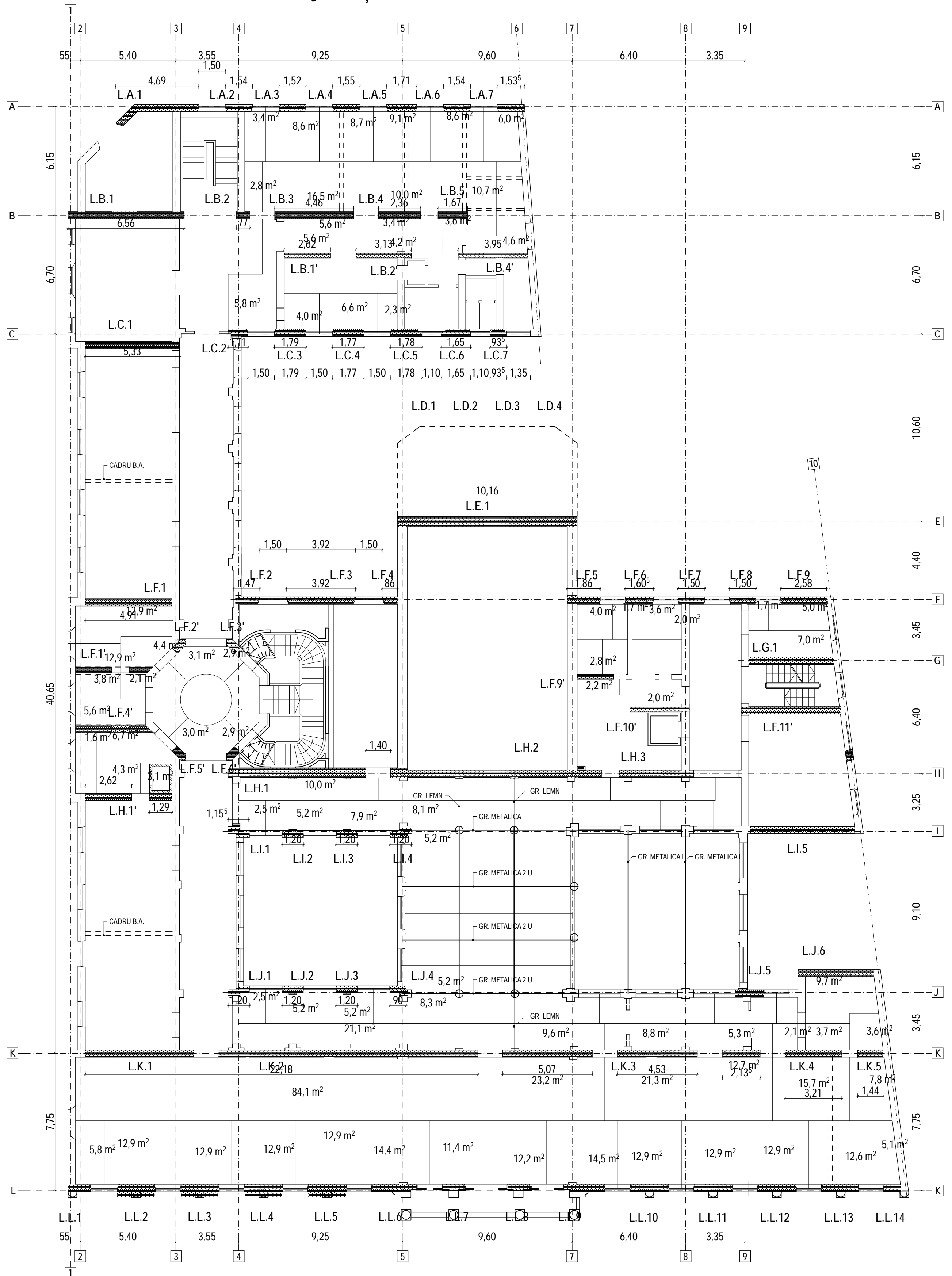
ETAJ ȘPALEȚI TRANSVERSALI



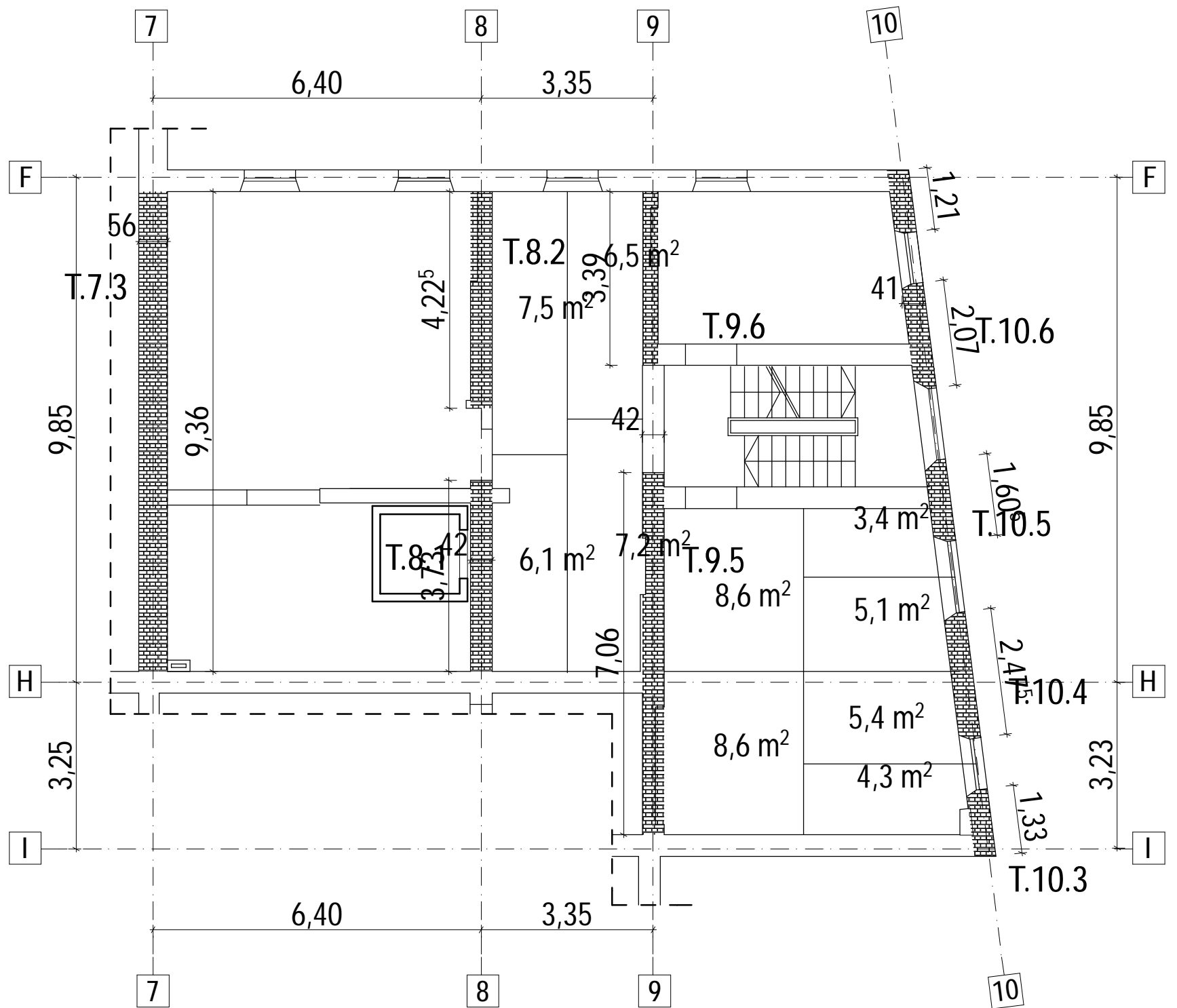
PARTER ŞPALEŢI LONGITUDINALĂ



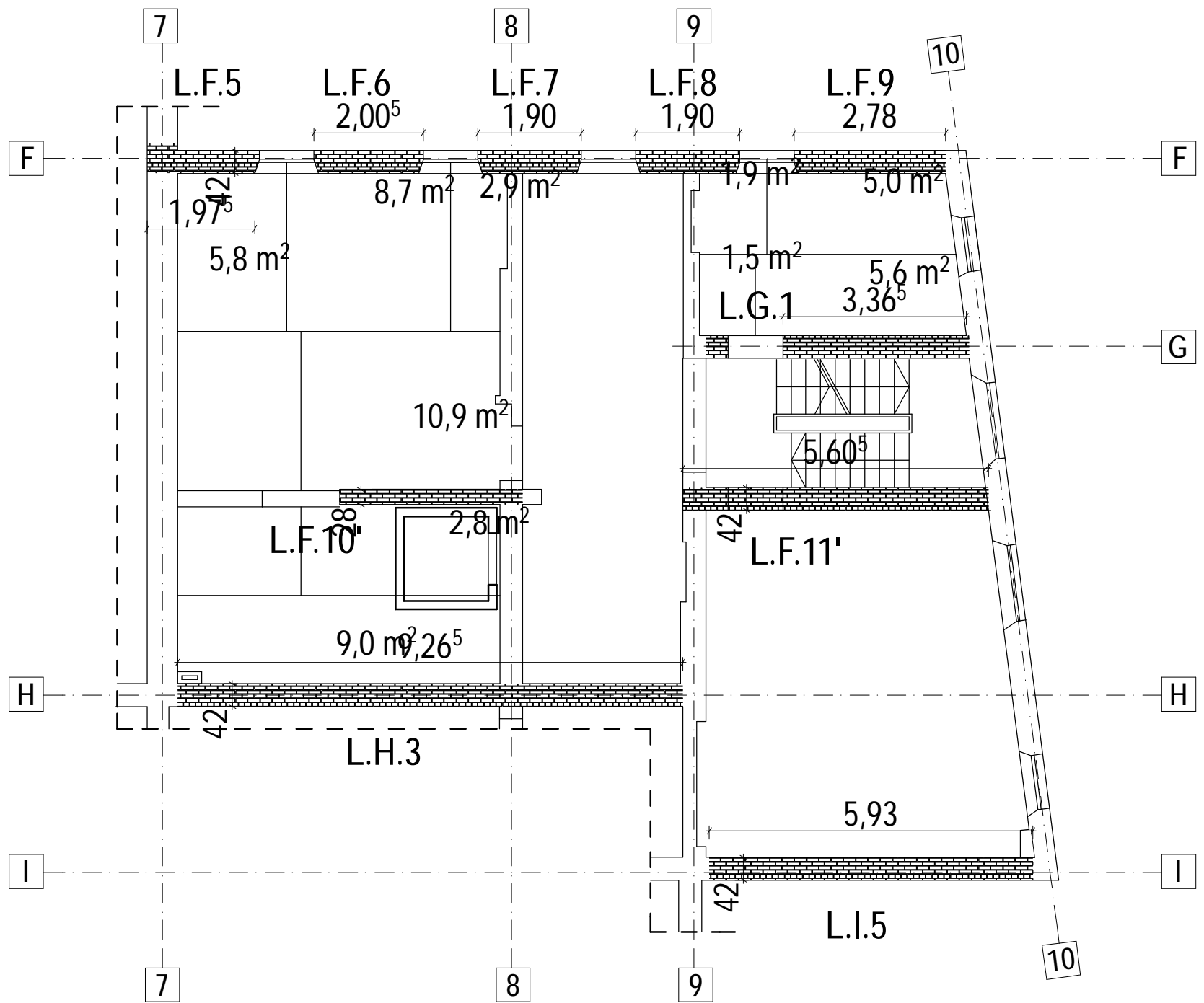
ETAJ ȘPALEȚI LONGITUDINALI



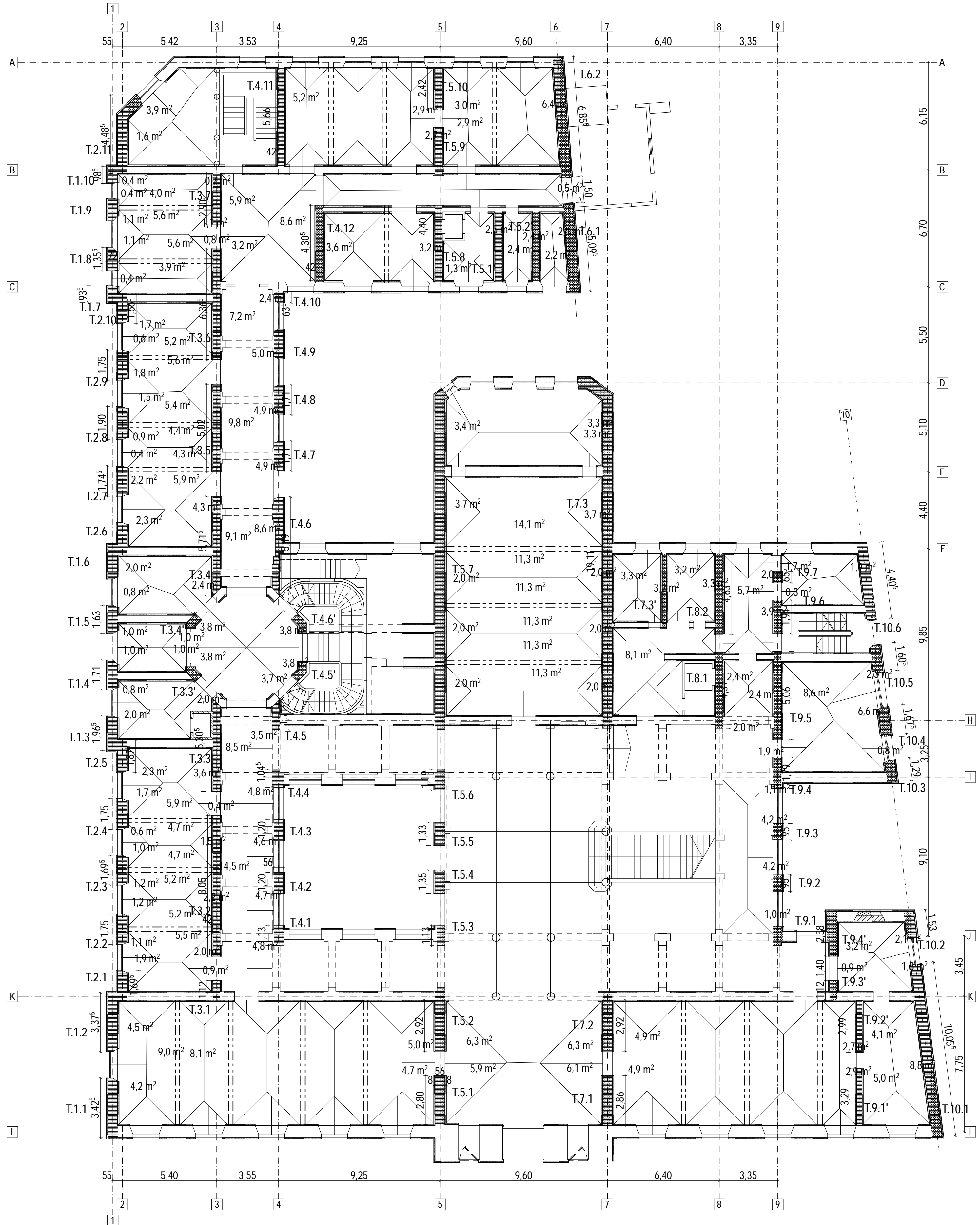
MANSARDĂ ȘPALEȚI TRANSVERSALI



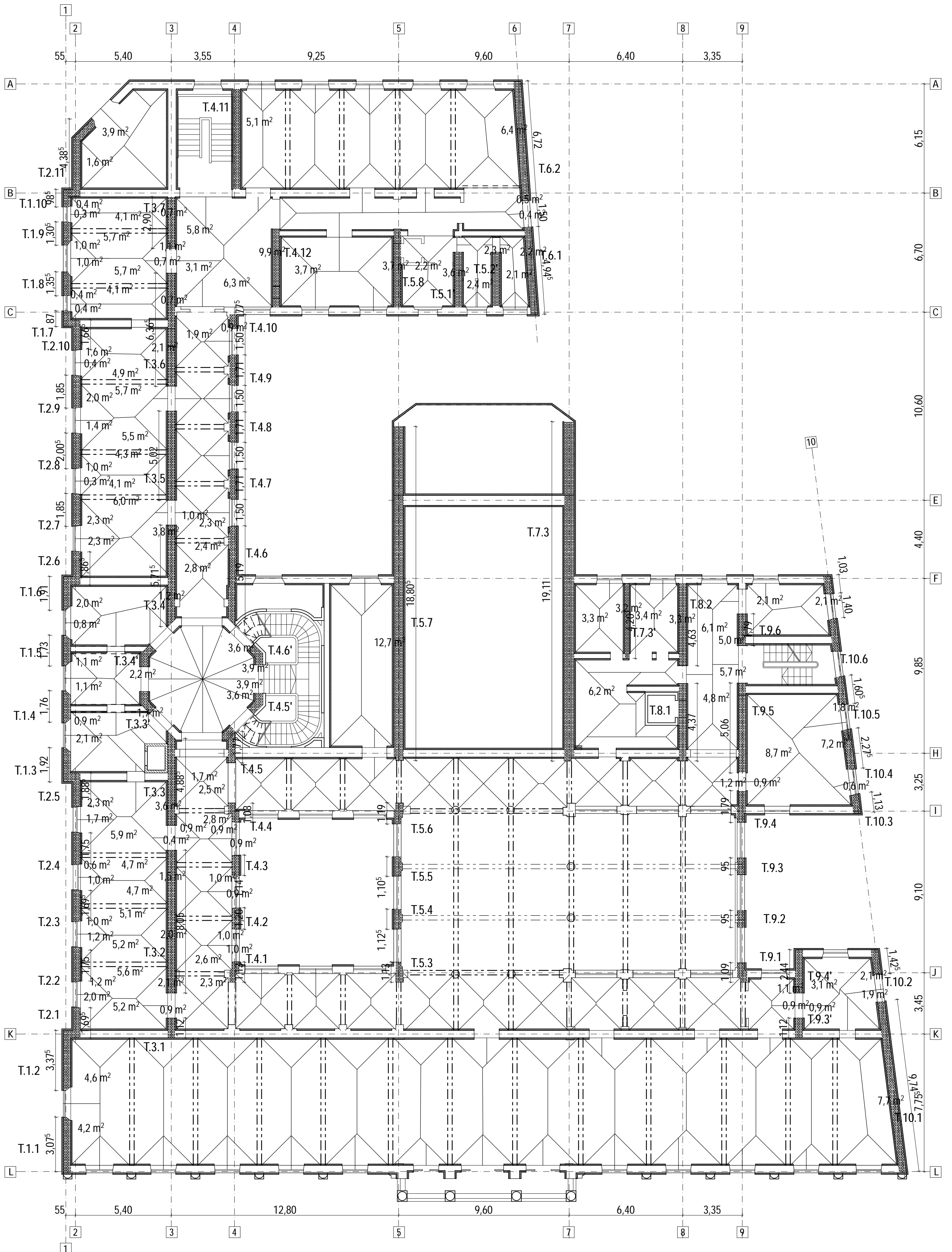
MANSARDĂ ȘPALEȚI LONGITUDINALI



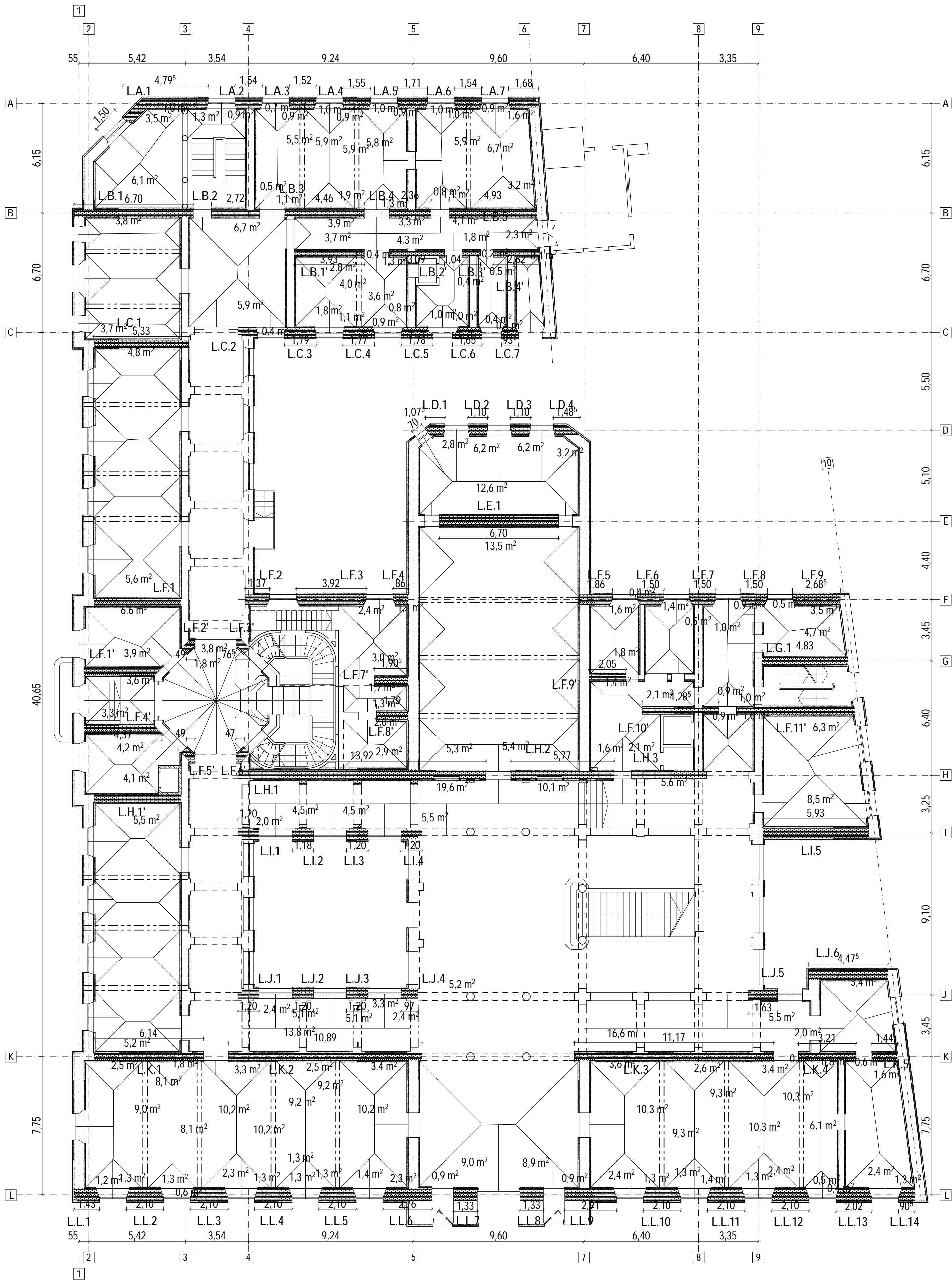
PARTER ŞPALEŢI TRANSVERSALI



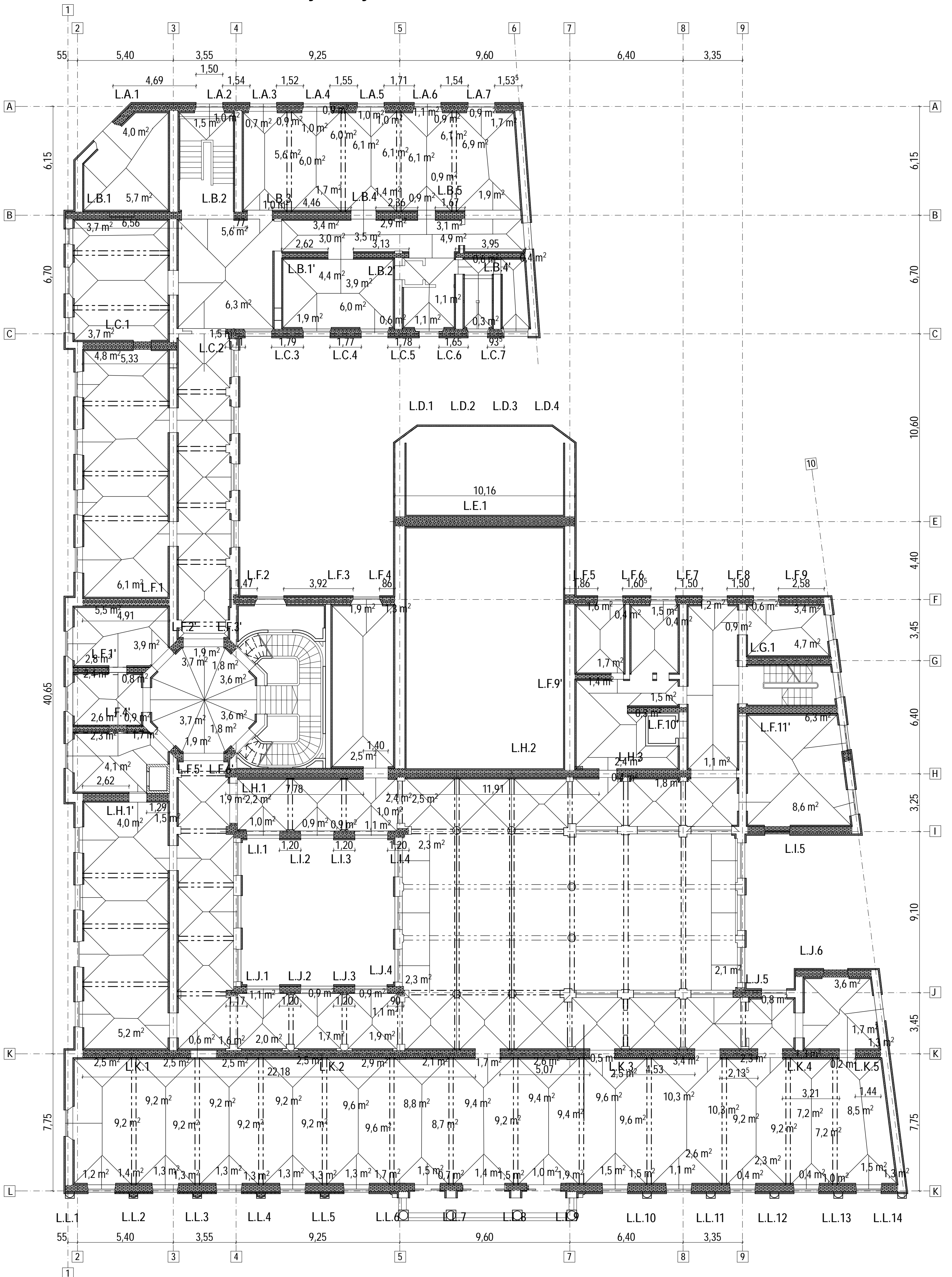
ETAJ ŞPALEŢI TRANSVERSALI



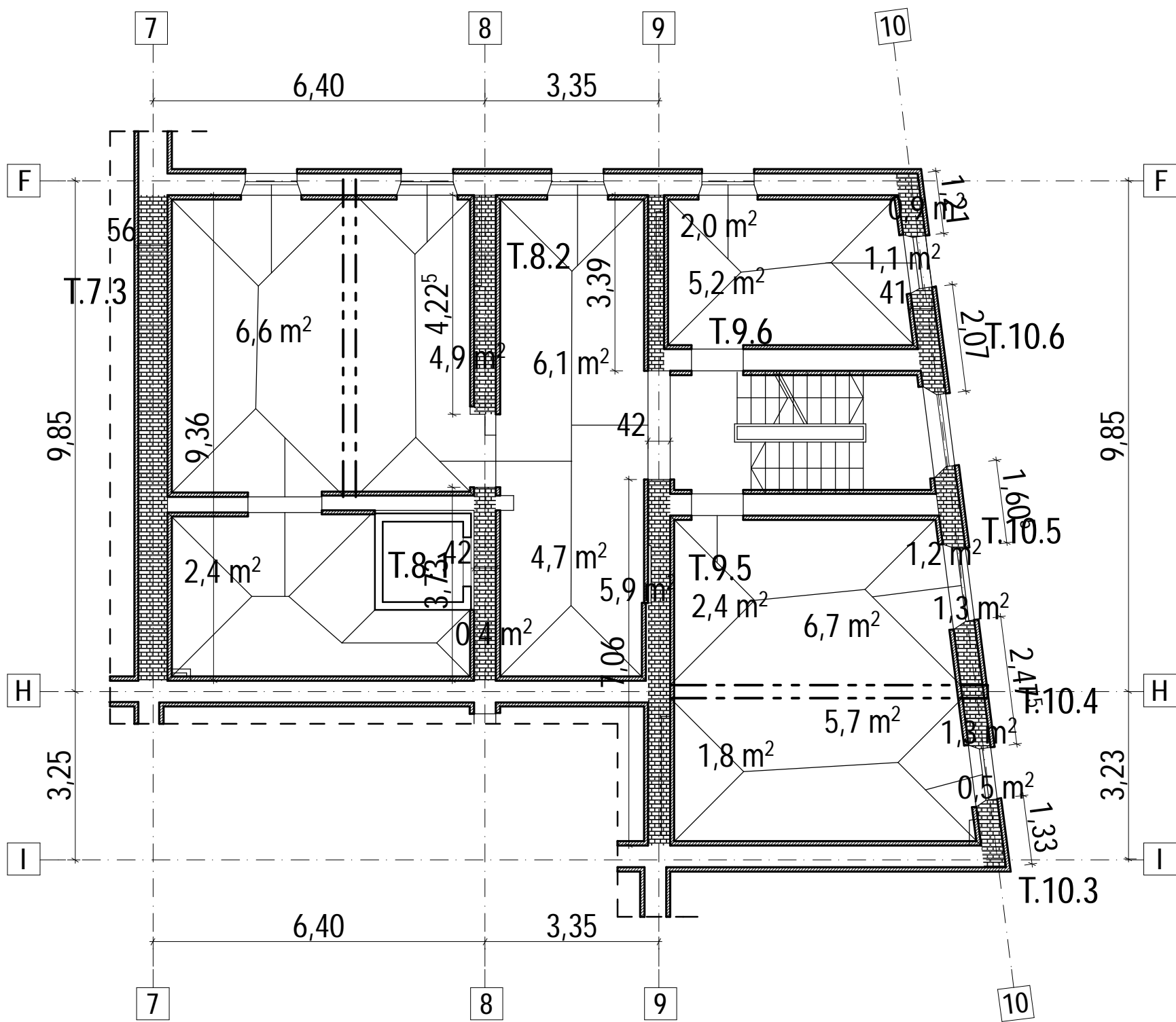
PARTER ŞPALEŢI LONGITUDINALI



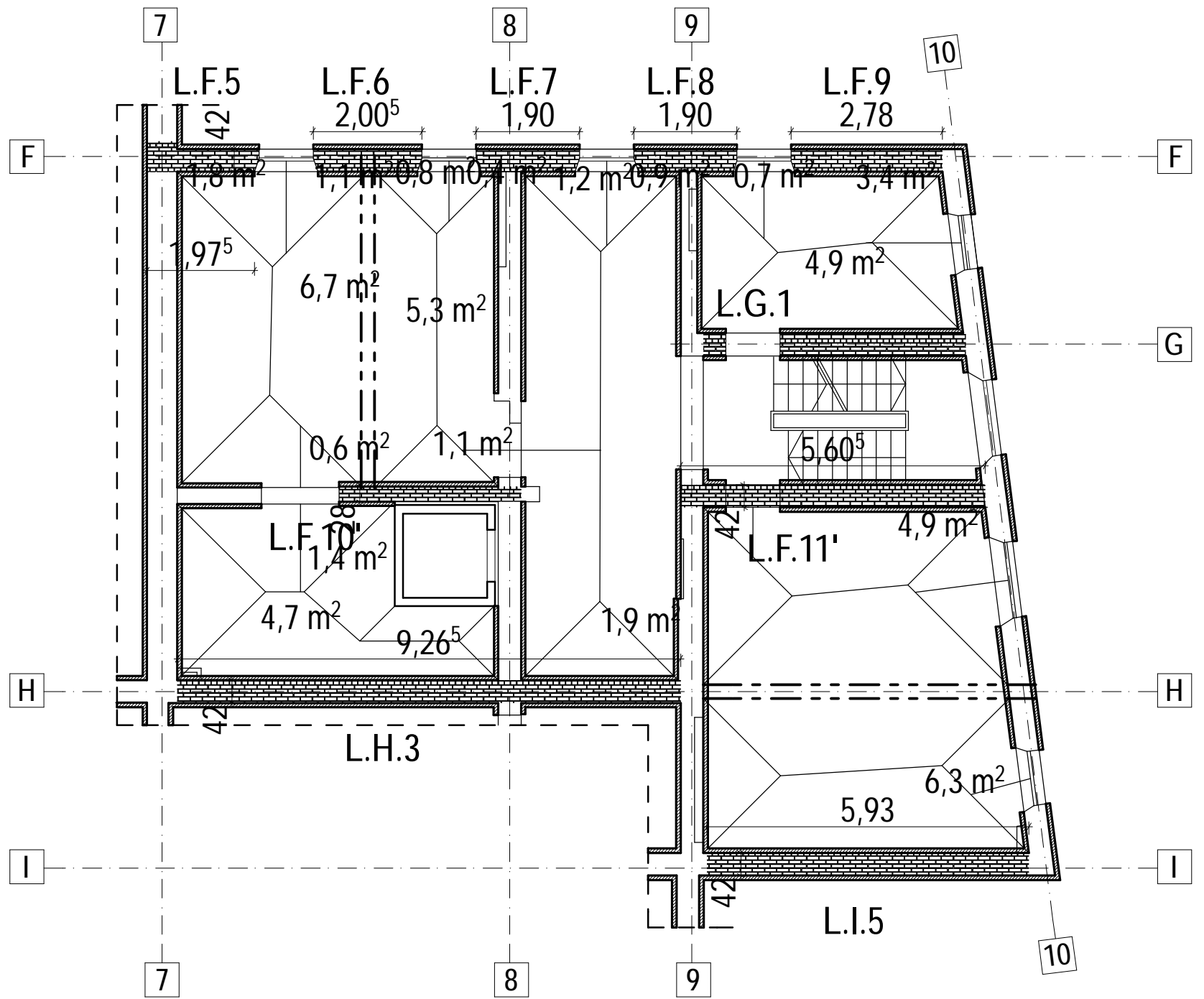
ETAJ
ŞPALEŢI LONGITUDINALI



MANSARDĂ ȘPALEȚI TRANSVERSALI



MANSARDĂ ȘPALEȚI LONGITUDINALI



SC NEO-CONS SRL

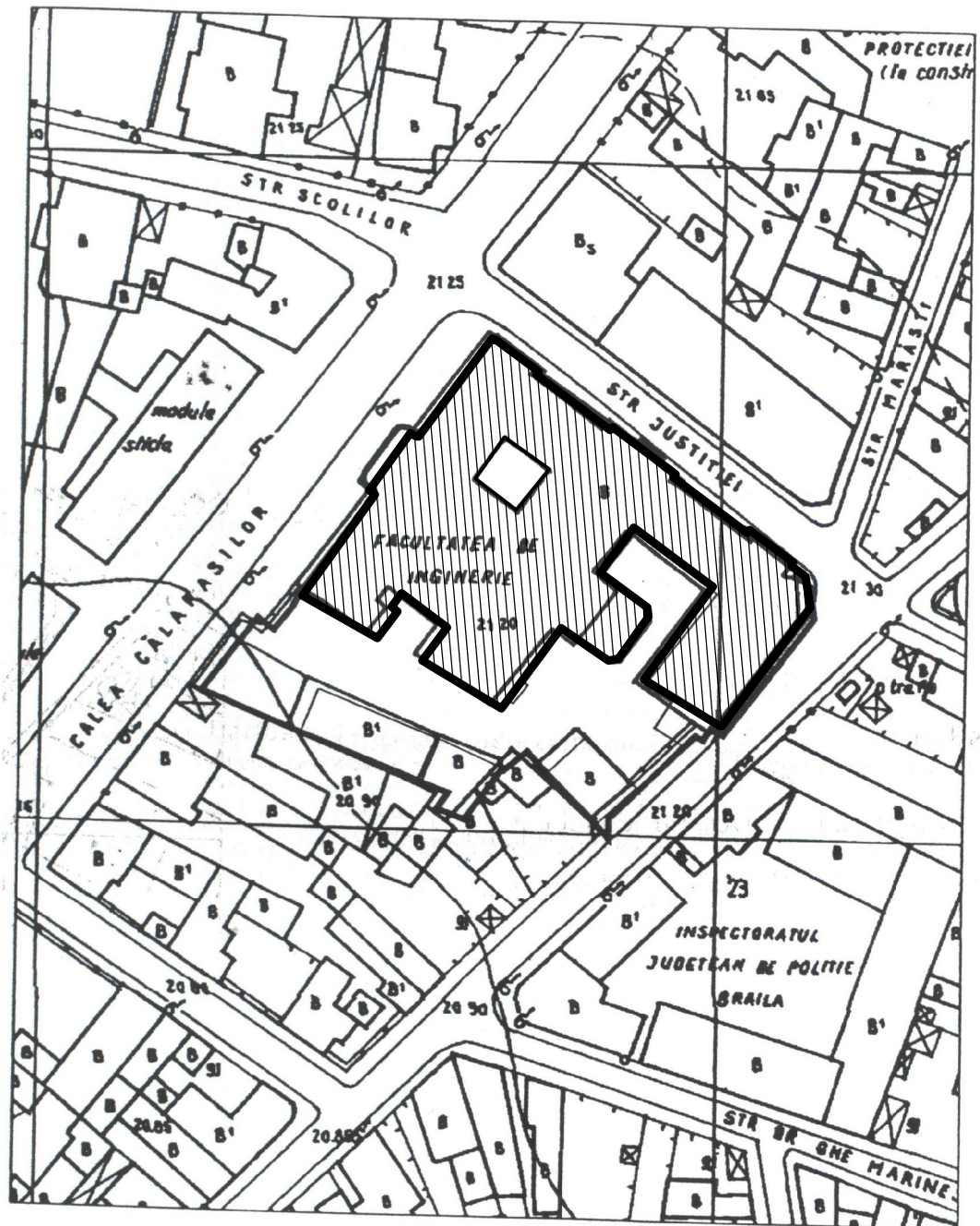
J22/889/2000

IASI, str. Zorilor nr. 5

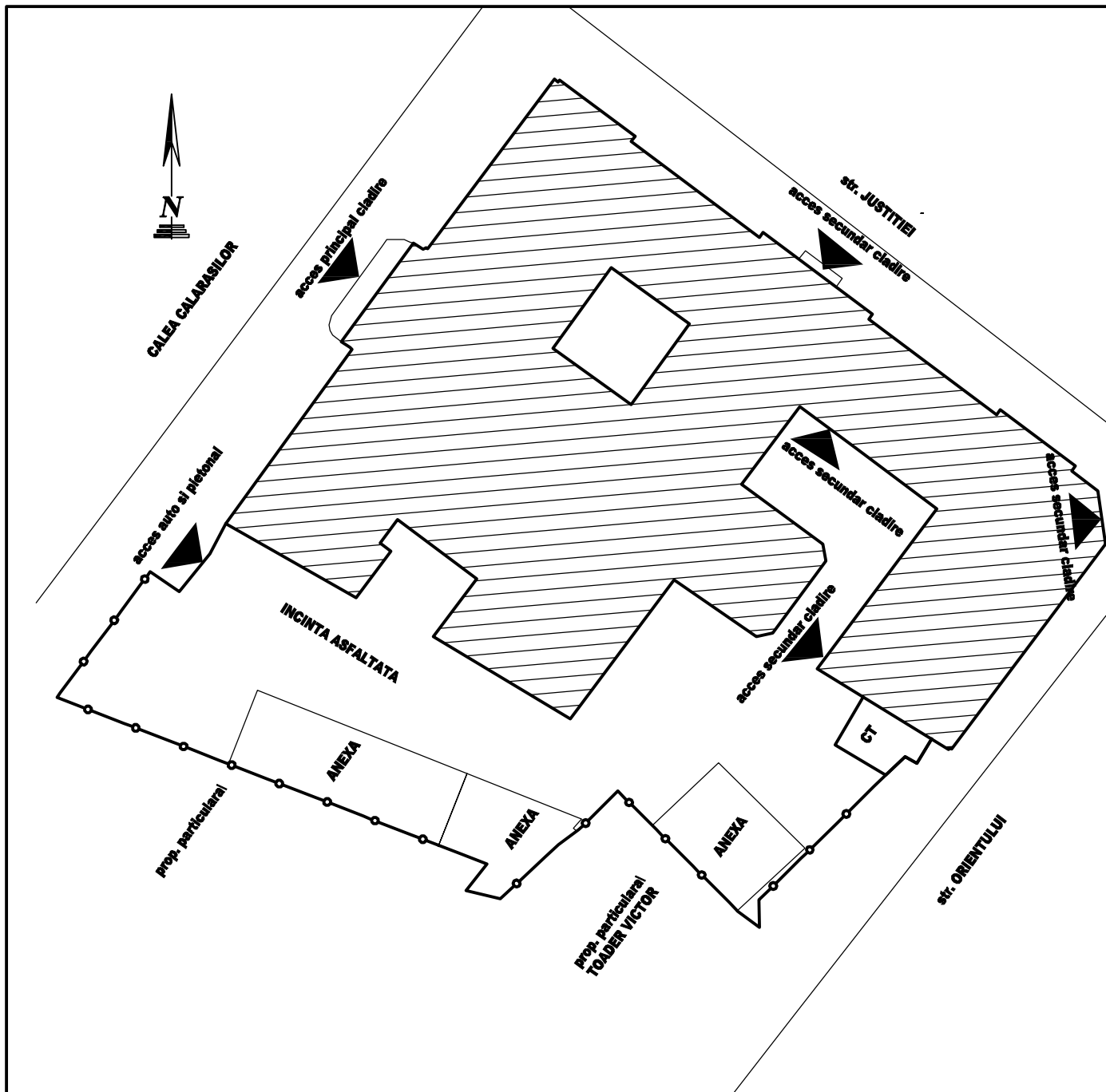
Tel: 0740-202588; 0232-266661, fax: 0332-816931

PIESE DESENATE

EX. Th.



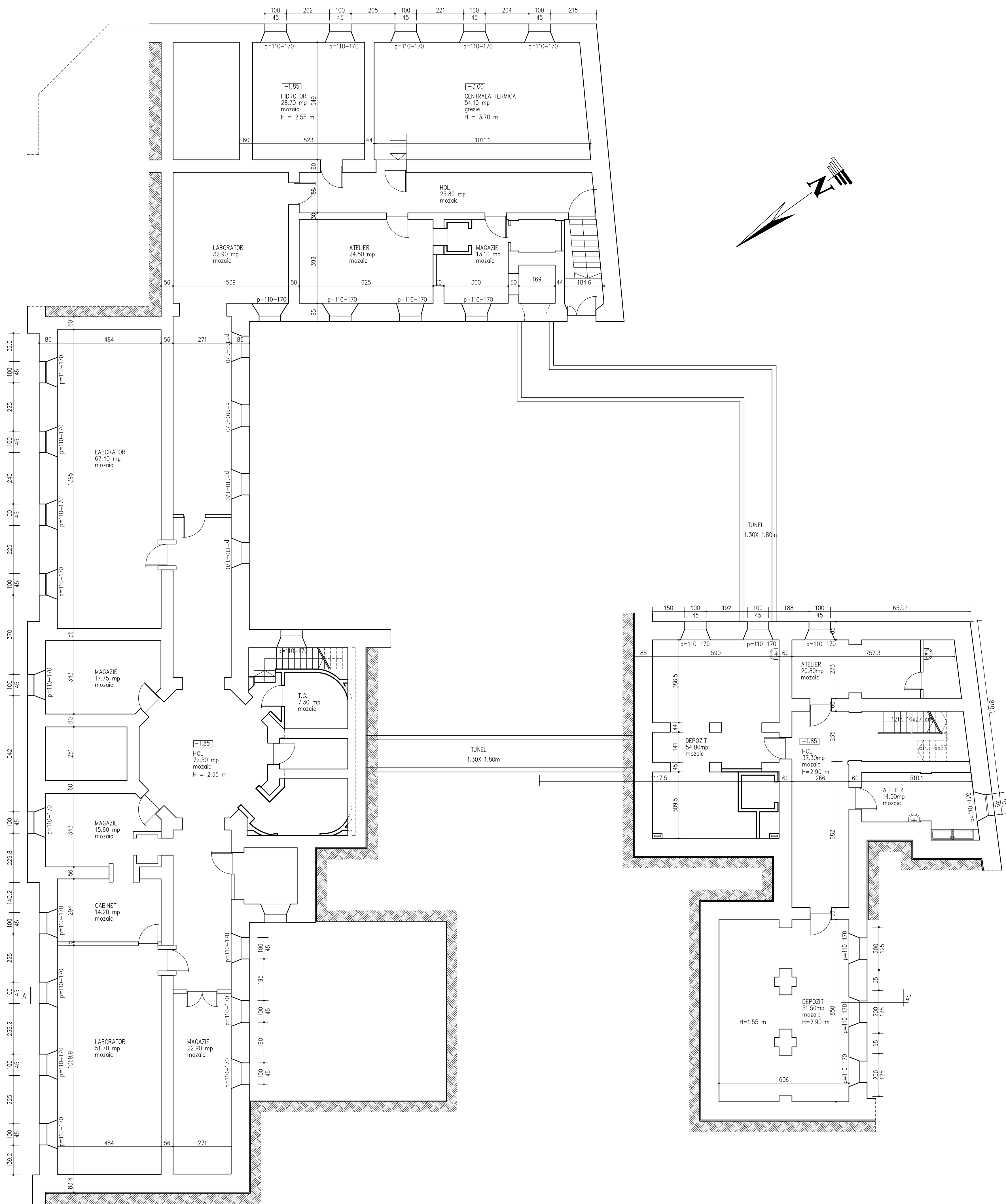
VERIFICATOR EXPERT				REFERAT DE VERIFICARE NR.	DATA
S.C. NEO-CONS S.R.L. IASI, str. ZORILOR nr. 5, Tel/Fax: 0232.266661, 0740.202.588				BENEFICIAR: UNITATEA ADMINISTRATIV TERITORIALA BRAILA PRIN CONSILIUL JUDEȚEAN BRAILA PTA INDEPENDENTEI NR.1	Pr. nr. 182/2012
EXPERT TEHNIC	ing. IOAN ROTARESCU		Scara 1:1000	EXPERTIZA TEHNICA LA IMOBILUL DIN STR. CALARASILOR NR. 29, BRAILA	Faza Ex.Th.
RELEVAT	CF. PLAN CADASTRAL				
DESENAT	arh. ALIN HOBLEA		Data 12.2012	PLAN DE INCADRARE IN ZONA	Plansa 0
APROBAT	dr.ing. C. CAPATU				



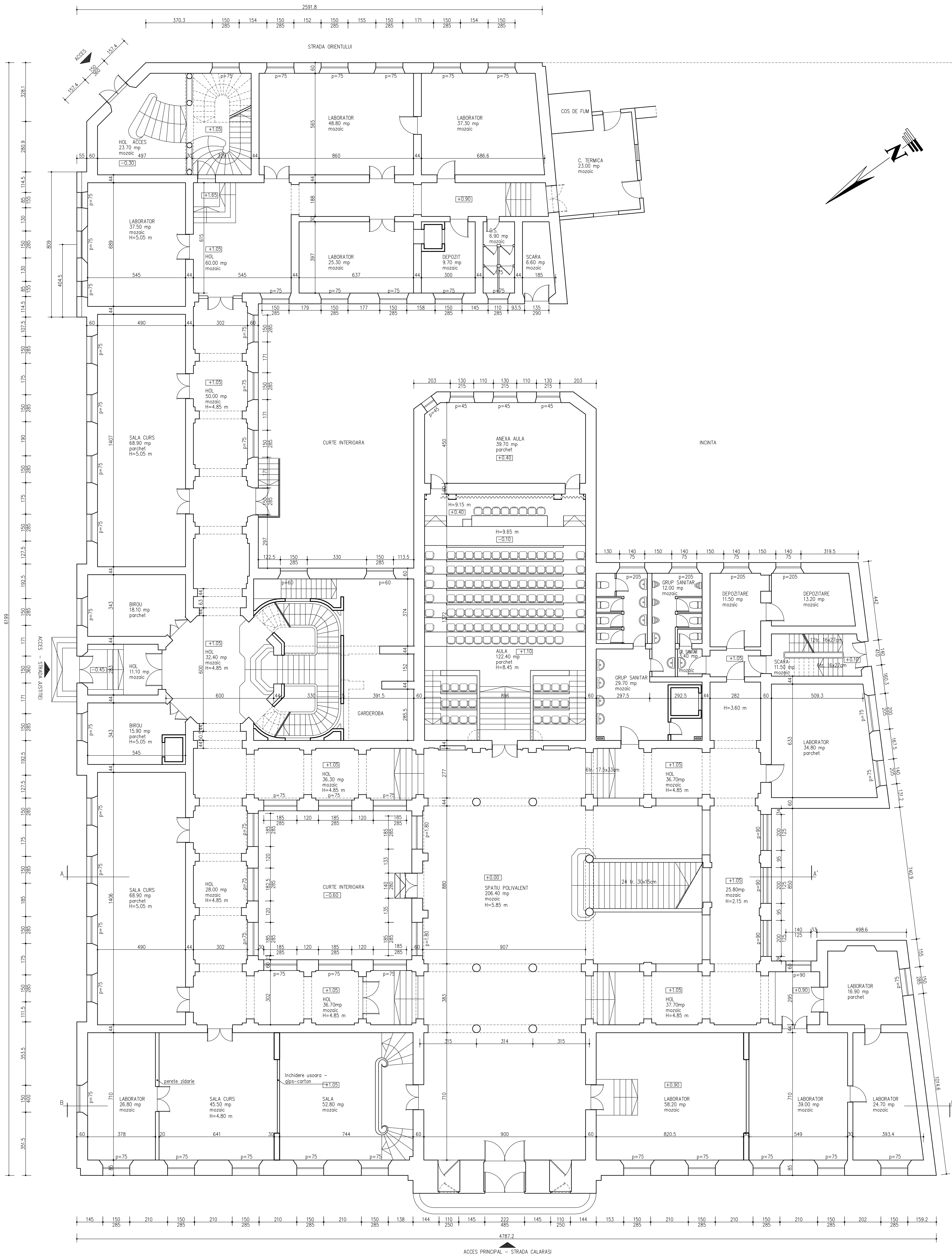
S teren = 3533.0 mp cf. carte funciara
 Sc cladire = 2130.0mp
 Sc, total cladire = 5474.40mp

Sc demisol = 1030.50mp
 Sc parter = 2130.0mp
 Sc etaj = 2130.0mp
 Sc mansarda = 183.90mp

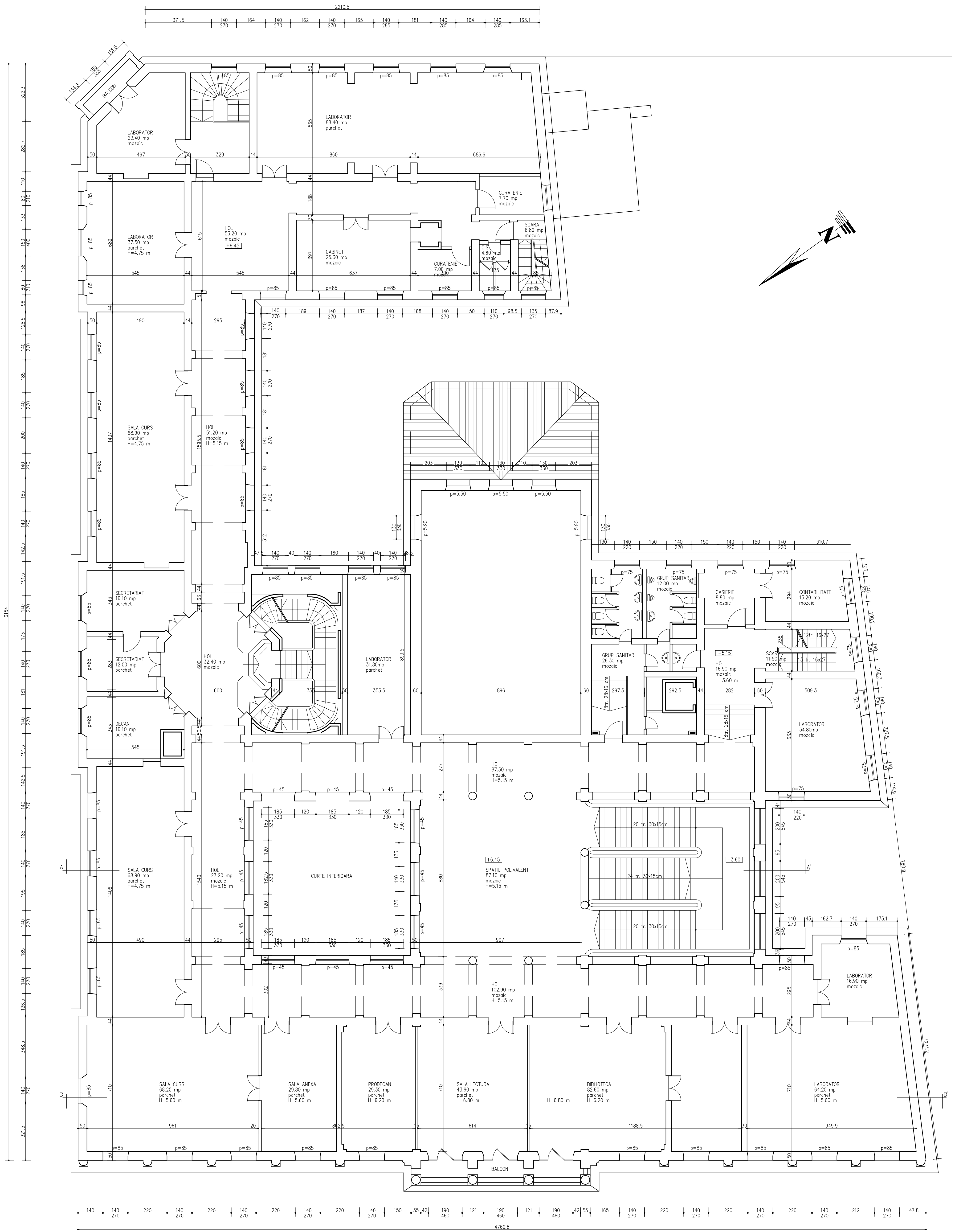
VERIFICATOR				REFERAT DE VERIFICARE NR.	DATA
EXPERT					
S.C. NEO-CONS S.R.L. IASI, str. ZORILOR nr. 5, Tel/Fax: 0232.266661, 0740.202.588				BENEFICIAR: UNITATEA ADMINISTRATIV TERITORIALA BRAILA PRIN CONSILIUL JUDETEAN BRAILA PTA INDEPENDENTEI NR.1	Pr. nr. 182/2012
EXPERT TEHNIC	ing. IOAN ROTARESCU		Scara 1:500	EXPERTIZA TEHNICA LA IMOBILUL DIN STR. CALARASILOR NR. 29, BRAILA	Faza Ex.Th.
RELEVAT	arh. ALIN HOBLEA				
DESENAT	arh. ALIN HOBLEA		Data 12.2012		
APROBAT	dr.ing. C. CAPATU				Plansa 1



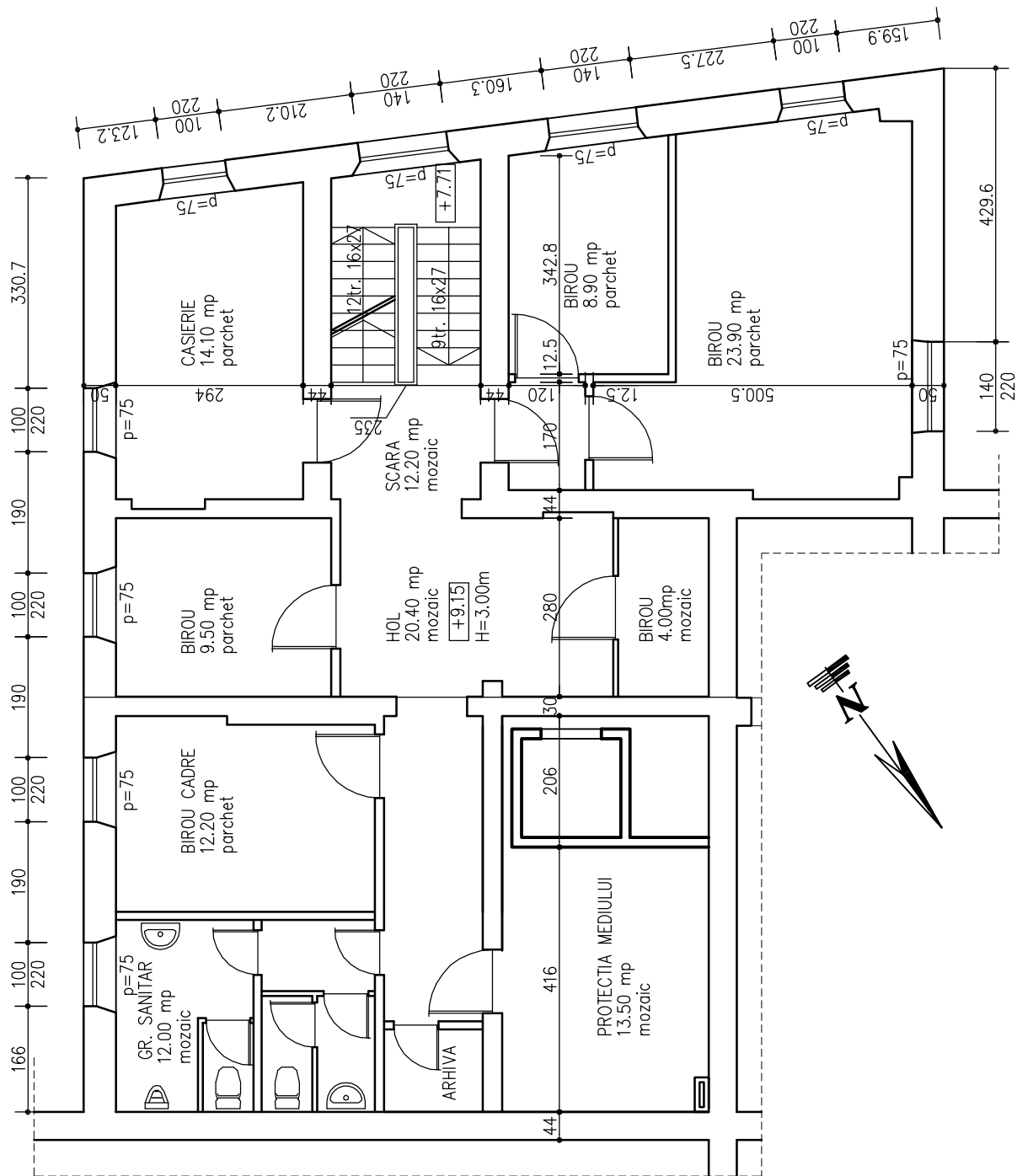
VERIFICATOR	REFERAT DE VERIFICARE NR.	DATA
EXPERT		
S.C. NEO-CONS S.R.L. IASI, str. ZORILOR nr. 5, Tel/Fax: 0232.266661, 0740.202.588		BENEFICIAR UNITATEA ADMINISTRATIV TERITORIALA BRALA PRIN CONSILIUL JUDETEAN BRALA PIA. HORTOPOSTI NR.1
EXPERT TEHNIC	Ing. IOAN ROTARESCU	Pf. nr. 182/2012
RELEVAT	arh. ALIN HOBLEA	Faza
DESEMAT	arh. ALIN HOBLEA	Ex. Th
APROBAT	dr.ing. C. CAPATU	Plansa 2
Scara 1:100		EXPERTIZA TEHNICA LA IMOBILIUL DIN STR. CALARASILOR NR. 23, BRAILA
Data 12.2012		PLAN SUBSOL



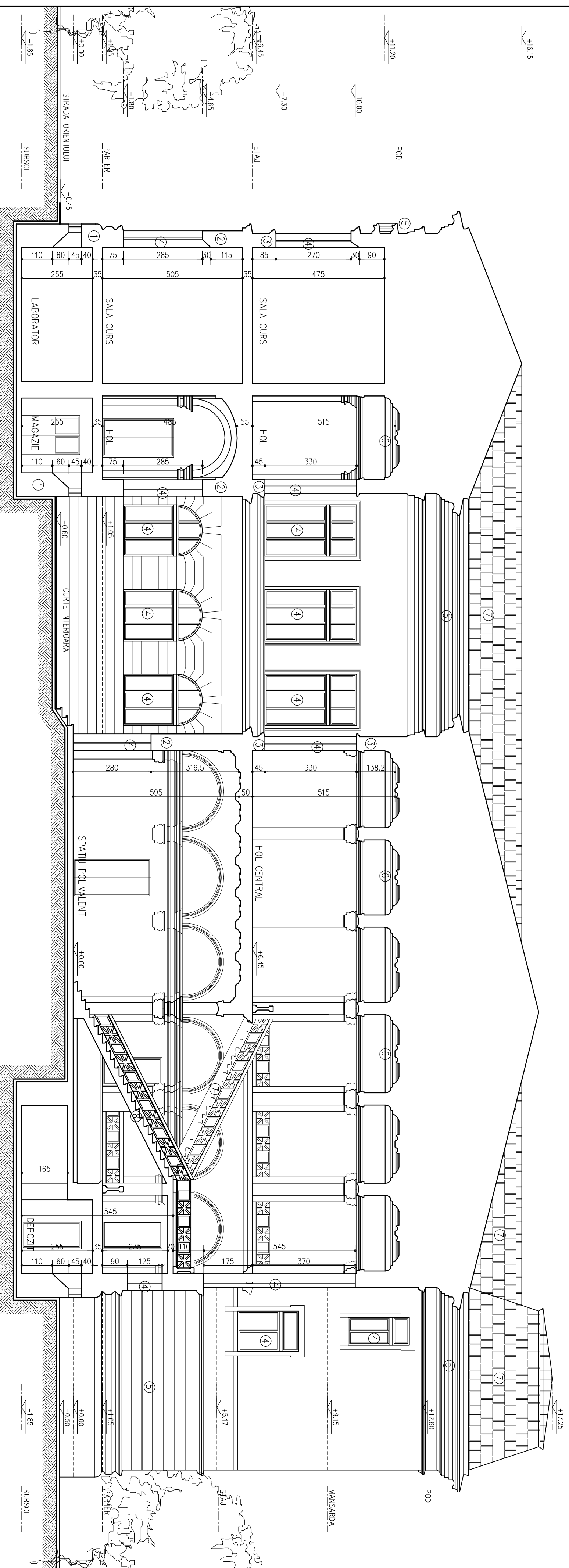
VERIFICATOR	REFERAT DE VERIFICARE NR.	DATA
EXPERT		
S.C. NEO-CONS S.R.L. IASI, str. ZORILOR nr. 5, Tel/Fax: 0232.266661, 0740.202.588		BENEFICIAR: UNITATEA ADMINISTRATIV-TERRITORIALA BRAILA PRIN CONSILIUL JUDETEAN BRAILA STR. CALARASILOR NR. 23, BRAILA
EXPERT TEHNIC	Ing. IOAN ROTARESCU	Scara 1:100
RELEVAT	arh. ALIN HOBLEA	Date
DESENAT	arh. ALIN HOBLEA	12.2012
APROBAT	dr.ing. C. CAPATU	
PLAN PARTER		EXPERTIZA TEHNICA LA IMOBILIUL DIN STR. CALARASILOR NR. 23, BRAILA Ex. Th Plansa 3



VERIFICATOR EXPERT	S.C. NEO-CONS S.R.L. IASI, str. ZORILOR nr. 5, Tel/Fax: 0232.266661, 0740.202.588	REFERAT DE VERIFICARE NR.	DATA
EXPERT TEHNIC	Ing. IOAN ROTARESCU	BENEFICIAR	UNITATEA ADMINISTRATIV-TERRITORIALA BRAILA PRIN CONSILIUL JUDETEAN BRAILA PIA. HONORARII NR. 1
RELEVAT	art. ALIN HOBLEA	Scara	1:100
DESEMAT	art. ALIN HOBLEA	Data	12.2012
APROBAT	dr.ing. C. CAPATU	EXPERTIZA TEHNICA LA IMOBILIUL DIN STR. CALARASILOR NR. 23, BRAILA	PLAN ETAJ
			Pr. nr. 182/2012
			Faza Ex. Th.
			Plansa 4

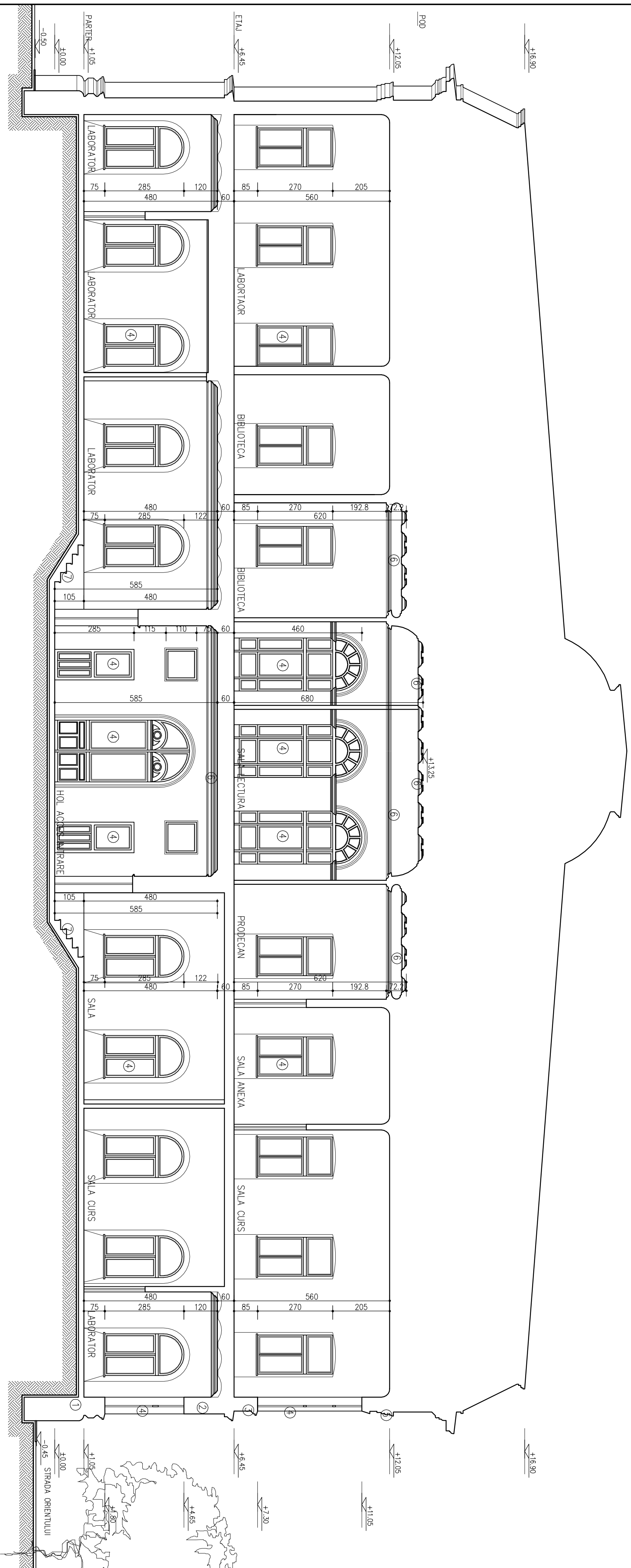


VERIFICATOR				REFERAT DE VERIFICARE NR.	DATA
EXPERT					
S.C. NEO-CONS S.R.L. IASI, str. ZORILOR nr. 5, Tel/Fax: 0232.266661, 0740.202.588				BENEFICIAR: UNITATEA ADMINISTRATIV TERITORIALA BRAILA PRIN CONSILIUL JUDETEAN BRAILA PTA INDEPENDENTEI NR.1	Pr. nr. 182/2012
EXPERT TEHNIC	ing. IOAN ROTARESCU		Scara 1:100	EXPERTIZA TEHNICA LA IMOBILUL DIN STR. CALARASILOR NR. 29, BRAILA	Faza Ex.Th.
RELEVAT	arh. ALIN HOBLEA				Plansa 5
DESENAT	arh. ALIN HOBLEA		Data 12.2012		
APROBAT	dr.ing. C. CAPATU				



- LEGENDA**
- ① - ZIDARIE CARAMIDA 85cm grosime
 - ② - ZIDARIE CARAMIDA 60cm grosime
 - ③ - ZIDARIE CARAMIDA 50cm grosime
 - ④ - TAMPLARE LENN
 - ⑤ - MULLURI EXTERIOARE
 - ⑥ - MULLURI INTERIOARE
 - ⑦ - INVELITOARE TABLA
 - ⑧ - SCARA INTERIOARA CENTRALA

VERIFICATOR EXPERT		REFERAT DE VERIFICARE NR.		DATA
S.C. NEO-CONS S.R.L. IASI, str. ZORILOR nr. 5, Tel/Fax: 0232 266661, 0740 202 588		UNITATEA ADMINISTRATIV TERITORIALA BRAILA PRIN CONSILIUL JUDETEAN BRAILA PIA INDEPENDENTII NR.1		Pr. nr. 182/2012
EXPERT TEHNIC RELEVAT	Ing. IOANI ROTARESCU arh. ALIN HOBLEA	Scara 1:100		Faza Ex. Th.
DESEINAT	arh. ALIN HOBLEA	Data 12.2012		Plansa
APROBAT	dr.ing. C. CAPATIU			6
		SECTIONE TRANSVERSALA A-A		



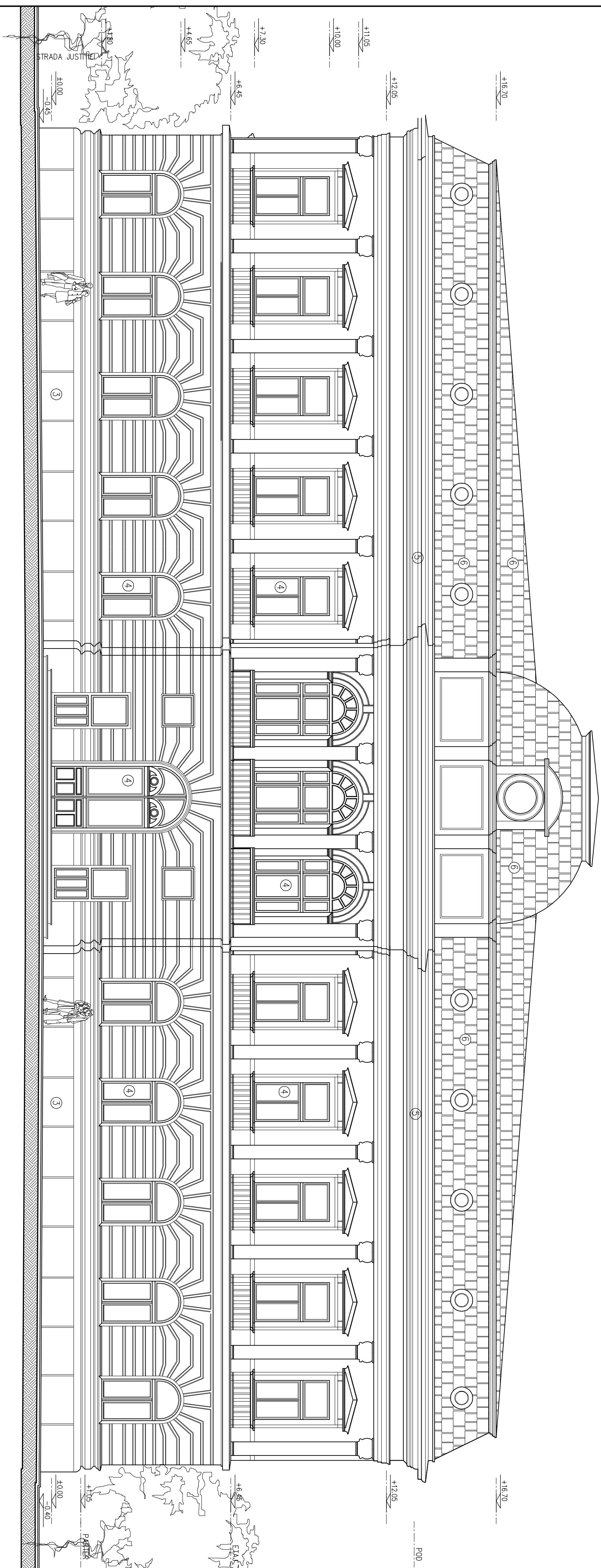
- LEGENDA
- ① - ZIDARIE CARAMIDA 85cm grosime
 - ② - ZIDARIE CARAMIDA 60cm grosime
 - ③ - ZIDARIE CARAMIDA 50cm grosime
 - ④ - TAMPLARIE LEMN
 - ⑤ - MULLURI EXTERIOARE
 - ⑥ - MULLURI INTERIOARE
 - ⑦ - SCARA INTERIOARA

VERIFICATOR	REFERAT DE VERIFICARE NR.	DATA
EXPERT		
S.C. NEO-CONS S.R.L. MSJ, str. ZORILOR nr. 5, Tel/fax: 0232 266661, 0740 202 588		
EXPERT TEHNIC	Ing. IOANI ROTARESCU	Scara
RELEVAT	arh. ALIN HOBLEA	1:100
DESEINAT	arh. ALIN HOBLEA	Ex. Th.
APROBAT	dir.ing. C. CAPATIU	Plansa
	12.2012	7

EXPERT	REFERAT DE VERIFICARE NR.	DATA
SEMENTARIE UNITATEA ADMINISTRATIV TERITORIALA BRAILA PRIN CONSILIUL JUDETEAN BRAILA PIA INDEPENDENTENI NR.1		
EXPERT TEHNIC	Ing. IOANI ROTARESCU	Scara
RELEVAT	arh. ALIN HOBLEA	1:100
DESEINAT	arh. ALIN HOBLEA	Ex. Th.
APROBAT	dir.ing. C. CAPATIU	Plansa
	12.2012	7

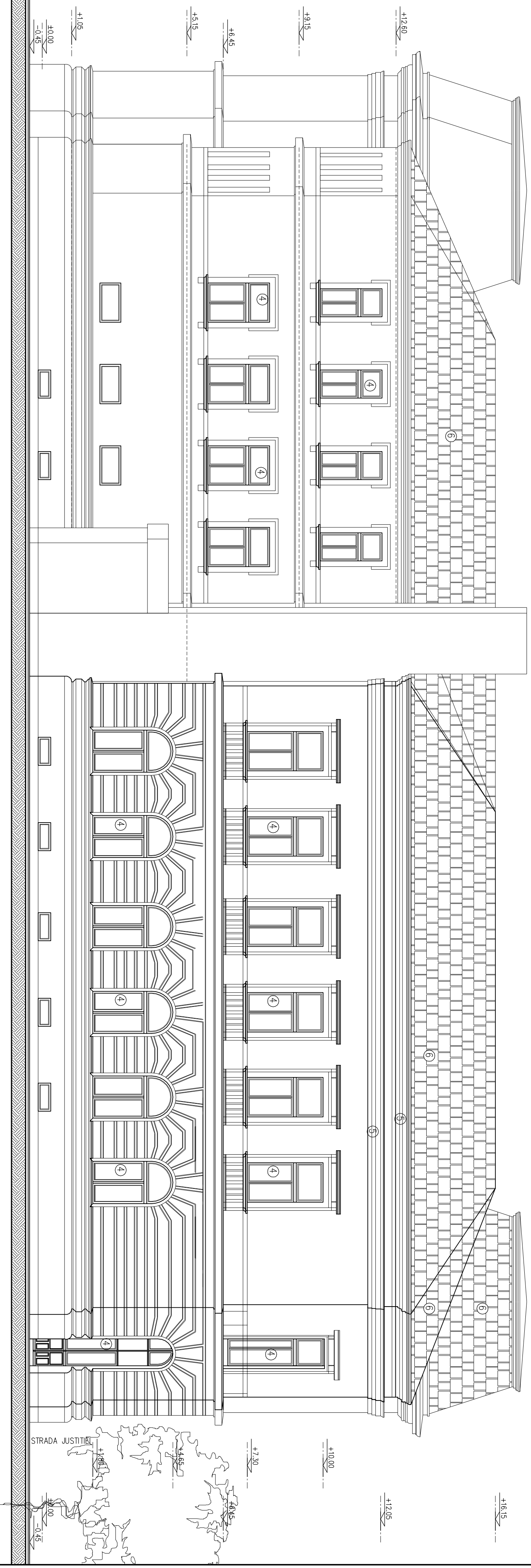
EXPERT	REFERAT DE VERIFICARE NR.	DATA
EXPERTIZA TEHNICA LA MOBILUL DIN STR. CALARASILOR NR. 29, BRAILA		
EXPERT TEHNIC	Ing. IOANI ROTARESCU	Scara
RELEVAT	arh. ALIN HOBLEA	1:100
DESEINAT	arh. ALIN HOBLEA	Ex. Th.
APROBAT	dir.ing. C. CAPATIU	Plansa
	12.2012	7

EXPERT	REFERAT DE VERIFICARE NR.	DATA
SECTIUNE TRANSVERSALA B-B		
EXPERT TEHNIC	Ing. IOANI ROTARESCU	Scara
RELEVAT	arh. ALIN HOBLEA	1:100
DESEINAT	arh. ALIN HOBLEA	Ex. Th.
APROBAT	dir.ing. C. CAPATIU	Plansa
	12.2012	7



- LEGENDA
- ③ - SOCIU
 - ④ - TAMPLARE LEMN CU GEAM SIMPLU CLAR
 - ⑤ - MĂLURI EXTERIOARE
 - ⑥ - ÎNVELITOARE DIN TABLA

VERIFICATOR EXPERT	REFERAT DE VERIFICARE NR.	DATA
S. C. NEO-CONS S.R.L. IASI, str. ZORILOR nr. 5, Tel/Fax: 0232 266661, 0740 202 588	UNIVERSITATEA DE ARHITECTURA SI CONSTRUCTII FACULTATEA DE ARHITECTURA SI CONSTRUCTII CATEDRA DE ARHITECTURA SI CONSTRUCTII	Pr. nr. 182/2012
EXPERT TEHNIC RELEVAT DESEMAT APROBAT	Ing. IOANI ROTARESCU arh. ALIN HOBLEA arh. ALIN HOBLEA dr.ing. C. CAPATIU	Scara 1:100 Data 12.2012
	EXPERTIZA TEHNICA LA MOBILUL DIN STR. CALARASILOR NR. 29, BRAILA	Faza Ex. Th. Plansa
	FATA DA PRINCIPALA - STRADA CALARASI	8



- LEGENDA
- ③ - SOCLU
 - ④ - TAMPLARIE LEMN CU GEAM SIMPLU CLAR
 - ⑤ - MOLURI EXTERIOARE
 - ⑥ - INVELITOARE DIN TABLA

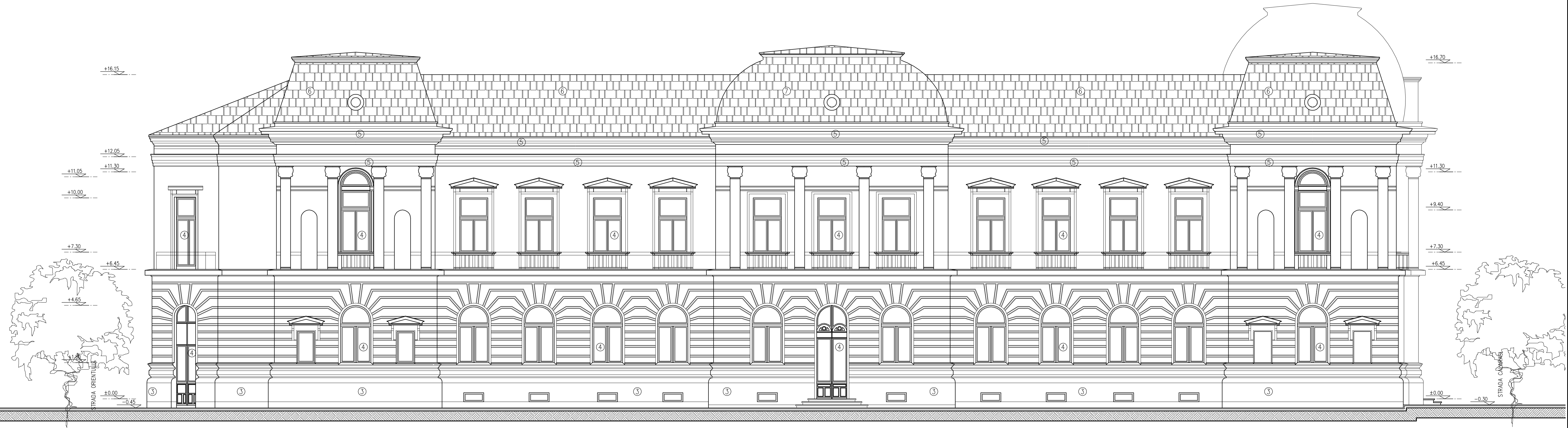
VERIFICATOR	REFERAT DE VERIFICARE NR.	DATA
EXPERT		
S.C. NEO-CONS S.R.L.		
<small>IASI, str. ZORILOR nr. 5, Tel/Fax: 0232 266661, 0740 202 588</small>		
EXPERT TEHNIC	Ing. IOANI ROTARESCU	Scara
RELEVAT	arh. ALIN HOBLEA	1:100
DESEMAT	arh. ALIN HOBLEA	Data
APROBAT	dr/ing. C. CAPATU	12.2012
SEMENTAR	UNITATEA ADMINISTRATIV TERITORIALA BRAILA	Pr. nr.
	<small>ROM. CONSILIUL JUDETEAN BRAILA</small>	182/2012
	<small>PIA INDEPENDENTII NR.1</small>	
	EXPERTIZA TEHNICA LA MOBILUL DIN	Faza
	STR. CALARASILOR NR. 29, BRAILA	Ex. Th.
	FATADA POSTERIOARA - STRADA	Plansa
	ORIENTULUI	9



LEGENDA

- ③ - SOCLU
- ④ - TAMPLARIE LEMN CU GEAM SIMPLU CLAR
- ⑤ - MULURI EXTERIOARE

VERIFICATOR	REFERAT DE VERIFICARE NR.	DATA
EXPERT		
S.C. NEO-CONS S.R.L. IASI, str. ZORILOR nr. 5, Tel/Fax: 0232.266661, 0740.202.588		BENEFICIAR: UNITATEA ADMINISTRATIV TERITORIALA BRAILA PRIN CONSILIUL JUDETEAN BRAILA PIA INDEPENDENTEI NR.1
EXPERT TEHNIC	ing. IOAN ROTARESCU	Scara 1:100
RELEVAT	arh. ALIN HOBLEA	EXPERTIZA TEHNICA LA IMOBILUL DIN STR. CALARASILOR NR. 29, BRAILA
DESEANAT	arh. ALIN HOBLEA	Data 12.2012
APROBAT	dr.ing. C. CAPATU	FATADA LATERALA DREAPTA - INCINTA
		Pr. nr. 182/2012
		Faza Ex. Th.
		Plansa 10



LEGENDA

- ③ - SOCLU
- ④ - TAMPLARIE LEMN CU GEAM SIMPLU CLAR
- ⑤ - MULURI EXTERIOARE
- ⑥ - INVELITOARE DIN TABLA

VERIFICATOR EXPERT		REFERAT DE VERIFICARE NR.	DATA
S.C. NEO-CONS S.R.L. IASI, str. ZORILOR nr. 5, Tel/Fax: 0232.266661, 0740.202.588		BENEFICIAR: UNITATEA ADMINISTRATIV TERITORIALA BRAILA PRIN CONSILIUL JUDETEAN BRAILA PIA INDEPENDENTEI NR.1	Pr. nr. 182/2012
EXPERT TEHNIC	ing. IOAN ROTARESCU	Scara 1:100	Faza Ex.Th.
RELEVAT	arh. ALIN HOBLEA		
DESENAT	arh. ALIN HOBLEA	Data 12.2012	Plansa 11
APROBAT	dr.ing. C. CAPATU		
		FATADA LATERALA STANGA - STRADA JUSTITIEI	